



عالم الذرة

مجلة هيئة الطاقة الذرية السورية

مجلة دورية تصدرت مرات في السنة عن هيئة الطاقة الذرية في الجمهورية العربية السورية. وتهدف إلى الإسهام في نشر المعرفة العلمية باللغة العربية في الميدانين الذري والنووي وفي كل ما يتعلق بهما من تطبيقات.

تشرين الثاني/كانون الأول 2000

السنة الخامسة عشرة

العدد السبعون

المدير المسؤول

الدكتور إبراهيم عثمان

المدير العام لهيئة الطاقة الذرية

هيئة التحرير

الدكتور توفيق قسام (رئيس هيئة التحرير)

الدكتور فؤاد العجل

الدكتور محمد قعق

الدكتور محمد فؤاد الرباط

الدكتور أحمد الحاج سعيد

الإخراج الفني والإشراف على الطباعة

رولا الخطيب

شروط الترجمة والتأليف للنشر في مجلة عالم الذرة

- 1- ترسل نسختان من مادة النشر باللغة العربية مطبوعتان بالآلة أو مكتوبتان بالحرر بخط واضح، على وجه واحد من الورقة، وبفراغ مضاعف بين السطور.
- 2- يُكتب على ورقةٍ مستقلة عنوان مادة النشر واسم الكاتب وصفته العلمية وعنوانه مع ملخصين لها أحدهما بالعربية والآخر باللغة الإنكليزية حصراً، في حدود عشرة أسطر لكل منهما، ويطلب من كل من المؤلف والمترجم كتابة اسمه كاملاً، باللغتين العربية والأجنبية، ولقبه العلمي وعنوان مراسلته.
- 3- يُقدم المؤلف أو المترجم في ورقة مستقلة قائمة بالعبارات التي تشكل الكلمات المفتاحية (Key Words) (والتي توضح أهم ما تضمنته المادة من حيث موضوعاتها وغايتها ونتائجها والطرق المستخدمة فيها) وما لا يتجاوز عشر عبارات باللغتين العربية والإنكليزية.
- 4- إذا سبق نشر هذا المقال أو البحث في مجلة أجنبية، ترسل الترجمة مع صورة واضحة عن هذه المادة المنشورة. ويستحسن لإرسال نسخة الأصل المطبوع والأشكال (الرسوم) الأصلية، إن وجدت، ولو على سبيل الإعارة.
- 5- إذا كانت المادة مؤلفة أو مجمعة من مصادر عدة، يذكر الكاتب ذلك تحت العنوان مباشرة كأن يقول «تأليف، جمع، إعداد، مراجعة...» ويرفق المادة بقائمة مرقمة للمراجع التي استقاها منها.
- 6- إذا تضمنت المادة صوراً وأشكالاً، ترسل الصورة الأصلية وكذلك الأشكال مخططة بالحرر الأسود على أوراق مستقلة، إلا إذا كانت موجودة في المادة المطبوعة بلغة أجنبية (كما جاء في الفقرة «4»)، مرقمة حسب أماكن ورودها.
- 7- يرسل مع المادة قائمة بالمصطلحات العلمية العربية المستخدمة فيها مع مقابلاتها الأجنبية إذا لم تكن واردة في معجم الهيئة للمصطلحات العلمية والتقنية في الطاقة الذرية، الذي تم نشره في أعداد المجلة (2-18).
- 8- تكتب المصطلحات وكذلك أسماء الأعلام باللغتين العربية والأجنبية عند ورودها في النص أول مرة ومن ثم يُكتفى بإيراد المقابل العربي وحده سواء أكان هذا المقابل كاملاً أم مختصراً. وتستعمل في النص المؤلف أو المترجم الأرقام العربية 1, 2, 3، وإنما وردت مع مراعاة كتابتها بالترتيب العربي من اليمين إلى اليسار. وإذا ورد في نص معادلة أو قانون أحرف أجنبية وأرقام فتكتب المعادلة أو القانون كما في الأصل الأجنبي.
- 9- يُشار إلى الحواشي، إن وجدت، بإشارات دالة (* , + , ...) في الصفحة ذاتها، كما يشار في المتن إلى أرقام المصادر والمراجع المدرجة في الصفحة الأخيرة، وذلك بوضعها ضمن قوسين متوسطين [] .
- 10- تُرقم مقاطع النص الأجنبي والنص العربي بترتيب واحد في حالة الترجمة.
- 11- يرجى من السادة المترجمين مراعاة الأمانة التامة في الترجمة.
- 12- تخضع مادة النشر للتقييم ولا تُرد إلى أصحابها نشرت أم لم تنشر.
- 13- يمنع كل من الكاتب أو المترجم أو المراجع مكافأة مالية وفق القواعد المقررة في الهيئة.
- 14- توجه المراسلات باسم هيئة التحرير إلى العنوان التالي:

الجمهورية العربية السورية - هيئة الطاقة الذرية - مكتب الترجمة والتأليف والنشر - مجلة عالم الذرة - دمشق - ص. ب 6091

رسوم الاشتراك

الاشتراك السنوي للطلاب (200) ل.س. - الاشتراك السنوي للأفراد (300) ل.س. - الاشتراك السنوي للمؤسسات (1000) ل.س.
الاشتراك السنوي للأفراد من خارج القطر العربي السوري (30) دولاراً أمريكياً. وللمؤسسات (60) دولاراً أمريكياً - تتضمن الاشتراكات أجور البريد

بالنسبة للمشاركين من خارج القطر يُرسل رسم الاشتراك إلى العنوان التالي:

المصرف التجاري السوري فرع رقم 13

مزة - جبل - ص.ب 16005

رقم الحساب 2/3012

أو بشيك باسم هيئة الطاقة الذرية السورية

يمكن للمقيمين داخل القطر دفع قيمة الاشتراك بحوالة بريدية على العنوان التالي:

مجلة عالم الذرة - مكتب الترجمة والتأليف والنشر - هيئة الطاقة الذرية السورية - دمشق - ص. ب 6091

مع بيان يوضح عنوان المرسلات المفضل

أو تدفع مباشرة إلى مكتب الترجمة والتأليف والنشر في الهيئة - دمشق - المزة - فيلات غربية - شارع الحنساء - رقم 10

شهر المحرم الهادي

سورية 50 ل.س / لبنان 3000 ل.ل / الأردن 2 دينار / مصر 3 جنيه / الجزائر 100 دينار / السعودية 10 ريال و6 دولارات في البلدان الأخرى.

تود مجلة عالم الذرة لإعلام الشركات والمؤسسات العاملة في قطاع التجهيزات العلمية والتجريبية كافة والصناعات المتعلقة بها عن فتح باب الإعلان التجاري فيها. للمزيد من الاستفسار حول رغبتكم بنشر إعلاناتكم التجارية الكتابة إلينا على العنوان التالي:

هيئة الطاقة الذرية السورية - مكتب الترجمة والتأليف والنشر

دمشق ص.ب 6091 - الجمهورية العربية السورية

أو الاتصال على رقم الهاتف/61119267 - فاكس 6112289

المقالات

- تحديثات التحليل بالتنشيط التتروني. ن. م. سبايرو. 7
ترجمة هيئة التحرير
- فوتونات تعبر الحواجز. ت. إسبن. 21
ترجمة مكتب الترجمة والتأليف والنشر
- إحدروا مولدات الأرجية. ب. برقس. 25
ترجمة هيئة التحرير
- مُركَّب السليكون جرمانيوم يثبت أهميته. د. باول. 31
ترجمة هيئة التحرير

أخبار علمية

- 1 - وسائط تضخيم أفرزت مكاسب لعلم الضوء الذري 41.....
- 2 - بلورات جديدة من معادن مضغوطة 42.....
- 3 - السدم. 44.....
- 4 - تلوث غذائي بمركبات الـ: PCBs والديوكسينات 47.....
- 5 - إعطاء دفع للذرات. 49.....
- 6 - على حافة المجموعة الشمسية 51.....
- 7 - إنماء بلورات فوتونية كهربائياً. 53.....
- 8 - أدوات جديدة من أجل التحليل النظيري. 55.....
- 9 - طاقة لا محدودة. 57.....

(أعمال باحثي الهيئة المنشورة في المجلات العالمية)

ورقات البحوث

- البرهان على مساهمة عيبين متميزين في الذرة H4 لطيف. د. بسام المصري، د. رامي درويش. 63
المصائد العميقة في InP المشع بالإلكترونات
د. محمد قمعع، د. فوزي عوض
- تحديد عمر الجيل للنترونات اللحظية للمفاعل منسر بقياس. د. علي حنون، د. إبراهيم خميس. 70
تابع الانتقال التتروني
- دراسة استكمومترية لمعدّد فسفوفانادوموليبدات واستخدامه. د. رفعت المرعي، رولانه بوظ. 75
لتحديد تأثير عملية استخلاص اليورانوم DEHPA/TOPO على
تركيز حمض الفسفور بطريقة المطيافية الضوئية
- تأثير أشعة غاما على قابلية تخزين ثمار التفاح. د. محفوظ البشير. 80.....
- الاختيار الأمثل لتشكيل مسبار غاما-غاما الطيفية البعريّة يستخدم. د. جمال أصفهاني. 87
مصادر إشعاعية منخفضة جداً لتحديد درجة الرصاص والزنك

- 96 قياسات على الكاشف الغازي GEM بمرحلتين. د. جمال الدين عتاف
- 98 دراسة استقرارية الماء الثقيل زمنياً د. موسى الإبراهيم، هالة الصواف.
باستخدام مطيافية الأشعة تحت الحمراء
99. الظاهرة الشجرية المضاعفة في الكواشف البلاستيكية د. عماد خصير، د. إبراهيم عثمان.
لمسارات الشظايا النووية
101. تشخيص ومتابعة أورام البروستات: دراسة كيميائية حيوية وومضانية. د. محمد عادل باكير وآخرون.
102. دراسة انتشار غاز الرادون عبر ثخانات مختلفة من الإسمنت د. رياض شويكاني وآخرون
المستخدم في دفن النفايات المشعة
- 103 تحديد المؤشرات التناسلية وتحليلها د. معتز زرقاري وآخرون
في ذكور العواس في القطعان المحسنة

كتب حديثة مختارة

- 106 1- نظرية الحقل الكمومي: (تأليف: ك. هوانغ)
من المؤثرات إلى تكاملات المسار (عرض وتحليل: م. بيسكين)
- 106 2- الصوتيات: (تأليف: ب. فيليبي وآخرون).
الفيزياء الأساسية، النظرية والطرائق (عرض وتحليل: ك. ل. ماسترن)

ملخصات باللغة الإنكليزية عن الموضوعات المنشورة في هذا العدد. 115.

يُسمح بالنسخ والنقل عن هذه المجلة للاستخدام الشخصي بشرط الإشارة إلى المرجع،
أما النسخ والنقل لأهداف تجارية فغير مسموح به إلا بموافقة خطية مسبقة من الهيئة.

المفالات

تحديات التحليل بالتنشيط النتروني*

مشاكل وتطبيقات في الطب الحيوي وفي مجالات أخرى

ن. م. سايو

قسم الفيزياء في جامعة سوزي بالملكة المتحدة

ملخص

جرى في هذه الورقة توصيف تطورات التحليل بالتنشيط النتروني بأنماطه المختلفة من أجل تقدير عناصر الأثر، مع الإشارة إلى علاقة هذه التقنية بالمفاعلات ومصادر النترون الأخرى، وبطرائق التحليل المنافسة، وبمنظومات التصوير المقطعي والكشف. كذلك، جرى التركيز على عدد مختار من المجالات التطبيقية التي تنطوي على تحديات للألفية القادمة سينسب إليها تحقيق خدمات مفيدة وفريدة أحياناً. واستعرضت الورقة الدور الذي يمكن أن يؤديه التحليل بالتنشيط النتروني في مجالات: وقف التشغيل، وكشف الألفام الأرضية، والمعالجة بالأسر النتروني للبورون، ومرض الزهايمر، والداء السكري، والآليات المعقدة سواء تلك المتحكمة بعملية تناول الغذاء والإحجام عنه وعلاقتها بظاهرة السمنة، أو تلك المؤثرة على تشكل الندبات وعلى المتطلبات من أجل الحصول على جلد اصطناعي.

الكلمات المفتاحية: التحليل بالتنشيط النتروني (NAA)، عناصر الأثر، وقف التشغيل، إزالة الألفام، أسر البورون للنترونات، تصوير مقطعي طبقي بإصدار أشعة غاما محرض نترونيا، التصوير المقطعي بالإصدار البوزيتروني، مرض الزهايمر، الداء السكري، الشع والسمنة، ندبات ضخامية.

مقدمة

متسارع. فمنشآت التحليل بالحزمة الأيونية، التي أصبحت الآن تصمم خصيصاً من أجل استخدامها في التحليل وليس لتحويلها كما جرت العادة سابقاً من مسرعات تستخدم في بحوث الفيزياء النووية، يجري غالباً تركيبها محفزة بحوث في الإلكترونيات المكونة والصناعات البلاستيكية. ويعد التحليل بإصدار أشعة X المحرزة بالبروتون (PIXE)، والتبعر الرجوع لرذرفورد (RBS)، وتفاعلات أخرى للجسيمات المشحونة، أدوات فعالة يمكنها مع تجهيزات المسح ذات المسار المكونة ومع الحزم الأيونية المستقرة أن توفر طرقاً ليس فقط لتقدير التوزيع العنصري في العينة بل أيضاً لتحليل مجموعات ضخمة من العينات على التتابع. وفي الآونة الأخيرة، أضحت منظومات الفلورة بأشعة X (XRF) في متناول عدد أكبر من مجتمعات التحليل الإشعاعي وذلك بسبب الانخفاض النسبي لأسعار تجهيزاتها مما يسمح بالتالي بتنفيذ الأعمال العائدة، على سبيل المثال، لدراسات بيئية وزراعية في مراكز بحثية لم تكن في السابق قادرة على إجراء مثل هذه الدراسات. وتدعو الحاجة لأن تُقِيم وتقارن تقنيات التحليل هذه - والتي قد تصبح أحياناً في وضع تنافسي - كما تدعو الحاجة إلى تعريف وتحديد مشاكل هذه التقنيات وتحدياتها المشتركة إضافة إلى مناقشة واعتماد خصوصياتها وخواصها التكميلية. وقد نوقشت هذه القضايا في ندوة الوكالة الدولية للطاقة الذرية (IAEA)، تحت عنوان: "إيجاد انسجام بين القياسات البيئية ذات العلاقة بالصحة

يُعد التحليل بالتنشيط النتروني (NAA) من التقنيات التي توطدت أركانها جيداً من أجل تقدير تركيز العناصر، عند سويات الأثر والنزرة الفائقة، في عدد منوع من الركازات. وقد سبق أن طُبقت هذه التقنية على مشاكل متنوعة في مجالات علمية وتقنية وثبت بأنها ذات فائدة عظيمة من أجل ضمان وتصديق المواد المعيارية وتأكيد جودة الإجراءات الخاصة بطرائق التحليل. وسوف يجري هنا التركيز على عدد صغير من المجالات والمشاكل وبخاصة في البحوث الطبية الحيوية التي تمثل بحد ذاتها تحديات للتحليل بالتنشيط النتروني وتوقعاته خلال الألفية القادمة. تتطلب هذه المجالات جهداً مشتركاً من العلماء والمهندسين وآخرين من ذوي الاختصاصات المختلفة بهدف التوصل إلى نتائج مثمرة ونجاح حقيقي.

ولا بد من النظر إلى تطبيقات التحليل بالتنشيط الإشعاعي في سياق طرائق أخرى للتحليل متعدد العناصر أخذت تحتل موقع الصدارة في الآونة الأخيرة والتي نذكر منها طريقتي مطيافية الكتلة للبلازما المقترنة تحريضياً (ICPMS) ومطيافية الإصدار النري للبلازما المقترنة تحريضياً (ICPAES). ورغم الطبيعة المثلثة لهاتين الطريقتين فإن سرعة التشغيل والحساسية الفائقة لعدد كبير من العناصر والركازات قد شجعتنا، خلال فترة قصيرة نسبياً، نمواً كبيراً في استخدامهما على نطاق عالمي. وتعدّ الحزمة من الأخطار الإشعاعية جاذبية إضافية. وعلى أية حال، هناك طرائق بديلة للتحليل تعتمد الإشعاع، يجري حالياً توظيفها واستخدامها بشكل

كما يتعزز بشكل كبير احتمال حدوث تأثير مع ترونات باردة بالمقارنة مع طاقات ترونية حرارية. وأدى هذا إلى تطوير منشآت الحزم الترونية الباردة وذلك خصيصاً من أجل التحليل بأشعة غاما الفورية (PGA). ويعد الباحث يونيزاوا Yonezawa 15 من منظومات الـ PGA الموزعة في أنحاء العالم [1]. وتستخدم عشرة من هذه المنشآت مكشاف نصف ناقل (Ge) مع منظومة كومبتون للإخماد تعتمد بلورات وميضية مصنعة من أيوديد الصوديوم أو الثاليوم NaI(Tl) أو من جرمانات البزموت (BGO)، بينما تستخدم أربع منشآت أخرى حزمياً ترونية باردة. وباستخدام منظومة PGA في منشأة الترون البارد JRR-3M التابعة للمعهد الياباني لأبحاث الطاقة الذرية (JAERI)، تمكن يونيزاوا من تقدير تركيز كل من عناصر: H, C, N, Na, Mg, Al, Si, P, S, Cl, K, Ca, Ti, Mn, Fe, Co, Cd, Sm, Gd, Hg, B في عدد من الركازات والمواد المرجعية، بما في ذلك عينات جيولوجية وبيئية وبيولوجية، وكذلك الفحم والوقود والزيت [2]. ولا يمكن بسهولة تقدير العناصر خفيفة الوزن- كعناصر B, C, N, S, P- باستخدام تقنية INAA. فبسبب المقاطع الفعالة الضخمة للامتصاص تغدو الترونات الباردة موهنة إلى حد كبير في عينة ضخمة، كما يصبح بالضرورة حجم العينة محدوداً إذا لم يجر تطبيق تصحيحات ملائمة. وفي حالات تتطلب الحصول على معلومات بشأن التوزيع العنصري وتركيز العناصر بطريقة لانتلافية في عينة ماء، يصبح ممكناً تطبيق الجمع ما بين تقنية التحليل بالتنشيط التروني وأسس التصوير المقطعي. وهذه الطريقة، التي يلجأ فيها إلى كشف إشعاعات غاما الفورية أو المتأخرة ضمن نمط تصوير مقطعي، قد سبق اقتراحها قبل 15 سنة مضت [3] وأطلق عليها آنذاك اسم "التصوير المقطعي بإصدار أشعة غاما المحرّضة ترونيًا" (NIGET) [4]. وسوف تجري مناقشة تحسينات طرأت على منظومات كشف ذات علاقة بالطريقة الأنف ذكرها.

ويستعرض الجدول 1، مستخدماً دليل التعداد العلمي، مراجعة موجزة لما صدر من نشرات علمية تعالج التحليل بالتنشيط التروني خلال السنوات الخمس الماضية (علمياً بأن البيانات لعام 1997 هي بيانات تغطي الربع الأول منه). ولابد من الإشارة إلى أنه جرى تعداد التطبيقات البيولوجية في الحي بشكل منفصل وبأن ماورد تحت عنوان "مرجع (طرائق ومواد)" قد شمل أوراقاً بحثية لاتناقش فقط تحضير وتصديق المواد المرجعية بل تعالج أيضاً ضبط الجودة والإدارة بطريقة k₀. ويُعزى إلى طريقة k₀ في تقنية NAA تقديرها لتراكيز العناصر في العينات دون اللجوء إلى استخدام مواد مرجعية ومعايير. وحسب ما جاء في مراجعة حديثة للباحث دي كورت De Corte [5]، هناك 22 مجموعة من مجموعات البحث الموزعة في أنحاء العالم تجري بحوثاً على مشاكل تحليلية تطبق فيها طريقة k₀.

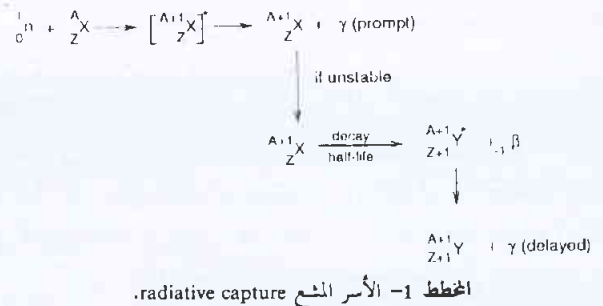
كذلك، وُجّه بعض التركيز من أجل الحصول على بيانات تتعلق بحالات أيزومرية قصيرة العمر [4] لبعض النكليدات المشعة - كحالة ^{24m}Na (20.2ms) و ²⁴Na (15.0 h) وحالة ^{38m}Cl (715ms) و ³⁸Cl (37.2 min) وحالة ^{46m}Sc (18.7 s) و ⁴⁶Sc (83.8 d). ولقد كان من التطبيقات المتمعة حقاً استخدام طريقة k₀ في المعايرة كأداة لتأكيد جودة المقدرة التحليلية على اقتفاء عناصر الأثر [6]. وفي الجدول 1(c)

الناجمة عن استخدام تقنيات نووية ونظائرية"، التي انعقدت في شهر تشرين الثاني من عام 1996 في مدينة حيدر آباد بالهند.

التحليل بالتنشيط التروني

يُنتج تشعيع عينة بالترونات مصدراً غنياً من المعلومات التحليلية. وهذا يؤدّد بدوره عدداً من أنماط التحليل بالتنشيط التروني التي تعتمد على حدوث تأثيرات بين الترونات ونوى الهدف والناجح من إشعاعات صادرة. ورغم أن الأسر المشع (n,γ) هو التفاعل السائد المستخدم، إلا أن التبعثر التروني (اللامرن) (n,n'γ) إضافة إلى تفاعلات أخرى مثل: (n,α) و (n,p) تستخدم أيضاً عند الطاقات الترونية المناسبة.

وتُزال إثارة النواة المركبة، التي تشكلت عند أسر نواة الهدف للترون (المخطط 1)، نتيجة الإصدار الفوري لإشعاعات غاما مميزة (PGA) تفيد في تحديد العنصر. كذلك، تقوم النكليدات المشعة، التي تنتج عن التشعيع التروني لعينة، بإصدار إشعاعات غاما مميزة عقب اضمحلال بيتا، ويجري تسجيل طيفها من أجل حساب تراكيز العناصر. وبشكل عام تقسم أعمار النصف للنكليدات المشعة إلى قصيرة العمر وأخرى طويلة العمر، علماً بأن الأخيرة تتيح إجراء فصل كيميائي إشعاعي من أجل تعزيز حدّي الكشف عن طريق إزالة تأثيرات وتداخلات غير مرغوب فيها للركازة (RNAA). وسبق أن طرأت تحسينات على عمليات الفصل الكيميائي الإشعاعي السريع للنكليدات قصيرة العمر، لكن التركيز كان في معظمه على طرائق تجهيزية (INAA) لتحسين كفاءة الكشف. وتشمل تقنية INAA تحليلاً دورياً وتحليلاً دورياً كاذباً pseudocyclic بالتنشيط الإشعاعي (CINAA و PCINAA) من أجل كشف النكليدات قصيرة العمر، إضافة إلى منظومات نقل سريعة تقلل أزمدة الانتقال (> 1S) بين مواقع التشعيع والتعداد، الأمر الذي يحقق حداً أدنى من فقد الأحداث القابلة للكشف خلال الاضمحلال. وطرأ تحسين مواز لما سبق ذكره على قياس المصادر ذات النشاط الإشعاعي العالي يتمثل في تصميم تجهيزات إلكترونية لمنظومات مطيافية تعداد لا فقد فيها. وتستخدم منظومات كمبتون للإخماد في تقنيات PGA و INAA و RNAA بهدف تحسين نسب الإشارة إلى الضجيج.



وتحدث التفاعلات بترونات حرارية، وفوق حرارية، وسريعة، كما تحدث أيضاً بترونات باردة (تؤدّد إلى درجات حرارة منخفضة جداً بطاقات تقع في حدود 0.001 إلكترون فولط). وبالنسبة لعدد كبير من النوى، يتناسب المقطع الفعال للامتصاص عكساً مع سرعة الترون الوارد،

الجدول 2- بيان تحول الوضع الراهن لمفاعلات البحث كما هي مختزنة في IAEA-RRDB (1996/09).

المنطقة	عدد الوحدات			متوقفة عن العمل إنشائها
	قيد التشغيل	قيد البناء	قيد التشغيل	
أمريكا الشمالية	74	2	-	168
أوروبا الغربية	69	1	-	92
أوروبا الشرقية	45	3	2	15
آسيا - المحيط الهادي	54	3	2	13
أمريكا اللاتينية	18	-	-	4
أفريقيا والشرق الأوسط	13	3	3	3
المجموع	273	12	7	291

واستبعد من الخدمة في المملكة المتحدة على سبيل المثال اثنان من مجموع ثلاثة مفاعلات بحث جامعية (مفاعل بحث للجامعات الشمالية ومفاعل بحث للجامعات الاسكتلندية) [8] بصرف النظر عن تلك التابعة لسلطة الطاقة الذرية (AEA) في هارويل Harwell. كذلك، يفترض أن يستبعد "JASON" من الخدمة في عام 1998، وهو مفاعل مهديء مائي وجرافيتي من نوع الـ ARGONAUT يتبع الكلية البحرية الملكية في جرينويتش Greenwich. لكن بعض المراكز، وبخاصة في اليابان والولايات المتحدة وهنغاريا، أخذت على عاتقها مواجهة التحدي فوسعت منشآتها من خلال تطويرها لحزم ترونية موجهة حرارية وباردة تستخدم في تقنية التنشيط بإشعاعات غاما الفورية (PGA)، وإنشائها لمنظومات قادرة على تشعيع عينات وأجسام ضخمة بالفعل (IRI Delft، هولندا). كذلك، جرى إعادة فحص وتقييم الفائدة المرجوة من NAA الحراري وفوق الحراري المرفق بتفصيلة ملائمة من الأطياف الترونية في منشآت للتشعيع ذات تصاميم مختلفة. ورغم جميع ما ذكر، فقد جرى أيضاً بناء مفاعلات جديدة. كان عدد مفاعلات البحث العاملة ما بين 1985-1994 31 وما بين 1995-1996 سنة. وفي كوريا، تتوفر حالياً منشآت ممتازة تتمركز حول مفاعل باستطاعة 40 ميغا واط، كما تم حديثاً تركيب جيل جديد من المفاعلات الصينية في كل من سورية وغانا والتي في أساس تصميمها موجهة بقوة نحو تطبيقات تقنية NAA.

ولأتمتع تقنية NAA الوظيفة الوحيدة لمنظومات تعتمد المفاعلات، حيث أمكن لمنابع ترونية نظائرية ولمولدات ترونية أن تحقق إنجازات هامة في عدد من الحقول المعروفة والمحددة جيداً. وتشمل هذه الحقول تقنية NAA في الحي، وإجراءات الوقاية النووية، وكشف المتفجرات، والتحليل الآني للعناصر المعدنية وللمواد الخام وغيرها أثناء التصنيع. وعموماً، يجري التعويض عن التدفق التروني المنخفض في هذه التطبيقات باستخدام عينات ضخمة وهندسة تشعيع وتعداد حرة الحركة متعددة الجوانب، وتوفير ظروف مثلى لتقنية NAA في الحي ضمن قيود الجرعة الموجهة نحو الهدف. وقد أتاح إنتاج المولدات الترونية الصغيرة كالأنبوب التروني السوديرون SODITRON [10] الذي يدمج إلى داخل منظومات الاستجواب التروني توفر إمكانيات مثيرة لتطبيقات في مجالات أوسع وأشمل. والسوديرون عبارة عن أنبوب من السيراميك بقطر 25 مم وبطول كلي 155 مم، يعمل بدون مغنطيس خارجي. ويجري تشغيل هذا الأنبوب

الجدول 1- عدد النشرات الصادرة لتقنية (a) NAA مع تعداد تلك المتعلقة بتطبيقاتها (b) وطرائقها (c).

a)	1992	1993	1994	1995	1996	1997
	194	274	286	248	213	72

b)	1996	1997
مجال التطبيق		
طبي بيولوجي	43	20
طبي بيولوجي (في الحي in vivo)	10	4
بيئي	68	20
جسميولوجي كيميائي	27	14
صناعي	35	9
مرجع (طرائق ومواد)	20	4

c)	1996	1997
الطريقة		
تعيين كيميائي إشعاعي/كيميائي باستخدام الأجهزة	78	38
تروونات سريعة	102	26
مراجعة	7	2
	30	5

ينطوي تحت عنوان "مراجعة review" عدد المقالات التي تقارن أوتشير إلى طرائق تحليل مختلفة مع تطبيقاتها. وهذا بعد توجهها مشجعاً يمكنه، بالاشتراك مع محاولات لتنسيق بيانات نتجت إما بواسطة التقنيات النووية ذاتها أو بواسطة طرائق أخرى للتحليل لا نووية، أن يؤدي دوراً هاماً في إثبات صحة طرائق تحليلية وفي تطبيق معايير إدارة وضمان الجودة التي بدأت تظهر في الآونة الأخيرة، كما حصل بالنسبة لمواصفتي المنظمة الدولية لتوحيد القياس ISO-25 و ISO-9000.

مصادر التروونات

حسبما نوهت به قاعدة بيانات مفاعلات البحث لدى الوكالة الدولية للطاقة الذرية (1996/09) [7]، يوجد ما مجموعه 273 مفاعلاً بحثياً في مختلف أرجاء العالم منها 188 في البلدان الصناعية و 85 في البلدان النامية. وقبل 20 سنة كانت الأعداد المماثلة لما سبق ذكره هي 69, 281, 351، مما يشير إلى حدوث نقص حاد وزيادة متواضعة في عدد المفاعلات البحثية لدى كل من البلدان الصناعية والنامية على التوالي خلال الحقبة المذكورة. وبين الجدول 2 التوزيع، حسب المناطق الجغرافية، لأعداد كل من مفاعلات البحث التي هي قيد التشغيل حالياً وتلك التي توقفت عن العمل. ويظهر التوزيع العمري لمفاعلات البحث التي هي قيد التشغيل حالياً أن 8.8% منها بعمر 1-9 سنوات، و 13.6% بعمر 10-19 سنة، و 23.9% بعمر 20-29 سنة، و 51.5% بعمر 30-39 سنة، و 2.2% بعمر 40-45 سنة، الأمر الذي يوحي بأن أكثر من نصف هذه المفاعلات سيتوقف عن العمل خلال العقد القادم.

خلال العقد الأخير، وُضعت الشيوخوخة وجدوى التكلفة لمفاعلات البحث موضع النقد والتدقيق، وبخاصة في أوروبا وأمريكا الشمالية. وقد أدى هذا إلى تقليص في عدد مفاعلات البحث العاملة، حيث أغلق

بتكلفة قدرها 67 مليون دولار أمريكي، في حين زُرِع حوالي 2.5 مليون من الأنغام الجديدة خلال الفترة نفسها إبان ذروة الصراع اليوغوسلافي. وتُصنّف منظمة الـ UNICEF كرواتيا في المرتبة الثالثة (بعد أفغانستان وأنغولا اللتين يوجد حوالي 9 مليون لغم في أراضي كل منهما) من بين البلدان الأكثر تضرراً بسبب وجود ما يزيد على 3 مليون لغم في أراضيها.

والمبادرة الخيرة لإزالة الأنغام تُعنى قبل كل شيء بالأنغام المضادة للأفراد من النوع الانفجاري والتي إليها تعزى معظم الإصابات. والكثير من هذه الأنغام رخيص الثمن لا تزيد تكلفة الواحد منها عن بضعة دولارات أمريكية، وهي، في أغلب الأحيان، مصنعة من مكونات بلاستيكية تعيق الوسائط التقليدية الخاصة بالكشف المعدني. وحتى تاريخه، تعد طريقة الحث اليدوي (النكز بعضاً أو أداة مدمية) من أكثر طرق إزالة الأنغام وثوقاً، ولو أنها تعد طريقة بطيئة (20-50 متر مربع/يوم) وشديدة الخطورة. وقد سبق للأمم المتحدة أن حددت معدلاً للكشف قدره 99.96% (للأنغام البلاستيكية والمعدنية كليهما) لمنظومة فاعلة تستطيع أن تحدد موقع اللغم ضمن مسافة خطأ لا تزيد على 1 سم مهما كانت نوعية التضاريس.

وبشكل عام، تبدي المركبات المتفجرة تركيزاً وكثافة للنتروجين أعلى من تركيز أي مواد عضوية أخرى (يتراوح المحتوى الوزني النموذجي للنتروجين في هذه المركبات ما بين 15 و 35% مع كثافات فيزيائية تقع ضمن المدى 1.25 - 2 غ / سم³). كذلك، تعد هذه المركبات، بالنسبة إلى غيرها، غنية بالأكسجين (40-60%) وقليلة بالكربون (15-30%) والهيدروجين (2-3.5%) [12,11]. ومن المفيد أيضاً فحص نسب العناصر المعدنية إلى بعضها البعض حيث أنها تعد بمثابة بصمات فردية مميزة لكل مادة متفجرة.

وتوفر التقنيات النووية قدرة اختراق عالية وانتقائية جيدة وتميز بتحليل لا مخبرية سريعة إلى حد ما، وبأن لها إمكانية اتخاذ القرار المؤتمت. ومن الممكن أيضاً استخدام تقنية التصوير التي تعطي معلومات إضافية حول التوزع المكاني للإشعاع المكتشف مما يتيح تمييز المركبات المتفجرة عن تلك غير المؤذية المحيطة بها. وقد سبق أن تحقق نجاح كبير في هذا الحقل رغم الانخفاض في نسب الإشارة إلى الضجيج ورغم الحاجة إلى تقنية تصوير سريع بالزمن الحقيقي. هذا، وتتوفر عدة تقنيات يمكن استخدامها للكشف عن الأنغام:

a- التحليل باستجواب نرون حراري، ويعتمد من حيث المبدأ على تحليل الأسر التروني ذي الإشعاع غاما الفوري الذي استخدم منذ أمد طويل لتحليلات كيميائية في عدد واسع من الحقول التخصصية، كما هو حاصل على سبيل المثال في صناعتي الفحم والنفط [13]. وقد ادعى البعض أن التحليل المذكور يعد أكثر منظومات كشف المتفجرات تطوراً وحادثة (وهو قيد الاستعمال في عدة مطارات عالمية)، وقد جرى دمجه مع منظومة كشف أنغام محمولة على العربة يستخدمها الجيش الأمريكي. وتعتمد هذه التقنية فقط على المحتوى من النتروجين المقيس، حيث أن أسر المقطع الفعّال

ينشط إما مستمر أو نبضي ليصدر نترونات بطاقة 14 MeV من تفاعل D-T الاندماجي مولداً لغاية 2×10^{10} n/s، مع العلم بأن متوسط عمر الأنبوب يتراوح بين 500 و 4000 ساعة أو أكثر وذلك تبعاً لظروف التشغيل [10].

الاستبعاد من الخدمة

من المختم أن هذا الحقل من التطبيقات سينمو مستقبلاً وأن الطلب سيكون مستمراً على هيئات مؤهلة جيداً وخبيرة في مجال التحليل الإشعاعي والكيمياء الإشعاعية. ولربما تشكل إزالة الوقود المشع مع منتجاته الأكتينية والانشطارية مرحلة البداية فقط لعملية وقف تشغيل منشأة مفاعل بحث، إذ توجد كميات ضخمة من المنتجات المنشطة ضمن مواد أخرى إلى جانب الوقود كالمهدىء ومواد التدرع ومنشآت إيطارية، وقضبان ماصة تحوي مدئاً واسعاً من النشاط الإشعاعي وتتطلب تصنيفاً كمي يتم التخلص منها كنفائيات مشعة. وبالإمكان إجراء عملية جرد للمنتجات المنشطة إشعاعياً عن طريق الجمع ما بين: (1) حسابات نمذجة تُبنى بسويات التدفق التروني من خلال بيانات تتعلق بتاريخ قدرة المفاعل، الأمر الذي يتيح تقدير أنشطة النكليدات المشعة المتوقع وجودها وذلك فيما إذا كان التركيب العنصري للمواد وكثافتها معروفة أصلاً، و (2) قياسات الرصد لنشاط إشعاعي مُحروض بحيث يغدو ممكناً تصنيف النفائيات المشعة وتحقيق متطلبات أخرى تلزم من أجل اتخاذ القرار المناسب. فعلى سبيل المثال هناك حاجة لمعرفة عمق توزع النكليدات المشعة داخل كتالات التدرع الإسمنتية للمفاعل من أجل التوصل إلى قرار بشأن مقدار القشرة المنشطة الواجب إزالتها من هذه الكتالات إما بالحث أو التكمير. ومن الممكن الحصول على هذه المعلومات بوساطة المسح بأشعة غاما للنكليدات المحرّضة ترونياً أو حتى بوساطة التصوير المقطعي الموضوعي بإصدار أشعة غاما. ومن الجلي أن يتوقف عمق المواد المنشطة على موقع الكتالة بالنسبة للوقود المفاعل؛ وقد يغدو ضرورياً في بعض الأحيان إزالة الكتالة بكاملها إذا امتدّ التنشيط لمسافة طويلة داخلها، أما إذا كان التنشيط لمسافة بسيطة فسيكون هناك كسب من فائدة انخفاض حجم النفائيات المشعة المطلوب معالجتها. وفيما يتعلق بالكتالات الإسمنتية البارييتية barytes (المصنعة من أكسيد الباريوم)، فإن أهم النكليدات المشعة الواجب أخذها بعين الاعتبار بعد ثلاثة أشهر من وقف التشغيل تشمل في الأحوال النموذجية النظائر المشعة التالية: ^{35}S , ^{45}Ca , ^{55}F , ^{133}Ba .

الأنغام الأرضية

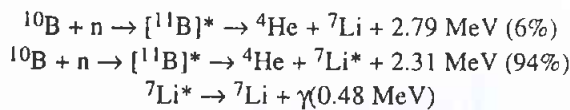
هناك حاجة ماسة لإجراء بحوث من أجل تطوير محسّنات موثوقة تجعل من إزالة الأنغام عملية أسرع وأكثر أماناً. ويمكن لتقنية NAA أو لتقنيات نووية أخرى تستخدم مولدات ترونية أو منابع نظائرية أن توفر مثل هذه المحسّنات أو الوسائط. وقد قُدِّر أن هناك ما يزيد على 100 مليون لغم مزروعة في أراضي 64 بلداً من بلدان العالم، تسبب كل سنة قتل أو تشويه 25 000 فرد، معظمهم من المدنيين، كما تعيق استثمار مساحات واسعة من الأراضي الزراعية المنتجة. ويقيد تقرير الأمم المتحدة، الصادر عن المؤتمر العالمي لإزالة الأنغام الذي عقد في جنيف في شهر تموز من عام 1995، أن المجتمع الدولي تمكن في عام 1993 من إزالة 100 000 لغم

ورغم تزايد الوعي العام بشأن قضايا الأغنام على نطاق عالمي، تظل الأغنام التي سبق زرعها لإحدى المشاكل التي سنعاني منها رداً من الزمن، ويستمر البحث من أجل التوصل إلى محسّن موثوق يمكن الاعتماد عليه.

المعالجة بأسر البورون للنترونات

من الضروري أيضاً إعادة تقييم الاستخدامات لمنايع نظائرية. وفي تطبيقات الطب الحيوي على وجه التحديد- بصرف النظر عن تحليل بالتنشيط النيوتروني في الحي- هناك قوة دافعة لاستئناف الاهتمام والبحث في مجال العلاج بأسر البورون للنترونات. ويتجلى هذا من خلال تأسيس منشأة للعلوم النيوترونية في الولايات المتحدة تعتمد في الأساس على منابع نترونية انشطارية مدمجة للنظير ^{252}Cf تستخدم في بحوث النترونات في مجال الطب الحيوي [18]. وهناك منشأة مشابهة قيد الإنشاء حالياً معدة بصورة خاصة للتحليل بالتنشيط النيوتروني للغذاء لصالح دائرة الغذاء والعقاقير الأمريكية (FDA).

وتعد تقنية BNCT أسلوباً مبتكراً للعلاج الإشعاعي يركز أساساً على أنواع محددة من أورام الدماغ التي لم يكن علاجها فعالاً بطرائق العلاج المألوفة. فورم الأرومة الدبقية عديدة الأشكال glioblastoma multiforme هو الأعظم خباثة بين أورام الدماغ كافة، وله علاقة بالطور المتقدم لورم النجميات astrocytoma، الأكثر شيوعاً بين أنواع الأورام التي تصيب الدماغ. وبشكل عام، الورم هو كتلة محاطة بخلايا ورمية على هيئة أصابع مجهرية تهاجم الأنسجة السليمة المحيطة بها ولا يمكن استئصالها كلية بالجراحة، الأمر الذي يؤدي إلى ظهور مواقع جديدة للخباثة. ولا تستطيع معالجة إشعاعية تقليدية، تُطلق إشعاع نقل طاقة خطي ضعيف LET، أن تمنع الورم من معاودة نموه حتى لو استخدمت سويات عالية من الجرعة. وتكمن الفكرة الأساسية وراء تقنية BNCT في أن البورون المعطى الذي يمتلك مقطعاً فعالاً كبيراً جداً (n, α) للنترونات الحرارية، يمكنه التراكم انتقائياً داخل كتل الأورام فقط، ومن ثم تُربط منتجات التشعيع مع النترونات جرعة إلى هذه الكتل المحددة متجنبة بذلك الأنسجة السليمة. وفي تلك الحالة، لا يمكن مقارنة الفوائد التي تجني مع ما يمكن أن يتلف من أنسجة الدماغ السليمة. وتحدث التفاعلات التالية:



ويسير عنصرا الهليوم (^4He) والليثيوم (^7Li) في اتجاهين متعاكسين ضمن مدى يتراوح بين 5-9 ميكرومتر داخل النسيج. من ناحية ثانية، تحدث تفاعلات أخرى تشمل غالباً الهيدروجين والنتروجين، حيث لا يمكن صرف النظر عن اعتبارات الجرعة لأن العنصرين المذكورين يؤلفان جزءاً هاماً من النسيج (10% و 3% وزناً لكل من العنصرين المذكورين على التوالي). والنمط الرئيسي لفقد طاقة النترونات داخل النسيج هو التبعثر

لعنصر ^{14}N هو 75 ملي بارن* بطاقة أشعة غاما فورية قدرها 10.83 MeV، كما تتطلب فصلاً مكانياً جيداً يمكن تحقيقه بواسطة مكاشيف مسددة.

b- التحليل بنترونات سريعة (FNA)، ويستخدم المقاطع الفعالة الأعلى لتبعثر لامرن والخاصة بنترونات سريعة (14 MeV) مما يتيح إجراء كشف متعدد العناصر المعدنية من خلال إشعاعات غاما مميزة صادرة من C, O, N (399 ملي بارن) بواسطة منظومة مكشاف متعدد لتصوير التوزعات العنصرية.

c- التحليل بنترونات سريعة نبضية (PFNA)، وهو تحليل يقلل من الخلفية العالية المتأصلة في تقنية FNA وذلك من خلال تطبيق الفصل في الوقت المناسب بين المصدر من إشعاعات غاما المحرّضة والنترونات المبعثرة. وتبلغ سرعتا النترونات ذات الطاقة 8 MeV وذات الطاقة 14 MeV: 3.0 cm/ns و 5.2 cm/ns على التوالي (بالمقارنة مع 30 سم/نانو ثانية لسرعة الضوء) [14]، لذلك كان ممكناً لبوابة مكشاف غاما أن تفتح لفترة من الوقت كافية لكشف إشعاعات غاما الصادرة من حجم الهدف وأن تغلق هذه البوابة قبل وصول النترونات. وبجعل المنبع نبضياً يُحصل على ميزة إضافية، وهي أن تقنية " زمن الطيران (TOF) - of - flight " يمكن استخدامها من أجل تحديد النقطة التي تحدث عندها التأثيرات النيوترونية، ولو أن تحديد موقع ضمن مجال لا يزيد عن 1 سم يظل أمراً لا يمكن تحقيقه.

d- التحليل بنترونات سريعة - حرارية نبضية (PFTN)، وهو تحليل يجمع من حيث المبدأ ما بين التقنيات الثلاث المذكورة أعلاه [15] محققاً فائدة جميع المعلومات التي يمكن استخلاصها وإنما على حساب زيادة الزمن الذي يستغرقه التحليل. ويجري أيضاً تطبيق استخدام تقنية PFTNA في تحديد هوية العوامل الفعالة لسلاح كيميائي في ذخائر محكمة الإغلاق تحتوي في الأحوال النموذجية على كل من: [16] C, Cl, P, F, S, As.

e- التصوير بالجسيم المرافق (API)، ويعتمد على الحقيقة بأن التفاعلات المنتجة للنترونات في مولدات نترونية أنبوية محكمة الإغلاق تنتج على الدوام جسيماً مشحوناً مرافقاً، مثل جسيم ألفا في التفاعل D-T. وبما أن التفاعل يحدث أساساً عند السكون، فإن النترون وجسيمه المرافق ينطلقان باتجاهين متعاكسين من أجل الحفاظ على الاندفاع الخطي. وهكذا يغدو ممكناً تحديد مسار النترون بكشف هذه الجسيمات المرافقة بواسطة مكشاف يتحسس الموضع على جانب الأنبوب وبمعرفة زمن تخلّقها. وبكشف جسيمات مرافقة، في تطابق متأخر مع إشعاعات غاما المصدرة والمحرّضة بنترونات سريعة، يمكن بواسطة تقنية TOF اكتشاف موضع التأثير. لكن التحديد الأساسي لتقنية API هو أنه في اللحظة التي ينتج فيها النترون يصبح ضرورياً إتاحة فترة زمنية لكشف أي من إشعاعات غاما المارة قبل أن ينتج نترون آخر، وهكذا يحدث نقص شديد في نتاج المنبع [17].

* بارن (b) barn: وحدة مساحة تساوي 10^{-28} من المستمتر المربع تستعمل في تعيين المقطع الفعال النيوتروني.

لامتنصص البورون بكلتا تقنيتي BNCT و BNCS وذلك باستخدام تحليل أشعة غاما الفورية (PGA). ومن أجل الدراسة في الزجاج *in vitro* لامتصاص البورون -10 داخل الزليل البشري المستأصل، يجري قياس أشعتي γ ذاتي تعريض دوبلر 0.48 MeV و 2.22 MeV الصادرتين عن أسر النيوترونات في الهيدروجين من أجل تصحيح التوضع اللامتجانس للعينة ضمن الحزمة وتصحيح الاختلافات في تدفق النيوترونات الحرارية باستخدام نسبة B/H. ويوجد اهتمام عظيم بعملية التقدير السريع لتركيز البورون -10 في كتل صغيرة من النسيج [25]. كذلك تخضع للاختبار والبحث حالياً إمكانية رصد تراكيز البورون داخل الورم وداخل نسيج الدماغ في الزمن الحقيقي بواسطة تقنية PGA في الحي *in vivo*، والتي يمكن دفعها خطوة إلى الأمام بتطبيق تقنية التصوير المقطعي بإصدار أشعة غاما المحرض ترونياً (NIGET) لتصوير توزع عنصري البورون والهيدروجين، مستخدمين لذلك إشعاعات غاما الفورية المصدرة كنتيجة للتأثرات الحاصلة مع العنصرين آنفي الذكر.

التصوير المقطعي الطبقي بإصدار أشعة غاما محرض ترونياً

تسمى تقنية INAA، بنمطها الفوري والمتأخر، إلى تقدير تركيز عدد ضخم من العناصر في عينة ما بطريقة لا إتلافية. وفي حال كون العينة من النوع النادر أو الفريد فسيكون للتقنية المذكورة فوائد جمّة، من بينها إمكانية استخدام تقنية أخرى للتحليل بهدف الحصول على معلومات إضافية مرغوب بها. إضافة لما سبق، يمكن أيضاً الجمع ما بين الحساسية المميزة ومبادئ التصوير المقطعي المحوسب للحصول على التوزيع الخاص بالتراكيز العنصرية داخل شريحة ما أو مستوى محدد عبر العينة، الأمر الذي سيتيح بناء خارطة ثلاثية البعد ضمن العينة الكاملة أو ضمن شرائح متتالية منها حسب الطلب وبطريقة لا إتلافية. ولتحقيق هذا الأمر، لا بد من جمع أطراف إشعاعات غاما المميزة، الفورية منها أو المتأخرة، والمحرضة بالتشعيع عند عدة زوايا على مدار 360° حول العينة المشعّة ثم الحصول من خلال إعتيان عدد من المجالات، على البروفيلات (الإسقاطات) الإشعاعية عند كل زاوية. وقد أطلق على هذه الطريقة اسم التصوير المقطعي بإصدار أشعة غاما المحرض ترونياً NIGET [4].

وهناك الكثير من العوامل التي تؤثر على نوعية الصورة وعلى التقدير الدقيق لمقدار كل عنصر في كل خلية مكونة للعينة. وبينما نجد أن عدداً من هذه العوامل - مثل شروط تشعيع العينة التي تشمل أيضاً تغيرات التدفق التروني والتدريج الذاتي للعينة - متعلق بعملية التنشيط التروني ذاتها، نجد أن عوامل أخرى تكون متلازمة مع عمليتي اكتساب البيانات ومعالجة تاريخ الإسقاط كالتأرجحات الإحصائية، وزوايا الإسقاط غير الكافية، ومجالات الإعتيان الكبيرة (تؤثر الحالتان الأخيرتان على الفصل المكاني). إن تأثير الفوتونات المبعثرة، وبخاصة من أشعة غاما ذات الطاقة العالية، وتوهين أشعة غاما الصادرة عن العينة (بخاصة إذا كانت كبيرة أو تحوي مواد ذات العدد الذري z المرتفع) يعقدان التقدير الكمي الدقيق مسببة تموضّعاً ضعيفاً للتكثيد المشع. لذلك، سوف تتضمن صورة مأخوذة بتقنية NIGET غير المصححة خارطة معلومات مختلطة لا بد وأن يستخلص منها التوزيع الحقيقي للتكثيد المشع [26].

على نوى الهيدروجين ومع بروتونات طاقة ارتدادية تساهم في توضع الجرعة.

اقترحت المعالجة بالأسر التروني في عام 1936، وكانت أول ممارسة عملية لها في الخمسينيات في مختبر بروكهافن الوطني وفي مشفى ماساتشوستس العام التابع لمعهد ماساتشوستس للتقانة (MGH/MIT) [19]، باستعمال النيوترونات الحرارية. وقد عزى فشل المحاولتين السابقتين إلى عاملين رئيسيين هما: النوعية الهامشية جداً لمركبات البورون بالنسبة للأورام، والاختراق الضعيف للنيوترونات الحرارية التي كانت متعلقة أيضاً بجرعات سطحية عالية. وخلال الستينيات، بدأت دراسة أخرى في اليابان للباحث هاتانكا الذي استمر في تجاربه حتى وفاته في عام 1994 حيث حل محله في متابعة هذه التجارب مساعده ناكاجاوا [20]. ويدو أن نتائج هذه التجارب كانت أكثر تفاؤلاً (ولو أنها لم تقنع الجميع)، ويمكن إلى حد كبير عزو الاهتمام الأخير بتقنية BNCT في عدد من المراكز البحثية في العالم إلى الجهود المتواصلة التي بذلها الباحث هاتانكا. وحدث في اليابان أيضاً تطوير آخر، ألا وهو قيام الباحث ميشيما Mishima بتطبيق تقنية BNCT في علاج الأورام الميلانية الجلدية [21]. وقد أضحي بحكم المقبول حالياً أن الحزم فوق الحرارية هي الأكثر ملاءمة لمعالجة الدماغ بالنيوترونات والبورون [22]، كما سُخّرت جهود بحثية عظيمة من أجل تصميم مركبات يدخل البورون في تركيبها [23].

وفي الوقت الراهن، توجد ثلاثة برامج معدة لاستخدام تصميم مناسب من الحزم الترونية فوق الحرارية، اثنان منها في الولايات المتحدة، لدى كل من مفاعل بروكهافن للبحث الطبي (BMRR) ومفاعل البحث لدى MIT، والثالث في هولندا لدى مفاعل التدفق العالي في بيتن Petten. ويوجد اقتراح لمشروع رابع من هذا القبيل في أستراليا. ويُنفذ البرنامج في بيتن (بهولندا) ضمن إطار عمل متفق عليه ترعاه لجنة الاتحادات الأوروبية [23] وتشارك فيه مجموعة تضم 15 بلداً أوروبياً. من ناحية ثانية، يجري البحث أيضاً عن منابع ترونية بديلة، وتشمل الاحتمالات في هذا المجال منابع تشظية، كمنابع ^{252}Cf (التي سبق ذكرها آنفاً) ومنتج نيوترونات ضوئية [24]. كذلك اقترح تحوي استخدام مسرعات بروتونية منخفضة الطاقة (تستخدم هدفاً ذا عدد ذري Z منخفض) لإنتاج النيوترونات، ذلك أن التكلفة العالية للمفاعلات النووية وتعارض وجودها قريبة من المراكز الطبية يعيقان إقامة مثل هذه المنشآت. من ناحية أخرى، نجد أن منابع أساسها المسرعات لا تنتج عموماً تدفقات عالية من النيوترونات مما يؤدي بالتالي إلى أزمّة تشعيع طويلة غير مريحة، الأمر الذي يحتم ضرورة التفيتش والبحث عن عدد آخر من النهج والوسائط.

ومن التطويرات الأخرى تطبيق تفاعل $^{10}\text{B}(n,\alpha)^7\text{Li}$ في معالجة التهاب المفصل الريثاني rheumatoid arthritis المتميز أو المترافق بالتهاب الزليل synovium (وهو الغشاء المبطن للمفاصل). وبعد استئصال الغشاء الزليلي بأسر البورون للنيوترونات [21] عملية تختلف في عدة نواح عن تقنية BNCT، بما في ذلك اختلاف في امتصاص الكتلة موضع الاهتمام للمركبات التي يدخل البورون في تركيبها ومتطلبات مختلفة أيضاً لتصميم الحزم الترونية. وفي الوقت الحالي، تجري دراسات كمية

بأشعة غاما التعاقبية فإنه لا بد من أن تسدّد عناصر المكشاف من أجل إعطاء معلومات منحوية للتصوير المقطعي، وهذا بالطبع يقلل من كفاءة هذه المنظومات.

وفي قياسات تطابقية لأشعة غاما، إذا كان عمر الحالة البينية في عملية إزالة الإثارة المصدرة لأشعته غاما المتعاقبتين طويلاً بما فيه الكفاية (أي أطول من زمن ميز المكشافين المستخدمين) فيمكن عندئذ إجراء قياسات تباط زواوي مضطرب [30]. وهذا يوفر معلومات حول الوسط الكيميائي للنكليد المشع وحول موقع (أو مواقع) ارتباطه والذي يشكل بحد ذاته معلومة إضافية هامة [31].

ولا بد أن يلاحظ ظهور أو تطوير مساحات PET للدراسات الحيوانية، إذ أدى هذا التطوير إلى بناء منظومات أكثر حساسية (كأن توجد المكاشيف بأقطار حلقيّة أصغر حول العينة) ذات ميز مكاني أعلى من ذلك الخاص بناطات سريرية إضافة إلى كونها أقل تكلفة [31]. والدافع وراء هذا التطوير هو البحث عن عقاقير جديدة تعطي معلومات ضرورية حول فيزيولوجية وكيمياء-حيوية الأمراض وتوصيفها ووسائل علاجها من خلال الاستخدام في الحي لمصدّرات صيدلانية موسومة بوزيترونياً. هذا وتوفر تقنية PET عالية الميز المكاني إمكانية إجراء تجارب دائيّة على الحيوان دون حاجة إلى ممارسة عملية التشريح في الحي. ومثل هذه المنظومة التي تعتمد أساساً على بلّورات ومضانيّة من بروفوسكيت الإتريوم والألمنيوم المطعم بالسيريوم (YAP:Ce)، بأبعاد قدرها 2mm X 2mm X 15mm، ومعزولة ضوئياً بواسطة طبقات عاكسة، ومُفترّاة مع بعضها البعض لتشكل كتلة مكشاف تتألّف من 20 X 20 عنصرًا مكشافيًا تخضع حالياً إلى تجارب اختبارية وقد ادّعى بأن لها ميزاً مكانيًا قدره 2 مم [33].

ولا بد أن تؤخذ أيضاً بعين الاعتبار إمكانية استخدام صفيقات لمكاشيف جرمانيوم عالية الميز من أجل دراسة أطيااف أشعة غاما متعددة الطاقة بمختلف الطرائق الآنف وصفها وبكفاءة أعظم. وقد سبق أن جرى بناء صفيقات كبيرة لمطاييف جرمانيوم إفلائية مخمدة من أجل إجراء تجارب البنية النووية تبحث في خواص اضمحلال غاما للنواة الذرية. واضمحلال بعض من هذه النوى إلى حالاتها الأساسية يتميز بإصدار تعاقبيات بنمط 25-35 من تحولات أشعة غاما، علماً بأن هناك حاجة لاستخدام مطيافية تطابقية، ليس فقط من أجل قياس المزدوجات (غاما - غاما²)، بل أيضاً من أجل المضاعفات (γ³) ذات الرتبة الأعلى. وبسبب انخفاض نسبة الذروة إلى الخلفية والناجم عن جمع غير كامل للطاقة في مكشاف Ge العاري (يقع في طيف النظير ⁶⁰Co، حوالي 20% فقط من العدّات في ذروات الطاقة الكاملة وماتبقى، في حدود 80%)، يُشكّل خلفية مستمرة عند الطاقات الأخفض الناجمة بشكل رئيسي عن تبعثر كميتون لأشعة غاما خارج بلورة Ge)، كان من الضروري استعمال مكشاف آخر يحيط به لكشف هذه الأشعة المبعثرة وينبذ الأحداث المترامنة ما بين مكشاف Ge ودرع الإفلات الإخمادي المنوه به. ويطلق على الجمع ما بين مكشاف Ge والدرع (المصنوع من وامض BGO) اسم "مطاييف إفلات مخمد (ESS). وفي الأحوال

لقد سبق أن طبقت تقنية NIGET في التحليل العنصري لعينات حيوية طبية وبيئية تشمل العظم، والخشب، وحصيات الكلى أو الغدة اللعابية، وأورام الثدي، وأنسجة مرضية أخرى. وفي معظم الحالات أُجريت هذه التحاليل باستعمال مكشاف Ge فردي جيد التسديد ذي مقدرة فصل عالية من أجل اكتساب أطيااف أشعة غاما في نمط تصوير طبقي ولو أن ذلك يستغرق أزمّة طويلة بسبب كفاءة الكشف المنخفضة. وعند قياس أشعة غاما المتأخرة يُقرضُ المكشاف المذكور أنفاً بعضاً من القيود على أعمار النصف للنكليدات المشعة موضع الدراسة وذلك من حيث أنشطتها وأزمّة المسح اللازمة لها، إضافة إلى قيود أخرى على حجم العينة والتوزيع المكاني للنكليدات المشعة موضع الاهتمام. وأحد الحلول لما سبق، يتجلى باستعمال صفيقات من المكاشيف متعددة من وماضات جرمانات الزيموت (BGO) التي سبق تطويرها من أجل تقنية التصوير المقطعي بالإصدار البوزتروني (PET) [27]. وفي منظومات تقنية PET المعتمدة على الكشف التطاقي لفوتونات الفناء، تناقصت إلى حد كبير المساحة السطحية لكل مكشاف إفرادي على مدى العشرين سنة الأخيرة مما أدى إلى تحسين عظيم في مقدرة الفصل المكاني. وقد جرى تحقيق هذا الأمر من خلال تقطيع كتلة مادة الوماض (BGO) إلى قطع أصغر من أجل تشكيل عناصر مكشافية بلّورية إفرادية مقترنة مع عدد بسيط من أنابيب مضاعف ضوئي، الأمر الذي يوفر، بتكلفة معقولة، أداءً مكشافيًا عالياً من حيث الحساسية ومقدرة الفصل المكاني [15].

والمسح PET ثلاثي البعد والأعلى حساسية في الوقت الراهن من أجل الدراسات البشرية (CTI/Siemens 966/EXACT-3D)، مجهز بـ: 48 حلقة (بقطر 82 سم) من عناصر مكشافية BGO (30 mm X 4.1 X 4.0 بصفيفة 8x8 كتلة) تغطي مجال رؤية محورياً (FOV) قدره 23.4 سم. وبشكل إجمالي، توجد 72X6 كتلة من المكاشيف (576 عنصراً مكشافيًا في الحلقة الواحدة وبمجموع قدره 21648 عنصراً مكشافيًا إفرادياً) ذات ميز عبر المحور قدره 4.7 مم على بعد 1 سم من المركز الخاص بمجال الرؤية المحوري [29]. ورغم كفاءة كشفها العالية إلا أن الميز الطاقي لهذه المكاشيف يُعدّ ضعيفاً بالمقارنة مع مكاشيف Ge مما يجعل التمييز صعباً بين الخطوط المجاورة من أشعة غاما المصدرة من عينة منشطة نترونياً. إضافة لما سبق، تسمح مساحات PET التجارية بوجود نافذتين طاقتين فقط يمكن ضبطهما لجمع البيانات، إحداهما لمجال الذروة الضوئية كاملة الطاقة (فوتونات الفناء) والأخرى عند طاقة أدنى من أجل تقدير إسهام التبعثر. وبالنسبة لتقنية NIGET، فإن هذا يحدّ من عدد النكليدات المشعة المصدرة لأشعة غاما والتي يمكن الحصول على توزيع ما لها في مسح واحد إلى مسحين من التصوير المقطعي (بدون اعتبار مخصصات من أجل حسم الخلفية)، على افتراض أن طاقات أشعة غاما لهذه النكليدات مفصولة عن بعضها جيداً. وإذا كان مطلوباً من هذه المنظومات إجراء تصوير مقطعي تطاقي بأشعة غاما التعاقبية (وهناك عدد كبير من النكليدات المشعة المنتجة بالتشعيع النيوتروني والتي تصدر تعاقبياً أشعته غاما)، فسوف تقتصر الدراسة عندئذ على نكليد مشع واحد لكل اكتساب للبيانات بالتصوير المقطعي [26]. وفي أي من الحالتين. سواء أُجري كشف بأشعة غاما المفردة أو قياس تطاقي

بمرض ألزهايمر بحوالي فرد واحد لكل عشرين ممن تجاوزوا عمر الخامسة والستين [36]، مع تضاعف هذا المعدل كل خمس سنوات فوق العمر المذكور، علماً بأن عدد المصابين على نطاق عالمي سيصل إلى حوالي 210 مليون بحلول عام 2000 [37]. ومن ناحية مرضية عصبية، يتميز مرض ألزهايمر بانتشار واسع في أنسجة الدماغ لتشابكات ليفية عصبية وبالتهاب عصبي شيخوخي للويحات. وقد عرف أن بعض حالات هذا المرض مرتبطة وراثياً وأنه جرى تحديد هوية ثلاثة صبغيات (14 و 19 و 21) ذات علاقة بالمرض. من ناحية ثانية هناك عدد ضخم جداً من حالات الإصابة المتفرقة التي تبقى مجهولة السبب.

وبصرف النظر عن الذايفانات البيئية، تشير كثير من البحوث الحديثة إلى دور توديده الجذور الحرة في نشوء مرض ألزهايمر. فالجذور الحرة تؤدي الخلايا من خلال تسببها في عملية فوق أكسدة الدهون، كما تستطيع أيضاً توليد جذور حرة برويتينية مؤذية تسبب هدم البروتين. وتوجد آليات حماية طبيعية على شكل مضادات أكسدة، مثل فيتاميني E و C، تعمل عادة ككاسات للجذور الحرة. وحيث أن الأنزيمات (SOD) Cu-Zn-superoxide dimutase و Mn-SOD و Se في GSH-Px تعدّ مركبات مضادة للأكسدة، فإنها من الممكن أن تلعب دوراً في خفض أعداد الجذور الحرة، بينما يُعدّ الحديد، من ناجية أخرى، حفّازاً على إنتاج الجذور الحرة [40-42].

ولقي الاحتمال بأن يلعب الألومنيوم (Al) دوراً بارزاً في مرض ألزهايمر بعد أن تبين لأول مرة في عام 1973 أن سويات الألومنيوم تزداد في بعض مناطق الدماغ لأفراد مصابين بالمرض [45]. ومنذ ذلك الحين، أجريت دراسات عديدة أعطت نتائج أفادت إما بزيادة معنوية لسويات الألومنيوم بالمقارنة مع الشاهد، أو بفشل إيجاد فروق معنوية لسويات العنصر بين المصابين والأصحاء [42-44]. وتشير أبحاث حالية إلى ظهور زيادة فعلية في تراكيز الألومنيوم في مناطق متوضعة جداً داخل الدماغ؛ غير أن الدليل لا يتوفر حول عمل هذه التراكيز كذايفانات عصبية تسبب حلول الإصابة بالألزهايمر.

لقد تبين أن العديد من العناصر الرئيسة والثانوية وعناصر الأثر توجد في نسيج دماغ الأصحاء بتراكيز مختلفة عن تلك الموجودة في النسيج نفسه في الأفراد المصابين بمرض ألزهايمر. ومعظم الباحثين حسبوا فروقاً معنوية لمجمل الدماغ (بحساب التركيز المتحصل عليه من مناطق الدماغ كافة)، وقليل منهم فقط [46, 47] الذين تفحصوا فروقاً معنوية في مناطق الدماغ المدروسة كل على حدة فوجدوها غير ثابتة أو مؤكدة على الدوام. ولم يجد إهمان ورفاقه [48]، الذين تفحصوا تراكيز الحديد في 16 منطقة دماغية، فرقاً معنوياً لهذه التراكيز في نسيج الدماغ بين الأفراد الأصحاء وأولئك المصابين بالمرض. وقد أقمنا قبل خمس سنوات مضت مشروعاً رائداً لا يزال قيد البحث بهدف تحوي التوزيع العنصري في دماغ هرم طبيعي وآخر مصاب بمرض ألزهايمر، مع تركيز الاهتمام على نواح سبق أن ورد بشأنها في الأدبيات العلمية معلومات إما متضاربة أو محيرة أو قليلة. كذلك، تركز الاهتمام على مدى اعتماد التراكيز العنصرية على المنطقة المدروسة من الدماغ، فيما إذا كانت تقع في الفص الأيمن أو الأيسر منه،

النموذجية، يقع بعد الإخماد حوالي 55% من العذات التبقية ضمن الذروات الضوئية كاملة الطاقة. وأحدث جبل من مطاييف أشعة غاما ضخمة الصيغة هو ذلك المدعو "يوروغام Eurogam"، الذي يتألف من عناصر جرمانيوم إفرادية لا تزيد عن 239 وذات كفاءات ذروة ضوئية تصل إلى 10% [34]. ولا بد أن يؤخذ بعين الاعتبار أن مثل هذه المنظومات غالية جداً وأن هناك حدوداً لعدد المكاشيف التي يمكن حشرها في هذه الصيغيات وحدوداً للمكتسب في كفاءات الذروة الضوئية.

ويُعدّ استخدام الواسم المتعدد، الذي طوره أمب Ambe ورفاقه العاملون لدى معهد البحوث الفيزيائية والكيميائية في ركن Riken باليابان، قاعدة اختبار جيدة للأفكار المحسدة أعلاه بشأن كل من: التصوير المقطعي الإصداري، والتصوير المقطعي التبايني بأشعة غاما التعاقبية، وقياسات الترابط الزاوي المضطرب [35]. ويشتمل محللول الواسم المتعدد المنتج في منشأة "السكولترون الحلقي في ركن على كل من: ^{46}Sc , ^{54}Mn , ^{59}Fe , ^{58}Co , ^{65}Zn , ^{75}Se , ^{83}Rb , ^{88}Zr ، وإن لتطبيق تقنية الواسم المتعدد، وبخاصة في المجالات التقانية والطبية الحيوية، فوائد ومزايا تفوق تلك الخاصة بالطريقة التقليدية للواسم المفرد.

تطبيقات طبية حيوية

يلعب التحليل بالتنشيط التتروني دوراً هاماً في مجالات الطب الحيوي والبيئة الحيوية حيث توجد حاجة لتقدير تراكيز عناصر الأثر أو عناصر الأثر الفائقة في أبحاث محددة أو تطبيقات نمطية. وسيكون هذا مفيداً في المساعدة على فهم البنية والوظيفة لنظم حيوية، وعلى تمييز الانسجة الطبيعية والمرضية، وعلى دراسة أمراض محددة، وعلى تحديد هوية عوامل سامة وأخرى توجد في بيئتنا وفي الغذاء الذي نتناوله، إضافة إلى تقييم تأثير العوامل الأخيرة على الصحة العامة. وفي كثير من الحالات يغدو ضرورياً اتباع نهج متعدد العناصر، بينما يتطلب الأمر في حالات أخرى قياس سوية عنصر واحد أو مجموعة صغيرة من العناصر - كما هو الحال مثلاً في دراسات التطوير الكيميائي للأصواع. ومن المنطقي أن تتوقع ضرورة تطبيق تقنية NAA كلما سنحت الفرصة في مشاكل تحليلية تظهر قوة وقدرة هذه التقنية مع اللجوء إلى طرائق تحليلية أخرى لتكملة القياسات أو عندما تستدعي الظروف ذلك. هذا، وسوف نركز الأضواء هنا على أربعة من مجالات البحوث التي تمثل تحديات علمية بارزة حيث أن ثلاثة منها على الأقل علاقة بصحة نسبة عالية من المجموعات السكانية.

مرض ألزهايمر

يُعدّ مرض ألزهايمر من أعظم أشكال الخرف شيوعاً، يتميز بتلف متسارع لا عكوس للذاكرة وتدهور في الإدراك وتغيرات في الشخصية يعقبها بعد عدة سنوات حالة من العته الحاد العميق؛ وغالباً ما يموت المريض بعد 8-10 سنوات من بدء الإصابة بفعل تأثيرات جانبية، كالتهاب الرئة أو الخمج الكلوي أو الاختناق. ويزداد باستمرار عدد المصابين بهذا المرض بسبب زيادة احتمال الإصابة به مع تقدم العمر وبسبب الارتفاع العالمي في متوسط عمر حياة البشر. ويقدر عدد المصابين

غيوبة وموت. كذلك قد تقود حالة اللاثبات الطويل في سويات غلوكوز الدم إلى مضاعفات طويلة الأجل تظهر تأثيراتها فيما بعد على الأوعية الدموية والعيون والأعصاب والكلية، والتي يعتقد بأنها تنشأ بسبب تغيرات كيميائية حيوية مُحرضة بالغلوكوز تحصل في الغشاء القاعدي للجهاز الوعائي. وهناك زيادة في احتمال الإصابة بمرض القلب والسكتة والتخرب النسيجي للقدم والأرجل. وقد يحدّ من هذه المضاعفات خفض التراكيز العالية لغلوكوز الدم والملازمة لداء السكري إلى أقرب ما يمكن من سوية تراكيزها الطبيعية.

وخلال المسح الصحي لإنكلترا، الذي قام به مكتب المسح والإحصاء في عام 1993، أجريت المقابلة مع 16500 فرد ممن تزيد أعمارهم عن 16 سنة فبين أن نسبة 3% منهم أفادوا ذاتياً بأنهم مصابون بداء السكري. وإذا استقرت وتعمت النتيجة الأخيرة على البلد بكامله فسوف يكون هناك 1380000 من الأفراد المصابين بداء السكري في المملكة المتحدة. وقد افترض بأن 10-25% من هؤلاء يعانون من النمط I لداء السكري المعتمد على الأنسولين (IDDM)، بينما يعاني الباقون (75-90%) من النمط II غير المعتمد على الأنسولين (NIDDM). وتبعاً لإحصائية الرابطة البريطانية للمصابين بداء السكري يُتوقع أن يوجد عدد من المصابين بالنمط I يتراوح ما بين 138000 و345000 وعدد آخر ما بين 1035000 و1242000 من المصابين بالنمط II لداء السكري. وجدري أن يذكر أيضاً بأن عدد الأطفال المصابين بداء السكري قد تضاعف في السنوات العشر الماضية.

ويتميز IDDM بظهور مفاجيء لأعراض شديدة مع ضرورة الاعتماد على الأنسولين من مصدر خارجي للمحافظة على الحياة ومع ميل للإصابة بالجلال حتى في الحالة الأولية. هناك ثلاث مكونات معترف بها كمشييات للنمط I من داء السكري تشمل: تأهباً وراثياً، وقادحاً بيئياً، وعاملاً مناعياً، ولا يزال الشكل الدقيق للقادح البيئي مجهولاً ولو أنه قد يتخذ شكل إصابة فيروسية، كما هو الحال عند الإصابة بالكاف mumps والحصبة الألمانية (الحميراء) rubella، أو يكون ناجماً عن المحتوى الغذائي للطعام المتناول [53]. وقد سبق أن اقترح البعض بأن اتحاد العوامل الثلاثة جميعها معاً هو الذي يسبب تحزب خلايا الجزيرات islet cells المنتجة للأنسولين في غدة البنكرياس [54]. أما INDDM فهو الأكثر شيوعاً إلى حد بعيد، وهو بخلاف IDDM، نمط لا يعتمد على الأنسولين ولا يتزعج إلى إحداث الجلال، ولو أن الحاجة تدع إلى إعطاء الأنسولين إن لم يستطع الغذاء أو العوامل القموية من ضبط حالة فرط سكر الدم الصيامي. ويتميز النمط الأخير عند اكتمال الإصابة بظهور نسبة عالية من غلوكوز الدم بعد الصيام (أعلى من 10 مليمول / لتر)، وبالسمنة، وبتراكيز أقل مما هو متوقع للأنسولين البلازما مقابل غلوكوز البلازما، وبمقاومة للأنسولين (أنسولين أضعف من حيث قدرته على الارتباط بمستقبلات فوق الأغشية الحلوية المستهدفة)، وبزيادة في معدل إنتاج الغلوكوز الكبدي [55]. ورغم أن معظم المصابين بالنمط II لداء السكري يعانون من السمنة، إلا أن السمنة بحد ذاتها لاتعد سبباً لحدوث هذه الحالة المرضية لكنها تمثل أهم عامل مؤهل للإصابة. ويعتقد بأن التأثير الوراثي على سبببات aetiology حالة NIDDM أقوى من ذلك على

وفيما إذا كان لطول فترة الإصابة تأثير على سويات العناصر التحصل عليها. وقد تم الحصول على عيناتنا وبياناتنا التشريحية، لكل من الأدمغة الشاهدة والمصابة، من "بنك أدمغة ألزهايمر التابع لمعهد الطب النفساني في لندن MRC. واستخدمت في بحثنا المذكور تحاليل بطريقتي إصدار أشعة X المحرّض بروتونياً (PIXE) والتبعثر الراجع لرزفورد، مقترنتين بتقنية INAA. وقد سبق نشر بعض من نتائجنا الأولية التي يمكن تلخيصها فيما يلي: عند المقارنة بين أنسجة دماغية مصابة بمرض ألزهايمر وأخرى شاهدة تبين وجود زيادة في المحتوى المائي، ونقص في تركيز عناصر ال Na, Cl, Br, Zn, Se, Rb, Cd. وقد تأثرت النتيجة الأخيرة بعاملين اثنين هما: 1- المنطقة القشرية المختارة، و2- طول فترة الإصابة [49-51]. هذا، ولا بد من أن تستمر أبحاث عناصر الأثر ذات العلاقة بمرض ألزهايمر رغم صعوبة الحصول على عينات جيدة التوثيق وغير ملوثة. وإننا مستمرين في العمل وانتهى بنا المطاف إلى تعاون مع وحدة العلوم الحياتية في مركز البحث المشترك التابع لمفوضية المجموعات الأوربية، في إسبانيا بإيطالية بهدف تقدير تركيز عدد كبير من العناصر المعدنية في عشر مناطق في كل من الفص الأيسر والأيمن للدماغ وذلك باستخدام تقنيات: ETAAS, ICP-MS, RNAA, INAA.

وجدري أن يقال بأن عام 1995 هو عام الدماغ [ولربما الأصح أن يقال بأنه عقد (عشر سنوات) الدماغ] حيث كان يحث على القيام ببحوث أكثر عدداً بهدف سير وظائف الدماغ ومايرافقها من أمراض. وقد أظهر تفتيش سريع على موقع Bath Information and Data Services (BIDS) وجود مايزيد على 6900 مرجع علمي حول الموضوع خلال فترة الأعوام بين 1990 و 1995. وتنوي مفوضية المجموعات الأوربية أن تولي مرض ألزهايمر أفضلية عالية ضمن مبادراتها الصحية في المستقبل القريب.

الداء السكري

يعدّ الداء السكري خللاً استقلالياً يظهر في أي وقت من العمر وهو، في الوقت الراهن، حالة مرضية غير قابلة للشفاء. وفي الأحوال الطبيعية، تُضبط بعناية فائقة كمية الغلوكوز داخل الجسم، والذي هو نوع من السكريات يحصل عليها من الغذاء المتناول وبخاصة من الكربوهيدرات. وحالة عوز الأنسولين و/أو مقاومته هي المسبب لداء السكري. ويعد امتصاص واستهلاك الغلوكوز من قبل الدماغ والكبد والكلية والخلايا الحمر عملية لا تعتمد على الأنسولين (وتمثل هذه العملية 70% من الغلوكوز المتص والمستهلك تحت ظروف الصيام) [52]، لكن الغلوكوز لا يستطيع دخول العضلات والأنسجة الشحمية بدون وساطة الأنسولين؛ وهذا ينطبق أيضاً على مريض السكري غير المعالج الأمر الذي يؤدي إلى بقاء غلوكوز الدم بنسبة عالية بعد تناول وجبة ما (فرط سكر الدم). وعندما لا يمكن الغلوكوز من التأكسد بوساطة الخلايا، تُهزك الدهون للاستقلاب كبديل عنه مما يؤدي إلى زيادة في كمية مستقبلات أحماض دهنية أو كيتونات في الدم والتي بدورها تؤدي إلى خفض pH الدم بسبب كونها أحماضاً عضوية قوية (خلال ketosis أو حماض كيتوني ketoacidosis). ولهذا الحالة تأثير سيء على فزيولوجية الجسم يشمل نقل الأكسجين، ووظيفة القلب، والتي قد تقود في نهاية المطاف إلى

الصحة العالمية (WHO) السمعة من خلال استخدام دليل كتلة الجسم كمييار يحدد مراتب الأجسام مفرطة الوزن. (بحسب هذا الدليل بتقسيم وزن الجسم بالكيلوغرام على مربع الطول بالمتراً، وقيمة محسوبة لـ BMI قدرها 25 تعني فرط وزن من المرتبة الأولى، بينما قيمة قدرها 30 وأخرى قدرها 40 تعني فرط وزن من المرتبة الثانية والثالثة على التوالي). هذا، وتصل إلى 20% نسبة الأوربيين والبيض من سكان الولايات المتحدة ممن تتراوح أعمارهم بين 20 و 60 سنة والمصنفين في المرتبة الثانية لفرط الوزن، بينما تصل النسبة ذاتها إلى 40% في حالات النسوة في كل من شرقي أوروبا وبلدان البحر الأبيض المتوسط والنسوة السود في الولايات المتحدة الأمريكية. وقد تزايد عدد مفرطي الوزن الأمريكيين من 25 إلى 33% خلال الفترة بين عامي 1980 و 1991. ومن الواضح جداً أن السمعة تمثل مشكلة ضخمة الأبعاد وبأن أعداداً كبيرة من الناس أصبحوا عرضة للإصابة بالأمراض المتلازمة معها والتي سبق التنويه بها.

ويُعدّ دهن الطعام محدداً رئيسياً للطاقة المتناولة من قبل البشر. ولنوع وكمية دهن الطعام المتناول تأثيرات على كل من فرط التغذية، والسمعة، والاعتلال القلبي الوعائي، والإصابة بسلطانات محددة. وفي مجموعات سكانية (بريطانية) تزداد فيها ظاهرة السمعة هناك اعتراف عام بالرغبة في إنقاص نسبة دهن الطعام، الأمر الذي نجم عنه تطوير عديد من المنتجات منقوصة الدهن. من ناحية ثانية، قوبلت بقليل من النجاح المبادرات الصحية خلال السنوات العشرة الماضية من أجل استهلاك نسبة أقل من الدهن. ويعكس المواد الكربوهيدراتية والبروتينية، التي توجد لأكسديتها واستقلالها علاقة وثيقة جداً بالكميات المتناولة منها مما يسبب الحفاظ على ميزان الطاقة داخل الجسم، تُعدّ أكسدة المواد الدهنية عملية لا يمكنها التكيف بذكاء مع تغيرات في كميات الدهن المتناولة، وبالتالي يُعدّ ميزان الدهن أقل المكونات الغذائية دقة وجودة لضبط ميزان الطاقة [61]. ويعتمد بشدة الضبط القصير الأجل لاستهلاك مكون غذائي على الإشارات الفعالة للشبع التي يولدها وجود الدهن في الأمعاء.

والشروع بتناول الطعام والإحجام عنه عمليتان معقدتان تشتملان على إشارات متعددة تُرسل إلى الجهاز العصبي المركزي. وقليل نسبياً ما هو معروف بشأن الآليات الكيميائية الحيوية التي تُسهم في حدوث الجوع والشبع، ولو أن الدليل قوي على أن للدهن تأثيراً قصير الأجل في ضبط كمية الغذاء المتناول عبر إشارات الشبع التي تؤدي فيها الهرمونات المعدية - المعوية دور الوسيط والتي بدورها تُحدث تبديلاً في الإفراغ المعدي [62, 63]. وتوفّر أدلة كثيرة عالجت ظاهرة الشبع ومدى تأثيرها بالأغذية المختلفة لكنها في أغلب الحالات كانت تقترح صلاباً مراوغة فقط من حيث ارتباطها بعناصر الأثر. وقد ناقش بلوندل [64] آليات الجريان كرد فعل لما يستهلك من أغذية مختلفة، وهناك عدة مقالات تبحث في فكرة إحداهن دليل شبع للأغذية المختلفة [65]. كذلك أشار بري [66] إلى وجود أكثر من اثني عشر نوعاً من الببتيدات التي وجد بأنها إما تشجع أو تقلل معدل استهلاك الغذاء. وتعدّ عناصر الأثر ضرورية لفعالية البروتينات والأنزيمات والأحماض الأمينية التي تم الإقرار بأن لبعضها تأثيراً على ضبط الشهية بطريقة ما، كما تُعزّي إسهام في ضبط وزن الجسم لكل

سبببات حالة IDDM وذلك بسبب ظهور تكرار أعظم وتوقعات أعلى لتورث المرض عبر خطوط وسلالات عائلية. والاستعداد الوراثي مع العوامل البيئية يؤديان معاً إلى ظهور مقاومة للأنسولين. وتشمل المعالجة في الوقت الراهن لحالة NIDDM: اتباع نظام غذائي صارم، وإجراء تمارين رياضية، وتناول جرعات من مركبات سلفونيل يوريز sulphonylureas المحرّضة على إنتاج الأنسولين، وكذلك مركبات biguanides التي تخمض امتصاص العضلات للغلوكوز وتقلل معدل امتصاص الغلوكوز من الأمعاء كما تقلل معدل تحلل الغليكوجين في الكبد.

من مراجعة الأدبيات العلمية، أضحي معروفاً على نطاق واسع أن عناصر الأثر الهامة المحتمل وجود علاقة لها بداء السكري هي: Cr, Cu, Fe, Mg, Mn, Se, V, Zn. ويتبدل تركيز وتوزع بعض العناصر الأساسية عند الإصابة بداء السكري [56, 57]، ويكون مثل هذا التبدل مختلفاً في المصابين بالنمط I عنه في المصابين بالنمط II لداء السكري [58]. ورغم الدراسات العديدة التي تطرقت إلى وضع عناصر الأثر، لا تزال هناك كثير من المتناقضات في المكتشفات، وبخاصة تلك المتعلقة بعنصر الزنك (Zn). ونواحٍ يحتمل أن تكون مربكة، هي الفشل في أن تؤخذ في الحسبان شدة المضاعفات الناجمة وطول فترة الإصابة بداء السكري. ويعتقد بأن مضاعفات وعائية أو ضيقاً استقلابياً ضعيفاً سيؤدي إلى اضطرابات أعظم في استقلاب العناصر المعدنية. وفشلت كثير من الدراسات في التمييز بين المرضى بالنمط I والمرضى بالنمط II ضمن المجموعات السكانية موضع الدراسة، كما فشلت أيضاً في الاستفادة من الأفراد غير المصابين بداء السكري في المجموعات الشاهدة. وحسب رأي الباحث بهانوت Bhanot [58]، فإن الدليل المستخلص من دراسات صممت جيداً وتحللت بياناتها بطريقة صحيحة يشير إلى أن جميع المصابين بداء السكري مؤهون لمعاناة حالة تتميز بنقص المغنيزيوم ذات يلة مفتقرة للمغنيزيوم ومفرطة في الزنك، في حين ينزع مرضى السكري غير المعتمد على الأنسولين إلى إصابتهم بعوز الكروميوم.

وفي إحدى الدراسات الويية التي تحوت داء السكري وعلاقته بالتوزع البيئي لعناصر الأثر، تمكّن هاغلند [59]، في السويد، من مقارنة الواجهات الجغرافية للنمط I من داء السكري مع تركيز الزنك في المياه الجوفية، ووجد بأن التعرض طويل الأجل لتراكيز عالية من الزنك في المياه الجوفية يتوافق مع تناقص احتمال ظهور الإصابة بالنمط المذكور من داء السكري. هذا، ويقى هناك مجال واسع جداً للقيام بأبحاث جيدة الخطة والتصميم من أجل دراسة هذا المرض الذي يزداد انتشاره يوماً بعد يوم.

الشبع والسمعة

تعدّ السمعة واحدة من المهتدات الرئيسية للصحة حيث أن بعض المشاكل كالعقم، وأمراض المثانة، وداء السكري، ومرض القلب تمثل حالات مرضية يعاني منها السمان بمعدلات أكبر من تلك التي يعاني منها ذوو البنية النحيلة. وهناك الكثير من الأدلة التي تفيد بأن الطعام مرتبط بحدوث حالات مرضية محددة، كما هو الحال في مرض القلب الإكليلي. ويعتبر الأفراد مصابين بالسمعة إذا كانت أوزان أجسامهم تزيد بنسبة 20% عن الحد الأعلى لمدى الوزن المقبول [61]. وقد عرفت منظمة

المجال حيث صودفت واقعات أعظم من هذه الندبات فوق الجلد الأقدم لونا. وقد سبق أن عزيت الناحية الأخيرة إلى زيغ في الهرمون المحرض للخلايا الملانية، والمواضع الرئيسة للندبات الضخامية هي مناطق تصل تراكيز الخلايا الملانية فيها إلى أعظم سوياتها [68].

وفي الوقت الراهن، لا يوجد علاج يمنع تشكل الندبات الضخامية ولو أنه توجد طرائق محددة لمعالجة الندبة. ورغم أن لكل ندبة ضخامية علاجها الخاص إلا أن طريقة العلاج تتوقف على حجم الندبة وموضعها وعلى الفرد المريض ذاته. وهناك خمس طرائق للمعالجة جيدة التوصيف: الاستئصال الجراحي، والتعريض للأشعة، والحقن بالستيرويدات والمداواة بالضغط والتغطية بهلامة سليكونية. وقد يغدو مفيداً جداً معرفة التركيب العنصري لنسيج الجلد الطبيعي المشتمل على البشرة والأدمة كلاهما ومن ثم مقارنته بالتركيب العنصري للندبات الضخامية وذلك في محاولة لشرح آليات تشكل هذه الندبات ولإيجاد طرائق فعالة لمنع تشكلها ومعالجتها. وعلى أية حال، تتضمن الأدبيات العلمية معلومات ضئيلة فقط حول ما يتعلق بالتركيب العنصري للجلد الطبيعي بينما تكون مثل هذه المعلومات شبه معدومة بالنسبة للندبات الضخامية. وكما ورد في المجموعة الوثائقية للباحث أنغز وزملائه [71]، فقد أجريت معظم التحريات بشأن محتوى الجلد الطبيعي من عناصر الأثر قبل عام 1978، لكن العديد من التراكيب العنصرية التي طرحت آنذاك وردت دون أن تحدد فيما إذا كانت تخص البشرة أو الأدمة ودون أن تحدد الموقع لعينة الجلد المختبرة، وهناك القليل فقط من الدراسات التي ظهرت خلال العقد الأخير من هذا القرن [72-73] وعالجت الموضوع ذاته. هذا، وقد قام فريقنا، خلال السنوات الأربع الماضية، بتحليل النسيج لجلد طبيعي وندبات ضخامية مستخدماً تقنيات: INAA, PIXE, RBS [74, 75] وذلك ضمن مشروع يرعاه كل من RAFT ومجلس أبحاث العلوم الفيزيائية والهندسية. ويُعدّ أمراً هاماً تشجيع أعمال بحثية من هذا القبيل تعالج المشكلة بمضمون أوسع ويتعهد تنفيذها مجموعات بحثية أكثر عدداً. فعلى سبيل المثال هناك اهتمام كبير بشأن تنمية جلد اصطناعي داخل المختبر من أجل استعماله في الطعوم الإسوية allografts. وجدير بالملاحظة أن الندبات الضخامية تتشكل عند الحدود الفاصلة بين الجلد البشري والجلد من مصادر أخرى؛ وجدير بالذكر أيضاً أنه ظهرت في الآونة الأخيرة مراجعة بحثية ممتازة لبدائل جلدية مهندسة وراثياً [76].

استنتاجات ختامية

وُجّهت في هذه الورقة دعوات لتوظيف التحليل بالنشيط الإشعاعي في عدد من مجالات التطبيق بدءاً من كشف للألغام واستبعاد من الخدمة للمفاعلات، ومروراً بظاهرتي الشيع والسمنة، وانتهاءً ببحوث تعالج مرض ألزهايمر ومشاكل أخرى مرتبطة بالجلد وندباته، وكان ذلك كله ضمن إطار مواضيع هامة لا بد للمجموعات المتخصصة بالتحليل الإشعاعي أن تأخذها بعين الاعتبار. ولا يمكن بأية حال اعتبار قائمة التطبيقات التي جرى استعراضها قائمة شاملة أو مقتصرة على استخدامات محددة، لكن التوقعات بإسهام طيب وجاد من أجل صحة ورفاهية سكان العالم خلال القرن المقبل سيكون بالفعل أمراً مثيراً.

من عناصر Zn, Cr, Mn, Cu, Se وهذا بشكل بحد ذاته مجالاً يتطلب مزيداً من الدراسات والأبحاث.

في عام 1996، بدأنا في جامعة Surrey مشروعاً يعالج ظاهرة الشيع بدعم من قبل مجلس البحث العلمي للتقانة الحيوية وعلم الأحياء، حيث جرى في هذا المشروع قياس الهرمونات المعدية - المعوية وتحرك المعدة كرد فعل لوجبات مختلفة في تركيبها الدهني وفي نوع ومحتواها الطافي. وسوف يكون ممتعاً، في الوقت المناسب، تحزّي علاقة عناصر الأثر بتأثرات الدماغ والقناة الهضمية.

الندبات الضخامية والجلد

تُعدّ الندبة الضخامية نوعاً خاصاً من الندبات التي تتشكل بعد أي نوع من الإصابات الجلدية كالحرق والجرح أو أي رضٍ قد يمتد إلى أدمة الجلد [67]. وتتصف هذه الندبة بأنها قبيحة المظهر ترتفع فوق سوية النسيج الطبيعي للجلد [68]، كما أنها حمراء اللون ومؤلمة تتطلب الحك ومفرطة الحس. وتتميز الندبات الضخامية باحتوائها على كمية زائدة من الكولاجين عند مقارنتها بجلد طبيعي [68]، لكنها تبقى ضمن الحدود الأولية للجرح. وغالباً ما تتشكل هذه الندبات بعد ستة أشهر من الإصابة وقد ينقضي العمر كله قبل أن تراجع إلى الحالة الطبيعية، كما تمثل نوعاً فريداً يصيب الإنسان فقط دون وجود نموذج مماثل لها في الحيوانات [69]. وحتى الوقت الراهن لا يعرف أحد لماذا تتشكل هذه الندبات كما لا يزال العامل المسبب لها مجهولاً. ويقسم الجلد إلى شريحتين رئيسيتين هما البشرة والأدمة، حيث تكوّن الشريحة الأولى منهما الغلاف العلوي الخارجي. ويعد الكولاجين المكون الرئيسي للجلد.

في عام 1992، قام اتحاد استعادة المظهر والوظيفة، التابع لمعهد الجراحة اللدنية في مشفى Mount Vernon في مدينة Middlesex بالمملكة المتحدة، بإجراء مسح فوجد أن 23% من الحروق السطحية و 50% من الحروق العميقة للأدمة و 40% من الحروق الجلدية كاملة الشخانة تصبح في نهاية المطاف ندبات ضخامية. وكما هو متوقع فإن هذه الندبات أكثر مصادفة في صغار السن (50% من إجمالي الندبات الضخامية يصادف في المجموعة العمرية من 0-2 سنة) والكهول عنها في أي من الفئات العمرية الأخرى. وهناك عوامل مختلفة يحتمل اعتبارها مسببات لنشوء الندبات الضخامية أو يمكنها التفسير بأن فرداً ما أكثر نزعة لتشكيل هذه الندبات من فرد آخر، علماً بأن معظم النتائج المتوفرة في الأدبيات العلمية حول هذا الموضوع لا تزال متضاربة. وقد طرحت عدة تفسيرات بالنسبة لصغار السن: فهم أكثر تعرضاً للإصابات الجلدية، ويتمتعون بتوتر جلدي أعلى، وبمعدل اصطناع للكولاجين أعظم مما هو عليه في كبار السن. ويعد موقع الندبة على الجسم عاملاً آخر، حيث من النادر أن تتشكل الندبات الضخامية فوق ريف الأعين وأعضاء التناسل وراحة اليد وباطن القدم، في حين تتشكل بمعدلات أسرع فوق الرقبة والظهر والكتفين وشحمتي الأذن. وبناء عليه، لا يمكن لشخانة الجلد وتوتره أن يفسرا بشكل كامل عملية تشكل الندبات الضخامية، وقد يلعب الاصطناع الجلدي دوراً في هذا

REFERENCES

المراجع

- [1] C. YONEZAWA, ph.D. Thesis, Tokyo Metropolitan University, 1997.
- [2] C. YONEZAWA, *Anal. Sci.*, 12 (1996) 605.
- [3] N. M. SPYROU, An experimental investigation into the fundamental aspects of neutron tomography, Annual Report of the Institute Laue - Langevin, Grenoble, France, 1983, p. 25.
- [4] N. M. SPYROU, F. A. BALOGUN, G. DAVIES, J. *Radioanal. Nucl. Chem.*, 113 (1986) 417.
- [5] F. DE CORTE, A survey of recent k_0 -NAA developments and applications in Europe, 4th Intern. Conf. on Methods and Applications of Radioanalytical Chemistry, MARC IV, Hawaii, USA, 6-11 April 1997; *J. Radioanal. Nucl. Chem.*, 234 (1998) No, 1-2.
- [6] K. HEYDORN, E. DAMSGAARD, *J. Radioanal. Nucl. Chem.*, 179 (1994) 87.
- [7] IAEA, Nuclear Research Reactors in the World, Dec. 1996 Edition, Research reactors in the World, Dec. 1996 Edition, Reference Data Series No. 3, International Atomic Energy Agency, Vienna, 1996.
- [8] E. HUMPHREYS, K. RIDINGS, *The Nuclear Engineer*, 35, 5 (1994) 154.
- [9] D.J.GENTLE, N. M. SPYROU, *Nucl. Instr. Meth. Phys. Res.*, A299 (1989) 534.
- [10] P. BACH, H. BERNARDET, V. STENGER, Operation and life of SODITRON neutron tube for industrial analysis, 14th Intern. Conf. on the Application of Applications of Accelerators in Research and Industry, Denton, Texas, USA, 6-9 Nov 1996: to be published in *Nucl. Inst. Meth. in Phys. Res.*
- [11] J.YINON, S. ZITRIN, *Modern Methods and Applications in Analysis of Explosives*, Wiley, Chichester, 1993.
- [12] T. GOZANI, in: *Proc. 1st Intern. Symp. on Explosives Detection*, S. KAHN (Ed.), Atlantic City, FAA Technical Center, 1992.
- [13] G. VOURVOPOULOS, *Nucl. Instr. Meth. Phys. Res.*, A 56-57 (1991) 917.
- [14] T. GOZANI, *Nucl. Instr. Meth. Phys. Res.*, B99 (1995) 743.
- [15] G. VOURVOPOULOS, *Nucl. Instr. Meth. Phys. Res.*, B79 (1993) 585.
- [16] R. A. ALVAREZ, A. D. DOUGAN, M. R. ROWLAND, T. F. WANG, *J. Radioanal. Nucl. Chem.*, 192 (1995) 73.
- [17] A. BEYERLE, J. P. HURLEY, L. TUNNEL, *Nucl. Instr. Meth. Phys. Res.*, A299 (1990) 458.
- [18] R. C. MARTIN, T. E. BYRNE, L. F. MILLER, Biomedical neutron research at Californium User Facility for Neutron Science, 4th Intern. Conf. on Methods and Applications of Radioanalytical Chemistry.
- [19] R. F. BARTH, A. H. SOLOWAY, R. M. BRUGGER, *Cancer Invest.*, 14,6 (1996) 534.
- [20] M. D. NAKAGAWA, *Intern. J. Radiation Oncology Biol. Phys.*, 28, 5 (1994) 1217.
- [21] J. C. YANCH, R. E. SHEFER, R. E. KLINKOWSTEIN, W. B. HOWARD, Research in BNCT at MITLABA, in: Intern. Conf. Applications of Accelerators in Research and Industry, J. L. DUGGAN, I. L. MORGAN (Eds), *Proc. AIP*, 1997, 1281.
- [22] A. M. HAQUE, G. MOSCHINI, V. VALKOVIC, D. ZAFIROPOULOS, Boron neutron capture therapy, in: Intern. Conf. Neutrons in Research and Industry, G. VOURVOPOULOS (Ed.), *Proc. SPIE* 2339, 1995, p. 514.
- [23] D. GABEL, *Radiotherapy Oncology*, 30, 3 (1994) 199.
- [24] R. GAHBAUER, N. GUPTA, T. BLUE, J. GOODMAN, BNCT: A promising area of research?, Intern. Conf. Neutrons in Research and Industry, G. VOURVOPOULOS (Ed.), *Proc. SPIE*, 2867, 1997, p. 12.
- [25] T. MATSUMOTO, O AIZAWA, *Intern. J. Appl. Radiation. Isotopes*. 41 (1990) 897.
- [26] N. M. SPYROU, J. M. SHARAF, S. RAJESWARAN, E. MESBAHI, *J. Radioanal. Nucl. Chem.*, 217 (1997) 237.
- [27] M. E. CASEY, R. NUTT, *IEEE Trans. Nucl. Sci.*, 33 (1986) 460.
- [28] M. P. TORNAL, G. P. GERMANO, E. J. HOFFMAN, *IEEE Trans. Nucl. Sci.*, 41 (1994) 1458.
- [29] T. J. SPINKS, D. L. BAILEY, P. M. BLOOMFIELD, M. MILLER et al., Performance of a new 3D-only PET scanner - the EXACT 3D, presented at the IEEE Medical Imaging Conference, Anaheim, USA, 1996.
- [30] T. K. LEIPERT, J. D. BALDESHWIELER, D. A. SHIRLEY, *Nature*, 220 (1968) 907.
- [31] N. M. SPYROU, J. M. SHARAF, S. RAJESWARAN, *J. Biol. Trace Element Res.*, 43-45 (1994) 55.
- [32] S. RAJESWARAN, N. M. SPYROU, T. JONES, Stages in the development of a dedicated positron emission

- tomography system for imaging small animals, Proc. Symp. on Tomography in Nucl. Medicine, Present Status and Prospects, IAEA, Vienna 21-25, Aug., 1995, in press.
- [33] W. JAEK, R. WAGNER, in: Brochure describing the Jülich high resolution animal PET, Forschungszentrum Jülich GmbH, Germany, July 1997.
- [34] C. W. BEAUSANG, J. SIMPSON, J. Phys., G22 (1996) 527.
- [35] S. AMBE, S. Y. CHEN, Y. OHKUBO, Y. KOBAYASHI et al., J. Radioanal. Nucl. Chem., 195 (1995) 297.
- [36] MRC Alzheimer's Disease Brain Bank, Department of Neuropathology, Institute of Psychiatry, London, Progress Report, 1993.
- [37] F. A. HUPPERT, C. BRAYNE, D. W. O'CONNOR, Dementia and normal ageing, Cambridge University Press, Melbourne, 1994.
- [38] Y. NAMBA, M. TOMONAGA, H. KAWASAKI, E. OTOMO, K. IKEDA, Brain Res., 541 (1991) 163.
- [39] S. S. SISODIA, D. L. PRICE, Faseb J., 9 (1995) 366.
- [40] G. COHEN, in: Handbook for Oxygen Radical Research, R. A. GREENWALD (Ed.), CRC Press, Boca Raton, 1985, 55.
- [41] C. BEHL, J. DAVIS, G. M. COLE, D. SCHUBERT, Biochem. Biophys. Res. Comm., 186 (1992) 944.
- [42] M. W. B. BRADBURY, Progr. Brain Res., 91 (1992) 133.
- [43] D. L. REZ, Arch. Neurol., 44 (1987) 1030.
- [44] S. KRISHNAN, J. E. HARRISON, D. R. CRAPPER-MCLAGHLAN, Biol. Trace. Elem. Res., 13 (1987) 35.
- [45] D. R. CRAPPER, S. KRISHNA, A. DALTON, Science, 180 (1973) 511.
- [46] C. M. THOMSON, W. R. MARKESBURY, W. D. EHMANN, Y. X. MAO et al, Neurotoxicology, 9 (1988) 1.
- [47] E. ANDRASI, E. FARKAS, H. SCHRIEIBLER, A. REFFY et al., Arch. Gerontol. Geriatrics, 21 (1995) 89.
- [48] W. D. EHMANN, W. R. MARKESBURY, T. I. M. HUSSAIN, M. ALAUDDIN et al, Neurotoxicology, 7 (1986) 197.
- [49] J. D. STEDMAN, N. M. SPYROU, J. Radioanal. Nucl. Chem., 217 (1997) 163.
- [50] N. M. SPYROU, J. D. STEDMAN, ANS Transactions of 1996 Annual Meeting, Reno, Nevada, June 16-20, TANSO 74, 1-382, 1996, p. 6.
- [51] J. D. STEDMAN, N. M. SPYROU, Dependence of elemental concentrations in Alzheimer brain tissue on the disease duration, in: IAEA Proc. Intern. Symp. on Harmonisation of Healthy-Related Environmental Measurements Using Nuclear and Isotopic Techniques, Hyderabad, India, 4-7 Nov. 1996, in press.
- [52] E. FERANNINI, R. A. ED FRONZO, Insulin action in vivo: glucose metabolism, in: International Textbook of Diabetes Mellitus, Vol. 1., John Wiley and Sons, Chichester, 1992, p. 409.
- [53] J. PALMER, J. LERNMARK, Pathophysiology of Type I Diabetes, in Diabetes Mellitus Theory and Practice (4th ed.), H. RIFKIN and D. PORTE (Eds), Elsevier Science Publishing, New York, 1990, 414.
- [54] M. NATTRASS, Symp. of Disturbances of Nutrient Homeostasis in Diabetes, Proc. Nutrition Society, 50 (1991) 577.
- [55] National Diabetes Data Group, Diabetes 28 (1979) 1039.
- [56] T. ISBIR, L. TAMER, A. TAYLOR, M. ISBIR, Diabetes Res., 26 (1994) 41.
- [57] J. J. STRAIN, Proc. Nutr. Society, 50 (1991) 591.
- [58] S. BAHNOT, K. H. THOMPSON, J. H. MCNEILL, Nutrition Res., 14, 4 (1994) 593.
- [59] B. HAGLUND, K. RYCKENBERG, O. SELIMUS, G. DAHLGQUIST, Diabetes Care, 19, 8 (1996) 873.
- [60] B. A. FOX, A. G. CAMERON, Food Science Nutrition and Health, Edward Arnold, London, 1989.
- [61] J. E. BLUNDELL, A. TREMBLAY, Nutr. Res. Rev., 8 (1995) 225.
- [62] R. J. LIEVERSE, A. A. MASCLÉE, J. B. JANSEN, L. C. ROVATI, C. B. LAMERS, Biol. Psychiatry, 37 (1995) 331.
- [63] A. WETTERGEN, B. SCHOLDAGER, P. E. MORTENSEN, J. MYHRE et al., Dig. Dis. Sci., 38 (1993) 665.
- [64] J. E. BLUNDELL, C. G. HALFORD, Proc. Nutr. Soc., 53 (1994) 407.
- [65] S. H. HOLT, J. B. MILLER, Appetite, 24 (1995) 43.
- [66] G. A. BRAY, Am. J. Clinical Nutrition, 265, 5-27 (1992) 15.
- [67] J. E. C. NORRIS, Plast. Reconstr. Surg., 88 (1991) 372.
- [68] L. D. KETCHUM, I. K. COHEN, F. W. MASTER, Plast. Reconstr. Surg., 53 (1974) 140.

- [69] K. J. DOYLE-LLOYD, J.A. WHITE, J. L. A. State Med. Soc., 143 (1991) 9.
- [70] G. L. DOCKERY, J. Am. Pediatric Med. Assoc., 85 (1995) 57.
- [71] G. V. IYENGAR, W. E. KOLLMER, H. J. M. BOWEN, The Elemental Composition of Human Tissues and Body Fluids, Verlag Chemie, New York, 1978.
- [72] J. PALLON, M. G. MALMQVIST, Y. WERNER-LINDE, B. FORSLIND, Cellular Molec. Biol., 42 (1996) 111.
- [73] R. L. BANG, H. DASHTI, Supplement to Nutrition: Intern. J. Appl. Basic Nutr. Sci., II, 5 (1995) 527.
- [74] R. HOLLANDS, N. M. SPYROU, V. VIJH, J. T. SCALES, J. Radioanal. Nucl. Chem., 217 (1997) 185.
- [75] R. HOLLANDS, N. M. SPYROU, Elemental composition of hypertrophic scar and normal skin tissue using proton induced X-ray emission, 4th Intern Conf. on Methods and Applications of Radioanalytical Chemistry, MARC IV, Hawaii, USA, 6-11 April 1997; J. Radioanal. Nucl. Chemistry., 236 (1998) No. 1-2.
- [76] J. R. MORGAN, M. L. YARMUSH, Sci. Med., 4, 2 (1997) 6. ■



فوتونات تعبر الحواجز*

يخترق الضوء ثقباً أصغر من طول موجته

توماس إيسن
أستاذ في جامعة لويس باستور في ستراسبورغ

ملخص

منذ عشر سنوات، كان النظر عبر فِلم من الذهب ذي ثقبٍ أقطارها أقل من طول موجة الضوء المرئي يبدو أمراً لا يُصدَّق عند غالبية الفيزيائيين. ولكن هذه الظاهرة حقيقية، وأسسها النظرية بدأت تتضح شيئاً فشيئاً. وتمتع النبايط المعتمدة على هذا المبدأ، باستخدامات كثيرة التوسع لم نعرف عنها بعد إلا القليل.

الكلمات المفتاحية: فوتونات، ثقب، طول موجة الضوء، ذرى النفاذ، تجارب بلازمونات السطح.

منها 300 نانومتر، محفورة على سنتيمتر مربع واحد من فِلم من الذهب سماكه 300 نانومتر موضوع على صفيحة زجاجية (الشكل 1).

عندما استلمت هذا الشيء، أصبت بالدهشة: كنت أرى تماماً غيره. كيف عبر الضوء الثقب بهذه السهولة؟ وبما أن قطر هذه الثقب أصغر من موجة الضوء، كان على هذا الأخير أن يكون ضعيفاً ومنتشراً، كأنه يعبر زجاجاً مُحشناً.

لقد تأكدت بواسطة المجهر من أن الثقب الأسطوانية كانت موجودة وأنها بنفس المواصفات التي طلبتها. ثم قمت بقياس طيف نفاذ الجسم (كمية الضوء النافذ عند كل طول موجة). لقد ازدادت دهشتي عندما وجدت أن الثقب ليست وحدها التي تنقل الضوء، ولكن الطيف يحتوي أيضاً ذرى إنفاذ ذات أطوال موجية أكبر من الأطوال الموجية للضوء المرئي. وحتى الضوء الساقط على القطعة الذهبية انزلق عبر الثقب لأن الجزء النافذ من الضوء كان أعلى من النسبة بين السطح الذي تشغله الثقب والسطح الكلي!

بدا لي الأمر مشيراً للغاية فذهبت فوراً لرؤية متخصصين بالضوء في المختبر؛ فأخبروني في الحال أن ملاحظاتي مستحيلة.. في الواقع أثبت حساب نظري أجراه، في الأربعينيات، الفيزيائي الكبير هانز بيث H. Bethe أن الضوء لا يمكن أن يمر إلا بصعوبة عبر فتحة أصغر من طول موجته لأن هذا الطول يعادل "قد" الفوتون (الفضاء الذي يحتله). ولكن شدة الضوء النافذ التي لاحظتها كانت أكبر بألف مرة مما تنبأ به حساب بيث.

هل ارتكبت خطأ ما، أو نسيت شيئاً هاماً؟ أو هل اكتشفت ظاهرة جديدة؟ إذا كان الأمر كذلك، فقد كان عليّ أولاً أن أشرحها قبل أن أقدمها أمام الجمعية العلمية، خوفاً من أن لا تُصدَّق. لم يكن الرهان إلا

إذا أخبرك أحدهم أنه يستطيع المرور من فتحة قفل باب مصفّح، فمن المؤكد أنك لن تصدقه، وأنت على حق في ذلك. تخيل الآن أن هذا الشخص نفسه تُقب الباب بعدد كبير من الثقب الصغيرة، وأن هذه العملية البسيطة سمحت له باجتياز العائق: لن تصدق ما ترى عيناك. هكذا كانت دهشتي وريية زملائي عندما اكتشفنا أن الضوء يخترق صفيحة معدنية فيها ثقب صغيرة أقطارها أصغر من طول موجته. والأكثر من ذلك أن الضوء الذي يسقط بين الثقب يستطيع أيضاً أن يمر عبرها. وهذا ما يخالف تماماً المنطق، وطبعاً يخالف ما نتعلمه في محاضرات الفيزياء: لقد قضيتُ وبعض زملائي ثماني سنوات قبل إدراك أسباب هذه الظاهرة. وجاءت مؤخراً دراسة نظرية جديدة أكدت استنتاجاتنا [1].

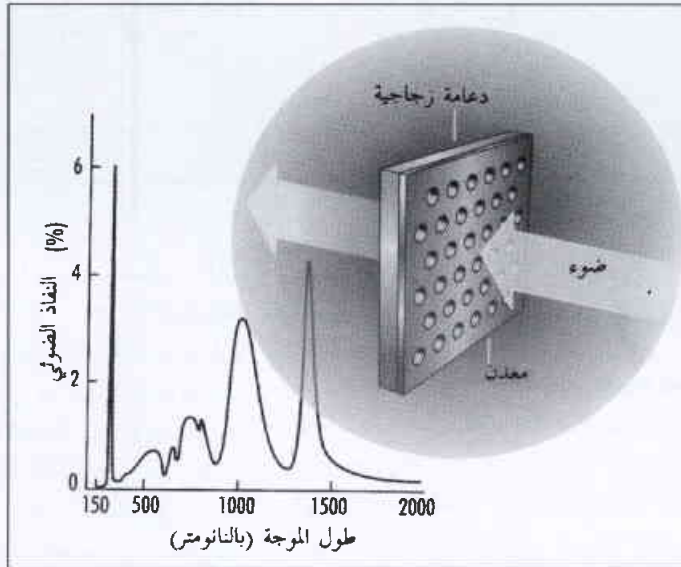
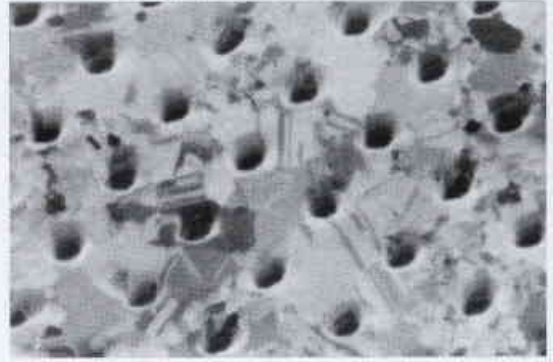
كانت البداية منذ عشر سنوات، فقد التحقت قبلها بعام بمختبرات البحث الأساسية لشركة NEC، في مدرسة التقانات في تسوكوبا Tsukuba، الواقعة شمال طوكيو، لتأسيس فريق الكيمياء الفيزيائية. شاركت في مكتب مع عدد من الفيزيائيين والمهندسين اليابانيين، وفي أحد الأيام تصفّحت مجلة فيزيائية لم أكن أعرفها، كوني كيميائياً، فوجدت فيها مقالاً واضحاً جداً ليسيرج هاروش S. Haroche من دار المعلمين العليا، و دانييل كلينر D. Kleppner من معهد ماساتشوستس للتقانة. وموضوع هذا المقال فيه من التعقيد ما يُعادل التعقيد الظاهر على عنوانه: الإلكتروديناميك الكمومي للتجويف [2].

أعطاني هذا المقال فكرة لإجراء تجربة في الكيمياء الفيزيائية تستخدم هذه الظاهرة. لهذا كنت بحاجة لأنابيب اختبار صغيرة جداً، أصغر من أصغر طول موجة للضوء المرئي (400 نانومتر)، محفورة في مادة معدنية. إن تصنيع بُنى كهذه يتطلب أدوات لتصنيع نانوي حيث الصناعات الإلكترونية مثل NEC - مجهّزة بها، لهذا طلبت من بعض زملاء تصنيع مئة مليون أنبوبة اختبار نانوية، وهي ثقب أسطوانية يبلغ قطر كل

لم يأت مفتاح فهم هذه الظاهرة إلا عام 1997، عندما اقترح أحد النظريين - بيتر وولف P. Wolff من معهد البحث التابع ل NEC في برنستون، أن بلازمونات السطح هي أصل هذه الظاهرة.

ما هو بلازمون السطح؟ تتمتع الإلكترونات الحرة، فوق سطح ناقل كهربائي جيد - المعدن مثلاً - بحركات جماعية تُنشئ تجمعات موضعية لشحنات موجبة أو سالبة. ينتج من ذلك اهتزازات في الشحنة على السطح، وهذه هي البلازمونات.

إن أمواج كثافة الشحنة هذه هي أمواج صدفوية بطبيعتها كالأمواج على سطح البحر، ومع ذلك إذا حُرِّضت هذه البلازمونات السطحية بواسطة الضوء، يمكن إحداث موجات كثافة الشحنة منتظمة. وتوجد طريقة لإحداث التأثير بين الضوء وبلازمونات السطح وهي إنشاء شبكة دورية على سطح المعدن وخاصة عند إحداث ثقوب متباعدة فيما بينها بصورة منتظمة. وهكذا تكون عيناتنا بمثابة بلورات ثنائية البعد من ثقوب في بحر من الإلكترونات. وكما هي الحال في كل بلورة، تولد الدورية بنية عسائرية، أي أن طاقة إثارة البلازمونات وانديفاعها لا يمكن أن يمتلكا سوى قيم محددة تماماً. كانت فكرة وولف، إذن، تقول بأن ذرى الإنفاذ تتوافق



الشكل 1- يمر الضوء يلمأ معدنياً (من الفضة في التصوير المجهرى - في الأعلى) مملوفاً بثقوب تبلغ أقطارها 150 نانومتراً تاركة بينها مسافات منتظمة، حتى عندما يكون طول موجة الفوتونات أكبر من قطر الثقوب (النحني في الأسفل).

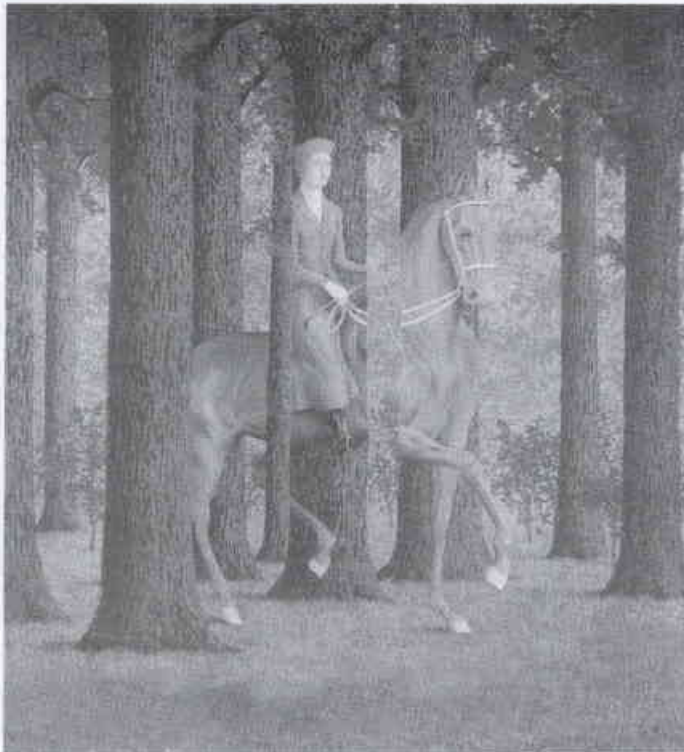
نظرياً: فاستخدامات كثيرة للضوء مُحدَّد تماماً بالنفوذ الضعيف جداً عبر فتحات أقطارها أصغر من طول الموجة.

وليزيد من الاستيعاب

كانت تلزمني عييات أخرى أستطيع بواسطتها دراسة دور مختلف الوسطاء (البارامترات)، مثل قطر الثقوب أو المسافة بينها. وللأسف كان الشك في حقيقة ملاحظاتي قد أصاب أيضاً المهندسين الذين كانوا قد

في البداية لم يثق أحد بهذه النتائج: حتى الحصول على مبيعات جديدة كان صعباً.

صنعوا العينة الأولى، ولم يكن لديهم الوقت لتزويدي بعييات أخرى، وهكذا لم أستطع متابعة هذا البحث إلا بصورة ثانوية، إلى جانب أعمالتي الأساسية. ومع ذلك، خلال السنوات الثماني اللاحقة، كان بعض زملائي في NEC يشجعونني ويساعدوني وهم: شونجي كيشيدا S. Kishida وهو ياباني متخصص بالليزرات، و غيدو بوغمان G. Bugmann، سويسري ذو مختلة واسعة جداً، ويعمل في الشبكة العصبية، و هنري ليزك H. Lezek وهو فرنسي - أمريكي صنع لي سراً عييات، في حين كان يعمل مع فريق آخر. وبهذا استطعت شيئاً فشيئاً أن أجمع بعض النتائج.



الحساسية لهندسة الشقوق، لعمقها مثلاً، كما هي الحال في آلة النفخ حيث يحدّد شكل الأنبوب ومقاسه الأصوات التي تتردد (تجاوب) فيه. ومن المهم أن نذكر أنه لما كان طول موجة اللرى مرتبطاً بالعمق، فإن شداتها تبقى شبه ثابتة، حوالي 80%، في حين أن الشقوق لا تحتل سوى 14% من السطح!

لقد قمنا أيضاً بدراسة نفوذ شبكة من الشقوق من الناحية التجريبية منذ عدة سنوات، وكانت نتائجنا متفقة مع الحسابات المقدّمة في هذا المقال، ولكننا لم ننشرها لأن أطراف النفوذ بدت لنا صعبة الفهم أكثر من أطراف شبكات الثقوب

بالإضافة إلى التأكيد على دور البلازمونات، تكشف هذه الدراسة النظرية إذن عن أثر بُعد الفتححات، وتوضح آلية نفوذ الضوء التي نفهمها اليوم على الشكل التالي: تفصل الثقوب سطحين هما السطح الفاصل بين المعدن والهواء، والسطح الواقع بين المعدن والركازة (وهي من الزجاج غالباً). كلا السطحين لهما تجاوبات خاصة لأن طاقات هذه التجاوبات تعتمد على قرينة انكسار المادة المتصلة بالمعدن.

تعكس أطراف الانتقال مجمل التجاوبات التي توجد على السطحين ومن جانبي الفيلم المعدني. تختص أنماط التجاوب هذه الضوء وسرعان ما تعيد إصداره عبر الثقوب التي تسلك بهذا سلوك مصابيح صغيرة، ويكون للفوتونات التي أعيد إصدارها نفس طاقة الفوتونات الواردة.

بماذا مستخدم هذه "المناخل الفوتونية"؟

إن الاستخدام الأكثر وضوحاً هو الترشيح، لأن هذه المناخل تنقل بصورة انتقائية بعض الأطوال الموجية التي يهبطها اختيار المسافة الوسطية بين الثقوب، واختيار تناظر بلورة الثقوب. لقد أثبتنا، بالإضافة إلى ذلك، أن هذه الأجسام يمكنها أن تتحول إلى فواصل ضوئية عندما نضع فوق أحد السطحين بلورة سائلة، وهي مادة تتغير قرينة انكسارها مع تطبيق كمون كهربائي: بما أن وضع ذرى الانتقال مرتبط بقرينة انكسار المادة المتصلة مع سطح المعدن، نقوم بحجز أو إمرار طول موجة معين بتغيير بسيط في التوتر الكهربائي [6].

منذ سنوات عديدة جرت محاولة للتحكم بالضوء بنفس الطريقة التي يتم فيها التحكم بالإلكترونات داخل دارات المعالج الميكروي. وأحد الموقّات في هذه الأعمال هو بالضبط انتقال الضوء بواسطة فتحات ذات قد أصغر من طول الموجة. ولكن شبكاتنا ذات الثقوب أشارت إلى طريقة للتغلب على هذه المشكلة.

ولم نتوقف عند هذا الحد، بل تساءلنا عن الطريقة التي تمكّننا من زيادة النفوذ عبر ثقب واحد بدلاً من شبكة من الثقوب. في الواقع، إن كفاءة التفتحات الضوئية قد تحسّن على نطاق واسع إذا استطاع ثقب قطره أقل من طول الموجة أن ينقل الضوء بنجاح. وعلى سبيل المثال، تعاني المجهرية الضوئية في الحقل القريب من النفوذية الأضعف للضوء حيث

مع طاقات التجاوب، وهي الطاقات الوسطية للعصابات التي تشكلها بلورة الثقوب من أجل بلازمونات السطح.

للتحق من هذه الفرضية كان لابد من قياس تجريبي لبنية عصابة، من جهة، ومن جهة أخرى إثبات أن الظاهرة لا تحدث في مادة غير ناقلة (حيث لا توجد بلازمونات سطحية). ولقلة خبرتنا في قياسات البنى العصبية وكذلك في بلازمونات السطح، طلبت أنا ولزك مساعدة تينيك تيو T. Thio، وشركة NEC، وهادي غايي H. Ghaemi الذي كان حينها في فترة التمرين ما بعد الدكتوراه في فريقه. وقد أثبتنا جميعنا معاً وجود بنية عصبية، أي أننا رسمنا خريطة نفوذ الضوء الوارد تبعاً لطاقة الفوتونات الواردة وانديفاعها (وقمنا بتغيير الانديفاع بتغييرنا لزاوية إضاءة العتية). أضف إلى ذلك أن فلماً من الجرمانيوم، وهو نصف ناقل تمّ ثقبه تماماً مثل الأفلام الذهبية، لم يمرر الضوء عبره طبقاً لفرضية ب. وولف. وبسرعة قدّمنا براءات اختراع، وقُبل المقال الذي يصف هذه النتائج، مع مقالات أخرى، في المجلة المرموقة Nature [3]. فكانت هذه مكافأة لنا بعد ثماني سنوات من السعي الحثيث.

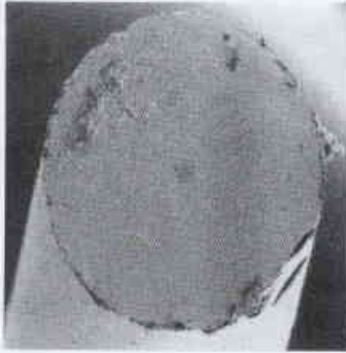
إن المسائل الأساسية التي طرحها هذا المقال، وكذلك النتائج التقانية للظاهرة، قد أثارت الكثير من الاهتمام. فقد شرع بعض النظريين بإجراء حسابات للتحقق من اكتشافنا، ومع ذلك فإن الحسابات النظرية حول شبكات ثنائية البعد كانت شديدة التعقيد، فكان لابد من حسابات تقريبية. وحتى يومنا هذا تم نشر ثلاث دراسات: الأولى تفترض أن الأمر عبارة عن ظاهرة انعراج [4]، في حين أهدت الدراسات الأخرى فرضية بلازمونات السطح [5,1].

والدراسة الأحدث هي تحليل مفصّل من خوان پورتو J. Porto وفرانيسكو غارسيا فيدال F. Garcia-Vidal من جامعة مدريد المستقلة، وجون بيندري J. Pendry من جامعة Imperial College في لندن. لقد أجروا التقريب الذي يبين أن الشبكات كانت أحادية البعد وبدلاً من الثقوب، فقد اعتبروا صفّاً من الشقوق اللامتناهية الطول والتي يقل عرضها عن طول موجة الضوء.

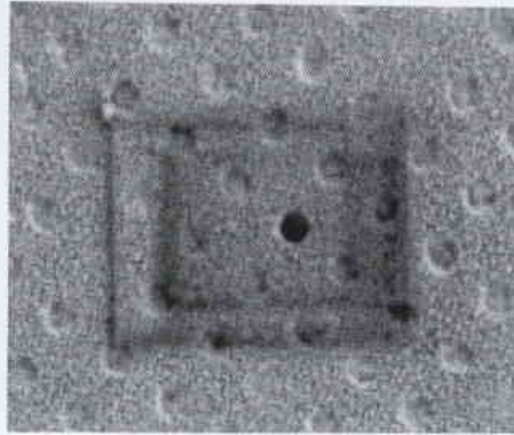
تعتمد أطوال الموجة ذات النفوذ الأفضل على عمق الشقوق، ولكن هذا لا ينطبق على شدة هذا النفوذ.

اختلفت النتيجة قليلاً ولكن أسس الظاهرة متطابقة، وهكذا ظهر نوعان لنمط تجاوب البلازمونات*: فبالإضافة إلى أنماط السطح الموجودة أيضاً في شبكات الشقوق، توجد في الثقوب أنماط للتجاوب، تحديداً لأن هذه الشقوق لامتناهية الطول ولأن هناك بالتالي المسافة اللازمة لوجودها. إن أنماط التجاوب، التي تُنتج ذرى النفوذ الأقوى، شديدة

* إن نمط تجاوب منظومة كهربائية أو ميكانيكية يتوافق مع تواتر الاهتزاز الذي تكون سمة استجابة المنظومة من أجله أعظمية.



الشكل 2- إن شبكة آبار صغيرة قطرها 200 نانومتر، محيطة بنقبة له نفس القَد (على اليمين) ومطوّر في وسط فلم من الفضة يكسو نهاية ليف ضوئي (في الأعلى)، تزيد كثيراً من الدفق الضوئي الذي يخترق الليف الضوئي.



يمكننا أيضاً تصوّر تطبيقات أخرى حيث تحدّد التقانة، في وقتنا الحاضر، بطول موجة الضوء كما هي الحال في الطباعة الحجرية الضوئية في تصنيع المعالجات الميكروية الإلكترونية. ومع ذلك ستأتي أهم التطبيقات على الأرجح من توجّهات لم نستشّفها بعد، ومن ملاحظات طارئة كتلك التي قادت إلى اكتشاف هذه الظاهرة.

تُستخدم إحدى الفتحات للمراقبة الضوئية لبني أصغر من طول موجة الضوء المستخدم.

لقد وجدنا هنا [7]: يكفي أن نسدّ جميع الثقوب جزئياً باستثناء ثقب واحد (الشكل 2). وبمعنى آخر، أحطنا أحد الثقوب ببُورَة صغيرة ذات آبار ظليلة، وهذه البُورَة تستخدم في خلق تجاويف البلازمونات السطحية التي تمتص الضوء الذي ينقله الثقب. كما أن البُورَة ذات الآبار يمكن أن تكون شديدة الصغر ومجهزة من طرفها بليف ضوئي يشبه الليف المستخدم في الفحص المجهرى ذي الحقل القريب. ويجدر بنا أن نذكر أنه بالرغم من أن شبكة الآبار لا توجد إلا فوق أحد الوجوه، تحدّث إثارة للانتقال مهما كان اتجاه وصول الضوء. ويبقى هذا مظهراً جوهرياً لا يبدّ من فهمه.

REFERENCES

المراجع

- [1] J.A. Porto, F.J. Garcia-Vidal, J.B. Pendry. Phys. Rev. Lett. 83. 2 845, 1999.
- [2] S. Haroche, D. Kleppner, Physics Today. p.24, Jan.1989.
- [3] T.W. Ebbesen, H.J. Lezec, H.F. Ghaemi, T. Thio, P.A. Wolf, Nature, 391, 667, 1998.
- [4] M.M.J. Treacy, Appl. Phys. Lett. 75, 606, 1999.
- [5] U. Schroter, D. Heitmann, Phys. Rev. B. 58, 15 419, 1998.
- [6] T.J. Kim, T.Thio, T.W. Ebbesen, D.E. Grupp, H.J. Lezec, Optics Lett., 24, 256, 1999.
- [7] D.E. Grupp, H.J. Lezec, T.Thio, T.W. Ebbesen, Adv. Mater., 11, 860, 1999. ■



إحذروا مولدات الأرجية*

بما بركس

مساعد محرر في مجلة Molecular Medicine Today

ملخص

يعاني ملايين الأشخاص - عندما تتفاعل بشكل مفرط أجهزتهم المناعية مع كيمائيات وجسيمات حميدة - من حالات مرضية تراوح ما بين خفيفة كسيلان الأنف وحكة العيون والغطاس المهيّرة لحمى الدريس hay fever وأخرى حادة قد تغدو مميتة أحياناً كما هو الحال عند الإصابة بالربو والأرجيات الغذائية. ماذا يمكن لمثل هذه المعاناة أن نخبرنا عن دفاعات الجسم؟ وهل بالإمكان الحد من حدوث أو تطور الإصابة بالأرجيات؟

الكلمات المفتاحية: أرجية، استجابة مناعية، مستضد، مولد الأرجية، ربو، حمى الدريس، تآلب، تأق، شرى، إكزيمة.

عليه اسم "الظهارة epithelium" تمنع دخول معظم العوامل الخمجية (المرضية) كما تمنع دخول جسيمات أخرى دخيلة. ويقع على الجانب الآخر جيش من الخلايا المناعية في وضع انتظار متحدياً أي شيء سيتمكن من عبور هذا الحد. وفي المرة الأولى التي يتمكن فيها عامل ممرض من غزو الجسم سيحتاج هذا الجيش من الخلايا إلى بعض الوقت لمنازلة العامل الممرض وطرده، وخلال هذا الوقت بالذات سوف نعاني من المرض. لكن هناك ذاكرة للجهاز المناعي، فإذا عاد العامل الممرض للمواجهة مرة أخرى فإن أجسامنا ستكون في حالة استعداد فوري لمواجهته. وتتميز هذه المواجهات اللاحقة باستجابة مناعية أعظم كثيراً في سرعتها وفعاليتها وتمثل بحد ذاتها المبدأ الأساسي للمناعة.

هل أنت حساس جداً؟

أرجية مقابل لا أرجية

عند أول مرة يواجه فيها مولد الأرجية (مستأرج allergen) لا تظهر أو تُستشعر أية أعراض. وفي حين تستخدم العوامل المرضية مصادر عائتها كمي تنمو وتتكاثر، لا يُشعر مولدات الأرجية مثل هذا التهديد. ورغم غياب الأعراض، فإن الجهاز المناعي الأرجي يتفاعل بشكل صامت وكأن العامل الممرض كان موجوداً فيستظهره (يحفظه في ذاكرته) من أجل مواجهات لاحقة (الشكل 1).

وفي أفراد لا أرجيين، يعمد الجهاز المناعي أصلاً إلى تمهيد هوية ما يحتمل كونها مولدات أرجية غير مؤذية، لذلك لن يُتخذ أي إجراء لدرء مواجهات لاحقة. أما في حالة الأفراد الأرجيين فيعمد جهازهم المناعي إلى إطلاق الاستجابة السريعة المتلازمة مع حدوث الإصابة. وحيث أن هذا سيتهي إلى فشل، ومن خلال محاولة قتله وإبعاده لما قام بتمييزه خطأ على أنه عامل ممرض، سوف يتسبب الجهاز المناعي في حدوث أعراض الأرجية.

في السنة الماضية، نُقل على عجل إلى المستشفى بحالة غيبوبة أحد أعظم الرياضيين الواعدين في بريطانيا، ألا وهو قافز الحواجز روسي يبلي R. Baillie، إثر إصابته بنوبة كان المسبب لها تفاعل أرجي allergic reaction تجاه زيت الفول السوداني الذي احتوت عليه شطيرة تناولها الرياضي المذكور. ولم يتمكن يبلي من استعادة وعيه على الإطلاق وافته المنية بعد ذلك بأيام وهو في عمر لا يتجاوز 21 عاماً. وفي بريطانيا، يعاني من أرجية الفول السوداني فرد واحد من أصل 200 فرد، ويموت منهم سنوياً عدة أفراد نتيجة هذه الإصابة. والأسوأ من ذلك أيضاً، أن طفلاً واحداً من بين 7 أطفال بريطانيين وبالغاً واحداً من بين 25 هم بالفعل أفراد مصابون بالربو asthma، علماً بأن الأرقام أنفة الذكر آخذة في الازدياد. هذا، وتؤدي هذه الحالة المرضية إلى قتل 1600 من الأفراد البريطانيين سنوياً.

ويتسبب في الأرجيات حدوث استجابة مؤذية للجهاز المناعي تجاه معالم للبيئة ليست ضارة أصلاً. وبالتقريب، فإن جميع أعراض الأرجية - بما في ذلك العطاس الملازم لحمى الدريس والأزيز الربوي، والحكة المراقبة لالتهاب الجلد، والارتكاسات العنيفة تجاه غذاء محدد تنجم عن الاستجابة المناعية ذاتها. وليس الطلع، وفراء القطط، والفبار المنزلي، والفول السوداني سوى وسائط قدح، بينما يظل الجهاز المناعي هو العامل المسبب لهذه المشاكل.

وصفت الأرجية لأول مرة في عام 1906 من قِبل الطبيب النمساوي كلمنس فون بيركويت Clemens von Pirquet بأنها "تفاعلية محورة" مكتسبة محددة تعقب تعرضاً أولياً لبروتين دخيل" ويكون تفاعل الجسم لأول مواجهة له مع المولد الأرجي مختلفاً عن تفاعله لمواجهات أخرى لاحقة. وهذا الوصف يلائم جميع التفاعلات المناعية. وبالفعل، يكون الاختلاف الوحيد بين التفاعلات المناعية والأرجية في حصيلتها.

وتُمدّ أجهزتنا المناعية وسائط ناجحة بشكل ملفت للنظر من أجل الدفاع عنها، فكل سطح خارجي من أجسامنا مغطى بغلاف خلوي يطلق

* نشر هذا المقال في مجلة New Scientist, 22 January 2000. ترجمة هيئة التحرير - هيئة الطاقة الذرية السورية.

احتمال إصابة أبنائهم بها ستبلغ 75%، في حين ستبلغ هذه النسبة 50% إذا عانى أحد الأبوين من هذه الإصابة. ويطلق على التأهب الوراثي للتفاعلات الأرجية اسم "تأب atopy". والوسط هو الذي يتحكم بفعالية جينات التأب، وهذا يساعد على تفسير السبب في أن التوائم المتطابقة لا تشاطر دوماً الأرجيات نفسها. وعديد من المرشحات كجينات تأب هي قيد البحث حالياً. ومن بين جميع هذه الجينات المسببة لأمراض أرجية والأعظم من حيث أهميتها الاقتصادية ومن حيث تلقيها لكثير من الاهتمام والبحث هي تلك المسببة لحالة الربو (وهي حالة مرضية قدّرت "الحملة الوطنية للربو" بأنها تكلف بريطانيا سنوياً 1 بليون جنيه استرليني).

طبيعة و غذاء

منازل رطبة صحية

يتأثر الوسط والجينات من خلال طرائق معقدة لإحداث أعراض الأمراض الأرجية. وعلى نطاق عالمي، توجد اختلافات عظيمة من حيث انتشار حالات محددة من الأرجيات، إذ سُجّلت أعلى نسب لها في بريطانيا وأستراليا ونيوزيلندا وأيرلندا، في حين سُجّلت أدنى نسب لها في بلدان أوروبا الشرقية والصين والهند. وتقرّح هذه الأنماط وجود عوامل بيئية تتعلق بظروف الحياة الغربية وذات أهمية خاصة وتأثير على معدل انتشار الحالات الأرجية المذكورة. وهناك دليل جذّاب (وعذب في نفس الوقت) يفيد بأن التعرض لعوامل مرضية في الأوساخ خلال فترة الطفولة يؤدي إلى تدريب الجهاز المناعي والإقلال من ظهور الأرجية خلال الفترات اللاحقة من الحياة، الأمر الذي يجعل الهاجس الغربي بشأن المحافظة على الشروط الصحية مدعاة لتشويه الاستجابة المناعية.

وإن كان مغرباً تحميل مسؤولية الزيادة في إصابات الربو إلى عوامل مثل تلوث الجو الناجم عن السيارات والمصانع، إلا أن الصّلات ما بين البيئة المحلية والأرجية تظل مقلقة بالقدر نفسه. فنحن نقضي وسطياً 75% من وقتنا في المنزل، وليس من قبيل الصدفة أن تشكل القرايات المنزلية الدقيقة house dust mite أهم مصدر للمستأرجات. ولاشك أن البيئة الرطبة الدافئة في البيوت جيدة العزل وذات التزجيج المزدوج ستوفر ظروفاً مثالية لنمو وازدهار هذه المخلوقات.

كذلك، تُعدّ البيئة عاملاً محدداً لنوع الأرجيات السائدة في مناطق محددة. وقد بينت دراسات في الولايات المتحدة أجريت داخل المدن أن القرايات المنزلية الدقيقة وشمّر القطط هي المستأرجات الرئيسة التي تسبب الربو في المناطق الغنية، بينما تشكل القرايات المنزلية الدقيقة والصراصير

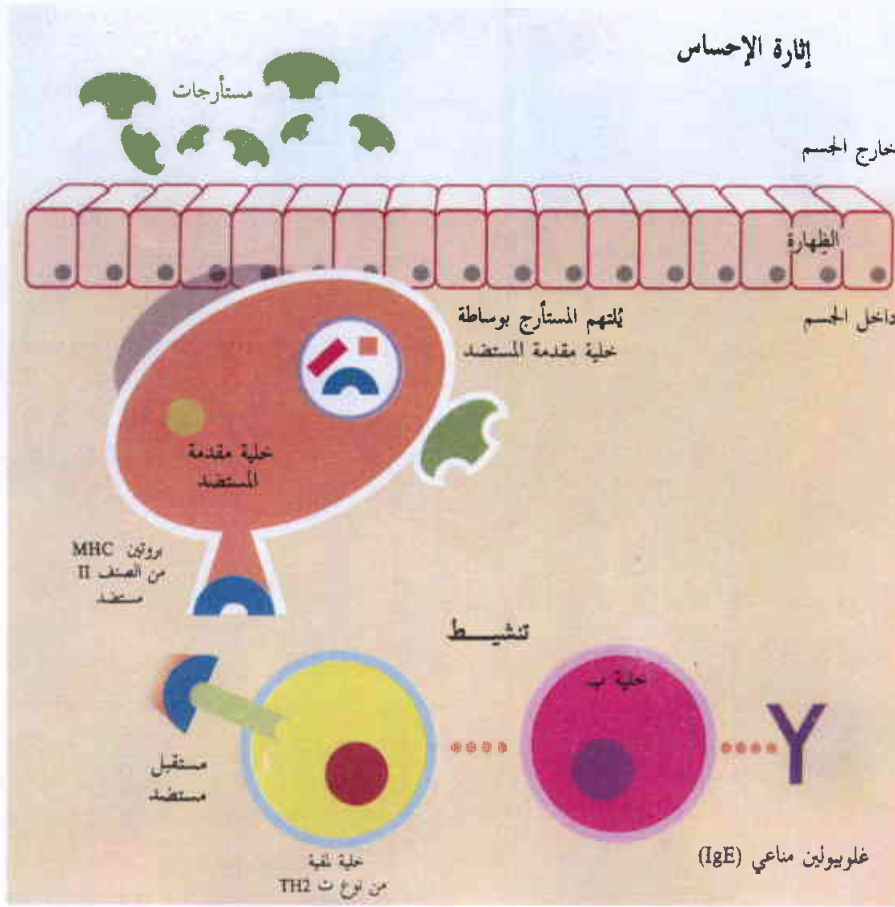


الشكل 1- تطلق الأجهزة المناعية الأرجية الاستجابة السريعة التي ترافق عادة مع الإصابة.

ويُصاب بالأرجيات حوالي 30% من سكان العالم المتقدم. ففي أوروبا تبثلي حمى الدريس نسبة من السكان تراوح بين 10-20% كما تبثلي الإكزيمة eczema نسبة أخرى تراوح بين 10-12% وهناك بين الأطفال المصابين بالإكزيمة طفل واحد من أصل خمسة أطفال سيصاب بهذه الحالة المرضية في فترة لاحقة من حياته. وفي بريطانيا، يصيب الربو 10-15% من الأطفال بعمر أقل من 15 عاماً وحوالي 5% من الأفراد البالغين، علماً بأن الاختلاف المذكور بين الفئتين يعكس جزئياً تغيرات تطرأ على الجهاز المناعي عبر فترة الحياة.

لكن عدد الأفراد المصابين بالأرجيات - سواء كان على شاكلة التفاعل المفاجيء الذي حدث للرياضي البريطاني أو على شاكلة الأرجيات الأكثر شيوعاً - أخذ في الازدياد بشكل مستمر خلال الـ 20-30 سنة الماضية. وهذا ما توضحه جيداً الأرقام الإحصائية الدالة على إصابات الربو في بريطانيا. فخلال الفترة ما بين 1979 و 1993، كادت أن تبلغ الزيادة أربعة أضعاف في عدد الأولاد (بممر 5-14 سنة) الذين سُخّصوا كمرضى مصابين بالربو، أما بالنسبة للأطفال (بممر 0-4 سنوات) فقد بلغت هذه الزيادة خمسة أضعاف.

وهناك كثير من العوامل المتورطة في حدوث حالات الأرجية. ويعتمد حدوث مرض أرجي على شيئين هما: الوراثة والوسط. ويوجد ميل لظهور الأرجية في عائلات محددة. فإن كان الأبوان مصابين بالأرجية فإن نسبة



الشكل 2- تعبر المستأرجات طبقة الظهارة ثم تلتهم بوساطة خلايا مقدمة المستضد التي تعمل بعد ذلك على تنشيط خلايا ت. تقوم الخلايا الأخيرة (خلايا ت) بحق خلايا ب على توليد غلوبولينات مناعية مصوّبة على المستضد.

(2) خلايا TH₁ التي غالباً ما تكون مسؤولة عن المناعة المحققة بوساطة الخلايا والتي هي تفاعلات مناعية متلازمة بشكل خاص للتعامل مع خلايا مصابة بالفيروسات.

وسوف تُملي حصيلة التأثير ما بين خلايا مقدمة المستضد وخلايا ت سياق الأحداث اللاحقة. وعند بلوغ هذه النقطة في فرد لا أرجي، لن تتخذ إجراءات أخرى من قِبل الجهاز المناعي. أما في الفرد الأرجي، فسوف توجه خلايا TH₂ خلايا ب إلى إنتاج غلوبولينات مناعية. وهناك خمسة أصناف من هذه الغلوبولينات المناعية هي: IgA, IgD, IgE, IgG, IgM والتي يتلامح كل منها مع وظائف مختلفة. فعلى سبيل المثال، يتولّد IgE استجابة لإصابة طفيلية، لكنه أصبح، في عام 1966، محط اهتمام البيولوجيين بسبب وجود دور له في الأرجية. وخلايا TH₂ المسؤولة عن التفاعل الأرجي هي التي تحمّض خلايا ب كي تُنتج IgE.

اختيار نسيلي

يوجد للغلوبولين المناعي IgE نوعان من مواقع الارتباط: زوج أو موقعان من أجل ارتباط المستضد (بديان شذفا Fab)، وموقع مفرد من أجل ارتباط الخلية (بدي شذفا Fc) (الشكل 3). ويرتبط جزيء IgE

مستأرجات رئيسة في المناطق الفقيرة. قاد هذا إلى التفكير بأن تزايد حالات الإصابة بالأرجيات قد يكون مرتبطاً بزيادة التعرض إلى المستأرجات. هذا ويستهلك الفرد الأمريكي العادي حوالي 5 كيلوغرام سنوياً من منتجات الفول السوداني، وبذلك يتعرض حوالي 80% من الأطفال الرضع إلى هذه المنتجات قبل إتمامهم السنة الأولى من العمر. والتزايد في حالات الإصابة بأرجية الفول السوداني المبلغ عنها سنوياً يعكس بوضوح تزايداً في معدلات تناول الفول السوداني. وبناءً عليه، فإن كثيراً من المتخصصين بالطب السريري يؤيدون تجنب تناول منتجات الفول السوداني بالنسبة لصغار السن من الأولاد المشتبه معاناتهم بالتأب.

وعلى وجه التقريب، تحصل جميع التفاعلات الأرجية نتيجة استجابة مناعية يُطلق عليها اسم: "فرط حساسية فورية من النمط I". وكما هو الحال عند الاستجابة للإصابة بعوامل ممرضة، هناك طوران لفرط الحساسية الفورية من النمط I: (1) إثارة الإحساس وهو طور يحدث عندما يُواجه مستأرج ما لأول مرة، و(2) التحريض وهو طور يأتي بعد أسابيع أو حتى سنوات لاحقة عندما يظهر المستأرج للمرة الثانية.

وما أن تتجاوز المستأرجات طبقة الظهارة حتى تلتهم بوساطة خلايا مقدمة المستضد antigen-presenting cells، حيث تقوم هذه الخلايا بمعالجة المستأرج وإيراز شذفة منه (مستضد) فوق أغشيتها الخلوية، وتفعل ذلك من خلال ربط المستأرج بالجزء الرئيس لمعقد التوافق النسيجي من الصنف II والذي يطلق عليه اختصاراً MHC II (الشكل 2). وهناك صنف آخر من جزيء MHC، ألا وهو MHC I، يعمل على تقديم مستضدات تنشأ من داخل الخلية، كأن تكون على شكل شذفات لفيروس كان قد أصاب هذه الخلية.

ويجري التعرف على معقد المستضد - MHC II بوساطة مجموعة من الخلايا المجاورة داخل الاستجابة المناعية، ألا وهي الخلايا اللمفية. ويوجد نوعان من هذه الخلايا اللمفية: خلايا ب - B cells وخلايا ت - T cells. تقوم خلايا ب بصنع الأجسام الضدّية (غلوبولينات مناعية) والتي هي مسؤولة عن استجابات مناعية مصوّبة نحو مستضدات محددة، لكنها لا تستطيع التثبيت بهذه الاستجابة إلا بعد أن تكون قد اتصلت مع خلايا ت المساعدة T helper cells (TH cells). وهناك نوعان من خلايا TH: (1) خلايا TH₂ التي تعالج إصابات تسببها البكتريا أو الديدان الطفيلية والتي تعد أساسية من أجل تنظيم الاستجابة المناعية،

يوسع أيضاً الشعيرات الدموية لكنه أكثر فعالية من مادتي الهستامين و PGD_2 كحاث على تقلص العضلات الملس.

وتعتمد أعراض الأرجية كلية على الموقع داخل الجسم الذي حدثت فيه استشارة للجهاز المناعي. فتوسع الشعيرات الدموية والوذمة وإفراز المخاط وتقلص العضلات الملس داخل جدار المعي هي التي ستسبب الأعراض المميزة لحالة اضطراب المعدة. وهذا يعكس صورة الاستجابة لإصابة بطفيليات متعددة الخلايا - وهو تفاعل يحتمل أنه قد نشأ من أجل منع الطفيليات أن تثبت كلابيها داخل المعي.

وفي المسالك الهوائية، تُحدث الوسيطاتها ذاتها الأعراض الخاصة بالربو والتي يكون فيها تقلص العضلات الملس هو المسؤول عن الأزيز المميز الذي يحدث عندما تضيق الأنابيب التي تحمل الهواء من وإلى الرئتين. أما أعراض الحرارة والاحمرار والحكاك التي تلازم حالتى الشرى urticaria والإكزيمة (التهاب جلدي) فإنها تنجم عن توسع الشعيرات الدموية، والوذمة، واستشارة العصب الحسي. وفي الأنف يكون إفراز المخاط والوذمة والحكاك هي الأعراض السائدة عند الإصابة بحمى الدريس. ولأثرؤد المسالك الهوائية والمعى بالأعصاب الحسية ذاتها ولذلك فإنها لاتسبب الحكمة.

وتتمركز الأعراض المذكورة آنفاً عند موقع دخول المستأرج، لكنه، في حال دخول المستأرجات إلى الدورة الدموية - كما يحدث مثلاً بعد لدغة حشرية أو عقب الامتصاص من المعى - فإنها ستقود إلى تفاعلات مجموعة مسببة عند بلوغها الأوج استجابة أرجية شديدة تدعى "تأق أو تحساس

anaphylaxis** تتميز بصعوبة التنفس (ناجم بشكل خاص عن وذمة تحدث في المسالك الهوائية) وبهبوط مفاجيء في ضغط الدم. ويتسبب في حالة التأق عدد ضخم من الخلايا الدقالية إضافة إلى خلايا أخرى موازية من حيث الوظيفة يطلق عليها اسم "أميسات basophils" والتي تخرج وسيطاتها في الأرجاء المختلفة من الجسم. وقد يسبب الهجوم السريع لحالة التأق الموت في غضون دقائق معدودة، لكنه من الممكن - وبسرعة موازية



الشكل 3- تروى الفلويولينات المناعية على سطح الخلايا الدقالية وهي بحالة استمداد مجابهة المستضد.

ارتباطاً نوعياً بمستضد واحد. وللغلوبولينات المناعية في أجسامنا تشكيلة ضخمة (لامحدودة) من خيارات الارتباط، لكن هناك خلية - ب واحدة هي التي ستولد نوعاً واحداً فقط (من هذه الغلوبولينات) فعندما يواجه مستضد للمرة الأولى، لا بد أن تختار، من بين آلاف الخلايا المتوفرة، خلية - ب واحدة فقط ستولد الغلوبولين المناعي المناسب. مستحرض، بعد ذلك خلية - ب أنفة الذكر كي تتكاثر وتنتج متحولة إلى خلايا مولدة للجسم الضدي. إضافة لما سبق، سيجري توليد خلايا - ب الذاكرة كي يستطيع الجهاز المناعي أن يتذكر ويتفاعل بشكل أسرع عندما يواجه المستضد ذاته للمرة الثانية. وهذا ما يُدعى "بالاختيار النسيلي".

وتقع الخلايا الدقالية (البدنة) mast cells* ضمن النسيج إلى الجانب الآخر من الظهارة، وهي خلايا مسؤولة عن ظهور أولى الأعراض المبكرة للتفاعلات الأرجية. وتوجد على سطح كل خلية دقالية عدة مواقع يمكن لجزء IGE أن يرتبط بها (تدعى هذه المواقع مستقبلات IGE). أما جزء IGE، الذي تولد استجابة لإثارة إحساس بوساطة مستأرج، فيرسو على سطح هذه الخلايا راقداً في حالة انتظار. وعقب التحريض، ترتبط المستأرجات بشكل نوعي مع جزيئات IGE المقيدة بمستقبلاتها. وعندما يربط مستأرج ما بين اثنين من جزيئات IGE (الشكل 4) تلتجأ الخلية الدقالية إلى إطلاق مواد كيميائية، تُسمى "وسيطات التهابية inflammatory mediators، تسبب أعراضاً أرجية. تتحرر بعض هذه الكيماويات، ومنها الهستامين histamine، من مقصورات متخصصة (حبيبات granules) داخل الخلايا، بينما يتخلق بعضها الآخر حديثاً لهذا الغرض، ومنها البروستاغلاندين PGD_2 (prostaglandin D_2) والليوكوترين C_4 C_4 leukotriene (LT_4) .

ويقوم الهستامين بتوسيع الشعيرات الدموية وزيادة نفاذيتها مسبباً تسرب البلازما إلى داخل الأنسجة المحيطة وحدوث تورم (وذمة oedema). كذلك يحث الهستامين على إفراز المخاط وعلى تقلص العضلات الملس كما يحرض الأعصاب الحسية المسؤولة عن الحكمة itchiness. أما PGD_2 فإنه يوسع الشعيرات الدموية لكنه يُعدّ أشد فعالية من الهستامين كحاث على تقلص العضلات الملس. أما LT_4 فإنه

* mast cell: خلية دقالية (أو خلية بدنة) لنسيج ضام ذات حبيبات متعددة وكبيرة وأليفة للقواعد ومتبدلة اللون في السيترولازم.

** anaphylaxis: تأق، تحساس، وهي حالة من فرط التحسس تتبع حقن مستضد antigen.

هذا، وليس بالإمكان غزو الأرجيات إلى جينة مفردة. ففي حالة الربو، على سبيل المثال - هناك العديد من الجينات المتورطة والمسؤول كل منها عن وظيفة محددة: كإنتاج الغلوبولين المناعي، ومستقبلات IgE، والسيستوكينات، والهستامين، والليوكوتريين، واستجابة خلايا - ت. وعديد من الجينات المرشحة - كذلك المذكورة آنفاً - قد جرى استقصاؤها في 13 من أصل 23 زوجاً من الصبغيات البشرية. وعلى هذا الأساس، قد تتحول حالة الربو لأن تكون حصيلة عدد من الاضطرابات يصل عدد الجينات المتورطة فيها إلى 30 جينة. وقد يغدو ممكناً في يوم ما فرز الأفراد تبعاً لجينات تجعلهم عرضة للإصابة بأرجيات محدودة، كما يغدو ممكناً أيضاً استهداف نواتج هذه الجينات بإعطاء عقاقير مناسبة.

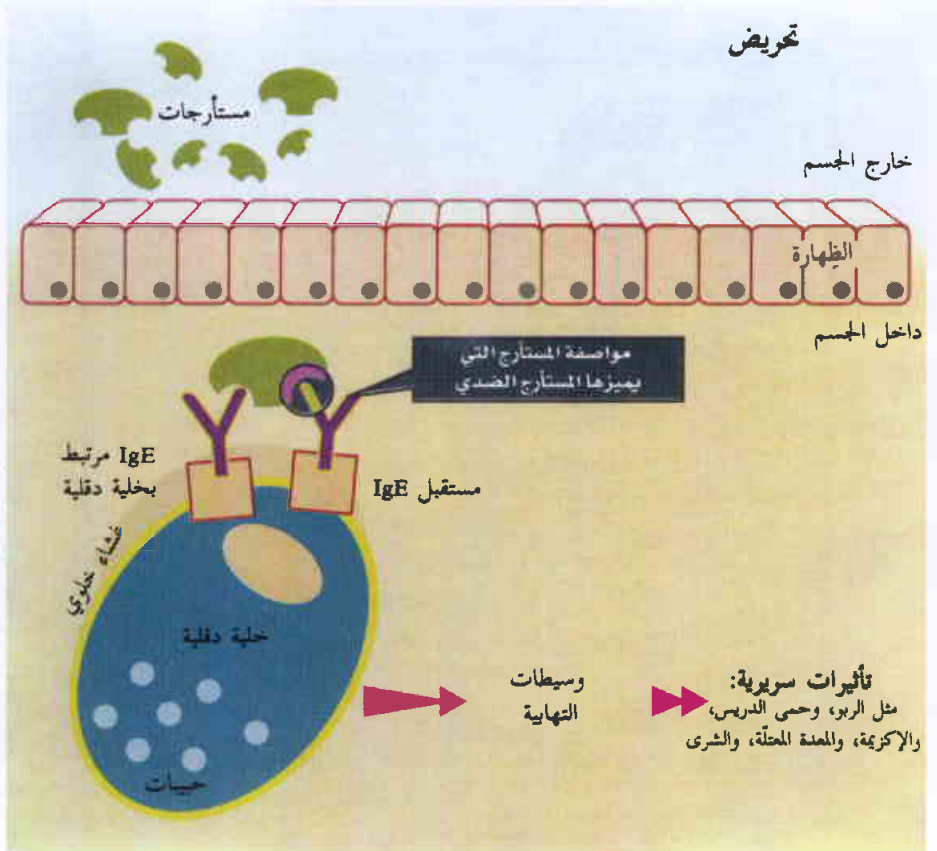
لماذا تكون جينات الأرجية بهذه الكثرة؟ هل قامت فيما مضى بنقل مِيزة تطورية؟ يُعدّ IgE مكوناً هاماً للاستجابة المناعية ضد الطفيليات متعددة الخلايا والتي يُعدّ الكبير منها، بما في ذلك دودة الأمعاء *Ascaris lumbricoides*، متوطناً لدى معظم المجموعات السكانية في العالم. وفي الآونة الأخيرة أجريت دراسة على مجموعتين من الأولاد في فنزويلا متحدثين من خلفيات اقتصادية متشابهة ولهما معدلاً إصابة بدودة الأمعاء *A. lumbricoides*. وقد أظهرت نتائج الدراسة السابقة أن الإصابة الطفيلية كانت أقل شدة في أولاد ينحدرون من المجموعة السكانية ذات المعدل الإصابة الأعلى بالأرجيات. لذلك، كان محتملاً أن يمنح التأيب مِيزة انتقائية قد تعوض بشكلٍ ما عن تورطه في الحالات الأرجية.

الإصابة بالرشح والزكام

السنوات المبكرة المفعمة بالنشاط

وحقل آخر يستحوذ على المزيد من الاهتمام، ألا وهو البرمجة المناعية خلال الطورين الجنيني والطفولي. وإن الدور الهام الذي يلعبه الوسط في إحداث الأرجيات محترف به منذ فترة طويلة، لكن التكلم عن تأثيرات وسط ما قبل الولادة بدأ في الآونة الأخيرة فقط (انظر الموطن). ويستمر الجهاز المناعي بالتطور عقب الولادة، كذلك تتغير أعراض الأرجية مع تقدم العمر.

ومنذ أن سقط جدار برلين في عام 1989، مارس سكان ألمانيا الشرقية انتقالاً مثيراً إلى ظروف الحياة الغربية، وترافق ذلك مع ارتفاع في ظهور الأمراض الأرجية وإنما ينمط يعتمد بشدة على العمر. ففي دراسة أجريت على أطفال عاشوا ضمن النظام الاشتراكي السابق حتى بلوغهم العام



الشكل 4- عندما يربط المستضد جزيئي IgE متجاورين، تطلق الخلية الدبقية وسيطات التهابية، كالهستامين، مسؤولة عن ظهور أعراض الأرجية.

- تحقيق شفاء عاجل لغالبية أو حتى جميع حالات التأق عن طريق الحقن الوريدي الفوري بمادة الأدرنالين.

ويتحكّم في الاستجابات المناعية مراسلات كيميائية تدعى "سيتوكينات cytokines" تحرّرها معظم أو جميع الخلايا المتورطة في هذه الاستجابات. ومن المثير حقاً العلم بأن خلايا TH1 تولّد سيتوكينات تخفف الاستجابات الخاصة بخلايا TH2، وبأن خلايا TH2 تولّد بالمقابل سيتوكينات تخفف الاستجابات الخاصة بخلايا TH1.

وتقوم سيتوكينات TH2 بتنشيط نوع آخر من الخلايا المتورطة بالتفاعل الأرجي، ألا وهي "الحمّضات eosinophils*" التي تولّد بدورها عدداً من الالتهابات القوية المتطورة أصلاً من أجل قتل الديدان الطفيلية. ومن الممكن أن تتأذى الأنسجة المضيفة بفعل هذه الالتهابات في حال غياب الديدان الطفيلية. وعندما يوجد مستأرج بشكل مستمر في حيزٍ ما - كما هو الحال في الغبار المنزلي - تبقى الحمّضات المذكورة في حالة نشطة مما يسبب حدوث التهاب مزمن. وهذا يؤدي بدوره إلى حالة من "فرط التفاعلية" تتميز إما باستجابة متزايدة تجاه مستأرج ما - كما هو الحال عند التعرض لجرعتين متماثلتين من غبار الطلع ذاته الأمر الذي يضخم أعراض حمى الدريس ويجعلها أكثر إزعاجاً - أو باستجابة متزايدة لمحرّض لانهوسي - كما هو الحال عندما يُحرّض استنشاق الهواء البارد ظهور أعراض الربو.

* eosinophils: حمّضات (مفردة حمضية)، وهي كرية يضاء حبيبية ذات حبيبات سيتوبلازمية تلون بالأصبغة الحمضية، ونواة ذات فصوص متصلين بخط دقيق من الصبغين.

المؤطر

في الرحم: الاستجابات الأولى المبكرة

إن الأطفال من أمهات أرجيات أكثر عرضة للإصابة بحالات الأرجية من أولئك المنحدرين من أباء أرجيين، الأمر الذي يشير إلى أن الأمهات تلعب دوراً فريداً في نشوء الأرجية، ولربما يبدأ هذا الدور حتى في مرحلة ما قبل الولادة. وقد بيّنت أبحاث في جامعة "سوثهامبتون" أن المواليد لأمهات تعرضت إلى غبار طلع شجرة البتولا (*Betula sp.*) وهي في الأسبوع 22 من فترة الحمل تبدي استجابات مناعية مرتفعة تجاه هذا النوع من غبار الطلع، وبالفعل تُشاهد مثل هذه الاستجابات المرتفعة فقط في الأطفال الذين تعرضت أمهاتهم إلى مستأرجات أثناء الفترة ما بين الشهر الخامس والسابع من حملهم. وهذا يعني أنه توجد أثناء التطور المبكر لحدوث الاستجابة المناعية فترة لا يقدر عليها التعرض لمستأرج توليد ذاكرة مناعية، كما توجد فترة لاحقة أثناء الحمل يسبب عندها التعرض نقصاً في الاستجابة للمستأرجات، أو شكلاً ما من أشكال التحمل.

ويتوافق الحمل مع هبوط في الاستجابات المناعية بواسطة الخلايا TH1، لذلك كان محتملاً أن تزيد الأمهات وشبكة الولادة من الاستجابات المناعية بواسطة خلايا TH2 - حيث تعتمد سيتوكينات TH1، في الأحوال الطبيعية، إلى إقلال الاستجابات بواسطة خلايا TH2. وقد اقترح بأن هذه النقطة بانجاه توليد استجابات TH2 تتعاظم في الأمهات الأرجيات وأن هذا قد يشجع لحدوث استجابة مماثلة في الطفل الذي لم يولد بعد.

المشكلة. وفي الوقت الراهن، تبحث الدراسة العالمية للربو والأرجيات خلال مرحلة الطفولة في أنماط المرض المنتشرة عبر أوروبا ومدى علاقتها بالمستأرجات ومسببات بيئية أخرى، إضافة إلى عوامل أخرى كأنواع الإصابات المرضية والتمنيعات التي سبق التعرض لها.

لقد أعلنت منظمة الصحة العالمية (WHO) عن خطط يجري بموجبها خفض إلى النصف، وعلى نطاق عالمي، للوفيات الناجمة عن حالات الربو وذلك خلال فترة تنفيذ قدرها خمس سنوات (حيث توجد سنوياً حوالي 25 000 حالة وفاة عن الربو ويمكن تفاديها).

وفي وقت تسود فيه، وفي كل مكان، زيادة مستمرة في الاعتلالات الأرجية، يبقى الأمل واعداً بأن فهم المزيد من التأثيرات المعقدة المسؤولة عن ظهورها وتطورها سيكشف فرصاً جديدة للوقاية والعلاج، وسيساعد على تجنب مآسٍ كثلك التي أودت بحياة الرياضي البريطاني روس ييلي.

REFERENCES

- المراجع
- [1] Allergy by Stephen, T. Holgate (Year Book Medical Publishing, February 2000); ABC of Allergies by Stephen Durham (BMJ) Publishing Group, 1998).
- [2] Immunology by Ivan Roitt, Johnathan Brostoff and David Male (Mosby, 1998).

الثالث من العمر، تبين وجود زيادة معنوية في معدل إصابة هؤلاء الأطفال بحمى الدرّيس خلال الفترتين 1991-1992 و 1995-1996، لكن ذلك لم يقابله زيادة مماثلة في عدد الأطفال المصابين بالربو، الأمر الذي يقترح وجود اختلافات هامة في العوامل المسببة للربو الطفولي عند مقارنتها بتلك العوامل المسببة لحمى الدرّيس.

ومن الواضح أن العوامل الفاعلة قبل بلوغ الطفل عامه الثالث - والتي تشمل: حجم العائلة، وما يتوفر من منشآت الرعاية النهارية، والوضع الاجتماعي الاقتصادي - ستلعب دوراً عظيم الأهمية في حدوث حالات الربو، كما قد يكون للإصابة الفيروسية صلة ارتباط بظهور هذه الحالات. فالأطفال الأصغر عمراً ضمن عائلات كبيرة الحجم هم أكثر عرضة للإصابة بمعظم الرشوحات والفيروسات الأخرى خلال الفترة المبكرة من حياتهم وهم، من وجهة نظر إحصائية، أقل احتمالاً أن يصابوا بالربو. من جهة ثانية، تتلازم الإصابة الفيروسية مع استجابات مناعية بواسطة الخلايا والتي تميل بدورها نحو زيادة توليد خلايا TH1 على حساب خلايا TH2. ويبدو محتملاً أنه من خلال دفع الجهاز المناعي نحو إحداث استجابات مناعية بواسطة خلايا TH1 في فترة مبكرة من الحياة (وحتى قبل الولادة) سينخفض إلى حد كبير خطر الإصابة بالربو في فترة لاحقة من الحياة.

ومع وجود تزايد واضح، على نطاق عالمي، في حالات الأرجية التي تسببها أنواع محددة من الأغذية، وبخاصة التفاعلات التأقية منها، فقد برزت إلى الواجهة مسألة وضع بطاقات توصيف المواد الأغذية المختلفة. فمراكز بيع المواد الغذائية في أوروبا مضطرة بحكم القانون أن تُظهر المكونات التي تدخل في تركيب أي منتج غذائي. من ناحية أخرى، ليس محتملاً أن تُعلن بالكامل قائمة بجميع المكونات التي تحويها أطعمة مركبة (كما هو الحال مثلاً في حلوى ضمن فطيرة) وذلك عندما لا تتجاوز كمية هذه المكونات نسبة 25% من المنتج الكامل. وقد يسبب هذا مشكلة في حال احتواء الأطعمة المذكورة على مستأرجات كأنواع من المكسرات nuts. ولحسن الحظ، فإن معظم مراكز بيع المواد الغذائية تأخذ مسألة وضع بطاقات التوصيف بعين الاهتمام والجديّة، لكن المحذور هو أن يؤدي أي إجراء لحماية المستهلك (ومركز البيع) من إجراء قانوني إلى مبالغة أو إفراط في عملية التوصيف. فوضع بطاقة توصيف على كل رغيف من الخبز وكل رزمة من البسكويت تفيد بأن: "هذا المنتج قد يحتوي على مكسرات" قد يهجم إلى قناعة ذاتية لكنه لا يؤدي الغرض المرجو منه، لهذا السبب يطالب الأطباء وكذلك المرضى بدراسة أعمق وأكثر جدية لإجراءات التوصيف.

وتوجد ضغوط هائلة من أجل مجابهة الارتفاع المستمر لحالات الإصابة بالأرجيات. وفي عام 1997، حُسبت في أوروبا النفقات المباشرة وغير المباشرة المترتبة على حالات الأرجية فبلغت 22 بليون جنيه استرليني كل سنة، وبدئاً، منذ ذلك الوقت، بطرح استجابة أوربية شاملة لهذه

[3] Allergy Made Simple by Rudiger Wahl (Hogrefe & Huber, 1996).

[4] Asthma and Allergy Information and Research at www.users.globalnet.co.uk/~aaair/index.htm

مُرْكَب السليكون جرمانيوم يثبت أهميته*

دوغلاس باول

مختبر كافنديش - جامعة كامبريدج - المملكة المتحدة

ملخص

بالاستعاضة عن جزء من ذرات السليكون بالجرمانيوم، يصبح من الممكن تصميم مجال واسع من النبائط الإلكترونية الأسرع من السليكون والتي تضاهيه في رخص التصنيع.

الكلمات المفتاحية: سليكون جرمانيوم، نبائط إلكترونية، ترانزستورات، كواشف ضوئية، نبائط كمومية، منظومة سليكون جرمانيوم، انفعال، تطبيقات.

مقدمة

Moore's law، الذي يتنبأ بأن عدد الترانزستورات التي يمكن أن تستوعبها جنادة يتضاعف كل 18 شهراً. وهذا يسمح للحواسيب أن تتضاعف سرعتها أو أن ينخفض سعرها إلى النصف خلال ذلك الوقت.

على كل حال، يوجد عدد من المجالات لا تستطيع نبائط السليكون فيها أن تنافس المواد نصف الناقل الأخرى. ففي نبائط التواترات الراديوية، كالمرسلات والمستقبلات في الهواتف المتحركة ومنظومات تحديد الموضع الأرضية (GPS) global positioning systems، تعاني ترانزستورات أثر الحقل من سوية أعظم من ضجيج إلكتروني غير مرغوب فيه بالمقارنة مع معظم أنصاف نواقل المجموعة III-V. إن زرنخيذ الغاليوم أفضل من أجل نبائط الإلكترونيات الضوئية، كالثنائيات المصدرة للضوء والليزرات، وذلك لأن الإلكترونيات في "عصابة النقل" تستطيع أن تتحد بالثقوب في "عصابة التكافؤ" بسهولة أكبر في زرنخيذ الغاليوم مما هو في السليكون.

السليكون مادة تزيد مبيعاتها على 98% من مبيعات سوق أنصاف النواقل الدولية. هناك أسباب عديدة تجعل نبائط السليكون تسيطر كلياً على سوق الإلكترونيات المكونة، لكن العامل المهيمن يكمن في تكلفة تصنيعها المنخفضة. يمكن تصنيع بلايين الترانزستورات ذات الخصائص المتماثلة في رقائق سليكونية يزداد كبرها باستمرار مما يجعل كلفة الترانزستور الواحد تزداد انخفاضاً.

تعتمد عمليات تصنيع النبائط وأدائها بشكل قوي على عدد من الخواص الذاتية المتأصلة للسليكون. لكن خواص ثنائي أكسيد السليكون وتبريد السليكون هي الأكثر أهمية. تشكل هاتان المادتان الطبقة العازلة الأهم من الجميع في الترانزستورات وانقاص تيارات التسرب. وفي الحقيقة إن هذه المواد العازلة هي التي جعلت السليكون يهيمن على كل المواد الأسرع الأخرى، مثل زرنخيذ الغاليوم ومواد أخرى مثل المركبات نصف الناقل من المجموعتين III-V. وزيادة على ذلك، إن تصنيع نبائط من المواد III-V أغلى وأعلى تكلفة من تصنيعها من السليكون لأنه ينبغي استخدام تقانات معالجة مختلفة ولأن مثل هذه التقانات لم تصل بعد إلى مستوى الإنتاج الضخم الذي وصلته الجنادات السليكونية.

دخول السليكون جرمانيوم

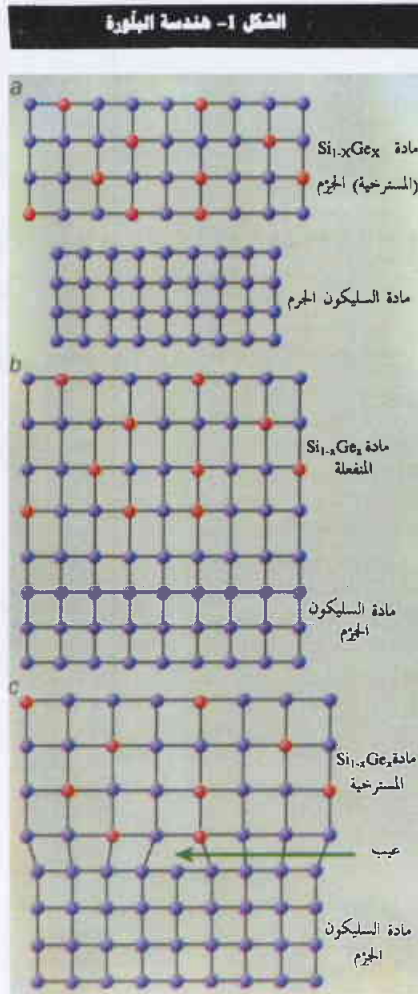
تحتوي المعالجات أمثال الحواسيب الشخصية القديرة Power PC وجنادات بنتيوم Pentium مجموعاً كلياً يقارب 11 مليوناً من الترانزستورات كلفة كل ترانزستور منها 0.003 ستاً. تتوقع خارطة رابطة صناعات أنصاف النواقل لعام 1997 أنه بحلول عام 2012 سيرتفع عدد الترانزستورات على جنادة واحدة إلى 1.4 بليون - أي إلى عدي لا يصدق من الترانزستورات يصل إلى 180 مليون ترانزستور في السنتيمتر المربع الواحد - بينما ستخفض التكلفة إلى 50 مكرو سنت فقط لكل ترانزستور. شرعت سعة خزن ذاكرة الدخول العشوائي الدينامي (DRAM) بالزيادة بمعدل أكثر إثارة. فليس ثمة تقانة أخرى تقرب حتى من هذه القيم. يُعرف هذا النمو الأسّي الشديد باسم قانون مور

بإضافة مادة نصف ناقل أخرى إلى السليكون، نستطيع أن نحسن أداء الترانزستورات والدارات، وبذلك نفتح المجال لعدد من التطبيقات الجديدة. وتعدّ مادة السليكون جرمانيوم (SiGe) واحدة من هذه المواد. وفق ذلك يمكن إنجازها على رقاقات سليكونية بحيث تتوافق ثابتها الشبيكية مع الثابتة الشبيكية للسليكون. إذا استبدلنا ببعض ذرات السليكون ذرات جرمانيوم فيمكننا أن "نهندس" فرجة العصابة للمادة (أي فرق الطاقة بين عصابتي النقل والتكافؤ)، ونغير حركات حاملات الشحنة وخواص عديدة أخرى. وبعبارة أخرى، لدينا مرونة أكبر لتصميم النبائط. وفي الوقت نفسه، يمكننا تصنيع هذه الدارات مستخدمين التقانات والوسائل المستخدمة لصناعة الجنادات السليكونية التقليدية. وعليه فإن (SiGe) تجمع مزايها كلفة السليكون مع السرعة التي تتمتع بها تقانات أكثر تكلفة مثل زرنخيذ الغاليوم.

وتتوفر حالياً منتجات كثيرة من SiGe من ضمنها مضخمات منخفضة الضجيج للهواتف المتحركة ومنظومات إرسال ذات معدل بيانات عالٍ من أجل الشبكات السليكونية wired networks [1]. من بين اللاعبين الكبار في السوق نذكر دايملر - كريسلر Daimler - Chrysler و IBM و NEC وسيمنس وتيكم Temic، بينما هناك عدد من

* نشر هذا المقال في مجلة Physics World, February 2000. ترجمة هبة التحرير - هبة الطاقة الذرية السورية.

الشكل 1 - هندسة البلورة



(a) يختلف ثابت الشبكة لمادة السليكون الجرم (أزرق) عن ثابت الشبكة في بلورات $Si_{1-x}Ge_x$ لأن هذا الثابت في مادة الجرمانيوم الجرم (أحمر) أكبر بـ 4.2% مما هو في السليكون. (b) يمكن إنشاء طبقة رقيقة من $Si_{1-x}Ge_x$ على طبقة من السليكون بحيث يكون ثابت الشبكة لـ $Si_{1-x}Ge_x$ موافقاً للسليكون. إن الانفعال يحدث بسبب الاختلاف بين الثابتين الشبكيين يمكن أن يستخدم لهندسة الفرجة العصائية. (c) إذا زاد الثخن عن الثخن الحرج تشكل عيوب من نوع انخلاعات سوء التوافق كمي تريح المنظومة. يعتمد الثخن الحرج على جزء الجرمانيوم المستخدم.

الكيميائي chemical vapour (CVD) deposition وفيها يتم تكثيف المنتجات المتحررة في التفاعلات الكيميائية كي تشكل فلماً رقيقاً على ركازة. أجريت تجارب عديدة كي تعطي مواصفات المادة المنتجة في كل طريقة ولكي تعالج طرائق الإنماء.

تركز قدر ملموس من البحث على الانفعال في المنظومة، وعلى الكيفية التي "تسترخي" بها $SiGe$ بخلق انخلاعات وعيوب لكي تأخذ التبادل الشبكي نفسه كما للمادة الجرمية $SiGe$ (الشكل 1c). من أجل جزء معين x من الجرمانيوم، نستطيع فقط أن ننتمي طبقات من $Si_{1-x}Ge_x$ حتى ثخن معين ندعوه الثخن الحرج قبل أن يبدأ الانخلاع بالتشكل. وفوق هذا الثخن الحرج يحتاج الأمر إلى صرف طاقة كبيرة جداً لإحداث انفعال في طبقات $SiGe$ المضافة. وفي الحقيقة، كلما كان جزء الجرمانيوم في الطبقة أكبر، كان الثخن الحرج أرق. لقد اقترحت نماذج عديدة لحساب الثخن الحرج لمثل هذه المنظومات المنفصلة. ولقد أوضح جون بين وروزفلت نيوبل R.People من مختبرات بل بأن الطبقات المنفصلة قد تنمي تنضيداً عند ثخن فوق الثخن الحرج وفي وضع التوازن لتشكل طبقات منفصلة شبه مستقرة. وعلى كل حال فإن هذه الطبقات قد تسترخي فيما بعد وتشكل عيوباً إذا ما سُخِّنت.

تركز كثير من عمل الباحثين المبكر على بنى "الشبيكة الفائقة" superlattice حيث جرى إنشاء مادتين مختلفتين بصورة متكررة واحدة فوق الأخرى. يبين الباحثون أن الدورية الزائدة للشبيكة الفائقة ستقود إلى ما

يسمى مواد ذوات فرجات عصائية مباشرة تستطيع فيها الإلكترونات والثقوب أن تتحد بسهولة لتشكيل فوتونات. يمكن استخدام هذه المادة وأمثالها بعدئذ في تطبيقات عديدة للإلكترونيات الضوئية. وبعد قدر كبير من البحث، يبين ميلان جاروز M. Jaros والعالمون معه في جامعة نيوكاسل في المملكة المتحدة أنه يمكن تصميم بنى ملائمة، في حين لا يمكن إنشاء أي منها. إذا لم تكن الطبقات ملساء تماماً - حتى على مستوى الذرة الواحدة - فإن الدورية المهمة للشبيكة الفائقة بأكملها يمكن أن تنهار. ليس باستطاعة أي من تقانات الإنماء المتوفرة حالياً أن تنتج الدرجة العالية من الانتظام المطلوب. وهناك تصاميم أخرى عديدة للبنى تتطلب طبقات كانت فوق الثخن الحرج بكثير.

الشركات الأصغر مثل منظومات $SiGe$ المكروية $SiGe$ microsystems وأمبير وهف Amber-wave، تؤمن مواد الـ $SiGe$ أو النصائح التقنية.

يُتوقع لسوق منتجات $SiGe$ أن تنمو بصورة مذهلة. وفي الحقيقة فإن Strategies Unlimited، وهي شركة لأبحاث السوق، تتنبأ بأن سوق $SiGe$ اللاسلكي والرقي ستصل إلى 1.8 بليون دولار مع حلول عام 2005. وبالإضافة إلى ذلك فإن $SiGe$ تعطينا الفرصة لدراسة الفيزياء الأساسية في منظومة مواد جديدة تتمتع بخواص مختلفة عن خواص المركبات III-V ومنظومات السليكون التقليدية.

التجارب المبكرة والعقبات

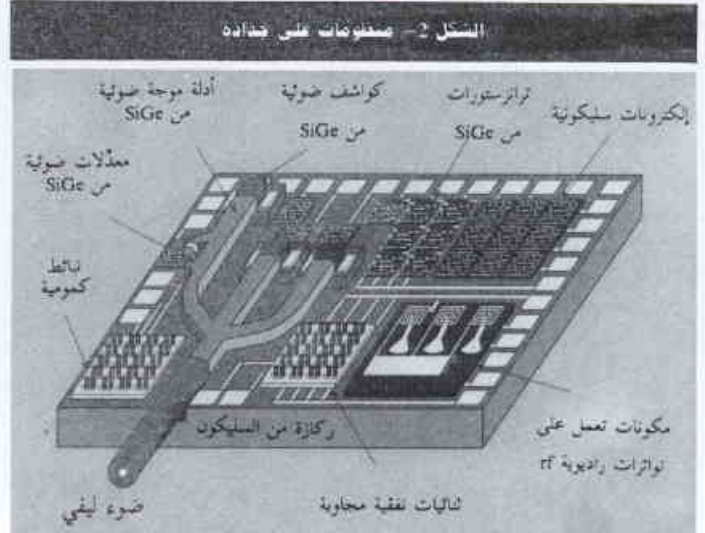
نُشرت أول ورقة علمية عما يسمى $SiGe$ متعدد التبلور والمؤلف من مناطق بلورية موجهة عشوائياً، في الولايات المتحدة عام 1956 من قبل موريس غليكمان [2] لدى مختبرات RCA. إلا أن أول أفلام $SiGe$ عالية الجودة لم يتم إنشاؤها على ركازات سليكونية إلى أن جاء العمل الذي قام به إريك كاسبر [3] والعالمون معه لدى AEG (المعروفة الآن باسم دايمر-كريسلر) في عام 1975، وذلك باستخدام تقانة تدعى التنضيد بالجزم الجزئية (MBE). في طريقة التنضيد بالجزم الجزئية، تبخر العناصر المختلفة المراد ترسيبها من بوتقات مسخنة لتشكيل حرماً جزئية توجه بعد ذلك على ركازة بلورية. تحفظ الركازة في درجة حرارة عالية أيضاً بحيث أن الذرات التي تصطدم بالسطح تشكل البنية البلورية والتوجه الموجودين في الركازة.

إن الثابتة الشبكية للجرمانيوم أكبر من مثيلتها في السليكون بمقدار 4.2%. وبعبارة أخرى، تشكل المادتان بلورات ذات خلايا وحدة بأحجام مختلفة. عندما تُنمى طبقات $SiGe$ على ركازة من السليكون، فإنها تُجبر على اتباع التبادل الشبكي نفسه، مؤدية إلى حدوث انفعال strain في الطبقات (انظر الشكل 1). لكننا بإضافة الجرمانيوم بهذه الطريقة نستطيع إنقاص طاقة فرجة العصابة وتغيير البنية العصائية. وهذا يعني أننا نستطيع أن نهندس كلاً من الانفعال وفرجة العصابة كي نصمم بنى غريبة عديدة.

إن العمل الرائد لمجموعة AEG الذي قام به جون بين J.Bean والعالمون معه في مختبرات بل، وبعده يرنبي ميوسون B.Meyerson وزملاؤه من IBM، حتمل $SiGe$ إلى الواجهة في الثمانينات. قامت مجموعات البحث هذه بقفزة كبرى إلى الأمام في تحسين إجراءات الإنماء والنوعية للمادة المنتجة. حدثت تحسينات في تقانة التنضيد بالجزم الجزئية MBE وتقانات إنشاء أخرى، أُطلق عليها اسم الترسيب من البخار

تطبيقات عملية لـ SiGe

بُعِيد تغلب الباحثين على المشاكل المتعلقة بتبوعية طبقات SiGe، شرعوا يبينون بأنه يمكن استكمال (دمج) أنواع مختلفة من الكواشف الضوئية والأدلة الموجية على جذادات سليكونية نظامية (انظر الشكل 2).



أنواع جديدة من نباط SiGe يمكن تكاملها (دمجها) على جذادة سليكون تقليدية تحوي إلكترونيات معيارية مهبودة يمكنها أن تؤدي إلى تخفيض هائل في الكلفة والقدرة مع زيادة في السرعة والمردود.

في الثمانينيات وأوائل التسعينيات كان المجال الأعظم الآخر لبحوث SiGe ينصب على الترانزستور ثنائي القطبية ذي الوصلة اللامتجانسة heterojunction bipolar transistor أو HBT. يعمل هذا الترانزستور بإمرار تيار من تماس الباعث إلى تماس المجمّع، ويجري التحكم بالتيار الجاري في النبيلة باستخدام توتر أو تيار يطبق على قاعدة الترانزستور.

يساهم في عملية النقل في الترانزستور ثنائي القطبية كل من الإلكترونات والثقوب. إن الميزة الكبرى للترانزستورات ثنائية القطبية ذات الوصلة اللامتجانسة من SiGe هي أننا نستطيع أن نفصل صفات الترانزستور بتغيير مقدار الجرمانيوم في القاعدة. وخلافاً للترانزستور ثنائي القطبية السليكوني العادي، فإن الصفات الخاصة للترانزستور من SiGe يمكن جعلها أمثلية من أجل تطبيق معين من دون التفريط بالصفات الأخرى.

إن أداء الترانزستورات المصنوعة من SiGe أفضل بصورة ملحوظة من الترانزستورات ثنائية القطبية السليكونية العادية لأن تطعيم القاعدة يمكن أن يكون أكثر شدة. وتضعف هذه العملية مقاومة القاعدة ومن ثم تزيد من السرعة التي يستطيع بها الترانزستور أن ينتقل إلى حالتي الوصل والفصل. كما أن مقاومة القاعدة المنخفضة مهمة لإنفاص الضجيج في الترانزستور، وهو اعتبار مهم في كل من التطبيقات التمثيلية analogue وتطبيقات التواترات الراديوية.

إن فرجة العصابة المنخفضة للقاعدة تساعد أيضاً على زيادة ربح الترانزستور لأن الانقطاع الحاصل بين القاعدة والباعث يقلل من حقن الثقوب إلى الباعث. وبتغيير محتوى الجرمانيوم في الطبقات في القاعدة، نستطيع أن ننشئ حقلاً كهربائياً أيضاً في داخل النبيلة يقوم بتسريع الحاملات عبر القاعدة وبذلك تزيد من سرعة الترانزستور.

والمهم أننا نستطيع أن نضيف قاعدة الـ SiGe إلى عملية التصنيع بتكلفة أقل ما يمكن. ولكن هذه العملية ليست بالسهولة التي تبدو عليها لأن العديد من خطوات المعالجة النظامية عند درجات الحرارة العالية المستخدمة لصنع تركيبات معدن / أكسيد نصف ناقل المتممة (CMOS) complementary metal - oxide semiconductors تستطيع أن تجعل قاعدة $Si_{1-x}Ge_x$ المنفعلة strained تسترخي أو تجعل ذرات الجرمانيوم أو أي طعم dopants أخرى تنتشر، فتدمر بذلك السطوح البينية بين الطبقات نصف الناقل.

لقد تبين أن قواعد الـ SiGe لا تضيف إلا حوالي 10 إلى 15% إلى تكاليف المعالجة. لكنها في الوقت نفسه تزيد من أداء الترانزستور وتعطي مصممي الدارات مرونة أكبر. بالرغم من أن ترانزستورات SiGe تستطيع أن تعمل على سرعات تصل حتى 120 GHz وتظل تنتج ربحاً، فإن نباط الإنتاج لها سرعات محافظة أكثر من ذلك تبلغ حوالي 70 GHz والتي لا تزال أسرع من الترانزستورات ثنائية القطبية السليكونية المماثلة لها بحوالي 50%. يمكن التضحية بهذه السرعة مقابل إنفاص استهلاك القدرة، وهي ميزة كبيرة للنباط المحمولة أو التي تغذى بالبطارية، حيث يكون لعمر البطارية أهمية كبرى.

السليكون جرمانيوم يتحمل الإجهاد

تحتوي جذادات الحواسيب الشخصية القوية والمعالجات من نوع بنتيوم على ترانزستورات السليكون ذات القاعدة "من النوع p"، حيث تكون الثقوب فيها هي الحاملات الأساسية، وعلى ترانزستورات "من النوع n" حيث الإلكترونات هي التي تنقل التيار. وباستخدام كلا النوعين من ترانزستورات أثر الحقل CMOS، فإن الدارة تستهلك القدرة فقط عندما تنتقل بين حالتين مختلفتين على عكس ما هو الحال في معظم تصاميم الجذادات الأخرى. إلا أن أداء هذه الجذادات محدود بصورة رئيسية بواسطة ترانزستور النوع p لأن حركة الثقوب في السليكون أخفض بكثير من حركة الإلكترونات. وفي محاولة للتغلب على هذه المشكلة وموازنة التيارات من الترانزستورات في دارات CMOS، يجري تصنيع ترانزستورات النوعين n و p بوابات لها عروض مختلفة لكن هذا يخفض كثيراً أداء الدارة النهائي.

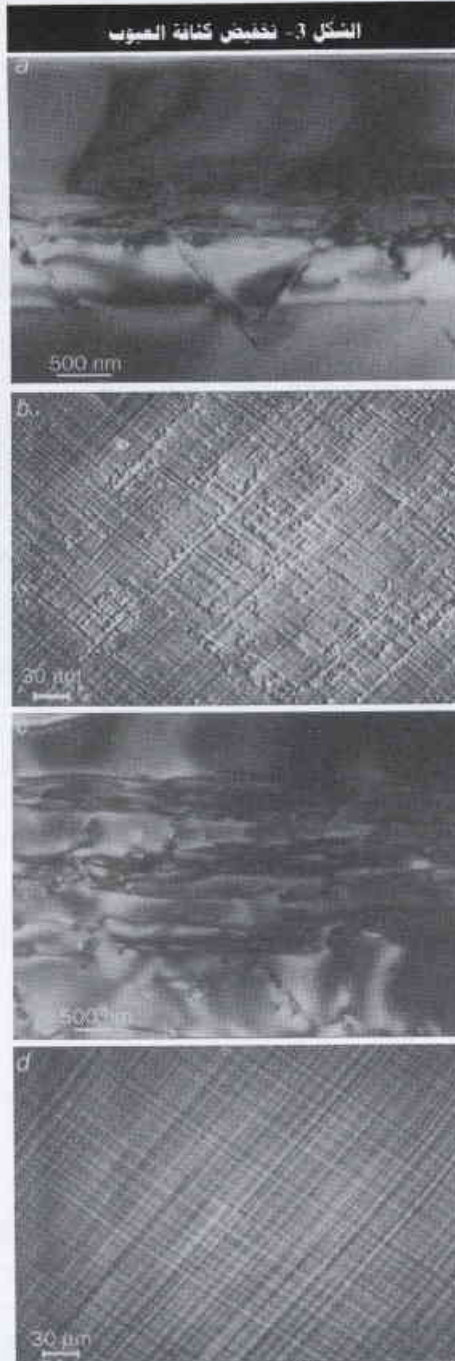
في الأيام المبكرة من بحث SiGe، وُضع اقتراح مفاده أن الانفعال في بنية الـ SiGe يمكن أن يُستغل للتغلب على هذه الصعوبات. يغيّر الانفعال البنية العصابية للمادة بطريقة تزيد من حركة الثقوب، ومن ثم من أداء النبيلة. إن إنشاء طبقة من $Si_{1-x}Ge_x$ منفعلة على رقاقة من مادة السليكون يولد بئراً كمومياً للثقوب في عصابة التكافؤ. وهذا يفصل الثقوب عن السطح البيني Si/SiO₂ الحشن في الترانزستور النموذجي معدن - أكسيد

strain-relieving dislocations بدأت لتسير للأسفل عبر الركازة وليس للأعلى عبر السطح. وقد أعطى هذا السلوك كثافة انخلاعات تبلغ 10^6 cm^{-2} أي أخفض مما هو متوقع بست مراتب في القيمة (انظر الشكل 3).

بإحداث تدرج في محتوى الجرمانيوم في الصادات أثناء عملية الإتماء، يمكن أن ننخفض كثافة الانخلاعات إلى مادون 10^6 cm^{-2} . لقد أدى التخفيض في عدد الانخلاعات إلى تحسن حركية حامل الشحنة. وعلى سبيل المثال، كانت حركية غاز إلكتروني ثنائي البعد في طبقة متوترة من السليكون المنتمى على ركازة $\text{Si}_{1-x}\text{Ge}_x$ مسترخية تبلغ $17\,000 \text{ cm}^2 \text{ V}^{-1} \text{ s}^{-1}$ فقط في السابق عند درجات حرارة منخفضة بسبب كثافة الانخلاعات الكبيرة. وقد بين الباحثون في IBM فيما بعد أنه باستخدام صادات ذات عيوب منخفضة يمكنهم أن يحسنوا الحركية بعامل يزيد على 10.

وفي أثناء ذلك، وفي درجة حرارة الغرفة وجد أن حركية حاملات الشحنة في ترانزستورات أثر الحقل المبنية على SiGe أكبر بأربع مرات من حركية النباث السليكونية التقليدية. تتألف عصابة النقل في السليكون من ستة وديان يمكن أن تسكن فيها الإلكترونات. لكن الانفعال في السليكون يغير عصابة النقل بطريقة يكون فيها واديان تقطنهما الإلكترونات فقط حتى عند درجة حرارة الغرفة، التي تزيد بدورها من حركية الإلكترونات.

وبالمثل، فإن انفعال طبقة غنية بالجرمانيوم وكثافة على ركازة مسترخية، يمكننا من تحقيق حركيات أعلى بصورة ملحوظة إذا ما قورنت بنباث سليكونية من النوع p. وباستخدام هذه المواد لتشكيل ترانزستورات أثر الحقل أصبحنا قادرين على صنع نباث يكون الأداء فيها قريباً من أداء النباث المصنوعة من مواد III-V. إن شركة دايملر- كريسلر مع أميريف تبيع ترانزستورات سليكونية منفصلة strained-silicon transistors ذات تواتر أعظمي للتشغيل يبلغ 100 GHz (انظر الشكل 4).



مقارنة بين عيبتين من السليكون - جرمانيوم مترجعتين، متناثرتين في الدرجة 600°C (a) و 800°C (b) وفي الدرجة 800°C (c) و (d). قام بذلك ديف روبنز D.Robbins وزملاؤه من وكالة أبحاث تقسيم الدفاع (DERA) بالقرن في المملكة المتحدة. تتشكل كل عينة من ركازة Si على سطحها طبقات مترجعة من السليكون جرمانيوم، متبوعة بطبقة نخبية من $\text{Si}_{1-x}\text{Ge}_x$. تبين المقاطع العرضية في (a) و (c) الصور المكروية المأخوذة بواسطة مجهر الإلكترون الناقل بأنه يوجد كثافة عالية من الانخلاعات في أجزاء الجرمانيوم المترجعة للبنية لكن الطبقة النخبية من $\text{Si}_{1-x}\text{Ge}_x$ للنتاة فوق الأجزاء المترجعة خالية من العيوب. والأمر الأكثر دهشة هو أن كثيراً من الانخلاعات تتحلل نحو ركازة السليكون بدلاً من الأعلى ونحو السطح. تبين (b) و (d) الاختلاف في خشونة السطح الناتج من درجات حرارة إتماء مختلفة. توجد عيوب أقل في العينة المنتاة عند درجات حرارة أعلى. وفي الواقع فإن حركية حوامل الشحنة في الركازة ذات درجة الحرارة العالية كانت 100 ضعف أفضل مما هي في عينة منتاة عند درجة حرارة أخفض.

نصف ناقل (MOS) وبذلك يقلل التبعر. وبالرغم من أنه أعلن عن تحقيق زيادة ضئيلة في الحركية، إلا أنها كانت صغيرة جداً بحيث لا تسوّغ الزيادة الملموسة في تكلفة التصنيع. إن إنقاص طول بوابة الترانزستور برهن على أنه البديل الأرخص. ولقد تبين فيما بعد أن البعثة بالإحماء alloy scattering في طبقة الـ SiGe يلغي بشدة التحسن الذي طرأ على الحركية مؤدياً إلى تحسن بسيط فقط في أداء الترانزستور.

إذا أردنا أن نشكل بُنى عصابة محددة، كبير كمومي في عصابة النقل فإننا نحتاج إلى أن نكون قادرين على إتماء طبقة منفصلة من السليكون أو من $\text{Si}_{1-x}\text{Ge}_x$ في أعلى ركازة مسترخية من SiGe. على كل حال إذا حاولنا أن نمي طبقة من $\text{Si}_{1-x}\text{Ge}_x$ تكون أثنى بكثير من الشخن الحرج، فإن عدداً كبيراً من العيوب يتشكل عندما تسترخي الطبقة وتعود إلى البنية الشبكية للمادة الجرمية لـ $\text{Si}_{1-x}\text{Ge}_x$. ونموذجياً هناك ما يزيد على 10^{12} عيب في كل سنتيمتر مربع من المادة، تعمل على إنقاص خواصها الضوئية والناقلية بصورة حادة. إن هذه الطبقات المنفصلة - المسترخية أو ماندعوها ب الصادات أو الدارات buffers يطلق عليها اسم "الركازات الافتراضية" virtual substrates.

في أواخر الثمانينيات اكتشف يرني ميرسون B.Meyerson بصورة عرضية طريقة حول هذه المشكلة عندما كان يعاير محتوى الجرمانيوم في رقائق منتماة بالتريسيب من البخار الكيميائي. لقد نمت عدداً من الطبقات بمحتوى جرمانيوم معطى ثم زاد معدل تدفق غاز الجرمين (GeH_4) إلى المنظومة بحيث تمكن من زيادة مقدار الجرمانيوم الذي تحتويه كل طبقة لاحقة. لقد وضع فواصل رقيقة من السليكون بين الطبقات لتلعب دور مؤشرات بحيث يتمكن فيما بعد من قياس ثخن الطبقات بدقة، ومن ثم معدل الإتماء مستخدماً المجهر الإلكتروني الناقل.

عندما درس ميرسون المخططات المكروية كانت دهشته أن الطبقة العلوية كانت خالية من الانخلاعات. وعضاً عن ذلك فإن الانخلاعات المخلصّة من الانفعال

سليكوني عادي، ولكن عند فولطية تساوي النصف. لذلك يلزم ربع القدرة فقط بالمقارنة مع إلكترونيات CMOS التقليدية - وهي ميزة كبيرة لمستخدمي الحواسيب الحضنية laptop computers والهواتف المتحركة والتجهيزات النقالة الأخرى.

لكن المشكلة الكبرى مع هذه البنى هي أن كثافة العيوب لا تزال أعلى بشماني مراتب في القيمة من رقاقة سليكونية معالجة. وهذه العيوب تخفّض عدد الترانزستورات التي يمكن استخدامها في دائرة كهربائية. إذا كُتب لتقانة SiGe أن تنافس الإلكترونيات التقليدية فإنه ينبغي لكثافة العيوب أن تُخفّض بصورة جذرية.

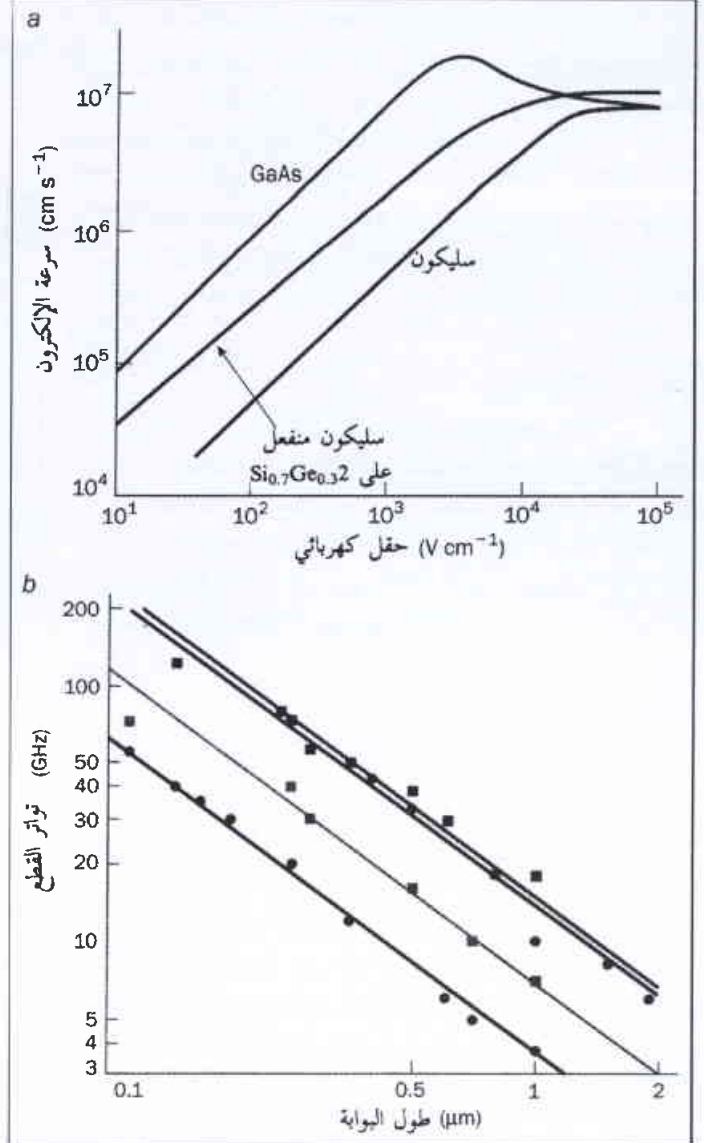
على كل حال، أدت هذه التطورات إلى بعض النتائج المثيرة في فيزياء درجات الحرارة المنخفضة وكان لها فوائد هائلة في التطبيقات. وفي الواقع إن ميمتات نبائط SiGe هي الآن مقاربة لميمتات نبائط III-V في بعض الأسواق.

فيزياء منظومات SiGe

على الرغم من أن الكثافة العالية للعيوب في SiGe قد تحول دون استخدامها في دارات متكاملة عالية الكثافة، فإنه يبقى في استطاعتنا أن نتناول بالبحث قدراً لأبأس به من الفيزياء بواسطة الطبقات ذات الحركية العالية. وبالإضافة إلى ذلك فإن باستطاعة العيوب أن تتمخض عن بعض الفيزياء الممتعة بحكم امتلاكها الخاص لها. ونظراً لأن SiGe قد تأخرت عن المواد III-V، فإن العديد من التجارب التي أُجريت على SiGe هي تكرار لتلك التي سبق لها أن أُجريت على المواد III-V.

إن الاختلاف الأساسي بين فيزياء السليكون وفيزياء المواد III-V يكمن في بنية عصابة النقل. ففي المواد III-V، إذا نظرنا إلى طاقة حاملات الشحنة كتابع لاندفاعها، نجد أن النهايات العظمى لعصابة التكافؤ والنهايات الصغرى لعصابة النقل تقع عند الاندفاع ذاته. وهذا ما يسمى الفرجة المباشرة للعصابة وهي تسمح للإلكترونات والثقوب أن تتحد لتشكّل فوتونات بسهولة نسبية. وعلى نقيض ذلك فإن لعصابة النقل في السليكون ست نهايات صغرى، ليس فيها واحدة تقع عند نفس الاندفاع الذي للنهايات العظمى لعصابة التكافؤ. لذا فإن السليكون يتمتع بفرجة عصابة غير مباشرة، تجعله غير قادر على إصدار الضوء. لكن الانفعال في منظومة السليكون يزيد الطاقة لأربعة وديان (نهايات صغرى) بحيث يتعذر أن تسكنها الإلكترونات، كما يخفّض طاقة الواديين الآخرين مما يجعلهما مقراً لكل الإلكترونات في المنظومة. تؤثر هذه العملية على الفيزياء الأساسية للسليكون المنفعل بالمقارنة مع زرنيخيد الغاليوم.

كان دون مونزو وزملاؤه في مختبرات بل في الولايات المتحدة أول من تحدّث عن أثر هول الكومومي الكسري fractional quantum Hall effect في غاز إلكتروني ثنائي البعد في منظومة السليكون المنفعل. وفي أثر هول الكومومي، فإن ما يدعى بمقاومة هول Hall resistance للعينة يتم الحصول عليها بقياس هبوط التوتر العمودي على اتجاه جريان التيار. ففي درجات الحرارة المنخفضة، تزداد المقاومة على منوال شبيه بالدرج step like عندما يزداد الحقل المغنطيسي. يمكن



لقد عرض عدد من مجموعات البحث ترانزستورات عالية السرعة تجعل طبقة غنية بالسليكون منفعلة أو طبقة غنية بالجرمانيوم على ركازة مسترخية من Si_{0.7}Ge_{0.3}.

(a) سرعة الإلكترونات بدلالة الحقل الكهربائي لسليكون منفعّل (أحمر) وزرنيخيد الغاليوم (أزرق) والإلكترونيات تقليدية من السليكون (أسود). في منظومة سليكون منفعّل نحتاج إلى حقل كهربائي أخفض لتسريع الإلكترونات إلى سرعة معينة بالمقارنة مع السليكون التقليدي. وهذا يعني أن ترانزستوراً من السليكون المنفعّل سيبدد قدرة أقل أثناء التشغيل.

(b) تواتر القطع (وهو التوتر الذي يخفي عنده الريح الذي يعطيه الترانزستور) بدلالة طول البوابة لترانزستورات مختلفة. مقارنة أداء ترانزستور SiGe من النوع n (أحمر) مع GaAs (أزرق) ومع إلكترونيات سليكونية MOS من النوع n أسرع بشكل ملحوظ من التقليدية (أسود). والترانزستور من SiGe من النوع p (برتقالي) هو الأسرع من بين ترانزستورات أثر الحقل من النوع p ثم صنعه حتى الآن في أي منظومة مواد.

كما أنه من الممكن تصميم بنى طبقية (ذات طبقات) تنقل عدداً مائلاً من الإلكترونات والثقوب. إن الحركيات الأعلى في هذه البنى تسمح للإلكترون أن ينتقل في طبقة سليكونية منفعلة (أو لثقب في طبقة جرمانيوم منفعلة) بنفس سرعة إلكترون (أو ثقب) في ترانزستور MOS

إلكترون - إلكترون. وبالإضافة إلى ذلك، ففي العيّنات التي تبدي تناظراً لا متغيراً انسحابياً translational invariant symmetry لا تثار اهتزازات جماعية في الغاز الإلكتروني (الذي يعرف باسم بلازمونات plasmons) بواسطة إشعاع ما تحت الأحمر البعيد. لكن العيوب قد تخرق هذا التناظر وتسمح لأنماط اهتزاز في الغاز الإلكتروني أن تزيد الإثارات السيكلوترونية. وفي سلسلة من القياسات بعينات تعديل مطعمة modulation-doped samples لم نجد مثل هذه الآثار في آبار كمومية للسليكون المنفعل دون الثخن الحرج. على كل حال، لقد وجدنا قمتي امتصاص في عينات أثنى من الثخن الحرج.

تطبيقات مستقبلية لـ SiGe

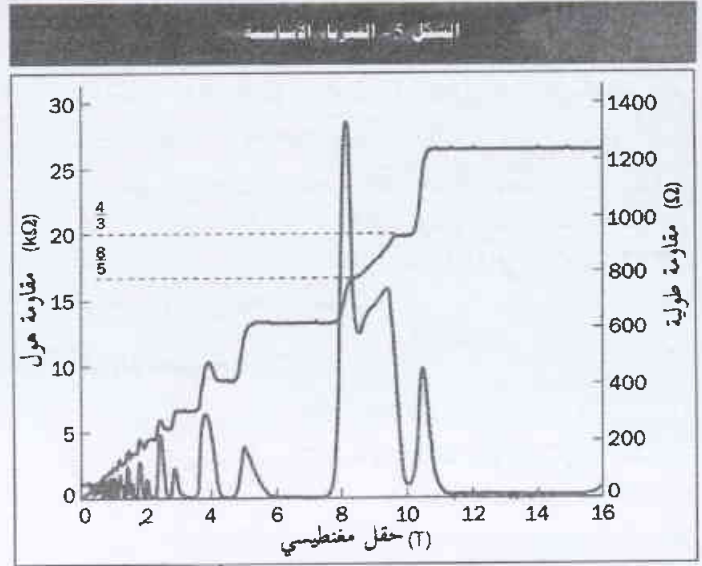
إن القدرة على هندسة البنية العصبية للبنية اللامتجانسة لـ SiGe/سليكون تسمح للفيزيائيين أن يخطوا مواد كي يجدوا الحل لمشاكل معينة وكي يبحثوا في فيزياء جديدة. هناك عدة مجموعات اقترحت استخدام بني لا متجانسة من SiGe لصنع حواسيب كمومية، (انظر المؤطر) على سبيل المثال. كما أن الليزر القائمة على السليكون تشكل مجالاً آخر من هذه المجالات التي قد تستفيد من قدرات التصميم المرنة هذه. ولا يوجد في الوقت الراهن مصدر للضوء فقال مصنع من السليكون، حتى من السليكون المطعم بالأريوم أو السليكون المسامي أو خطط أخرى.

إن فرجة العصابة غير المباشرة للسليكون تمنع الإلكترونات في عصابة النقل من الاتحاد بصورة فعالة بالثقب في عصابة التكافؤ. وهذا يعني أنه لا يمكن استخدام السليكون لصنع ديودات مصدرة للضوء (LEDs) أو ليزرات. لكن الإلكترونات تستطيع أن تصدر فوتوناً بالقفز من سوية طاقة منفصلة (أو عصابة فرعية) عالية في عصابة النقل إلى سوية طاقة أخفض، في عصابة النقل أيضاً.

لقد اقترح ريتشارد سوريف [6] من مختبر أبحاث القوى الجوية في الولايات المتحدة أن البنى اللامتجانسة من السليكون و SiGe يمكن أن تستخدم لصنع ليزرات شلال كمومي quantum cascade lasers. في هذه الليزرات التي كانت رائدة في استخدام المواد III-V من قبل فيديريكو كاسبو [7] والعاملين معه في مختبرات بل في منتصف التسعينيات، تتساقط الإلكترونات كالشلال على شكل سلسلة من خطوات الطاقة المتماثلة مصدرة فوتونات عند كل خطوة. إن ما يجعل ليزرات الشلال الكمومي محببة أكثر من باقي الليزرات الأخرى هو أنه، خلافاً لليزرات الأخرى، يمكن هندستها كي تصدر ضوءاً في مجال تحت الأحمر المتوسط والثيراهترز (أي عند طول موجي أكبر من 8µm) من الطيف. (راجع العدد 68 الخاص من مجلة عالم الذرة).

ولما كان الماء لا يمتص الإشعاع في "نافذة" بين 8µm و 12µm، لذا يمكن استخدام ليزرات تحت الأحمر من أجل الاتصالات ذات العرض العصابي المرتفع high band width communications، والتصوير الطبي ومراقبة الأمتعة وحقائب السفر في المطارات، على سبيل المثال. ولقد اقترحت تطبيقات عديدة في مجال الحساسات sensors كي تستعمل نوافذ

للخطوات أن تحدث في قفزات كسرية (متقطعة). في عام 1996 قاس خالد إسماعيل [4] من IBM في يورك تاون هايس، نيويورك، عدداً كبيراً من هذه الكسور بالتفصيل من أجل منظومة السليكون SiGe. لقد بين أن الخطي تحدث عند كسور مختلفة بالمقارنة مع تلك التي شوهدت في زرنيخيد الغاليوم، نتيجة للوادي الإضافي (انظر الشكل 5).



معدلات مقاومة مغناطيسية نموذجية عند درجة حرارة منخفضة تم الحصول عليها من قبل نيل غريفين N.Griffin وجينا دنفورد G.Dunford في جامعة كامبردج على مادة ثمها ديف روبنز D.Robbins وزملاؤه لدى DERA. تظهر قياسات مقاومة هول (أحمر) دليلاً يتأ عن حالات هول الكمومية الكسرية، مثل 4/3 و 8/5 وفي الوقت نفسه فإن المقاومة الطولية (أخضر) التي تم الحصول عليها بقياس هبوط التوتر في اتجاه جريان التيار - تسمى إلى الصفر.

في بعض الحالات تكون المواد ذات الكثافة العالية من العيوب أكثر أهمية من المواد ذات الجودة والحركية العاليتين. لقد بين نيل كريفين [5] من جامعة كامبردج و كاتب هذا المقال (دوغلاس بول) بالإضافة إلى دون أرنون D.Arnone و كارل نورمان K.Norman من مختبر توشيا في كامبردج، أن العيوب قد تكون قادرة على أشد إلكترونات بتأمين كمون حصر. تقوم التقنية التي استخدمناها على قياسات ما يسمى التجاوب السيكلوتروني. عندما توضع المادة في حقل مغناطيسي فإن إلكترونات النقل سوف تدور حول محور الحقل بالتواتر السيكلوتروني التقليدي $\omega_c = eB/m^*$ ، حيث e شحنة الإلكترون و B الحقل المغناطيسي و m^* كتلة الإلكترون الفعالة. (وتعبير بسيط نصف الكتلة الفعالة كيف يستجيب إلكترون في بلورة لحقل كهربائي). تمتص المادة الطاقة من حقل كهربائي مولف على التواتر السيكلوتروني.

إن قياسات التجاوب السيكلوتروني السابقة، التي أنجزت باستخدام آبار كمومية للسليكون المنفعل strained silicon quantum wells، قد أظهرت قمة امتصاص واحدة فقط عند ω_c . كانت النتائج مقنعة مع النظرية التي وضعها وُلتر كوهن W.Kohn، الذي تنبأ أن التواتر الذي تمتص الإلكترونات الإشعاع عنده يجب أن لا يتأثر بتفاعلات متبادلة

الحوسبة الكمومية بواسطة SiGe

لقد اقترح رونجر فوجين وزملاؤه [8] في جامعة كاليفورنيا، لوس أنجلز، بالاشتراك مع ديفيد ديفينيزو D.Divincenzo من IBM، استخدام بني لا متجانسة من SiGe لصنع حاسوب كمومي. إن كل عملية حوسبة في الحاسوب التقليدي تتبع مساراً محدداً واحداً خلال الترانزستورات والتوصيلات المادية بين العناصر على خذاعة من السليكون. أما في الحاسوب الكمومي فإن مبدأ الانضمام (التراكب) للكمومي يسمح لأي عملية حوسبة أن تنتشر إلى عدة مسارات تشاب وتطور في الوقت المناسب بأسلوب متوازٍ (انظر Physics World عدد آذار 1998 صفحة 33-57). لكن مسار طور محدد، فإذا لم يكن الطور (أي تراكب الطور) مقرباً بينها فإنها تتداخل بأسلوب بناء أو هدام

وعليه، فإن الليئات الأساسية في بناء الحاسوب الكمومي هي عدد من المنظومات ثنائية الحالة المترابطة طوراً phase-coherent two-state systems تعرف باسم "الليئات الكمومية" وتكتب "qubits"، التي تكون معزولة عن الوسط المحيط بها لتتبع علاقة الطور الحساس من التخریب.

في عام 1998 اقترح بروس كين [9] الذي كان وقتئذٍ في جامعة يوسلوث ويلز في أستراليا، استخدام السبينات النووية لنترات الفسفور المانعة في بلورة "مضيفة" من سليكون لقي بمثابة حاسب كمومي. تقدم السبينات النووية هنا المنظومات ثنائية الحالة، بينما تعمل بلورة السليكون المضيفة سبينات الفسفور عن الوسط وتستخدم "بوابة" فوق كل بقعة كمومية للتحكم في السبينات وبرمجتها. وهناك بوابة ثانية بين الليئات الكمومية تتحكم بالتفاعلات بين الليئات الكمومية المجاورة، يلتصق حاصر الكمون بينها والسماح للسبينات النووية أن تتفاعل عبر التبادل إلكترون - سبين electron-spin exchange (انظر "طريق السليكون إلى الحوسبة الكمومية"، Physics World كانون الثاني 2000، صفحة 9).

وفي حين تبدو الفكرة جميلة على الورق، لكن هناك عدداً من المشاكل التي لا يمكن التغاضي عنها. يلزم بوابات أطوالها من رتبة 10 نانومتر بالإضافة إلى تباعد يبلغ 20 nm للشوائب (الطعم) dopant، وهو أمر يصعب تحقيقه باستخدام الطاقة الحالية. إن آلية النقل السبيني spin-transfer mechanism التي اقترحت لنقل المعلومات من السبينات النووية إلى الإلكترونات لقراءة الحالة الكمومية النهائية معقدة أيضاً. وأخيراً، فإن نقاوة المطلوبة لبلورة السليكون المضيفة هي أبعد من أن تتحقق، حتى باستخدام المعايير الصناعية الراهنة.

لقد اقترح الباحثون في UCLA باستخدام التردد في التجاوزات السبينية بين بني لا متجانسة غنية بالسليكون في أحد جزئها وغنية بالجرمانيوم في الجزء الآخر، والتي تتوافق نواتجها الشبكية مع بلورة الجرمانيوم. إن وضع ذرة فسفور (التي تعطي إلكترونات) بين حاصرين في عصابة النقل، قد يجعل أسر الإلكترون في الاتجاه الشاقولي متكدساً. يمكن بعدئذٍ استخدام بوابات كهراكديبة لتتحريك الإلكترون من منطقة ذات مجاوب سبيني مرتفع إلى منطقة ذات مجاوب سبيني منخفض.

إن ميزة هذه التقنية تكمن في أن البوابات فقط تحتاج أن تكون بحرض 200 nm وهذا أمر يمكن الوصول إليه بواسطة تقنيات الطباعة الحجرية (الليثوغرافيا). وزيادة على ذلك فإن الإلكترونات في منظومات السليكون تمتنع بأزمة استرخاء سبيني طويلة (من رتبة الملي ثانية بالمقارنة مع النانو ثانية في منظومات III-V) ضرورية للحفاظ على التراكب الطوري. وهكذا فإن الحاسوب الكمومي السبيني على السبينات الإلكترونية يستطيع من حيث المبدأ أن يعمل على سرعات تصل حتى 1 GHz بالمقارنة مع 75 kHz المقترحة لمنظومات السبين النووي. وبالإضافة إلى ذلك فإن الحالة السبينية للإلكترون يمكن قراءتها بسهولة أكبر من السبينات النووية.

تبقى مشكلة واحدة يصعب حلها ألا وهي التوضيح الدقيق للشوائب الفسفور في المنظومة ونقص شوائب الخلفية التي قد تحوّل التراكب الطوري في المنظومة. تتطلب الليئات الكمومية مواد نصف ناقلة ذات نقاوة عالية لأبعد الحدود، وبشكل هذا أيضاً تحدياً كبيراً لتقانة إنتاج SiGe الراهنة. لكن التحديات التي يشملها صنع حاسوب كمومي قد تحث على تقانات إنتاج SiGe محسنة وتحمس أداء الترانزستورات التقليدية.

البيضي. لكن المصادر القائمة على السليكون يمكن، بصورة حاسمة، معالجتها عند تكاليف منخفضة نسبياً بالمقارنة مع المواد III-V كما يمكن مكاملتها ودمجها في دارات السليكون المتوفرة.

إن معظم ليزرات الشلال من المواد III-V يحدها التبعر بين الفوتونات والفونونات، وهي اهتزازات مكتاة للشبكة البلورية. وغلاصة القول فإن هذه لا تستطيع أن تعمل عند أطوال موجية بين 20µm و 35µm. إن ليزرات الشلال السليكونية لا تعاني من هذه المشكلة نظراً لفقدان

أخرى موجودة عند تواترات من رتبة التيرا هرتز أخرى في مواد وغازات متنوعة.

للسليكون مزايا كثيرة على المواد III-V من أجل مصادر كهذه تعمل في مجال التيرا هرتز. إن اختلافات أزمنة الحياة الأطول بين العصابات الفرعية تساعد على حدوث الانعكاس السكاني population inversion اللازم لفعل الليزر، كما أن ركازة ذات ناقلة حرارية عالية تسمح لهذه الليزرات كي تعمل في النمط المستمر بدلاً من النمط

على كل حال، إذا كان أي من التناقص الشديد في حجم النبايط السليكونية أو التزايد المستمر في الفشل في أدائها يرجع إلى بعض الظروف المستقرة، فإن تقانة الـ SiGe تستطيع بصورة فعالة تعزيز الأداء إلى حد يفوق أداء السليكون. وفي الحقيقة، أظهر عدد من التجارب كيف أن كمية صغيرة من الجرمانيوم زرعت في التماسات الأومية لترانزستور أثر الحقل المصنوع من السليكون تستطيع أن تقلل بصورة ملحوظة بعض آثار القصور الذي تصادفه عندما يقلل طول البوابة. وباستبدال الـ SiGe بالسليكون في البوابة نستطيع أن نحسن خواص أخرى للترانزستورات. لذا من المحتمل أن نبايط الـ SiGe لا تشكل إلا جزءاً من سوق أنصاف النواقل الكلي، في حين أن SiGe قد تستخدم، بشكل أو بآخر، في كل ترانزستور سليكوني صغير في المستقبل.

REFERENCES

المراجع

- [1] J. D Cressler 1998 SiGe HBT technology: A new contender for Si-based RF and microwave circuit application IEEE Trans. micro. Theory Techniques 46 572.
- [2] M Glickman 1995 Magnetoresistance of germanium - silicon alloys Physical Review 100 1146.
- [3] E Kasper, H J Herzog and H Kibbel 1975 A one - dimensional SiGe superlattice grown by UHV epitaxy Appl. Phys. 8 199.
- [4] K Ismail 1996 Electron transport in the quantum Hall regime in strained Si/SiGe Physica B 227 310.
- [5] N Griffin 1998 Low -dimensional systems in silicon / silicon - germanium heterostructures PhD Thesis University of Cambridge.

التبثر الفوتوني. والآن يستعمل كارل بيدجون C.Pidgeon في جامعة هريوت واط H.Watt في المملكة المتحدة والعاملون معه، ما يسمى ليزر الإلكترون الحر free-electron laser لقياس اختلاف زمن الحياة بين حالات العصاة الفرعية فوجدوا أنها أكبر من 20 بيكو ثانية، أي أكبر بكثير من المنظومات III-V التي تعمل حالياً.

نظرة مستقبلية

من الواضح أن استخدام نبايط SiGe سيستمر في كثير من التطبيقات، وبخاصة في نبايط التواترات الراديوية وأن الـ SiGe سيصبح البحث الأساسي في فيزياء المادة الكثيفة. لكن ما لم نستطع إنتاج مواد ذات كثافة منخفضة من العيوب فإن نبايط SiGe ستبقى قطاعاً ملائماً لسوق أنصاف النواقل الذي يتسع باستمرار.

- [6] R A Soref, L Friedman and G Sun 1998 Silicon intersubband lasers Superlattices and Microstructures 23 427.
- [7] F Capasso et al. 1999 Quantum cascade lasers Physics World June pp27-33.
- [8] R Vrijen et al. 1999 Electron spin resonance transistors for quantum computing in silicon - germanium hetero structures Preprint quant - ph/9905096 <http://xxx.lanl.gov>.
- [9] B E Kane 1998 A silicon - based nuclear spin quantum computer Nature 393 133.
- [10] Semiconductor industry Association 1997 The National Technology Roadmap for Semiconductors www.itrs.net/ntsr/publntrns.nsf. ■

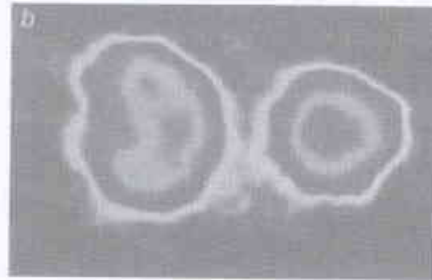
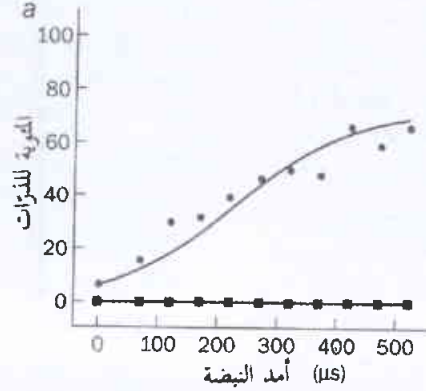


أخبار علمية

1- وسائط تضخيم أفرزت مكاسب لعلم الضوء الذري*

في عام 1929 مُنح الأمير لويس دو بروي L. de Broglie جائزة نوبل لاكتشافه الطبيعة الموجية للجسيمات الكتلية، حيث تبين أن للجسيمات طولاً موجياً مرافقاً يجري حسابه من المعادلة $\lambda = h/p$ ، حيث h ثابت

بلانك و p الاندفاع الخطي للجسيم. وكتيجة لا مفر منها للطبيعة شبه الموجية للمادة نشأ حقل علم ضوء أمواج المادة. وأول برهان على تحقق هذا المبدأ كان بالإلكترونات، تلي ذلك بالنترونات، وفي الفترة الأخيرة جرى تحقيقه بالذرات والجزيئات. وعلى أية حال، تعرقل العمل الباكوري بالذرات بشدة بسبب صعوبة توليد حزم عالية التدفق لذرات وحيدة الطاقة، وتضاءلت إلى حد ما الصعوبة آنفة الذكر مع ظهور الليزر الذي طوّز فهمنا لتأثيرات الضوء في حركة الذرات والتي قادت بدورها إلى ظهور التبريد الليزري. وفي الوقت الحالي، يعدّ علم الضوء الذري حقلاً فرعياً هاماً من الفيزياء الذرية والجزيئية والضوئية، كما أمكن إثبات عمل العديد من المكونات الضوئية - الذرية الخاملة، كالمرايا، والعدسات وشبيكات الانعراج، ومقاييس التداخل، والمجاوبات. وإلى فترة قريبة ظلّ علم الضوء الذري مهرولاً في مرحلة مشابهة لعلم الضوء التقليدي قبل ظهور الليزر.



(a) النسبة المئوية للذرات في حالة الاندفاع $2\pi\hbar k$ بدلالة أمد نبضة الليزر بوجود (أحمر) وغياب (أخضر) إشارة نشطة. (b) صورة امتصاص، مأخوذة عند وجود أعداد متساوية من الذرات في الحالتين، تبين أن كثافة الذرات تكون أعظم في الحالة $2\pi\hbar k$ (إلى اليمين).

وبشكل خاص تمكن يل فيليبس B. Phillips ومعاونوه، العاملون لدى المعهد الوطني للمعايير والتقانة (NIST) في الولايات المتحدة، من إثبات ظاهرة "مزج أربع أمواج" عند تعاملهم مع أمواج المادة لدوبروي؛ بينما نجح ديف بريشارد D. Pritchard وولفغانغ كيرل Wolfgang Ketterle ومعاونوهما، العاملون لدى معهد ماستشوستس للتقانة (MIT)، في مزج موجتين ضوئيتين وموجتين ماديتين. هذا، وتعدّ السوليتونات الذرية العاتمة إرتمر Wolfgang Ertmer العاملة لدى جامعة هانوفر ومن قبل فريق البحث لدى NIST، وكذلك الإطلاق الضوئي للدوامات في كثافات بوز-آينشتاين (سواء في مختبر جيل JILA بمدينة بولدر بولاية كولورادو أو في المدرسة العليا للأساتذة في باريس) بمثابة شواهد إضافية تفسر التقدم المثير في هذا الحقل حديث الانبثاق.

والاختراق العلمي الأخير هو التضخيم الناجح لأمواج مادة الصوديوم الذي حققته مجموعة MIT (انظر مجلة Nature, Vol. 402, 1999) ولأمواج مادة الروبيديوم الذي حققته جهود بحثية مشتركة ما بين جامعة طوكيو ومعهد NIST الأمريكي (انظر مجلة Science, Vol. 286, 1999). وقد تمكنت المجموعتان بإجراءهما لتجربتين متماثلتين تقريباً، من البرهان على التضخيم الطوري المترابط لأمواج مادية ذرية ضعيفة.

وحيث يُعدّ التضخيم المترابط عنصراً أساسياً لعدد من تطبيقات علم الضوء الذري، إضافة إلى كونه مركزياً في علم الإلكترونيات والضوئيات، فمن المحتمل أن يكون لهذا الإنجاز تأثير كبير على التطور المستقبلي لهذا الحقل، وقد تشمل تطبيقاته المحتملة على كل من المحسّنات، والقياسات الدقيقة، والطباعة الحجرية.

ومن المهم التأكيد على أن تضخيم الموجة المادية لا يتتهك أبداً من القوانين الفيزيائية الأساسية. وبشكل خاص، هناك نوع من الارتباك حول ما يتعلق بانحفاظ عدد الذرات. فالنقطة الهامة هي أن مجموع عدد الذرات لا يتضخم بحد ذاته، لكن الذي يتضخم هو مجموع عدد الذرات التي هي في حالة كمومية محددة. كذلك، يمكننا النظر إلى تكثف بوز-آينشتاين وفق هذه العبارات: يبقى مجموع عدد الذرات ثابتاً (أو حتى يتناقص بسبب الفقد)، ولكن عدد الذرات في الحالة الأساسية يعاني من تضخيم جامح. من ناحية ثانية، يكون هذا التضخيم غير مترابط طورياً وذلك من منطلق أن إسكان الحالة الأساسية يتعاظم تدريجياً من

وكما أدى في الماضي، اكتشاف الليزر إلى ثورة عميقة في علم الضوء وإلى تطوير علمي الضوء اللاخطي والضوء الكمومي، فإنه يؤدي حالياً إلى ثورة مماثلة في علم الضوء الذري، الأمر الذي مكّن الفيزيائيين التجريبيين من أن يولدوا، وبشكل روتيني، كثافات بوز - آينشتاين Bose-Einstein condensates. وهي حالة جديدة للمادة تشغل فيها جميع الذرات نفس الحالة الأساسية. ومن خلال استخلاص حزم ليزرية ذرية (وهي حزم مترابطة لها نفس السرعة والاتجاه) من هذه الكثافات، تمكن التجريبيون من إجراء التجارب الأولى في حقلي الضوء الذري اللاخطي والضوء الذري الكمومي (انظر مجلة Physics World, آب/أغسطس 1999).

* نُشر هذا الخبر في مجلة Physics World, March 2000. ترجمة هيئة التحرير - هيئة الطاقة الذرية السورية.

مختزنة في شبكة الكثافة ذات التحرك البطيء، وهذا يشجع مزيداً من تبعثر الفوتونات بالطريقة الجامحة الموصوفة آنفاً. وهذا هو التأثير الذي أطلق عليه فريق MIT اسم "الإشعاعية الفائقة" *superradiance*، والذي يعد محور البيانات العلمية الأخيرة الخاصة بالتضخيم حساس الطور *phase-sensitive amplification*.

وفي غياب إشارة نشطة "seed signal" يتعاطم التضخيم الوسيط للنمط الجانبي من تموجات الكثافة، وهو الشكل المعدل "الذري" - الضوئي" لما يسمى "تموجات الحلاء" *vacuum fluctuations*. ولإثبات طبيعة الحفظ الطوري للتضخيم، بغدو ضرورياً تضخيم إشارة محقونة ذات خواص معروفة. وفي التجارب الأنف ذكرها، جرى توليد هذه "الإشارة النشطة" بتعرض الكثافة إلى موجة ضوئية مستقرة نبضية تنقل الذرات إلى داخل النمط الجانبي المناسب، ومن ثم جرى تقدير طور الإشارة المضخمة بقياس تداخل مستخدمين، كحزمة مرجعية، موجة مادة ثانية مستمدة من الكثافة.

سوف يوترّ الجمع بين الليزرات الذرية ومضخات الموجة المادية المترابطة فرصاً جديدة مثيرة للضوئيات الذرية بفرعها البحثية والتطبيقية. وإضافة إلى عدد من التطبيقات، كالطباعة الحجرية الذرية ستتيح هذه التقنيات الجديدة لباحث الضوئيات الذرية إجراء العديد من التجارب ذات العلاقة بأساسيات النظرية الكمومية، والتي لا يمكن حالياً إجراؤها إلا باستخدام الفوتونات. ■

2- بلورات جديدة من معادن مضغوطة*

يُعتبر الكثير من الباريوم والروبيديوم معادن بسيطة. فنية كلا المعدنين في الضغوط العادية عبارة عن بلورات مكعبة مركزية الجسم، كما توصف خواصهما الإلكترونيات بشكل منطقي بما يطلق عليه اسم "نموذج الإلكترون شبه الحر". وعلينا أن نتوقع عند تطبيق ضغط عليهما بأن تتحول الشبكة البلورية من البنية المكعبة المركزية الجسم - التي تكون فيها الذرات غير مترابطة بإحكام - إلى بنية أكثر تراصاً. وبالفعل كما هو متوقع تتحول البنية البلورية للباريوم إلى البنية السداسية المترابطة تماماً عندما تقع تحت ضغط 5.5 جيجا باسكال (GPa)، بينما يتحول الروبيديوم إلى بنية الشبكة المكعبة المركزية الوجوه عند الضغط 7 جيجا باسكال.

ولهذا فإن ما يثير الدهشة هو أن نعلم بأنه عندما يُزاد الضغط أكثر من ذلك فإن هذه البنية المترابطة تصبح غير مستقرة. وهذا ما يحصل عندما يصبح الضغط أكثر من 12 جيجا باسكال. إننا نعلم بأن الباريوم يعود إلى البنية السداسية المترابطة تماماً فوق الضغط 45 جيجا باسكال، بينما يُشكل الروبيديوم فوق الضغط 20 جيجا باسكال الطور الرباعي الأضلاع المترابطة تماماً. على كل حال، لم تُعرف البنية البلورية للباريوم والروبيديوم في الضغوط المتوسطة إلا مؤخراً. فقد وجد فريق من الفيزيائيين في جامعة

"ضجيج" *noise* ويطور عشوائي، بطريقة تشابه كثيراً ما يحدث في الليزر.

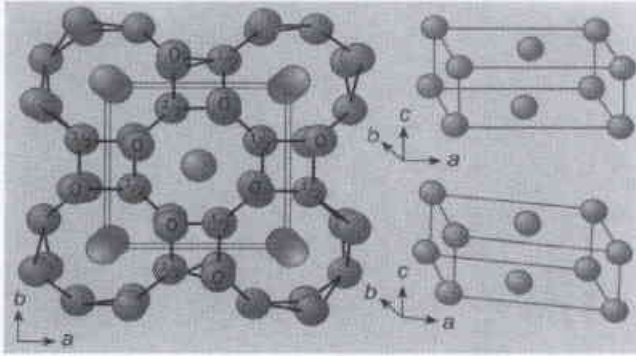
وعرضي التضخيم الطوري المترابط خطوة إلى الأمام: حيث يزيد من عدد الذرات في حالة محددة كما يحافظ في نفس الوقت على طور الحالة التي هي قيد التضخيم. وقد طُرحت نظرياً، ولأول مرة، فكرة التضخيم الطوري المترابط للموجة المادية بطريقة المزج لأربع أمواج من قبل هان بو H. Pu ونيك بغلو N. Bigelow وزملاهما من جامعة روتشستر، والمؤلف ومايك مور M. Moore وزملاهما من جامعة أريزونا. فعند ارتطام موجتين ضوئيتين ذاتي اندفاعين خطيين k_1 و k_2 بكثافة بوز- آينشتاين تحصل عملية مزج لأربع أمواج تشمل حقلين ضوئيين وموجتين ماديتين، (في تجربة نموذجية تستخدم المزج لأربع أمواج، تتحد ثلاث أمواج في وسط لا خطي لتنتج موجة رابعة تحافظ على الاندفاع).

ويؤدي تبادل الاندفاع بين الضوء والذرات إلى انتقال جزء من الكثافة من حالته الأساسية ذات الاندفاع $q \approx 0$ إلى "نمطين جانبيين" لهما الاندفاعان $q = \pm (k_1 - k_2)$. ومن الناحية العملية يستطيع المرء أن يختار واحداً فقط من هذين النمطين وذلك بجعل أحد الحقلين الضوئيين أقوى كثيراً من الحقل الآخر.

وطريقة سهلة لفهم التضخيم الناتج من إسكان النمط الجانبي هي الإدراك بأن الموجتين الماديتين، باندفاعين مختلفين بمقدار k_1, k_2 ، تشكلان شبكة كثافة بطبيعة التحرك تعمل على بعثرة إحدى الموجتين الضوئيتين إلى داخل الموجة الأخرى. وفي نفس الوقت، يشكل الحقلان الضوئيان كمنواً ضوئياً دورياً يعمل على بعثرة إحدى الموجتين الماديتين إلى داخل الأخرى. ومن أجل التوصل إلى وسطاء ملائمة، يجري تضخيم النمط الجانبي للموجة المادية على حساب الكثافة مما يؤدي إلى تعديل أعمق لشبكة الكثافة.

وهذا المسمى بالتضخيم الوسيط يُنتج بدوره تبعثراً أعظم من الحقل الضوئي القوي إلى داخل الحقل الضوئي الضعيف، الأمر الذي يؤدي إلى تعميق الكمون الضوئي الدوري. يعقب ذلك مزيد من تضخيم النمط الجانبي بأسلوب جامع. هناك سلوك مماثل معروف جيداً في علم الضوء. وبينما استخدمت الظروف النظرية الأولى تجاوب ضوئية لاختيار الأنماط الضوئية المطلوبة، نجد أن التجارب الأخيرة التي أجراها كترل وزملاؤه أظهرت أن مثل هذا الإجراء ليس ضرورياً؛ حيث بين هؤلاء أن إطلاق حزمة ليزرية ذات استقطاب مناسب بصورة متعامدة مع المحور الطولي لكثافة بوز-آينشتاين التي لها شكل السيجار سيجعل الناتج من تبعثر الضوء في معظمه موازياً للمحور الطولي، (سبق معرفة "نمط الشعاع الطرفي" *end-fire mode* هذا منذ ظهور الأبحاث التي أجراها روبرت دايك R. Dicke في الخمسينيات من القرن الماضي).

وهكذا، يُختار النمط الضوئي بوساطة هندسة الكثافة والذي يظهر في إسكان النمط الجانبي للكثافة باندفاع خطي محدد تماماً. وليست هناك ضرورة لوجود مجاوب ضوئي. وعلاوة على ذلك، وبينما تعتمد الفوتونات المصدرة تلقائياً إلى الإفلات، تظل ذكرى حدث التبعثر



الشكل 1- بنية الباريوم عند الضغط 12.1 جيجاباسكال عند النظر إليها من أعلى المحور c- تم إظهار بنية الإطار بنقاط خضراء. بينما تم إظهار الذرات في القنوات بلون أحمر. بين الشكلان في الداخل بنيتين من بنى القناة المرتبة.

وفي غضون ذلك، وجد الباحثون في شتوتغارت و ESRF أن بنية الروبيديوم بين الضغطين 17 و 20 جيجا باسكال يشبه في كثير من الأمور حال الباريوم. (لا تزال البنية بين الضغطين 13 و 17 جيجا باسكال غير معروفة). لقد اكتشفوا بأن البلورة رباعية الأضلاع وثابت الشبكة هي $a = b = 10.7 \text{ \AA}$ و $c = 5.1 \text{ \AA}$ (انظر الشكل 2). تتألف هذه البنية أيضاً من إطار من مواشير متقابلة بزوايا قائمة مشتركة الوجه مع قنوات مفتوحة على طول المحور c- تحتوي القنوات سلاسل من ذرات الروبيديوم ونماذج مختلفة من أجل ذرات السلسلة ملائمة لأنماط انعراج المسحوق. وبالرغم من أن هنالك الكثير من الريبة فيما يخص مواقع هذه الذرات فإن المواقع الأكثر احتمالاً مفصولة بعضها عن بعض بمقدار 2.59 \AA . على كل حال، فإن الانخفاض الممكن في إشغال المواقع يعطي بعداً ذرياً متوسطاً مقداره 2.97 \AA ، وهو رقم قريب إلى أقصر طول رابطة روبيديوم - روبيديوم وهو 3.04 \AA .

على كل حال، من الصعب تعيين بنى غير متناسبة من معطيات انعراج المسحوق، ومن غير الممكن تماماً ملاحظة النمط المنتشر الناتج من التبعر بواسطة سلاسل مستقلة من الذرات (كما هو الحال الذي وجد في القنوات). ولهذا علينا أن نتنظر حتى دراسة بلورة وحيدة من هذا الطور من الروبيديوم قبل أن تتمكن من التأكد بأنها تتألف من بنيتين مختلفتين غير متناسبتين، كمقابلتين إلى بنيتين متناسبتين.

يُعتقد بأن هذه البنى الجديدة قد نتجت بسبب تغير طاقات الطبقات الإلكترونية عند تطبيق الضغط. ورغم أننا نعلم أن طاقة الطبقات s تزداد بالنسبة للطبقات d فإننا لم نفهم بعد تماماً كيف يمكن أن يقود هذا إلى هذه البنى البلورية.

إن النتائج من فرقاء أدنيره وشتوتغارت هي أمثلة على الكثرة غير المتوقعة لبنى المواد تحت الضغط والتي تم كشفها حالياً خلال استعمال

أدنيره في المملكة المتحدة، وكذلك المتعاونون من الباحثين في معهد ماكس بلانك لفيزياء الحالة الصلبة في شتوتغارت في ألمانيا ومنشأة إشعاع السنكروترون الأوروبية (ESRF) في غرونوبل في فرنسا بأن لكلا المادتين البنية البلورية نفسها وبخواص غير متوقعة تماماً.

استعمل كلا الفريقين في تجاربهما تقنية تبعر أشعة X- درس فريق أدنيره الباريوم مستعملاً حزمة أشعة X- أحادية اللون من منبع إشعاع السنكروترون في مختبر دار سيبري، بينما درس فريق شتوتغارت الروبيديوم في منشأة إشعاع السنكروترون الأوروبية، وفي كلا الحالتين كان يوضع مسحوق المادة في خلية السندان الماسي في درجة حرارة الغرفة. الخلية هي بسيطة يستعمل فيها الماس المستعمل كحجر كرم لتطبيق ضغط على العينة.

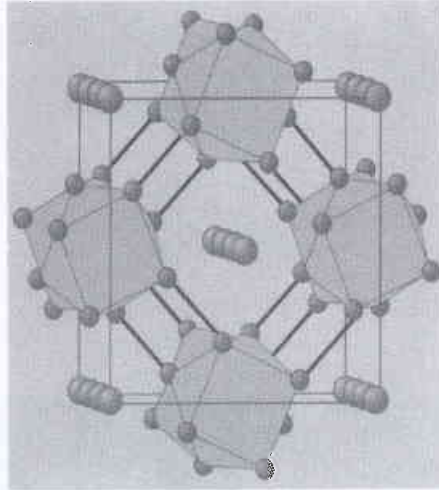
كان في التجارب نوع من التحدي لأن خلايا السندان الماسي تمتص أشعة X- ولا تستطيع أن تحتوي إلا على كميات قليلة من المسحوق. ولحل مسألة البنى البلورية كان على فرقاء البحث المختلفة استعمال منبع سنكروترون شديد مع صفائح صور لتسجيل كمية كبيرة من أنماط الانعراج بوقت واحد. قاس فريق أدنيره أيضاً نمط الانعراج من بلورة وحيدة من الباريوم.

كشفت نمط الانعراج أن بعض الباريوم شكّل بصورة أساسية عند الضغط 12.1 جيجا باسكال خلية رباعية الأضلاع أبعادها $a = b = 8.42 \text{ \AA}$ و $c = 474 \text{ \AA}$ (الشكل 1). لهذه البنية قنوات كبيرة موازية لما يسمى المحور c مملوءة بسلاسل من ذرات الباريوم المتبقية. تتباين المواقع الحقيقية لذرات الباريوم هذه من تجربة إلى أخرى، وتعتمد على كل من الضغط المستعمل والحظ السعيد.

وجد فريق أدنيره في بعض تجاربه على البلورة الوحيدة مستويات من التبعر المنتشر، مما يشير إلى أن هنالك ترابطاً قليلاً بين مواقع الباريوم في القنوات المختلفة. كان متوسط البعد لذرات الباريوم في القنوات 3.41 \AA .

وفي غضون ذلك وجدوا في تجارب أخرى عدة أنماط مختلفة الترتيب 3-D من أجل الذرات في القنوات. (اثان منها ميبنان في الشكل 1). كانت المسافة بين ذرات الباريوم هذه حوالي 3.42 \AA وهي قيمة غير متناسبة مع الدور 4.74 \AA للمحور c لشبكة رباعي الأضلاع. (يكون الطولان متناسبتين إذا كان كلاهما مضاعف عدد صحيح لطول أقصص). استنتج فريق أدنيره بأن بنية

هذا الطور العالي الضغط من الباريوم يتألف من بنى متداخلة ولكنها غير متناسبة. الحقيقة أن الباريوم هو أول معدن وجد له هذا النوع من البنية. وإذا لم تشوه هاتان البنيتان المتداخلتان، فإن الاقتراب الأدنى لذرتي باريوم - إحداهما في إطار الشبكة والثانية في القنال - يكون 3.21 \AA . إن هذا أصغر بكثير من 3.42 \AA الذي هو أصغر طول رابطة باريوم - باريوم. وهذا ما يوحي باحتمال تشوه البنى مما يسبب اقتراناً بين القناتين.



الشكل 2- منظر A3-D لبنية الروبيديوم عند الضغط 18 جيجاباسكال. تم إظهار بنية الإطار بلون أخضر، بينما تم إظهار بنية الذرات المتداخلة مع القنوات بلون أحمر.

مصادر أشعة X- السنكروترونية. لقد صُرف وقت وجهد لتطوير التقنيات ولكن يمكننا الآن أن نحصد الجوائز. ■

3- الدم*

وحتى المستأرجات Allergène** (النباتية منها كحبوب الإقحاح، أو الحيوانية كالقرايات، أو الغذائية والدوائية).

ويؤمّن الدم أيضاً مراقبة وإصلاح "مجارى" دورته. ففي حالة جرح أحد الأوعية فإنه يصلح الأذى. ويحمل الدم، بالإضافة إلى خلاياه جزئيات معلومات متعددة كالهormونات والمراسيل الكيميائية.

أما الأوعية الدموية فهي ليست مجرد أوعية عادية عاطلة وإنما يسمح غلافها الحساس والفقاع بتنظيم مرور المواد المغذية وخلايا الدفاع عن الجسم كما يتيح أيضاً تبادل جزئيات المراسيل مع الدم. ويكون للدم خمس وظائف رئيسة هي: التنفس والمناعة والإصلاح والتغذية والاتصال تجعل منه عضواً أساسياً ومهماً لا تقل أهميته عن الدماغ أو القلب.

تمّ يتركّب الدم؟

تبلغ كمية الدم عند الرجل 5 لترات وعند المرأة 4 لترات، وأكثر من نصف هذه الكمية هو سائل شفاف مُصَفَّر يدعى البلازما. تحوي البلازما، المولّفة من الماء بصورة خاصة، الأملاح المعدنية (أملاح الكالسيوم والصوديوم والمغنيزيوم والبوتاسيوم ...) والسكر وجزئيات المراسيل (الهormونات والأنتروكينات interleukines: مواد تؤدي دور وسيط كيميائي يتدخل في الاستجابة المناعية وفي تكوين خلايا الدم) مع

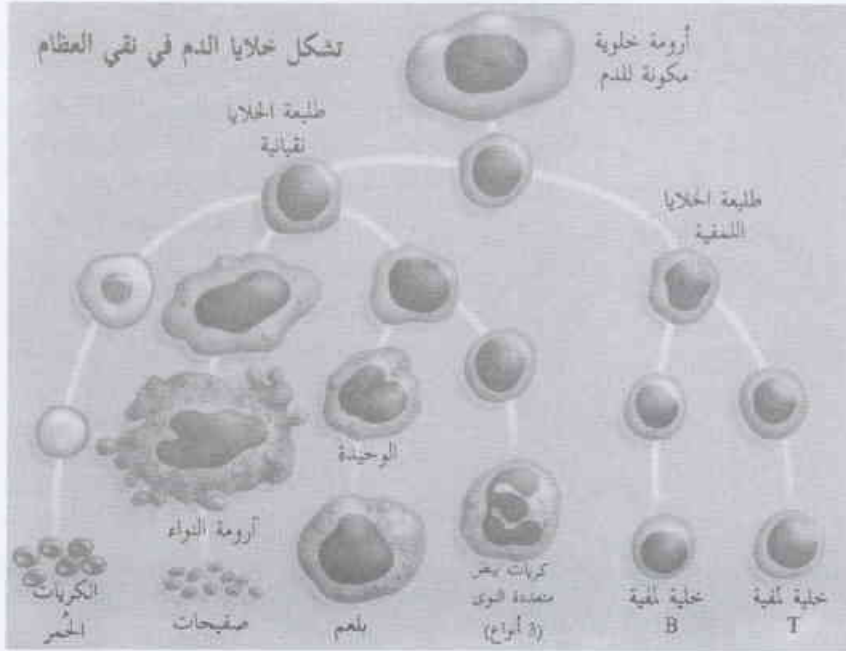
الدم، الذي يتضمّن رمزاً متضادة عن الحياة والموت، يزوّد النسيج بالأكسجين ويغذيها وينظفها ويدافع عنها. والدم لا يمكن فصله عن نقي العظام الذي يجدّده. وهذا الأخير يصب كل يوم في هذا السائل الحيوي مليارات من الخلايا. يشكل نقي العظام والدم عالماً حيوياً نشيطاً يتغيّر ويتحوّل بحسب الاحتياجات.

لماذا يكون الدم حيوياً بهذا المقدار؟

كان أسلافنا يعلمون جيداً - سواء أكانوا صيادين أم ضحايًا - أنّ الدم هو الحياة. وتشهد على ذلك حيوانات البيزون المملّطة باللون الأحمر

المرسومة في كهوف المعهد الباليوليتي (المعهد الحجري القديم). ولكن كان لا بدّ من الانتظار حتى حلول القرن السابع عشر وظهور مخترع المجهر العالم الهولندي أنطوان فان لوفنهوك لنكتشف من هذا الدم الكريات الأولى: الكريات الحمر. أما بالنسبة لوظائف الدم الرئيسة وعناصره فلم يبدأ توضيحها تدريجياً إلا في بداية وخلال القرن التاسع عشر ولم ينته ذلك بعد ... والدم، الذي هو سائل حيوي يدفعه القلب في أوعية متفرعة يبلغ طولها 200 كم، يروي كل النسيج والأعضاء حيث يغذيها وينظفها ويدافع عنها. فهو يزوّد الخلايا عبر الأوعية الشعرية بالأكسجين والغلوكوز الذي "يحترق" لإنتاج الطاقة الضرورية كما ينقل إليها المواد الغذائية اللازمة لعمليات أعضائها، وعن طريقه يتزوّد دماغنا بما يستهلكه من أكسجين. ويجمع الدم عند مروره ثنائي أكسيد الكربون الذي يتحوّل في الرئتين بعد نقله إليهما، كما ينقل الثقبات الناجمة عن العمل الخلوي إلى الكليتين قبل طرحها. والدم، بالإضافة إلى ذلك، ينظّم مبادلات الأملاح بين نسيج المتعضية مؤمناً بذلك توزيعاً جيداً للضغط بين الأغشية الخلوية.

مع أنه فشل حتى الآن في مكافحة مرض السيدا (الإيدز)، يقوم الدم بالدفاع عن أجسامنا. فهو مجهّز بوسائل دفاع تنشط في الأوقات العادية عند وجود البكتريا والحماة الراشحة والطفيليات والخلايا غير الطبيعية



بروتيناتها التي تحملها. يوجد في اللتر الواحد من الدم 70 غ من البروتينات وأغزرها الألبومين الذي يحتجز الماء كالإسفننج. تشترك الكريات المناعية (الأضداد anticorps) في الدفاع المناعي، أما باقي البروتينات فتقلل الدم أو تتدخل أيضاً مثل الفبرينوجين (مولد الليفين) في عملية تخثر الدم.

* نُشر هذا الخبر في مجلة La Recherche, No. 327, January 2000. ترجمة هيئة التحرير - هيئة الطاقة الذرية السورية.
** المستأرج هو مستضد يؤدي إلى تفاعل مناعي عنيف (أرجمي).

لوحة في الميتر المكعب من الدم. تمتع هذه الخلايا المتناهية في الصغر بينة معقدة وتمتلك وظائف لاصقة ومقلصة، فإذا حصل جرح في جدار وعاء دموي تلتصق فوقه وتسده.

كيف يتجدد الدم؟

كما هو الحال مع جميع أعضائنا يشيخ الدم أو بالأحرى تشيخ خلاياه وتموت. فالكرية الحمراء تعيش ثلاثة أشهر تقريباً بينما تعيش اللوحة عشرة أيام. أما معظم الكريات البيض فلا تعيش إلا بضعة أيام، وبعضها فقط، للمفاويات T ذات الذاكرة، يمكن أن تعيش أشهر أو سنوات.

يوجد إذاً تجديد مستمر ومنظم بدقة للخلايا وهو تجديد من المنشأ، أي

أن الدم لا يُنتج خلاياه بنفسه وإنما يُنتجها الكبد والطحال لدى الجنين. أما لدى البالغ فنشأ وتمايز بصورة دائمة في نقي العظام. والاستثناء الوحيد هو أنه يجري تخصص للمفاويات T في غدة التوتة thymus. وهكذا فإن عظامنا: عظام الفخذ والعضد والترقوة والأضلاع والقص والحوض، تُنتج الدم بصورة مستمرة. وكل الخلايا تبدأ بخلية أرومية يمكن أن تُعطي كل سلالات الخلايا الدموية. وبعد ذلك تتابع مراحل مختلفة تتشكل خلالها كريات غير مكتملة النمو تكتسب تدريجياً تخصصها. وتتحكم جزيئات مثل عوامل النمو أو الأنتروكينات تحكماً دقيقاً بمصير كل هذه الخلايا. فالهرمون EPO (إريثروپويتين erythropoietin) أو مكُون الكريات الحمر الذي يُعطي للمصابين بالقصور الكلوي أو يتعاطاه الرياضيون للتنشيط) يُحرض إنتاج الكريات الحمر. وهذه الأخيرة تطرد نواتها قبل أن تنصب في الدم. وتستغرق هذه العملية أسبوعاً واحداً من أجل الكريات الحمر وأسبوعين من أجل الكريات البيض.

أما نشوء اللويحات فهو نشوء مدهش، ذلك لأن الخلية الأصلية لا تولد خليتين بنتين وإنما تضاعف محتواها من الدنا DNA دون أن تنقسم. وذلك يؤدي إلى نشوء خلية عملاقة لا تحتوي فقط على مجموعتين من الصبغيات وإنما على 32,16,8,4 مجموعة وحتى 64 مجموعة. وتنتهي هذه الخلية إلى شكل يشبه الأخطبوط. تنقسم أذرعها السيتوبلازمية المتعددة فيما بعد لإعطاء كمية من اللويحات.

وقد يصدف أن نقي العظام لا يُنتج كمية كافية من الخلايا أو يتعرض لهجوم خلايا ورمية. ولعلاج هذه المشكلة الخطيرة جداً يُعطى المريض خلايا أرومية صادرة من نقي العظام أو من الدم أو أيضاً مستخرجة من دم الحبل السري الغني بالخلايا الأرومية. ومن ناحية أخرى اكتشف أن نقي العظام (مثل الجملة العصبية) يؤدي خلايا أرومية أخرى تدعى الخلايا

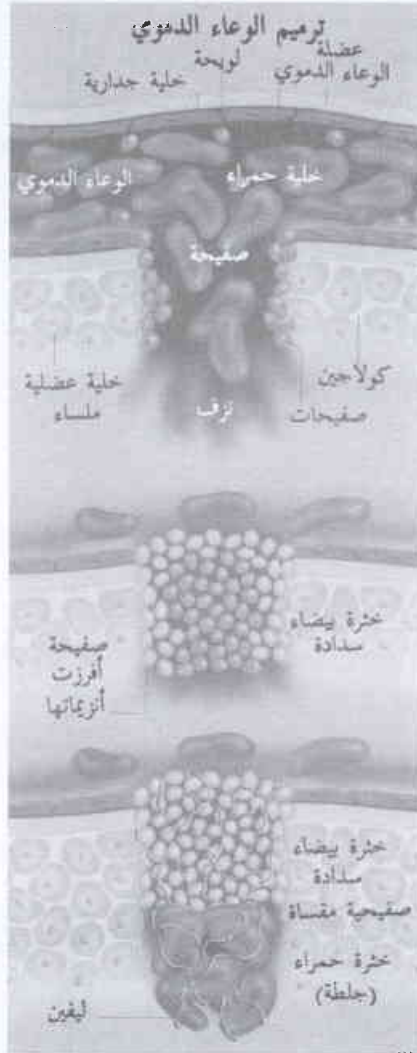
ورغم أن الدم سائل فهو بحسب علماء البيولوجيا نسيج تجري فيه خلايا متعددة. تشكل الكريات الحمر أدوات تنفسنا ويراوح عددها بين أربعة وخمسة ملايين كرية في الميتر المكعب الواحد من الدم، وهي على شكل أقراص مقعرة الوجهين يبلغ قطر الواحدة منها 7-8 ميكرونات تجول في الأوعية الدموية (وتبقى منحسمة داخلها) مكثسة بعضها فوق بعض كما تتكدس النقود في لفائفها. والشيء الغريب أن الكريات الحمر هي خلايا مجردة من النواة على شكل أكياس من الهيموغلوبين. وهذا الأخير هو صبغ يتضخم الحديد ويعطي للكرية لونها الأحمر وينقل الأكسجين الذي يأسره ويطلقه بسهولة. إن شكل هذه الكريات وبنية غشائها يقدمان للكريات صلابتها ومرونتها وقابليتها على تغيير أشكالها. وهي أمور مهمة

من أجل اختراق أدق الأوعية الشعرية الدموية. وأخيراً تغلف هذا الغشاء بروتينات سكرية خاصة تحدد الانتماء إلى الزمر الدموية.

أما الكريات البيض المتخصصة في الدفاع عن الجسم فعددها أقل بكثير إذ يراوح من 4000 إلى 8000 كرية في الميتر المكعب، وهي عبارة عن فصيلة واسعة من الخلايا الحقيقية أي من الخلايا التي تحوي نواة والتي يمكنها أن تنسل إلى النسيج، فالكريات البيض متعددة النوى (في الواقع لا تحوي إلا نواة واحدة ولكنها غريبة الشكل) وهي المسؤولة عن زيادة "الغزاة الأجنبي" وبصورة خاصة البكتريا. وتقوم الكريات البيض أحادية النواة التي تسمى أيضاً البلاعم macrophages بدور مطهر، فهي تتبلع وتلتف كل شيء تقريباً: المتعضيات الميكروية المفضضة والخلايا التالفة والتوكسينات ... ويكون للبلاعم أيضاً وظيفة مناعية لأنها تُقدّم المستضدات antigenes (المستضد: كل مادة يؤدي دخولها إلى الكائن الحي استجابة مناعية) إلى خلايا أخرى تنتمي إلى نمط ثالث من الكريات البيض ألا وهي للمفاويات lymphocytes وخصوصاً للمفاويات T (تعني T التوتة thymus وهي عضو لمفي). وهذه اللويحات الأخيرة مكلفة بمراقبة الفيروسات والأورام وتقتل الخلايا التي تقدم إليها مستضدات غريبة، أما اللويحات الأخرى للمفاويات B فتنتج الغلوبولينات المناعية immunoglobulines: الأضداد الجوّالة. يحمل غلاف اللويحات مثل

معظم غلاف خلايانا واسمات marqueurs أساسية تدعى HLA (مجموعة من الواسمات الجينية توجد على سطح الخلايا وتتدخل في الاستجابة المناعية). تستجيب الكريات البيض بصورة دائمة بفضل مراسيل كيميائية.

وأخيراً تشكل اللويحات plaquettes التي هي الخلايا الأصغر في الجسم (يبلغ قطرها 1-2 ميكرون) عوامل الإرقاء hemostase أي العوامل التي تؤدي إلى إيقاف النزيف. يوجد عادة من 150 000 إلى 400 000



شاملة الوُسع totipotentes التي يمكنها أن تولّد أي نوع من الخلايا. وهكذا يكون لنقي العظام وظيفة أخرى في إعادة توليد النسيج.

ماذا يجري عند حدوث الجروح؟

عندما يحدث جرح ما يتقلص الوعاء الدموي المجرّوح، وتبدأ بسرعة كبيرة مرحلة أولى يدعوها البيولوجيون مرحلة تشكّل العلقة اللويحية، تلتصق اللويحات على الجرح وتتغير بشكل كبير الدهشة فهي تلتصق الواحدة بجانب الأخرى وتشكّل سدادة تكون رخوة في البداية ثم تصبح صلبة بالتدرّج، وبفضل مواد تفرزها تستدعي لويحات أخرى، وهذا يكون كافياً من أجل وعاء دموي صغير.

وبالمقابل تُطَبّق من أجل الأوعية الأكبر مرحلة ثانية أكثر تعقيداً وهي مرحلة التخثّر أو تكثّل الدم حيث تتدخل جزيئات متعددة كالأنزيمات وعوامل التخثّر والعوامل المضادة للتخثّر... وبشكل مبسط، تحوي البلازما بروتيناً منحللاً يدعى فيروجين (مولد الليفين). يتحوّل هذا الأخير بتأثير عمل أنزيم آخر وهو الترومين إلى الفيبرين (الليفين). تقوّي خيوط الليفين العلقة اللويحية وتحتجز الخلايا الدموية مُشكّلة الجلطة. تتحلّل شبكة الفيبرين بعد التام الجرح بأنزيمات أخرى وتزول الجلطة وهذا ما يُعرف بالتحلّل الليفي. إننا نفهم تماماً لماذا يكون عدم التوازن بين التخثّر والتحلل الليفي خطيراً إذ يقود التخثّر السريع إلى تشكيل الخثرة (جلطة تسدّ الأوعية الدموية) والتخثّر البطيء إلى نزيف لا تحمد عقباه.

ماذا يحدث في حالة نقصان الخلايا الدموية؟

يمكن أن تُسبب بعض الأورام ومعالجتها والفيروسات والأمراض الجينية والأدوية... نقصان الخلايا الدموية cytopénie. وتعتمد نتائج هذا المرض بالطبع على نوع الخلايا الناقصة. فمرض فقر الدم ناتج من انخفاض نسبة الهيموغلوبين العادية المصاحب بنقصان عدد الكريات الحمر الجواله. فالشخص المصاب بفقر الدم يكون أصفر الوجه ضيق النفس يتعبه أقل مجهود. ومن الأسباب المحتملة لفقر الدم النزف وبالتالي فقدان الحديد والالتهابات (التي تُفرضي إلى اضطراب في أيض الحديد) ونقص التغذية... وفي أبسط حالات فقر الدم الشائعة يُعطى المريض عادة الحديد.

أما بالنسبة إلى أمراض نقصان خلايا الدم الأخرى التي تصيب الكريات البيض أو اللويحات فإنّ أحد أسبابها المهمة هو نقصان نقي العظام. فنقصان الكريات البيض يؤدي إلى أضعاف شديدة ويؤدي نقصان اللويحات، كما ذكرنا إلى النزف. ويمكن معالجة بعض هذه الأمراض الأخيرة باستزراع نقي العظام.

هل يصبح الدم مسرطناً؟

الجواب نعم ولا! ليست الخلايا الدموية هي التي تصبح سرطانية وأما خلايا نقي العظام. ينتج مرض ابيضاض الدم أو سرطان الدم، الذي هو تكاثر سرطاني لخلايا الكريات البيض الأرومية في نقي العظام والدم، من إيقاف تمايز الخلايا الأرومية (التي تصبح خالدة لا تصل إلى مرحلة النضج) وتجمّعها في نقي العظام والدم والطحال والكبد والعقد اللمفية. وبحسب مرحلة الإيقاف توجد أنماط متعددة من أمراض سرطان الدم. وهذه الأمراض أدت دوراً مهماً في فهم آليات السرطان، فقد تمّ أولاً في

هذه الأمراض تعرف معظم شذوذات الجينات المتدخّلة في السرطانات. إننا نفهم إذاً لماذا نعالج سرطان الدم مثل الأورام الصلبة كيميائياً وإشعاعياً مع مزّة إضافية وهي إمكانية استبدال غريسة من نقي عظم سليم بنقي عظم مصاب بالسرطان. وهذا الدور الرائد لأمراض سرطان الدم في فهم آليات دراسة السرطان ومعالجته استمر على الجينوم أي على المجموع الجيني. فدراسة الصبغيات ووضع البطاقة الذاتية لهذه الأمراض تتيح لنا تعريف الشذوذات البيولوجية المسؤولة وتعهد العلاج النوعي. والمثال النموذجي هو مرض سرطان الدم المسعى مرض سليفة النقوية Promyélocyte. وأصل هذا المرض تغيّر صبغي يؤدي إلى تقارب جيتين بشكل شاذ مفضياً إلى تركيب بروتين يدعى فوزيون Fusion. ترمز إحدى هاتين الجيتين مستقبل أحد مشتقات الفيتامين A، حمض الريتينويك Rétiinique. ومن هنا جاءت الفكرة في إعطاء المرضى حمض الريتينويك الذي يخزب بروتين الفوزيون ويعيد القدرة على تمايز نقي العظام. وهكذا ظهر منذ عدة سنوات أول علاج فعال ضد السرطان.

كيف اكتشفت الزمر الدموية؟

أجري في القرن السابع عشر الكثير من عمليات نقل الدم أغلبها كان مميتاً، وهذا ما دعا الملك لويس الرابع عشر إلى منع هذه الممارسة. وبعد مدة طويلة قام كارل لندشتاينر Karl Landsteiner عام 1900 بأخذ عينات من دم مساعديه. فقد لاحظ بعد مزج مصل عينة من العينات مع كريات عينة أخرى، أنّ المصل يورّض الكريات الحمر. ويبدو أنّ هذه الأكنداس هي التي أدت إلى الحوادث الناجمة عن نقل الدم، وبذلك اكتشفت الزمر الدموية الأولى ABO. وفيما بعد اكتشف، وبسرعة كبيرة أنّ أفراد البشر يتوزعون على أربع زمر بحسب امتلاكهم المستضد (A) antigène والمستضد (B) والمستضدين (A و B) أو عدم امتلاكهم أي مستضد وهذا ما يميّز الزمرة O (يوجد في الواقع في هذه الزمرة الأخيرة مستضد يدعى H). ولدينا جميعاً كل الأضداد anticorps الموجهة ضد مستضدات الزمر الأخرى ما عدا ضد زمرةنا. ويقال عن هذه الأضداد أنها طبيعية كونها تتشكّل بصورة مبكرة جداً خلال الحياة لأنّ بكريات الفلورة (النيبت) المعوية تحمل هذه المستضدات ABO. وكارل لندشتاينر هو الذي اكتشف أيضاً عامل ريسوس rhesus بعد أن مزج هذه المرة خليطة مع الكريات الحمر لأحد القردة المسماة قرد الريسوس Macaque rhesus. ولقد أظهر أحد تلاميذه العلاقة بين هذا العامل وبين مرض انحلال الدم Hémolyse الخطير جداً لدى الطفل حديث الولادة. ينتج هذا المرض من عدم التلاؤم بين عوامل الريسوس لدى الأم وطفلها. إننا نعلم الآن أنّ مجموعة الريسوس تشتمل على مجموعات ثانوية متعددة. والاكتشاف الآخر المهم أيضاً عام 1952 يعود إلى جان دوسيه J. Dausset حيث اكتشف معقّد التوافق النسيجي الرئيس complexe majeur d'histocompatibilité أو CMH، الذي يدعى في الوقت الحاضر HLA. وهو عبارة عن واسمات توجد على الكريات البيض وعلى سطح خلايا النسيج الأخرى أيضاً، ومن هنا تبرز أهميتها الكبرى عند استزراع الأعضاء. يشكّل المعقّد HLA منظومة شديدة التعقيد ويُحدّد لكل فرد ذاتيته الخاصة. وفي الوقت الحاضر نعرف نحو 600 مليون تركيبة من

اللاقرية فإن علماء الحيوان يطلقون على دمها اسم اللمف الدموي Hémolymphe، وتكون الأصبغة الحاملة للأكسجين في معظم الحالات منحلة في اللمف الدموي وأحياناً تكون ضمن خلايا، والحشرات هي الكائنات الوحيدة التي لا يحوي دمها أصبغة تنفسية نظراً لأن قصبياتها المتفرعة تنقل الأكسجين مباشرة إلى الأعضاء المختلفة. والهيموغلوبين (خضاب الدم) هو الأكثر شيوعاً من هذه الأصبغة ويوجد بلونه الأحمر المميز في معظم شعب الحيوانات. ولكن يوجد لمف دموي ذو صبغ أحضر لدى الديدان الحلقية وذو صبغ أزرق لدى بعض الرخويات ومفصليات الأرجل.

ماذا نعرف عن تطوّر خضاب الدم؟

لا نعرف الكثير عن هذا التطوّر، ومن المحتمل أنه كان في الأصل عبارة عن جزيئة مكلفة بأسر الأكسجين السام بالنسبة للمتعضيات اللاهوائية، وتشهد على ذلك الديدان الحيطية التي ترتبط بألفة كبيرة مع الأكسجين ولكنها لا تحزّره بسهولة. فضلاً عن ذلك تكون الكريات الحمر مزوّدة بنواة لدى كل الحيوانات الفقيرة الأخرى الأسماك والبرمائيات والزواحف والطيور عدا الثدييات، وفقدان هذه النواة خلال التطوّر يُفسّر كوسيلة لتحسين مرونة الكريات الحمر من أجل مرورها في الأوعية الشعرية وزيادة مخزونها من خضاب الدم وبالتالي زيادة قدرة الدم على نقل الأكسجين. ويبدو أنّ هذا التغير قد حصل عندما انفصلت الثدييات عن الدينوصورات (أسلاف الطيور). ■

4- تلوث غذائي بمركبات الـ PCBs والديوكسينات*

حدث هام وفريد حصل في بلجيكا من المستبعد أن يؤثر في الصحة العامة

في شهر شباط (فبراير) من عام 1999، وقع في بلجيكا حدث فريد من نوعه في عدة مزارع للدواجن، سارعت على إثره السلطات هناك إلى اتخاذ إجراءات فورية وقائية لحماية الصحة العامة وإلى وضع برنامج مراقبة واسع النطاق للأغذية. وسوف نعلم في هذا الخبر إلى تحليل مستوى التلوث الحاصل وتقييم احتمال تأثيره سلباً على صحة عامة السكان.

ظهر العَرَضُ الأول للتلوث على شكل انخفاض فجائي في إنتاج الدجاج للبيض. بعد ذلك بعدة أسابيع حدث انخفاض ملحوظ في معدل قفس البيض الناتج رافقه انخفاض في الكسب الوزني وزيادة في معدلات نفوق الصيصان، وكانت هذه الطيور مصابةً "بالحبن ascites" (انتفاخ البطن)، وبوذمة تحت جلدية subcutaneous oedema للعنق، وباضطرابات عصبية (رنح ataxia). وأظهر فحص النسيج وجود تغيرات تنكسية في العضلات الهيكلية وعضلة القلب، وتشابهت مظاهر

HLA. يوجد في الواقع عشرات المنظومات الأخرى من الزمر الدموية ولكنها لا تعيق عمليات نقل الدم.

هل عملية نقل الدم موثوقة في الوقت الحاضر؟

في الواقع أحرز تقدم كبير في فرنسا منذ بداية التسعينيات مع إعادة تنظيم كامل لنقل الدم، فقد أتاحت تقنيات مختلفة (تسخين المنتجات واقتفاء الفيروسات في دم المُعْطِي...) تجنّباً لتلوث منتجات نقل الدم، ولكن في الطب كما في المجالات الأخرى لا يمكن استبعاد حدوث التلوث تماماً إذ لا نعرف مثلاً كل الفيروسات المنقولة بالدم، كما أنّ البعض يطرحون مسائل تتعلق بالبريون Prion وهو عامل مثقّم في مرض "جنون البقر". ولذلك قررت كل من الولايات المتحدة وكندا ونيوزيلندا، كإجراء احترازي، استبعاد أخذ الدم من الأشخاص الذين أقاموا في المملكة المتحدة عندما كانت أزمة مرض جنون البقر على أشدها.

هل يمكن تصنيع الدم؟

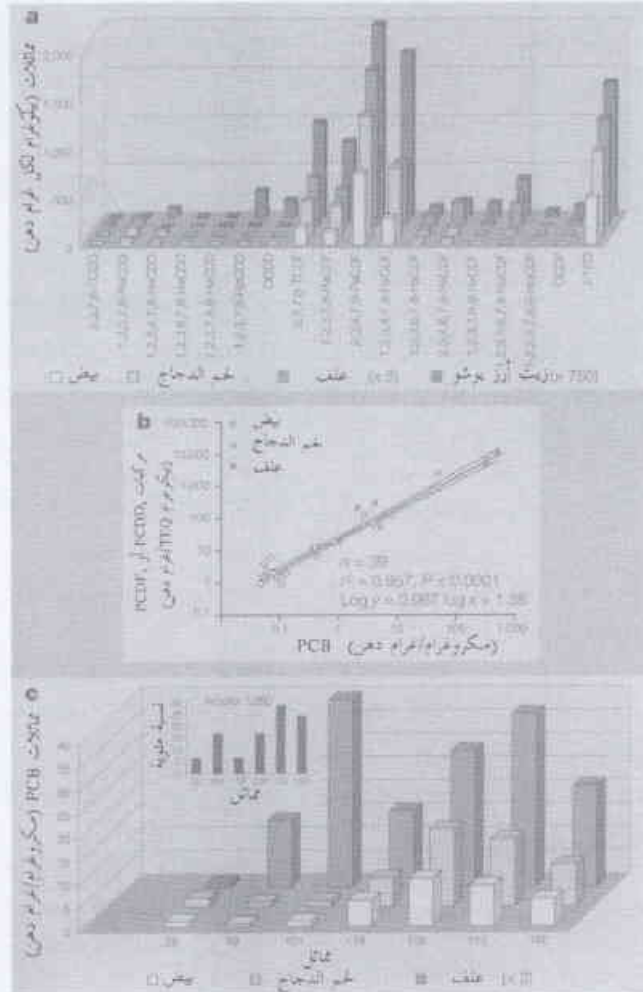
الجواب هو النفي، فلا يمكننا تصنيع الدم لأن وظائفه ومكوّناته معقّدة جداً، ومع ذلك دفعت الأخطار المرضية المرتبطة بعملية نقل الدم الباحثين إلى إيجاد نَقْلَة تنقل الأكسجين لتحل محلّ الكريات الحمر، ولكنهم لم يتوصلوا إلى أية نتيجة. فقد أحكمت عدة شركات أدوية تركيب محاليل مستقرة من الهيموغلوبين بتحوّلات بيوكيميائية حيث يختبر بعضها سريراً، ولكن هذه المحاليل تطرح مشاكل التأثيرات الثانوية التي لم تتوضّح بعد. وهناك استراتيجية أخرى تركز على تطوير جزيئات كيميائية، وأهم هذه الجزيئات جزيئة برفلوروكربون (PFC) perfluorocarbene. فقد سُحِح باستخدام هذا المنتج في الولايات المتحدة واليابان في حالات خاصة (إصلاح الشرايين الإكليلية وحالات الطوارئ) من أجل الأشخاص الراضين لعملية نقل الدم). ومع تقنية الهندسة الجينية نجح المتخصصون في إنتاج بروتينات دموية بديلة. وهذه هي حالة عملي التخرش VII و IX الموجهين لمعالجة مرض الناعور Hémophilie. لكن في النهاية يبقى نقل الدم الوسيلة الأكثر فعالية لتعويض فقدان قوي للدم حدث بصورة عرضية أو عن طريق عملية جراحية.

والحل الوحيد الموثوق والفعال هو نقل الدم الذاتي autotransfusion: إعطاء دم الإنسان نفسه عند توقّع عملية.

هل الدم موجود لدى كل الحيوانات؟

الجواب هو النفي، فخلايا الحيوانات البسيطة جداً على سبيل المثال كالإسفنجيات وشقائق البحر تؤمّن بنفسها احتياجاتها من الأكسجين والمواد الغذائية. ولم ينشأ خلال تطوّر الحيوانات نظام تروية لتسهيل نقل المواد الغذائية إلى الخلايا التي أصبحت بعيدة عن الوسط الخارجي إلا عندما أصبحت هذه الحيوانات أكبر وأكثر تعقيداً. ولم يصبح أيضاً جهاز الدوران مغلقاً تماماً إلا في الحيوانات الفقيرة. أمّا بالنسبة لمعظم الحيوانات

وبالإمكان تفسير هذه المعطيات بوجود دورة حياة أطول لكل من الحنازير والماشية، وبعتماد أقل لهذين النوعين الحيوانيين على خلط الغذاء المصنّع عند مقارنتهما بالدجاج. كذلك تعكس هذه المعطيات إجمالي كميته الـ PCBs والديوكسينات التي تمكنت من الدخول إلى العلف الحيواني. ومن خلال استقراء التراكيز الموجودة في علف الدجاج ومقارنتها مع الكمية الأولية للدهن الملوث (80 طن كحد أقصى)، بغدو ممكناً



(a) مقارنة لما يحويه كل من: البيض، ولحم الدجاج، والعلف، وزيت أرز يوشو من مائلات PCDD و PCDF. تمثل كل قيمة المتوسط لميتين (في العلف ولحم الدجاج) أو خمس عينات، أما عينات البيض فهي مزيج يتألف من 10-12 بيضة. حسب الفعالية الإجمالية للديوكسين باستخدام المعاملات العالمية لمكافئ السمية (I-TEQ) international toxic equivalent factors المعتمدة من قبل منظمة الصحة العالمية.

ولسهولة العرض قُسم على 5 و 750 كل من العلف وزيت أرز يوشو على التوالي. (b) الترابط بين مركبات PCBs وكل من PCDDs أو PCDFs في علف الدواجن وفي لحم الدجاج وبيضه. تعود قيم PCB إلى مجموع سبعة مائلات واسعة وحيدة أو متعددة PCB-o- (IUPAC 28, 52, 101, 118, 138, 153, 180) جرى قياسها بتقنية كروماتوغرافيا الغاز / مطيافية الكتلة.

(c) التوزيع لمائلات PCB في كل من علف الدواجن ولحم الدجاج وبيضه (العينات هي كما سبق ذكره في a). قُسمت القيم الخاصة بعلف الدواجن على 2.

الإصابة هذه مع "مرض الصبوس الوذيم chick-oedema disease" الذي سبق الإبلاغ عنه خلال الخمسينيات والسبعينيات في عدة حالات تفسّنت فيها حوادث تسمم للدواجن بمركبات البوليكلورينيد بايفينيلز polychlorinated biphenyls (التي يطلق عليها اختصاراً PCBs)، والديوكسينات [1]، الأمر الذي يُرّشح احتمال كون الديوكسينات مسؤولة عن الأحداث التي ظهرت مؤخراً في بلجيكا. وقد أعقب ذلك اكتشاف تركيزات عالية من الديوكسينات في لحم الدجاج وأعلافه. وفي نهاية شهر نيسان (إبريل) أمكن اقتفاء مصدر الديوكسينات إلى خامة دهن معاد تدويرها وُزّدت إلى مُصنّع للأعلاف الحيوانية في منتصف شهر حزيران.

وأظهر تحليل المواد العلفية ومنتجات الدواجن وجود نمط ثابت من مائلات الديوكسين التي تشتمل في معظمها على مركبات البوليكلورودايينزوفورانوات (PCDFs)، Polychlorodibenzofurans (الشكل 1a). أما مركبات البوليكلورودايينزودايوكسينات (PCDDs) وبخاصة مركب 2, 3, 7, 8-tetrachlorodibenzo-p-dioxin الذي كان العامل المسبب لحادث سيفيسو Seveso بإيطاليا عام 1976 وللتلوث بالعامل البرتقالي مسقط الأوراق the Agent Orange defoliant، فقد شكلت نسبة ضئيلة من مجموع المائلات الآنف ذكرها، وفي الواقع كان هذا النمط من مائلات PCDD و PCDF متطابقاً مع ذلك الذي اكتشف في زيت الأرز الملوث الذي تسبب في عام 1968، بتسمم 2000 شخص يقطنون مدينة يوشو Yusho باليابان [2].

واحتوت جميع العينات الملوثة على كميات مرتفعة من مركبات PCBs التي تلازمت بشكل وثيق مع تراكيز الـ PCDDs و PCDFs (الشكل 1b) والتي بلغ فيها المتوسط لنسبة PCDD/F:PCB حوالي 1:22000، وكان نمط مركبات الـ PCB في المادة العلفية وثيق التشابه مع مزيج من هذه المركبات يتألف معظمه من المركب Aroclor 1260 (الشكل 1c). وفي بيض الدواجن ولحومها الملوثة تغير التوزيع لمائلات PCB نتيجة التحويل البيولوجي والتصفية التفضيلية للمائلات الكلورية منخفضة الوزن الجزيئي (PCB 52 و 101). هذا وقد قادتنا هذه المكتشفات إلى استخدام اختبار تحليل PCB للتعرف على منتجات غذائية ملوثة.

وباستخدام هذا الاختبار لمسح تلوث الأغذية بمركبات الـ PCB، استطعنا أن نؤكد على أن الدواجن هي التي كانت المتأثر الرئيسي؛ حيث بلغت تراكيز هذه المركبات في بيض ولحم الدجاج ما يعادل 250 ضعفاً لسوية التحمل التي هي 0.2 ميكروغرام / غرام دهن (الشكل 1b). كذلك أصاب التلوث بعض الحنازير، ولكن بمستوى أقل مما هو عليه في الدجاج، حيث بلغت شدة تلوثها 75 ضعفاً لسوية التحمل المذكورة آنفاً، كما لم تظهر عليها أعراض التسمم. وعلى نقيض ما سبق، كانت حيوانات الفصيلة البقرية خالية من التلوث؛ فمن إجمالي 1320 عينة حليب بقرية تبين أن اثنتين منها فقط تضمنتا كميات أعلى قليلاً (40-60%) من سوية التحمل لمركبات الـ PCBs (0.1 ميكروغرام / غرام دهن) ولو أنهما وقتنا ضمن سوية التحمل للديوكسينات (5 ميكروغرام مكافئ سمية عالمي (I-TEQ) / غرام دهن).

5- إعطاء دفع للذرات*

يمكن في الوقت الحالي للأمواج المادية أن تتضخم بنفس الطريقة التي يُضخَّم فيها الليزر الضوء، وسوف تغدو مثل هذه المضخّمات للموجة المادية ضرورية لإحداث تطورات مستقبلية في علم الضوء الذري.

من الصعب تخيل حياة عصرية بدون مضخّمات. ولا يوجد شك، سواء تمكن الستريو الذي لديك أن يعيد بإخلاص عزف كونشرتو موزارت أو استطاع هاتفك الخليوي أن يعزز نداء لاسلكياً، بأن المضخّمات أصبحت تستخدم على نطاق واسع في حياتنا اليومية. والمضخّمات amplifiers كما يوحي اسمها، تعتمد إلى تضخيم أو تعزيز الإشارة. وفي الحالة النموذجية، تعد الإشارة بمثابة موجة، كما هي الحال في تيار كهربائي اهتزازي، أو في موجة راديوية، أو في حزمة ضوئية. ومن الممكن أيضاً، من وجهة نظر ميكانيك الكم، أن ينظر إلى المادة على أنها أمواج؛ وعليه كان منطقياً، كما هو الحال في بقية أنواع الأمواج، تخيل إمكانية تضخيم الأمواج المادية. وتقوم حالياً مجموعة بحثية لدى معهد MIT بالمراقبة العلمية لمثل هذا التضخيم المباشر للأمواج الذرية؛ وقد أعلن الباحث إنويو Inouye وزملاؤه [1] إمكانية إحداث تضخيم للموجة المادية مترابطة الطور وذلك باستخدام تكثف بوز-آينشتاين Bose-Einstein condensate.

بموجب ميكانيك الكم أو الميكانيك الموجي لصورة المادة، يوجد للذرات طول موجي يتناسب عكساً مع سرعتها، ويكون هذا الطول الموجي أقل من 1 نانومتر بالنسبة للذرات توجد في درجة حرارة الغرفة. إضافة لما سبق، تندفع الذرات في كل الاتجاهات؛ ويعد احتمالاً صغيراً جداً أن توجد ذرتان في المكان نفسه والزمن ذاته ولهما السرعة ذاتها، الأمر الذي يجعل من الصعب رؤية الخواص الموجية للذرات تحت الظروف اليومية المألوفة. أما متكثف بوز - آينشتاين، فهو غاز كمومي تشارك فيه كثير من الجسيمات الحالة الكمومية ذاتها [2]، بمعنى أنها تكون في المكان نفسه والوقت ذاته ولها السرعة ذاتها. وهكذا، فإن لتكثف بوز - آينشتاين سلوك الموجة الجهرية. وعند درجات الحرارة فائقة البرودة (عشرات من النانو كلفن) الميزة لتكثف بوز - آينشتاين تصبح الأطوال الموجية للذرات في حدود عشرات من الميكرومتر وبالإمكان عندئذ رؤيتها باستعمال بصريات تقليدية. مثل هذا العدد الكبير من الذرات ذات الطول الموجي الطويل ذاته تجعل من متكثف بوز - آينشتاين منظومة مثالية يمكن فيها إقامة الدليل على تضخيم الموجة المادية.

والوظيفة الأساسية للمضخّم هي أخذ موجة (الدخل) ومن ثم إحداث موجة أعظم شدة لكنها متماثلة في نواحي أخرى (الخروج). وعملياً، فإن للمضخّم وسط كسب يحدث فيه نقل للطاقة الخارجية (منع الضخ) إلى الخرج بما يتفق مع الدخل. وكسب المضخّم هو المقدار الذي يزداد به

حساب إجمالي كميتي الديوكسينات وال PCBs المقدرتين بحوالي 1 غرام و 50 كيلوغرام لكل منهما على التوالي، واللذين جرى بغير قصد مزجهما مع الدهن المعاد تدويره. ومن ناحية نظرية يمكن لمثل هاتين الكميتين أن تُلوّثا الملايين من طيور الدجاج لكنهما لن تؤثرا على أنواع الحيوانات الأخرى التي توجد في 3000 مزرعة تلقت شحنات العلف الملوث.

وتعدّ حادثة التلوث بالديوكسينات في بلجيكا شبه تكرار لحوادث مماثلة لتسمم الدواجن بمركبات متعددة الكلور polychlorinated compounds ظهرت مراراً في الولايات المتحدة واليابان في الخمسينيات والسبعينيات من هذا القرن. وقد سببت حوادث التسمم هذه ظهور أعراض إصابة على الجهاز التناسلي للطيور مشابهة لتلك التي سببتها حادثة التلوث الأخيرة في بلجيكا. وفي اثنتين من الحوادث السابقة كان العامل السُمّي المسؤول خليطاً من مركبات الـ PCB (Kanechlor 400 و Aroclor 1242) [3، 4].

وكما هو الحال في حوادث التسمم السابقة، فإنه مستبعد جداً أن ينجم عن حادثة التلوث المفردة في بلجيكا تأثيرات صحية سيئة على عامة السكان، حيث أن ذلك يتطلب استهلاك 30-40 وجبة من لحم وبيض الدجاج الملوثين بشدة (بسويات من الديوكسينات تقع في حدود 1000 بيكوغرام TEQ لكل غرام دهن) من أجل مضاعفة حمولة الجسم من مركبات الـ PCB والديوكسينات. وحتى في مثل هذه الحالة شديدة التطرف، سوف تظل الحمولة القصوى للجسم عاملاً أقل بمئة مرة على الأقل من تلك التي وجدت في ضحايا حادث يوشو Yusho (في اليابان) وفي قاطني بلدة سيفيسو (في إيطاليا) [مشيرين بذلك إلى القيمة الوسطية لأشد المناطق تلوثاً]، لكنها ستكون مماثلة لزيادة في مركبات الـ PCB والديوكسينات تقدر بضعف أو ثلاثة أضعاف حمولة الجسم لأشخاص أصيبوا بحالة التسمم في الثمانينيات [5] أو لأولئك الأشخاص الذين تناولوا بانتظام أغذية بحرية ملوثة [6].

REFERENCES

- [1] Gilbertson, M., Kubiak, T., Ludwig, J. & Fox, G. J. Toxicol. Environ. Health 33, 455-520 (1991).
- [2] Masuda, Y. in Dioxins and Health Vol. 1 (ed. Schecter, A.) 633-659 (Plenum, New York, 1994).
- [3] Kohanawa, M., Shoya, S., Yonemura, T., Nishimura, K. & Tsushio, Y. Natl Inst. Anim. Health Q. Tokyo 9, 220-228 (1969).
- [4] Harris, J. R. & Rose, L. J. Am. Vet. Med. Assoc. 161, 1584-1586 (1972).
- [5] Papke, O. Environ. Health Perspect. 106 (suppl. 2), 723-731 (1998).
- [6] Asplund, L. et al. Arch. Environ. Health 49, 477-486 (1994). ■

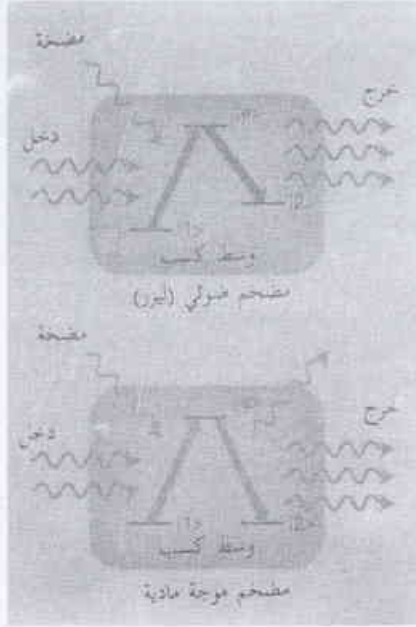
من وسط الكسب المضخوخ. وقد تمكن الباحث إينوي وزملاؤه من ملاحظة كسب نموذجية تراوحت ما بين 10 إلى 100، أي أن عدد الذرات في نبضة الدخل قد ارتفع بعد التضخيم بمقدار يراوح ما بين 10 - 100 ضعف.

ويطلق على مضخم يستطيع إنتاج موجة خرج أشد لكنها مطابقة من نواح أخرى لموجة الدخل اسم مضخم مترابط الطور phase coherent amplifier. وهذا ما يميز هذا النوع من المضخمات عن تلك التي تعمل ببساطة على زيادة قوة الخرج، وهذا يمكن أن يكون مقبولاً إن كنت ترغب ببساطة الحصول على حزمة ضوئية عالية الاستطاعة من أجل قطع مادة ما. لكن التضخيم مترابط الطور يُعد إجراءً مهماً في تطبيقات تتميز بكونها حساسة للطور، كما هو الحال في قياس التداخل interferometry وفي نقل إشارة معدلة الطور. وقد استخدم إينوي وزملاؤه قياس التداخل كمي يتحققوا من صحة الترابط الطوري لمضخمهم فاستعملوا انعراج براغ المحوَّض ضوئياً لإحداث نبضة مادة مرجعية مطابقة للنبضة الداخلة. وبرؤية تداخل هذه النبضة المرجعية مع النبضة المضخمة تأكد الباحثون من أن العملية كانت مترابطة الطور.

لقد رصدت أبحاث سابقة إصداراً محثوَّراً دون رؤية الترابط الطوري، لكن مجموعة بحثية عاملة لدى معهد MIT هي التي رصدت لأول مرة قدرة ذرات المتكثف المضخوخ ضوئياً على القيام بوظيفة وسط كسب لتضخيم الموجة المادية [4]، وبينت أن متكثفاً مضخوخاً، يُشع في البدء فوتونات بإصدار تلقائي، يمتلك قدراً كافياً من الكسب كمي يضخم إصداراً باتجاه عشوائي. هذا، وتشابه العملية السابقة الإصدار التلقائي المضخم للضوء في أبخرة ذرية. كذلك، أمكن التحقق من حدوث إصدار محثوَّث للذرات بالمرزج الموجي الرباعي للأموال المادية [5]. وفي هذه الحالة حدث إصدار محثوَّث للذرات بتأثر حقل وسطي للذرات في متكثف بوز. أينشتاين وليس عن طريق الضخ من حقل ضوئي.

ويُعد ما أثبتته إينوي وزملاؤه [1] حول إمكانية تضخيم أمواج مادية مع المحافظة على طورها اكتشافاً مثيراً في حقل ضوئيات الموجة المادية المتطور سريعاً. وتوجد الآن تقارير حول تجارب مماثلة قام بها باحثون يابانيون من جامعة طوكيو (م)، كوزوما M.Kozuma. اتصالات شخصية، لكن عملاً كهذا لا يعد إنجازاً سهلاً؛ إذ قدّر إينوي وزملاؤه كسباً قدره 4 لتضخيم

الخرج عند مقارنته مع الدخل. وفي مضخم ضوئي، أو ليزر، يتألف وسط الكسب من مجموعة من الذرات أو الجزيئات (بحالة غازية أو مائعة أو صلبة) ذات سوياات طاقة يكون التحول فيما بينها موافقاً للطول الموجي الخاص بالضوء المراد تضخيمه. ويقوم منبع الضخ بنقل بعض الذرات إلى السوية الأعلى من بين سويتي الطاقة. بعد ذلك تحوَّض موجة الدخل هذه المجموعة للانتقال إلى سوية طاقة أدنى، مصدرها إشعاعاً بنفس الاتجاه وبنفس الطول الموجي لموجة الدخل (الشكل 1). يطلق على هذه العملية اسم "إصدار محثوَّث stimulated emission" وهي تفسر ما يقصد من كلمة "ليزر laser" والتي تشير الأحرف فيها إلى: تضخيم الضوء بالإصدار المحثوَّث للإشعاع light amplification by stimulated emission of radiation.



الشكل 1- أي أمواج ضوئية أم أمواج مادية؟ في مضخم ضوئي أو ليزر، يتألف وسط الكسب من ذرات أو جزيئات لها ثلاث سوياات طاقة على الأقل. تنتقل الذرات التي في السوية $|1\rangle$ إلى السوية $|e\rangle$ بواسطة منبع ضخ من الممكن أن يكون ليزراً آخر. تحوَّض الموجة الداخلة للذرات ناقلة لهاها إلى السوية $|2\rangle$ وتصدر فوتوناً غير متميز عن الفوتونات الداخلة. وهكذا يظهر من الخرج موجة ضوئية أعظم شدة لكنها مطابقة من نواح أخرى. أما بالنسبة لمضخم الموجة المادية، فيتطلب الأمر ثلاث سوياات أو حالات طاقة مميزة للذرات. وخلافاً لما هو عليه في الضوء، لا يمكن ببساطة خلق الذرات في مضخم الموجة المادية، ولهذا فإن وسط الكسب يعمل أيضاً كمخزن للذرات. وبعد امتصاص فوتون ضخي pump photon تستطيع ذرة ما في حالة استثارة $|e\rangle$ أن تُصدر فوتوناً كمي تصل في نهاية المطاف إلى حالة مختلفة (كسوية $|2\rangle$ ذات طور عشوائي). لكن الاحتمال الأعظم، في وجود الموجة المادية الداخلة، هو أن تنتهي الذرة المستثارة إلى السوية $|2\rangle$ وأن يكون لها سرعة وطور مماثلين لما هما عليه في الذرات الداخلة. وهكذا تظهر من الخرج موجة مادية أعظم شدة لكنها مطابقة من نواح أخرى. وسوف يتوقف التضخيم عندما تكون جميع الذرات في وسط الكسب قد انتقلت إلى السوية $|2\rangle$.

ويتمتع مضخم الموجة المادية المبدأ ذاته الخاص بإصدار محثوَّث لكنه إصدار محوَّض للذرات وليس للإشعاع. وعلى عكس ما هو عليه الضوء، لا يمكن للذرات أن تخلق من خلاء، لذلك فإنك تحتاج إلى خزائن ذرات من أجل إصدارها. وقد قام الباحث إينوي وزملاؤه [1] بتحضير موجتهم المادية الداخلة عن طريق انعراج براغ محوَّض ضوئياً لمتكثف بوز - أينشتاين، وهي عملية تُعرَّض فيها الذرات إلى حزمتين ليزريتين تختلفان قليلاً في تواتريهما. وفي البداية تكون الذرات في وضع الراحة ثم تمتص فوتوناً من الحزمة الأعلى تواتراً وتصدر إلى داخل الحزمة الأقل تواتراً. وتكون النتيجة تلقي الذرات لهزة اندفاع momentum kick مساوية للفرق في الاندفاع للحزمتين والذي يُقدَّر بطوليها الموجيين واتجاهيهما النسبيين. وهكذا يجري إحداث موجة مادية ترتد باتجاه مختار.

يتحقق تضخيم موجة الدخل بضخ متكثف بوز. أينشتاين بنبضة قوية صادرة عن واحد من الليزرات المستعملة من أجل انعراج براغ؛ وهنا يسلك المتكثف سلوك وسط الكسب (الشكل 1). وتمتص بعض ذرات المتكثف فوتوناً من الحزمة الليزرية، وإذا صادقت في طريقها الموجة المادية الداخلة، وقبل أن تتمكن من إصدار الفوتون المحتص بإصدار تلقائي، فإنها ستحرض لإصدار فوتونات بموازاة اتجاه الحزمة الليزرية الأخرى. ونتيجة لما سبق، سيكون للذرات المرتدة الاندفاع ذاته (الاتجاه والطول الموجي ذاته) كما لموجة الدخل. وبعبارة أخرى، جرى تضخيم موجة الدخل بإصدار محثوَّث، الأمر الذي أدى إلى إنتاج موجة خرج أضخم صادرة

6- على حافة المجموعة الشمسية*

لا تحتوي المجموعة الشمسية على أي من الأجسام (الأجرام) الضخمة في المنطقة البعيدة خارج مدار كوكب نبتون. وبموجب نماذج طُرحت للمجموعة الشمسية [1,2] يوجد في هذه المناطق البعيدة أعداد ضخمة من الأجسام الصغيرة التي تدور حول الشمس. وباستثناء بلوتو Pluto، ظلت هذه الأجسام، ولأمد طويل، خارج نطاق إمكانيات الكشف أو التحري؛ لكن طرائق التصوير الحديثة مكّنت من التغلب على هذه المعضلة. فبعد أن تأكدت التوقعات الأولى باكتشاف الجسم الأول ضمن حزام إدغورث. كويبر Edgeworth-Kuiper Belt (EKB) في عام 1992 [3]، أمكن رؤية ما يقارب 200 من هذه الأجسام الواقعة على بعد من الشمس يراوح ما بين 30-50 وحدة فلكية** astronomical units (AU) [4]. وقد أدت غزارة البيانات الجديدة إلى ظهور إجماع على بعض القضايا المركزية وخلاف على بعضها الآخر وذلك حول ما يتعلق بتطور المناطق الخارجية للمنظومة الشمسية وبنيتها.

وحسب رأي إدغورث [1] وكويبر [2]، لا بد أن يقطن المنطقة المشار إليها بحزام إدغورث-كويبر عدد ضخم من الأجسام الصغيرة. والسيناريو الأكثر احتمالاً هو أن الحزام المذكور كان في شكله البدائي أعظم تماسكاً بحيث يتطلب تشكيل أضخم الأجسام الموجودة فيه، بما في ذلك بلوتو، كتلة إجمالية تعادل حوالي 30 مرة من كتلة الأرض، وهذا أضخم بمقدار مرتين من الكتلة المشار إليها من خلال المشاهدات الفعلية. وقد قُيدت الكتلة في الفترة اللاحقة لأن التقاربة من كوكبي نبتون وأورانوس أحدثت وسطاً مدارياً تحريكياً وأدت إتما إلى تصادم الأجسام مع هذه الكواكب الضخمة، أو إلى القذف خارج المنظومة الشمسية، أو إلى تحطّم الأجسام الأعظم ضخامة [6,5]. وعلى بعد يزيد عن 50 وحدة فلكية تكون الكواكب بعيدة جداً وبالقدر الذي لا تتمكن فيه من إحداث تشويش للمدارات؛ ولهذا كان متوقفاً من الناحية النظرية أن يوجد في تلك المناطق مقدار أضخم من الكتلة. ولسوء الحظ، لا تتوفر حتى تاريخه مشاهدات لأي من أجسام حزام إدغورث-كويبر، أثناء مدارها الكامل، خارج حدود الـ 50 وحدة فلكية، وبالتالي لا يمكن إثبات أو دحض هذا الجانب من النظرية دون توفر مزيد من البيانات.

وهناك ثلاث مجموعات مختلفة من أجسام EKB معروفة حالياً. المجموعة التجاوية التي يوجد معظم أجسامها في موقع التجاوب 2:3 مع كوكب نبتون، بمعنى أنها تكمل مدارين حول الشمس في زمن يكمل فيه نبتون ثلاثة مدارات حولها. ومن المحتمل أن يعمل التجاوب 2:3 على استقرار أو حفظ توازن هذه الأجسام "البلوتونية plutinos" مقابل الاضطرابات الثقالية التمزيقية بواسطة نبتون (انظر الشكل). ويوجد عدد قليل من هذه الأجسام في مواقع التجاوب: 3:4، 5:7، 3:5؛ كما يوجد

مترايط الطور (مقارنة مع عدد للكسب يراوح بين 10-100). فالذرات، بعكس الفوتونات، يمكنها أن تتأثر مباشرة مع بعضها البعض مما يؤدي إلى تشويه الموجة المادية المضخمة. وعلى أية حال، قد تكون مثل هذه التجارب هي الأشد، بين تجارب الموجة المادية، صلة وقرابة بمكافئاتها في مجال الليزر الضوئي. واعتمد الأساس لأول جيل من الليزرزات الذرية على الاستخلاص المترابط لحزمة ذرات من متكثف بوز - أينشتاين، ولو أن البعض يجادل بأن التشابه الوظيفي مع الليزرزات الضوئية يظل ناقصاً لأنك لا تستطيع بالفعل تضخيم الذرات. وإن إثبات تضخيم موجة مادية مترابطة الطور بواسطة إصدار محثوث للذرات يُعدّ الأكثر تشابهاً وقرابة مع ليزر ذري حقيقي.

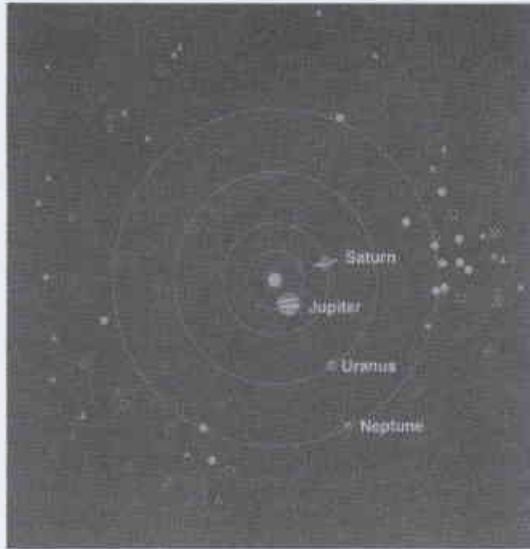
من الصعب تخيل التأثيرات المستقبلية لدراسات كتلك الآنف ذكرها، قليل أولئك الذين تنبأوا بنجاح الليزر المعاصر، كما كانت أوائل الليزرزات الضوئية مجرد نبات سحجة تبلى في المختبرات لسنوات عديدة قبل أن يحاول أحد إيجاد استخدام لها. لكن الموجة المادية المترابطة تظل، من حيث التعامل معها، أكثر صعوبة من الحزمة الضوئية. فعلى سبيل المثال، لا يتوفر مكافئ مادي للزجاج يسمح لحزمة من الذرات أن تمر عبره بسهولة ويسر، ولا بد من الحفاظ على الذرات في خلاء فوق العالي. وعلى أية حال، قد تغدو الموجات المادية في بعض الأحيان أفضل من الضوء الليزري. فعلى سبيل المثال، تستخدم المضخمات الضوئية مترابطة الطور في جيروسكوبات ضوئية مقياس التداخل وذلك من أجل إجراء قياس دقيق للثقالة. وفي الوقت الحالي تُعدّ جيروسكوبات مقياس التداخل ذات الموجة المادية أكثر حساسية من نظيراتها الضوئية [7]، ولو أنه من الممكن إجراء المزيد من التحسينات عليها عن طريق دمجها بمضخم موجة مادية. كذلك تستخدم المضخمات الضوئية مترابطة الطور لتقوية الخرج الخاص بليزرما، كما يحصل عادةً في الاتصالات الليفية الضوئية fiber-optic communications. وبطريقة مماثلة، يمكن استخدام مضخم موجة مادية مترابطة الطور لتقوية الخرج الخاص بليزر ذري، كما يحصل عادة في الطباعة الحجرية الذرية atom lithography. وقد يُشكل تضخيم كهذا للأموال المادية المستقبل لليزرات ذرية أفضل وأشد سطوعاً.

REFERENCES

- [1] Inouye, S. et al. Nature 402, 641-644 (1999).
- [2] Townsend, C., Ketterle, W. & Stringari, S. Phys. World 29-34 March (1999).
- [3] Kozuma, M. et al. Phys. Rev. Lett. 82, 871-875 (1999).
- [4] Inouye, S. et al. Science 285, 571-574 (1999).
- [5] Deng, L. et al. Nature 398, 218-220 (1999).
- [6] Helmerston, K., Hutchinson, D., Burnett, K. & Phillips, W. D. Phys. World 31-35 August (1999).
- [7] Gustavson, T. L., Bouyer, P. & Kasevich, M. A. Phys. Rev. Lett. 78, 2046-2049 (1997). ■

* نشر هذا الخبر في مجلة Science, Vol. 286, 19 November 1999. ترجمة هيئة التحرير - هيئة الطاقة الذرية السورية.
** الوحدة الفلكية قياس يُستعمل داخل المنظومة الشمسية ويساوي المسافة الوسطية بين الأرض والشمس وقدرها 149599000 كيلو متر.

من كوكب نبتون. وسريعاً ما تكتسب الكويكبات مداراً لا تمر كزياً يُدخل معظم أجسام EKB إلى مناطق من الحزام لا مستقرة، الأمر الذي يؤدي في النهاية إلى نحات كتلة الحزام البدائي إلى ما يقارب الكتلة الحالية المفترضة وإلى إثارة نقاط اللاتمرکز للأجسام المتبقية. وإضافة إلى تفسيرها ظاهرة الاستنفاد الكتلي لحزام إدغورث-كوير فإن النظرية الثانية تفسر أيضاً الكثير بشأن التشكيلة المدارية المعروفة لهذا الحزام ولو أنها لا تعطي تفسيراً جيداً للمجموعة التجاوية كونها لا تستطيع تفسير الافتقار إلى أجسام بلوتونية ذات مدارات قريبة من الدائرية.



الموقع لأجسام إدغورث-كوير Edgeworth-Kuiper Belt Objects (EKBOs) بتاريخ 1 كانون الثاني (يناير) من عام 1998. كذلك يرى الشكل مدارات الكواكب العملاقة (مرتبة على التوالي، من حيث قربها إلى الشمس: المشتري، وزحل، وأورانوس، ونبتون). هذا، وتشير كل من: الدوائر الزرقاء إلى الأجسام البلوتونية plutinos، والمثلثات الحمراء إلى أجسام أخرى في حزام إدغورث كوير، وبينما تشير الرموز المعتمة إلى أجسام ذات مدارات موقوفة بها نسبياً، تشير الرموز المفرغة إلى أجسام ذات مدار أقل وثوقاً [16].

وليس بالضرورة أن تكون النظريتان حصريتين بالتبادل، لكن صعوبة التوفيق بينهما تكمن في أن حدوث لقاءات قريبة للكويكبات الضخمة مع نبتون سيسبب ترحالاً شقياً شديداً الضجيج لهذا الكوكب -معيماً بذلك أسر كويكبات- الذي يتطلب، في واقع الحال، أن يكون له ترحال شقي هادئ. وقد يعمد جمع متوازن للنظريتين إلى تفسير المشاهدات أنفة الذكر.

وهناك حجم متعظم من الأدلة التي تقترح بأن حزام EKB هو المصدر لمجموعة من المذنبات المعروفة باسم "قنطورسات (ظلمات) Centaurs"، والتي جرى اكتشاف أول أعضائها المسمى "قيرون Chiron" في عام 1977 من قبل الباحث كوال Kowal [11]. وقد جرى حتى الآن اكتشاف ما مجموعه 15 من أجسام القنطورسات. وتختلف الألوان الطيفية للقنطورسات ما بين تلك التي لا لون لها وتلك التي تماثل أشد الأجسام احمراراً في المنظومة الشمسية [12-14]. ويبدو أن كلاً من القنطورسات وأجسام EKB تمتلك الخصائص الطيفية ذاتها؛ ويبقى موضع خلاف القول بأن ألوانهما تقع ضمن مجموعتين جيئتي التمايز [13] أو ضمن مجال لوني مستمر واسع [12-14]. وقد ينشأ مجال مستمر واسع من الألوان عندما يُجهَّز احمرار متدرج وشامل - ناتج من تعرض سطوح أجسام للقصف بأشعة كونية - مادة لا لون لها في طورها البدائي [12]. وكفسير بديل للألوان المختلفة هو الاختلاف في المسافات التي تبعد بها الأجسام عن الشمس وفي درجات الحرارة السائدة عند تشكيلها. وإذا اعتمدنا التفسير الأخير لمنشأ اللوني الواسع، وإذا كانت نظرية الترحال الكويكي هي المسؤولة عن نشوء EK فلا بد، عندئذ، أن تتوافق الألوان المختلفة لأجسام EKB مع اللاتمرکزيات المختلفة للمجموعة التجاوية، وبخاصة تلك العائدة للأجسام البلوتونية. وخلافاً لما سبق ذكره، فإنه لا يتوقع أن يعتمد اللون على اللاتمرکزيات في حال اعتماد نظرية الكويكبات الضخمة المبعثرة. وفي الوقت الراهن لا يتوفر

إثبات من هذه الأجسام في موقع التجاوب 1:2. ويمكن أن تصل اللاتمرکزيات والميول لهذه الأجسام البلوتونية إلى 0.34 و 40 رمز 176، على التوالي. أما أجسام المجموعة (الثانية) اللانجاولية، فقد تبين أن معظمها موجود بين موقعي التجاوب 3:2 و 2:1 وبأن لها متوسط لا تمرکزيات وميول تقدر بحوالي 0.07 و 9.5 symbol 176، على التوالي. أما المجموعة (الثالثة) المبعثرة، تتألف من أجسام ذات مدارات شديدة اللاتمرکزية. وقد أمكن، حتى الآن، التعرف على هوية خمسة أجسام من هذه المجموعة تُعدّ، من بين الأجسام المعروفة كافة، أقلها إثارة للجدل من حيث نشوؤها؛ إذ يعتقد بأنها تمثل بقايا مجموعة مدارات هزيلة الاستقرار (بالكاد أن تكون مستقرة) لها نقطة رأس perihelion (هي الأكثر قرباً من الشمس) أبعد قليلاً من تلك العائدة لكوكب نبتون. وقد أمكن تحقيق هذه المدارات بعد حدوث لقاءات قريبة مع الكوكب نبتون وذلك إما من منطقة ذات

انتشار بطيء ضمن حزام كوير [7] على أبعاد تراوح بين 35 و 42 وحدة فلكية، أو من منطقة أعظم في عدم استقرارها تقع بين مدار أورانوس وحتى مسافة بسيطة من مدار نبتون ضمن الحزام البدائي لإدغورث-كوير [8]. ويعتقد بأن الأجسام الأخيرة هي التي كانت مصدر المذنبات الخاصة بعائلة المشتري [8].

وهناك نظريتان رئيستان حول ما يتعلق بنشوء مجموعتي الأجسام الأولى والثانية:

نظرية الارتحال الكويكي [9]، ونظرية الكويكبات الضخمة المبعثرة [10]. وتفترض كلتا النظريتين وجود تشكيلة أولية يتخذ فيها نبتون مداراً ضمن وسط غني بالكويكبات. وعندما تكون الكويكبات كثيرة العدد وصغيرة فإن تبادل الاندفاع الزاوي والطاقة لسرب الأجسام مع أسلاف الكواكب الأربعة الرئيسية سيحوّض هذه الكواكب على الترحال باتجاه شقي. هذا ويعاني كوكب نبتون من ترحال خارج مداره يقدر بحوالي 7 إلى 8 وحدات فلكية ويُوقع في شرك التجاوب عدداً من الكويكبات التي بالتالي تتعرض لامتركزياتها وميولها للإثارة. ويمكن لهذه النظرية أن تفسر وجود أجسام EKB، بما في ذلك بلوتو عند التجاوب 2:3 مع نبتون [9]. من ناحية ثانية، تبدو منطقة التجاوب 1:2 أقل كثيراً في احتوائها على الكويكبات مما يتوقع الحصول عليه من نماذج المحاكاة الرقمية. كذلك لا تستطيع النظرية تفسير اللاتمرکزيات والميول العالية نوعاً ما لأجسام المجموعة اللانجاولية. أما النظرية الثانية فإنها تفترض عدداً قليلاً من الكويكبات الضخمة (من مرتبة كتلة الأرض) التي تتخذ مداراً لها بالقرب

7- إتمام بلورات فوتونية كهركيميائياً*

توجد مجموعة خاصة من المواد المسامية الميكروية (بنيات كهرفلذة تبدي دورية في ثلاثة أبعاد تدعى البلورات الفوتونية) التي لها أهمية خاصة بسبب خواصها الضوئية الفريدة [1]: إذ يمكنها تداول الضوء بالطريقة ذاتها التي يُداول بها ناقل فائق الإلكترونات. وهنا نستخدم تقنية يشترك فيها توضع كهركيميائي ضمن قالب غرواني لإحداث مواد مسامية أقوى ولها قرينة انكسار أعلى مما كان ممكناً من قبل.

في البحث عن زيادة في قرينة انكسار المواد المسامية الميكروية، أُجريت محاولات لاستخدام تجميعات غروانية كقوالب في عملية التنسخ replication [2-5]. يُدعم جدوى هذا الأسلوب بحسابات تنبأ بحامل يتمتع بقرينة انكسار عالية ويحتوي على شبكة مكعبة مركزية الوجوه من كرات قرينة انكسارها منخفضة، بصورة خاصة الهواء، ويمكن أن يُحدث فرجة كاملة في بنية العصابة الفوتونية [6,7]. وعلى الرغم من إمكانية بناء هذه البنى طبقة بعد طبقة عبر طباعة حجرية lithography عرقية فإن صعوبات المعالجة تحدّ من تشكّل أكثر من عدة طبقات [8,9].

وتكون البنى التي لها دورية جوهريّة ثلاثية الأبعاد مطلوبة من أجل الكثير من التطبيقات الفوتونية ولكن تبين حتى الآن أنّه يصعب تمعدن الفضاء البيني للتجميع الغرواني بصورة كاملة وتوليد مثل هذه البنية ثلاثية الأبعاد. وهذا يحتاج من حيث المبدأ إلى خطوتين فقط: تمعدن الفضاء البيني للتجميع الغرواني والإزالة اللاحقة للقالب الغرواني البدئي (ومن المحتمل بعض المتوججات الثانوية للتفاعلات الكيميائية). أنتجت المحاولات السابقة الواعدة نسخاً بكثافة متوسطة فقط، وبالتالي قرينة انكسار فقالة التي هي أصغر من قرينة انكسار المادة الحجمية. وهي أيضاً هشّة ميكانيكياً [2-5, 10].

تكون التجميعات الغروانية جذابة بسبب حجمها وقابليتها للتوليف وبنيتها ثلاثية الأبعاد. تكمن المسألة الحاسمة في إحداث المواد الفوتونية في كيفية ملء الفضاء البيني تماماً بمركّب له قرينة انكسار عالية. لهذا فقد رُسنا كهريئياً أنصاف نواقل من مجموعة II-VI في رواسب غروانية لملء الفضاء البيني بمواد ذات قرينة انكسار عالية (الشكل 1). تتيح المواد المترسبة إلكترونياً دوماً إزالة القالب الغرواني الذي يكون ضرورياً لإعطاء أكبر قيمة من التباين في قرينة الانكسار.

يجب أن يكون الترسيب الإلكتروني وسيلة مثالية لملء البنى المعقدة من الناحية الشكلية topologically بسبب أنه يبدأ من العمق وينمو نحو الخارج حتى السطح المكشوفة. لقد حصلنا على بنى مسامية ميكروية من الكادميوم - السليسيوم (Cd-Se) بترسيب كميوني سكوني

الدليل على وجود توافق لألوان الأجسام البلوتونية مع لا تمر كيميائياً أو مع متوسط أبعادها عن الشمس ولو أن هناك بعض التوافق مع ميولها. وكمختبر أفضل يحدد التوافق بين أجسام EKB التجاوية والقرائن اللونية color indices هو ذلك الذي يجمع مختلف البارامترات المدارية [15]؛ لكن وجود عدد بسيط من المشاهدات وأخطاء كبيرة في القرائن اللونية يجعل من السابق لأوانه استخلاص استنتاجات نهائية من بيانات الرصد المتوفرة. من المشكوك فيه أيضاً أن التدرج البسيط لدرجات الحرارة الذي يسود حزام EKB البدائي هو السبب وراء التنوع السطحي في أجسام كويبر.

من ناحية أخرى، سيؤدي المزيد من الملاحظات إلى تأكيد السيناريو البديل القاضي بوجود مجموعتين لونيتين متميزتين، لكنه يبقى من الصعب أيضاً تفسير وجود أجسام EKB بدائية (وقنطورسات) في منطقتين منفصلتين تماماً من المجموعة الشمسية وهي في طورها البدائي. وبما لا ريب فيه. سيشكل إثبات صفة اللون اللامستمر تحدياً كبيراً لعلماء المجموعة الشمسية.

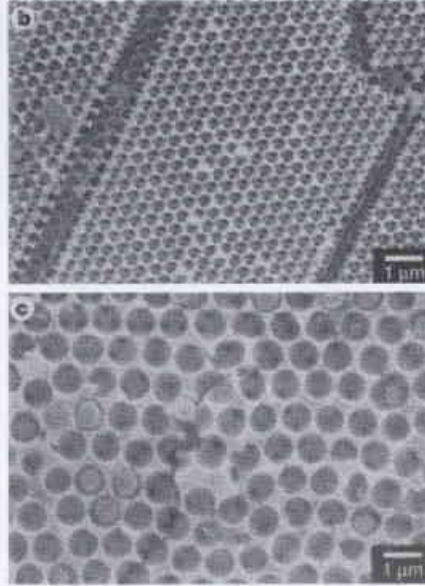
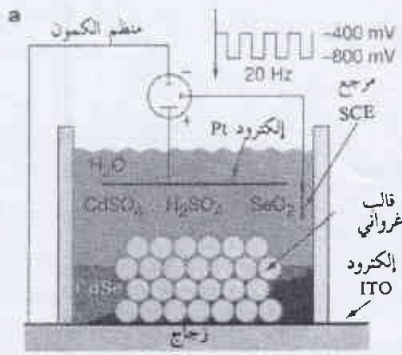
REFERENCES

- [1] K. E. Edgeworth, Mon. Not. R. Astron. Soc. 109, 600 (1949).
- [2] G. P. Kuiper, in *Astrophysics: A Topical Symposium*, J. A. Hynek, Ed. (McGraw-Hill, New York, 1951), pp. 357-414.
- [3] D. Jewitt and J. Luu, *Nature* 362, 730 (1993).
- [4] B. G. Marsden, List of transneptunian objects (equivalent to EKBOs), <http://cfa-www.harvard.edu/cfa/ps/lists/TNOs.html> (1999).
- [5] D. R. Davis and P. Farinella, *Icarus* 125, 50 (1997).
- [6] S. A. Stern and J. E. Colwell, *Astrophys. J.* 490, 879 (1997).
- [7] H. F. Levison and M. J. Duncan, *Icarus* 127, 13 (1997).
- [8] R. Malhotra, M. J. Duncan, H. F. Levison, in *Protostars and Planets IV*, Arizona Space Science Series (University of Arizona Press, Tucson, AZ, in press).
- [9] R. Malhotra, *Astron. J.* 110, 420 (1995).
- [10] J. M. Petit, A. Morbidelli, G. B. Valsecchi, *Icarus* 141, 367 (1999).
- [11] C. Kowal, *Icarus* 77, 118 (1989).
- [12] J. Luu and D. Jewitt, *Astron. J.* 112, 2310 (1996).
- [13] S. C. Tegler and W. Romanishin, *Nature* 392, 49 (1998).
- [14] M. A. Barucci, A. Doressoundiram, D. Tholen, M. Fulchignoni, M. Lazzarin, *Icarus*, in press.
- [15] R. S. Gomes, *Astron. J.* 114, 2166 (1997).
- [16] D. C. Jewitt, J. X. Luu, C. Trujillo, *Astron. J.* 115, 2125 (1998). ■

ذات قرائن انكسار مرتفعة تتضمن أنصاف نواقل من المجموعات II-VI أو III-V أو IV وجميعها تكون ذات ممانعة مغناطيسية كبيرة جداً لتشكيل بنى ميكروية ثلاثية الأبعاد باستخدام تقنيات تقليدية. وهذه المواد، التي لها الكثير من الخواص الإلكترونية والضوئية المرغوبة، تستخدم بصورة شائعة في صناعة أنصاف النواقل. والعرض المحتمل لدمج بنيات عصابة الفرجة الفوتونية ببنائات نصف ناقلة يُحدث تغيراً أساسياً في الحوسبة الضوئية والإلكترونية الضوئية. وستكون الأمور بسيطة في توسيع طرائقنا إلى المواد المعدنية التي يمكن أن ترسب إلكترونياً بسهولة. وإن هذه البنى المعدنية الدورية الميكروية ثلاثية الأبعاد يمكن أن يكون لها خواص ميكانيكية وحرارية استثنائية.

REFERENCES

- [1] Joannopoulos, J. D., Meade, R. D. & Winn, J. N. Photonic Crystals: Molding the Flow of Light (Princeton Univ. Press, New Jersey, 1995).
- [2] Holland, B. T., Blanford, C. F. & Stein, A. Science 281, 538-540 (1998).
- [3] Wijnhoven, J. E. G. J. & Vos, W. L. Science 281, 802-804 (1998).
- [4] Zakhidov, A. A. et al. Science 282, 897-901 (1998).
- [5] Vlasov, Y. A., Yao, N. & Norris, D. J. Adv. Mater. 11, 165-169 (1999).
- [6] Biswas, R., Sigalas, M. M., Subramania, G. & Ho, K. M. Phys. Rev. B 57, 3701-3705 (1998).
- [7] Busch, K. & John, S. Phys. Rev. E58, 3896-3908 (1998).
- [8] Lin, S. Y. et al. Nature 394, 251-253 (1998).
- [9] Fleming, J. G. & Lin, S. Y. Opt. Lett. 24, 49-51 (1999).
- [10] Imhof, A. & Pine, D. J. Nature 389, 948-951 (1997).
- [11] Klein, J. D. et al. Chem. Mater. 5, 902-904 (1993).
- [12] Edamura, T. & Muto, J. Thin Solid Films 235, 198-201 (1993). ■



الترسيب الإلكتروني في تجسيمات غروانية a، تمثيل تخطيطي للإعداد التجريبي c.b. صورة ميكروية للمنتج بالمجهر الإلكتروني الماسح b: كادميوم سلينيوم مترسب بالكمون السكوني في الفراغات البنية في تجميع غرواني من البوليميرين مؤلف من كرات من البوليميرين قطرها 0.466 ميكرومتر. بعد الترسيب الإلكتروني يُحل قالب البوليميرين في التولوين. SCE: الكتروليد معياري من الكالومل. ITO: أكسيد القصدير والإنديوم. c: نمو كبريتيد الكادميوم CdS بالظلقة السكونية حول قالب غرواني من السيليكا المكوّنة من كرات سيليكا قطرها 1 ميكرومتر. جرى حلّ القالب جزئياً بعد الترسيب الإلكتروني بغمس القينة في محلول مائي من 4.8% من فلوريد الهيدروجين لمدة 10 دقائق، وهذا المحلول لا يحلّ تماماً القالب وهذا ما يتيح مباشرة رؤية العلاقة بين القالب الغرواني والبنية الناتجة ثلاثية الأبعاد.

potentiostatic deposition [11] في الفضاء البيني لقالب غرواني من البوليميرين (الشكل 1 a,b). أمّا كبريتيد الكادميوم (Cd S) فقد نما أيضاً عن طريق الظلقة السكونية (الشكل 1 c) وترسيب كموني سكوني (نتائج غير مرئية) في التجميعات الغروانية، وأعطى أيضاً بنى دورية ثلاثية الأبعاد بعد إزالة القالب.

وبسبب تمتع كُمل من كبريتيد الكادميوم والكادميوم - السلينيوم بقرائن انكسار مرتفعة (2.5) عند 600 نانومتر و2.75 عند 750 نانومتر على التوالي) يمكن أن يكون لهذه البنى فراغات عميقة في بنية عصابها الفوتونية بعد إزالة القالب. وتعدّ مادتا كبريتيد الكادميوم والكادميوم السلينيوم من المواد الواعدة من أجل التطبيقات الفوتونية بسبب أنها شفافة من الناحية الضوئية في المنطقة المرئية ومنطقة الأحمر القريب من الطيف بخلاف معظم المواد ذات قرينة الانكسار العالية.

إنّ أحد المتطلبات الحاسمة من أجل وجود فرجة عصبية فوتونية حقيقية في كل الاتجاهات هو دورية ثلاثية الأبعاد وانتظامها. ويفضي قالبنا الموجّه نحو الترسيب الإلكتروني لأنصاف النواقل إلى بنى ثلاثية الأبعاد (الشكل 1 c,b) كما تدلّ عليها الفجوات المرئية بوضوح في الطبقة (في الأسفل) في كل المنظومات. وشكل هذه الفجوات في نقاط التماس بين كرات القالب وترتيبها على شبكة مثلية هو دليل على أنّ الفراغات المحوّفة تكون على شكل صفيحة سداسية متراسة.

وكما تم تحديد البنية ثلاثية الأبعاد سمحت الفجوات بين الفراغات بالإزالة التامة للقالب بمذيب أو بحمض أو غير الحرق. وتظهر موادنا المترسبة إلكترونياً كثيفة، كما تلاحظ في المجاهر الإلكترونية الماسحة ذات التكبير القوي المواد الأخرى المرسبة إلكترونياً الموجهة بالقالب. وكتيجة لذلك فإنّ البنى ذات المسامات الميكروية تنكش فقط انكماشاً قليلاً (> 2%) عندما يزال القالب.

يتلاءم الترسيب الإلكتروني الموجّه بالقالب تماماً مع إحداث بنى ميكروية ثلاثية الأبعاد: إذ يمكن إلكترونياً ترسيب الكثير من المواد

8- أدوات جديدة من أجل التحليل النظري*

تأثر التركيبات النظرية للمواد الطبيعية بعدد من الإجراءات. فعلى الكرة الأرضية يشكل كل من الاضمحلال المتولد بالإشعاع والتجزئة الفيزيائية الكيميائية الأليتين المسيطرتين. فالاضمحلال المتولد بالإشعاع يتم بسرعة نوعية ويوفر للمتخصصين بتعيين الأزمنة الجيولوجية تحديد أعمار الصخور بقياس نسبة ذرات السلف إلى الذرات الوليدة. أما التجزئة الفيزيائية الكيميائية فتنشأ من تبعية الكتلة لبعض سرعات التفاعلات الكيميائية وتنتج انحرافات bias منهجية (مع كتلة) في وفرة النظائر. أما العينات خارج نطاق الكرة الأرضية فتبدي مفعول التشظية spallation أي تصدع النوى بتأثير الأشعة الكونية المتصادمة ويمكن أن تبدي شذوذات نظيرية كبيرة نتيجة اندماج مواد الاصطناع النووي حيث يختلف التركيب النظيري بصورة جوهرية عما يتوفر على الكرة الأرضية.

ويمكن أن تختلف الفوارق النظرية الناجمة عن هذه الإجراءات اختلافاً كبيراً في القدر magnitude. والشيء الأكثر أهمية هو أن التركيب النظيري يمكن أن يكون متجانساً على أحجام كبيرة نسبياً أو غير متجانس في مقاييس أصغر، وهذا أدى إلى ظهور عمليتين مختلفتين بصورة أساسية في القياس النظري. فالتحليل المسمى التحليل التقليدي يتطلب فصلاً كيميائياً للعنصر ومن ثم مزجه مع مادة ذات تركيب نظيري شاذ معروف (تمديد نظيري)، يتبعه تحليل عالي الدقة. وبالمقابل فإن التحليل في الموقع بمسبار ميكروي أيوني يقود إلى تحليل مباشر لكميات صغيرة جداً من المادة، وتكون الدقة بصورة نموذجية محددة بعدد الأيونات المحسوبة في التحليل. وغالباً ما أدت هاتان الطريقتان إلى نتائج متضادة بسبب الفروق في حجم المواد المحللة والمسائل المتعلقة بالإحكام والدقة والقابلية للتولد.

لقد تم حديثاً تقدم كبير في تقنية مطيافية الكتلة المقرونة تحريضاً ذات الإزالة بالليزر (LA-ICPMS) وهي تقنية تملأ الفراغ في حجم العينة بين مطيافية كتلة التمديد النظيري (IDMS) والتحليل المسباري الميكروي الأيوني [مطيافية الكتلة للأيونات الثانوية (SIMS)]. وكما سنرى فيما بعد، إن هذه التقنيات تكمل بعضها بعضاً في تأثيرها التحليلي. ولكن يبقى أن نرى أياً من هذه الترسانة من الأدوات الجيوكيميائية ستكون كافية من أجل الأهداف التحليلية الطموحة في المستقبل القريب.

تغيرت أساسيات تقنية مطيافية الكتلة تغيراً طفيفاً منذ العمل الرائد الذي قام به جونسون Johnson ونير Nier [1]. والشيء الذي تغير هو الطريقة التي استخدمت في أخذ عينات المواد. والهدف ذو الدقة الأعلى يتنافس مع هدف حجم العينة الأصغر، وعلى المحلل أن يقرر في النهاية إما قياس حجم عينة أكبر بأعلى دقة ممكنة أو تحليل الوجود المحتمل لعدم التجانس في ذلك الحجم باختيار التقنية التي تأخذ عينات بكميات أصغر. يتحدد الخيار بطبيعة المفعول المتوقع: من المفضل قياس تغير موحد وصغير على حجم كبير بدقة عالية بينما تتطلب أجسام صغيرة ومتميزة من الناحية النظرية تحليلاً انتقائياً أكثر.

فمن أجل المسائل التي تتطلب تحليلاً عالي الدقة (الشكل 1-A) يمكن أن تنجز مطاييف كتلية حديثة مؤتمة حرارياً سوّيات عالية جداً من الدقة من خلال التحليل المستمر والإنقاص الإحصائي في خطأ المتوسط. ويمكن تحسين الإحصائيات الداخلية أكثر من خلال الجمع المتعدد حيث تقاس حزم الأيونات الفردية في مكاشيف منفصلة، وبذلك نحصل على مردود أعظمي وإزالة للشكوك متراقة مع تغيرات زمنية في كامل الحزمة. ومع ذلك ففي سوية ما من الشك يمكن أن تحصل أخطاء منهجية، والتي تنقص أي ربح منجز خلال إنقاص الأخطاء العشوائية. وعند هذه الحدود فإن التقسيم الواضح بين الأخطاء المنهجية والعشوائية ليس بسيطاً ويجب أن يعتمد على قابلية التولد المبنية. ومثل هذه القياسات لا تهدف إلى إنقاص كمية المادة المستهلكة أثناء التحليل وإنما تشحن كمية كافية من المادة لإنجاز شروط التشغيل المثلى من أجل التحليل.

وعند النهاية الأخرى من تحليل مطياف كتلة التمديد النظيري (IDMS) أجريت جهود كبيرة لجعل تحليل كميات صغيرة من الرصاص في معادن حاملة لليورانيوم (الزركون بصورة رئيسة) من أجل تحديد الأزمنة الجيولوجية. ويتطلب هذا النمط من التحليل مراقبة كيميائية كبيرة لتجنب التلوث بالرصاص الذي يدرّك الإشارة المتولدة بالإشعاع. ويمكن في الوقت الحاضر قياس نسب يورانيوم/رصاص في الزركون في حبيبة واحدة منفردة وحتى في مستوى ما دون الحبيبة sub-grain (الشكل 1-C) ولكن الزركون يمكن أن يكون معقداً إلى درجة كبيرة ومن الصعب أن نحدد بصورة صحيحة عمر الزركون المعقد الذي تم تحليله بمطياف كتلة التمديد النظيري (IDMS).

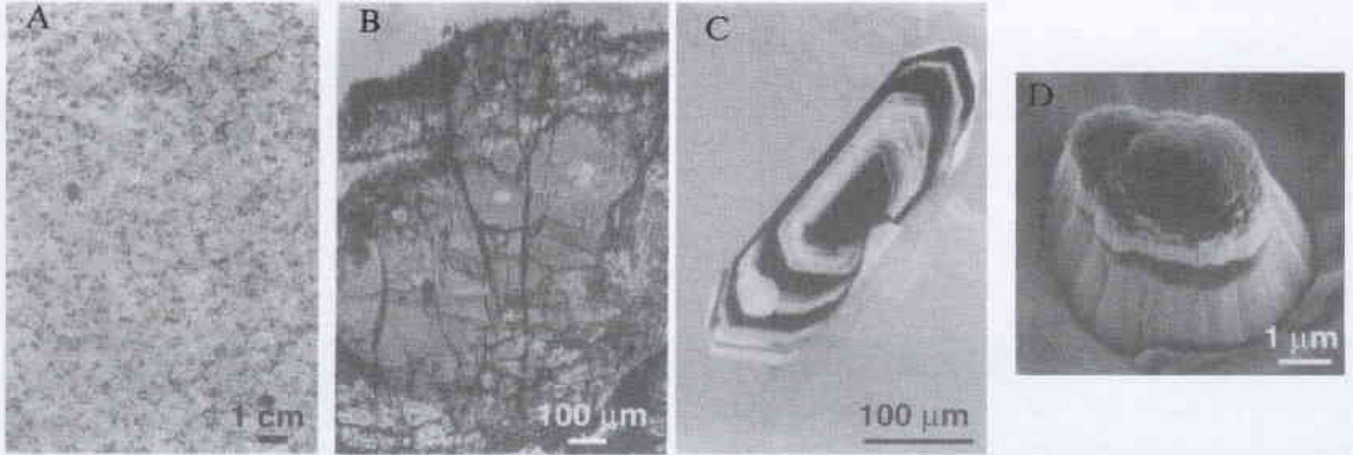
كانت الانتقائية المحدودة لحجم صغير للعينات، التي يجري تحريها بمطياف كتلة التمديد النظيري إحدى المحرضات الرئيسة لتطوير أدوات التحليل الميكروي المكاني مثل المسابر الميكروية الأيونية [2]. تستخدم في هذه التقنيات حزمة أيونية مبرأة لرش العينة مباشرة. يتم تأيّن جزء صغير من العينة وتسرع هذه الأيونات الثانوية إلى مطيافية الكتلة لتحليلها. وحتى من أجل الأهداف البسيطة تتعمد مطيافية الكتلة للأيونات الثانوية بفرط الأنواع الجزئية والذرية التي تختلف قليلاً فقط في الكتلة. وهكذا تتطلب مطيافية الكتلة للأيونات الثانوية ميزاً عالي الكتلة من أجل فصل إيزوباري isobaric separation. وتكون مجاهر كاميكاما Cameca الأيونية الصغيرة قادرة على قياس الميز عالي الكتلة، ولكن على حساب الإنفاذ.

والتحليل النظيري المستقر ممكن [3] عند سوية واحد من مليون أو دون ذلك بسبب مردود التأيّن العالي. كانت هذه الأجهزة ناجحة جداً في البحث عن الشذوذات النظرية في النيازك حيث تغطي التغيرات النظرية مراتب من القدر [4]. ويتيح أيضاً استهلاك العينة البطيء والفعالية العالية لإجراء عدة تحاليل، حتى تحليل حبيبات غبارية ميكرومترية الحجم. كان الجهاز SHRIMP (المسبار الميكروي الأيوني الحساس عالي الميز) أول جهاز يجمع ما بين الميز عالي الكتلة والإنفاذ المرتفع. وهذا أنجز من خلال محلل ذي كتلة كبيرة فيزيائياً وأدى إلى تحاليل نظيرية يورانيوم/رصاص في الزركون [5] و[6]. وتكون المسابر الميكروية الأيونية كبيرة الأبعاد مثل

يوجد أية مشكلة بأن يكون التحليل بتقنية IDMS أكثر دقة وأعلى ضبطاً. وإذا كانت المجالات المتعددة موجودة في حبيبة مفردة ستعطي تقنية SIMS أكثر التقديرات ضبطاً للأعمار من تلك المركبات. وهكذا ربما يعطي دمج التحليل بتقنية SIMS مع التحليل بتقنية IDMS بصورة عامة أفضل النتائج.

تستخدم مطيافية الكتلة المقرونة تحريضياً (ICPMS)، الأداة الجديدة نسبياً في ترسانة الأدوات، بلازما الأرغون لتأين معظم العناصر. ويمكن إدخال العينة إما من محلول (ومن هنا تعطي تقنية ICPMS نتائج أفضل من تقنية IDMS) أو عبر الإزالة بالليزر. وتتميز مطيافية الكتلة المقرونة تحريضياً ذات الإزالة بالليزر LA-ICPMS بقابليتها على أخذ العينات الميكروية وبدقتها العالية وإمكانية ربطها لبعض القابليات التحليلية بين تقنيتي IDMS و SIMS (الشكل B1) وكذلك فتح قابليات جديدة [8]. وقد استخدمت أيضاً المطاييف الكتلية ذات القطاع المغنطيسي magnetic sector ورباعية الأقطاب quadrupole. إن سرعة الإزالة fractionation-corrected عند 0.1 بالمليون تتيح إنجاز هذه التحاليل. ولكن لا بد من إحصاء عدد كبير من الأيونات للوصول إلى دقة عالية، والبقعة المزالة يمكن أن تستهلك مواداً بقدر ما يستهلكه التحليل بتقنية IDMS. إن الزمية التي تتمتع بها تقنية LA-ICPMS مع ذلك هي السهولة التي تحلل بها العناصر المقاومة للحرارة وكمية العينة الصغيرة.

يمكننا أن نؤيد أن طريقة التأريخ بتقنية مطيافية U-Pb LA-ICPMS ستحل محل تقنية التحليل بالمسبار المكروي الأيوني بسبب دقتها الأكبر، ولكن ليس من المحتمل إلى حد ما أن تتجاوز كل أنماط التحليل الأخرى.



الشكل 1- ماذا يوجد في الحبيبة؟ يتم تحديد سُم التحليل النظري اعتماداً على الأسئلة التي يجب الإجابة عليها وعلى طبيعة العينة. فالتحليل النظري الجرمي لصخر الغرانيت (A) يتطلب هدم الصخر وتجانس كل أطواره أو فصل فلزاته بالتقاطها باليد. فمن أجل أمثال هذه العينات فإن التحليل التقليدي الذي ينطوي على تحديد نظيري يمكن أن يعطي نسباً نظيرية عند 10 أجزاء بالمليون. وعندما تكون العينات غير متجانسة، على الرغم من أنّ التحليل في الموقع مناسباً، يمكن أن يرتبط الإطار البتروغرافي بالتركيب النظيري. ففي متضخّن الندي المقاوم للحرارة (B) لا بد من تجنّب الكسور والمساحات المتغيرة ولكن توجد الأطوار الفلزية المتجانسة في كل المقطع الرقيق. أما من أجل التحليل النظيري فعدم التجانس الشاقولي لا يشكل معضلة وستعطي تقنية مطيافية الكتلة المقرونة تحريضياً ذات الإزالة بالليزر LA-ICPMS أكثر النتائج دقة وسرعة لأن التحليل يتم بنحو 30 نانوغرام من المادة. ويمكن أن يكون الزركون (C) متجانساً على سُم ذرة ذرة أو يمكن أن يسدي مناطق نمو معقدة في بلورة أحادية. الزركون المبيّن في الشكل يتميز بنمط تنمطي خشن [يعود إلى ما قبل 370 مليون سنة] الذي تراكب عليه حدث مهلي لاحق [يعود إلى ما قبل 340 مليون سنة] أدى إلى انشاء طرف الزركون وأدى أيضاً إلى إحداث "جزيرة" من زركون أحدث محاط بطور مهلي أقدم. وحتى يتم تحديد العمر بصورة أدق مثل هذه الحبيبات المعقدة لا بد من اعتيان سطحي كما لو كان بمسبار مكروي أيوني الذي يستهلك فقط 2 نانوغرام من الزركون في التحليل. وتمتد الحبيبات بين النجمية (D) مصدرها ثميناً تتطلب تحليلاً نظيرياً عنصرياً متعدد لحبيبات مفردة. وقد يستهلك تحليل واحد بمطيافية المسبار المكروي الأيوني نحو 10 بيكوغرام من المادة.

SHRIMP و Cameca 1270 متاحة ولكنها مكلفة وإنتاجها كانت محدودة.

لم يحدث خلاف في أي مكان عند المقارنة بين تقنيتي SIMS و IDMS أكثر من الخلاف الذي حصل في حقل تحديد الأزمنة الجيولوجية بطريقة اليورانيوم/ الرصاص. فالهدف من تقنية IDMS هو الحصول على العمر بدقة عالية بينما تهدف تقنية SIMS إلى استنتاج عمر أقل دقة نسبياً لمنطقة واحدة أو عدة مناطق مختلفة من الناحية الصخرية ضمن حبيبة معدنية واحدة. وتنشأ الاختلافات الأكبر عندما يتم تحليل الزركونات المعقدة (الشكل 1C)، فتحليل عادي فقط للحبيبة واحدة يمكن أن يحدد بصورة مألوفة وجود مركبات عمر متعددة بينما يمكن أن يحدد تحليل بقع خاصة مركبات عمر نوعية. وهذا هو بالفعل مقدرة التحليل بتقنية SIMS وخاصة عندما تقرر مع تقانات التصوير الإلكتروني مثل التألق الكاثودي cathodoluminescence الذي يتيح استهدافاً أفضل. أما المقارنة بين تقنيتي SIMS و IDMS فهي جيدة بالنسبة إلى الزركونات غير المعقدة [7]. ومع ذلك ونظراً لأن معطيات تقنية SIMS الخاصة تتميز بدقة منخفضة نسبياً في تحديد العمر، يوجد بعض حالات من مركبات العمر المتميزة، التي لا يمكن أن يتم حلها بصورة إفرادية، قد تجمع مع بعضها. ففي هذه الحالة يصبح المتوسط وسطي المركبات التي قد لا يكون لها معنى من الناحية الجيولوجية.

يجب أن تكون التقنية المختارة من أجل مشكلة خاصة قادرة على تحليل العمر للمجالات المفردة من الزركون، كما يجب أن تتمتع بتحديد كاف لوصف تلك المركبات من الأعمار بصورة إفرادية. فإذا وجدت حبيبات مفردة من الزركون التي تحوي فقط مركباً بعمر واحد. إذاً لا

- [4] E. Zinner, Annu. Rev. Earth Planet. Sci. 26,147 (1998).
 [5] W. Compston, I. S. Williams, C. Meyer, J. Geophys. Res. Suppl. 89, B525 (1984).
 [6] I. S. Williams, Rev. Econ. Geol. 7,1 (1998).
 [7] R. D. Tucker and W. S. McKerrow, Can. J. Earth Sci. 32,368 (1995).
 [8] D.-C. Lee and A. N. Halliday, Nature 378,771 (1995).
 [9] I. Hom, W. F. McDonough, R. Rudnick, Chem. Geol., in press.
 [10] W. Compston, Mineral. Mag. 63,297 (1999).
 [11] M. F. Thirwall and A. J. Walder, Chem Geol. 122,241 (1995).
 [12] S. M. Eggins, R. L. Rudnick, W. F. McDonough, Earth Planet. Sci. Lett. 154,53 (1998).■

9- طاقة لا محدودة*

يجيش الفضاء الخالي بكميات ضخمة من الطاقة .
 حيناً لو نستطيع استجراها.

يقدم هنري بورتمان تقريراً حول آلة ميكروية مصممة
 لتحقيق ذلك.

"إنني في البرهة الحالية مشغول مرة أخرى بالكهرطيسية، وأعتقد أنني
 أمسكت بشيءٍ ثمين، لكنني لست جازماً بعد فلربما، وبعد كل هذا
 العناء، قد أمسكت عشبة عوضاً عن السمكة".

كان مايكل فارادي Michael Faraday هو الذي كتب العبارة
 السابقة. وبالفعل، فقد تحول صيده ليصبح سمكة كبيرة جداً. فأعمال
 فارادي بشأن العلاقة بين الكهرباء والمغناطيسية تعد ضمن مجموعة أهم
 الأبحاث التي ظهرت في القرن التاسع عشر، لكن كتاباته تُقدّم رؤية
 فريدة لما قد يواجهه العالم من قلق وهو يعمل عند حافة المعرفة الإنسانية.
 ويمكنك القول بأن الباحث جوردان ماكلي J. Maclay هو الآن في موقع
 مماثل.

في العام الماضي، استطاع ماكلي تأمين تمويل من وكالة NASA
 لدراسة الطاقة في الخلاء، حيث تُشكل أبحاثه جزءاً من برنامج التقدم
 المعرفي في فيزياء الدفع Breakthrough Propulsion Physics الجاري
 تنفيذه لدى "مركز أبحاث غلن التابع لوكالة الفضاء والطيران الأمريكية
 NASA Glen Research Center في مدينة كليفلاند بولاية أوهايو.
 يهدف البرنامج المذكور إلى إيجاد طرائق جديدة للدفع يمكنها أن تزود
 مركبات الفضاء بالقدرة. وتتضمن خطة ماكلي بناء آلة صغيرة جداً قادرة

ما تزال الصعوبات باقية لإنجاز الدقة العالية في نسب يورانيوم/ رصاص
 وفي قياس الرصاص 204 [9 و10]. يسهل ميز العمق الأعلى لتقنية مطيافية
 الكتلة للأيونات الثانوية SIMS تحليل العينات المعقدة حيث تكون حجوم
 المجالات محدودة، ولا يمكن تجاوز تقنية مطيافية كتلة التمدد النظري
 IDMS من أجل متطلبات دقة معايرة مقياس الزمن. في تحليل اليورانيوم -
 الرصاص ستملاً تقنية LA-ICPMS فراغاً حيث تكون حجوم المجالات
 كبيرة ويكون تحليل الزركون السريع مطلوباً، مثل ما هو في قطاعات
 الزركون الحطامية وتوثيق النظم المهلية البسيطة.

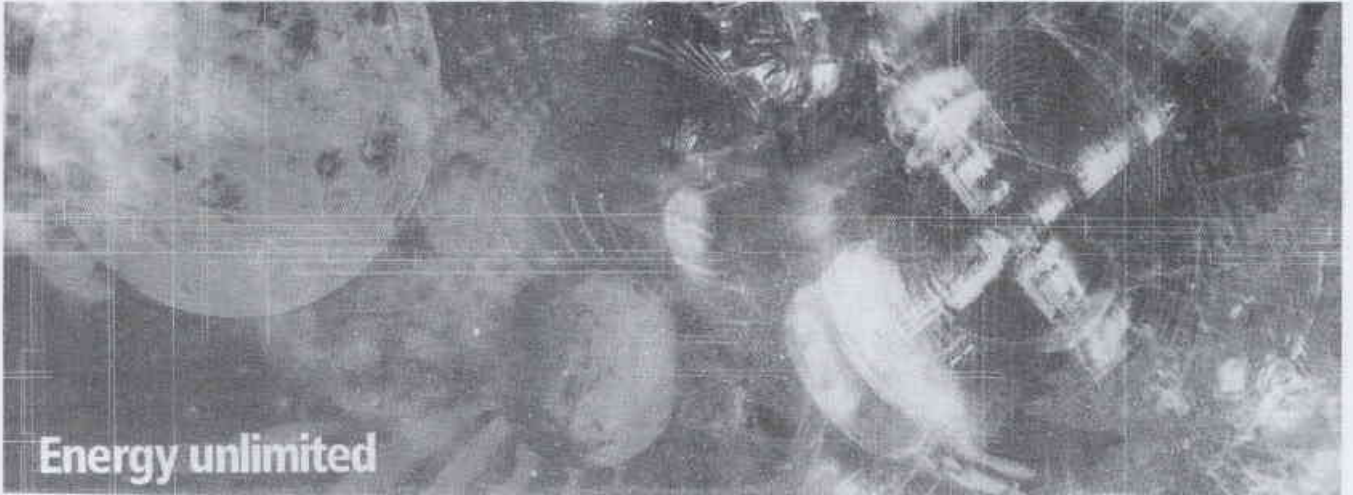
تعملي تقنية LA-ICPMS أساساً واعداداً لتغيير الجيو كيمياء الأرضية
 تغيراً جذرياً في تحليل العناصر وفي التحليل النظري للمواد الملائمة.
 ونذكر من الأدوات المتنوعة المتاحة مطياف الكتلة رباعي الأقطاب الذي
 يناسب تحليل عناصر الأثر بينما ستطلب تقنية ICPMS مجموعة متعددة
 من أجل التحليل النظري. تتضمن التطبيقات الآن تحليل هافنيوم Hf
 النظري للزركون [11] وجيو كيميائية عناصر الأثر للمواد (12). ولكن
 التحليل المكاني بتقنية LA-ICPMS أو بتقنية SIMS سيكون غير قادر
 على حل معظم الأيزوبارات (المكاثلات) الذرية (atomic isobars)،
 ولذلك لا يمكن إنجاز تطبيقات مثل تحليل الروبيديوم-السترونسيوم
 (Rb-Sr) النظري. هذا العمل يتطلب إجراء التحليل والفصل الكيميائي
 بتقنية IDMS.

ومن المحتمل أن المجالات الأكثر إثارة من أجل جيو كيميائية العناصر
 في السنوات العشرين القادمة ستكون في المواد الخارجة عن نطاق الكرة
 الأرضية من المريخ والكويكبات والمذنبات والرياح الشمسية. فهل تسمح
 التقنيات المتاحة الآن وصف صفات هذه المواد إلى أبعد مدى ممكن؟
 والمطلوب من أجل أعلى حصيلية تحليلية لكل غرام أو جزء منه هو أن يقع
 في حدود الإنجاز. سيتم وصف صفات المواد المريخية والكويكبية ككل
 غير مجزأ بتقنيتي IDMS و ICPMS. ومع ذلك فإن الطبيعة الخاصة
 للغياب المذنب تتلام مع تقنيات المقاييس المكروية. وسيكون عصر تقنية
 Flight-SIMS ناجحاً في تحليل الغبار المذنب لأنه يمكننا من إنجاز التحليل
 النظري لكل الأيونات وبهذه الطريقة تنخفض النفايات. أما تحليل العينات
 المرصدة إلى الرياح الشمسية التي تسبب انفراز ذرة بعد ذرة في ركازة،
 فتتطلب حساسية عالية. كيف يمكن تحليل الأهداف المنفرزة بالرياح
 الشمسية بصورة فعالة لإعطاء الدقة المطلوبة لاختبار نماذج السدم الشمسية
 الحالية؟ ستكون تراكيز عناصر الهدف منخفضة ويكون التلوث هو
 الهاجس الرئيس. إن الحصول على هذه المواد وعلى الطلبات التقنية التي
 تحتاجها، سوف تدعم حقبة من تطور تقنيات التحليل الشبيهة بالحقبة التي
 رأيناها بعد عودة البعثات القمرية.

REFERENCES

- [1] E. G. Johnson and A. O. Nier, Phys. Rev. 91,10 (1953).
 [2] T. R. Ireland, Adv. Anal. Geochem. 2,1 (1995).
 [3] L. R. Riciputi, B. A. Paterson, R. L. Ripperdan, int. J. Mass Spectrom. 178,81 (1998).

المراجع



التجاذب أقوى شدة (راجع مقالة "رُج الخلاء لتولّد ضوءاً" العدد 56 من مجلة عالم الذرة). وفي عام 1996، تمكن الفيزيائيون، ولأول مرة من قياس ما يسمى "أثر كازيمير Casimir effect".

أما ماكلي، وهو أستاذ سابق في الهندسة الكهربائية لدى جامعة إلينوي بمدينة شيكاغو، فكانت لديه الرغبة بالمشي قدماً، حيث أسس في مدينة ريتشلاند سنتر بولاية ويسكنسن شركة خاصة أطلق عليها اسم "الحقول الكمومية" وذلك من أجل تطوير أفكاره. وبالحساب توصل ماكلي وآخرون غيره إلى نتيجة مفادها بأنه يمكن لأثر كازيمير توليد قوى تنافر وقوى تجاذب على حدٍ سواء. هذا ولم يُركّز تحليل ماكلي على صفائح معدنية بل على علب معدنية منمنمة يبلغ طول الجانب الواحد منها قرابة 1 ميكرومتر أو أقل أطلق عليها اسم "تجاويف cavities" (انظر الشكل المبين في الصفحة). وقد تبين فيما بعد أن قوة كازيمير واتجاهها يعتمدان على شكل التجويف. ويقول ماكلي في هذا السياق: "إذا كان لديك تجويف له شكل العلبة المخصصة لوضع فطيرة البيزا فإن الضغط على الجانبين الواسعين للعبة سيدفع باتجاه المجذاهما، لكن القوة على الجانبين الضيقين ستدفع إلى تنافرهما.

والتجويف الذي يراه ماكلي أكثر تلبية لفضوله هو الشكل الطويل الرفيع أشبه بالعبة المحتوية على ماسورة معجون الأسنان، لكنه بحجم يوازي تقريباً حجم جرثومة الإشريكية القولونية

Escherichia coli. والشيء المهم حول هذا التجويف أن أحد جانبيه الطويلين يكون في وضع توازن مثالي، بمعنى أن يكون ضغط الخلاء الداخلي والخارجي متساويين تماماً، لكن مثل هذا التوازن يبقى غامضاً غير محدد المعالم، وهذا ما يجعله مثيراً للاهتمام.

ويؤني ماكلي بناء علبة يكون فيها الجانب، الذي في وضع توازن - ونسبته الغطاء lid - حرّاً قابلاً للحركة. فعندما يتحرك الغطاء من نقطة التوازن قليلاً باتجاه الداخل ينخفض ضغط الخلاء داخل التجويف وينجذب الغطاء لمسافة أبعد نحو الداخل. ويحدث العكس إذا تحرك الغطاء باتجاه الخارج فيدفع الغطاء بعيداً. هذا مع العلم بأن مسافات التحريك المذكورة آنفاً هي مسافات بالغة الصغر وأقل من 100 نانومتر.

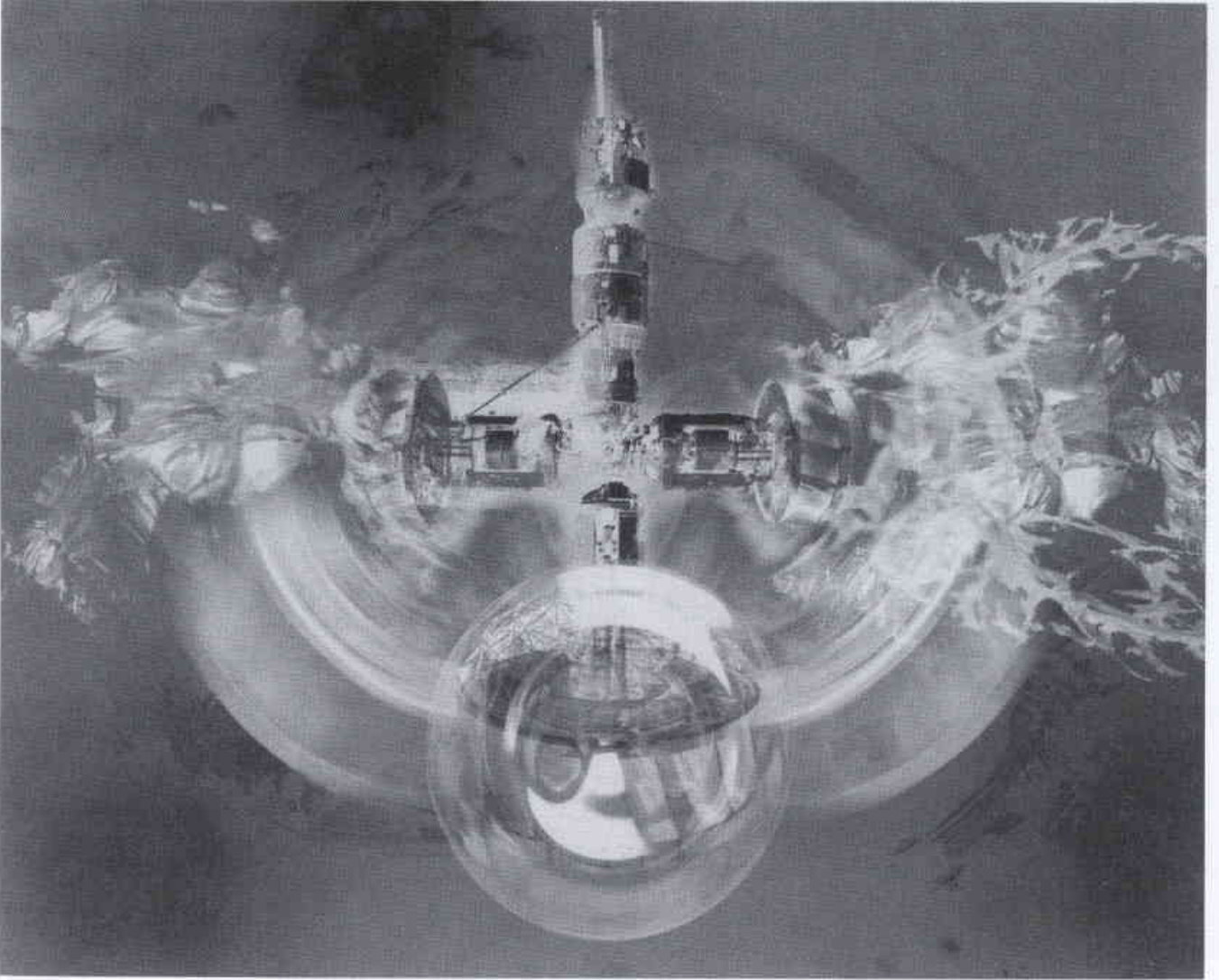
على قياس طاقة الخلاء هذه والقوى التي تستطيع توليدها. وإذا ما جرت الأمور على ما يرام، فإن ماكلي سيصيد سمكة من حجم هائل جداً، حيث يأمل الباحث المذكور بإيجاد طريقة يستثمر فيها هذه القوى لفعل شيء مفيد، كأن تُسَيَّر مكبساً بالغ الصغر، أو تسخّن الماء، أو تعمد حتى إلى تزويد مركبة فضاء بالقدرة. وفي الأسبوع القادم، سيقدّم ماكلي موجزاً لما ينوي القيام به وذلك في اجتماع المنتدى العام العالمي لتقانة الفضاء وتطبيقاتها، الذي سيعقد في مدينة ألباكركي بولاية نيومكسيكو.

ومعظم الناس يفترضون أن الخلاء فارغ من كل شيء، لكنه بموجب التحريك الكهربائي الكومومي، وهو النظرية التي تصف سلوك الكون على المقاس الشديد الصغر، لا شيء يمكن أن يكون أبعد من الحقيقة. وبالفعل، يُزبد الخلاء بطاقة كهرومغناطيسية يطلق عليها اسم "طاقة نقطة الصفر zeropoint energy"، وهذه هي الطاقة التي يأمل ماكلي باستثمارها. و"الصفّر" في نقطة الصفر يشير إلى حقيقة مفادها بأنك إن أردت تبريد الكون إلى درجة الصفر المطلق، أي إلى أخفض حالة ممكنة من حالاته الطاقية، فسوف يتبقّى هناك بعض الطاقة، بل سيتبقى فعلياً الكثير منها.

ويختلف الفيزيائيون فيما بينهم حول مقدار هذا الجزء المتبقي من الطاقة، لكن ماكلي يبنّ بالحساب أن أي منطقة من الخلاء بحجم بروتون واحد قد تحتوي على قدر من الطاقة يوازي كلّ المادة التي يحتوي عليها الكون برمته.

يأمل ماكلي أنه بإجراء موازنة دقيقة للقوى يمكنه صنع هزاز دقيق مستوى بقوى كازيمير

وفي عام 1948، اقترح فيزيائي هولندي يدعى هندريل كازيمير H. Casimir، خطة لاختبار وجود هذه الطاقة. فمن الناحية النظرية تأخذ طاقة الخلاء شكل جسيمات تتشكل وتخفي باستمرار على مقاس بالغ الصغر. في الحالة الطبيعية يكون الخلاء ممتلئاً بجسيمات لها على وجه التقريب أي طول موجي لكن كازيمير حاول البرهان بأنك إن وضعت في الخلاء صفيحتين معدنيتين رقيقتين غير مشحونتين على مقربة شديدة من بعضهما فإن ذلك سيؤدي إلى استبعاد الأطوال الموجية الطويلة. ولا بدّ عندئذ أن تولّد الأمواج الإضافية خارج الصفيحتين قوة تنزع إلى دفعهما نحو بعضهما، وكلما اقتربت الصفيحتان من بعضهما كلما كان



التوقعات المقدرة لها. وإذا كانت نتائج جميع ما سبق ذكره مرضية، فسيكون عندئذ مستعداً لبناء تجويف هرّاز.

وتقع على عاتق رود كلارك R. Clark، وهو مهندس نووي سابق ويرأس حالياً شركة "MEMS Optical" (وهي شركة تقانة يقع مقرها في مدينة هنتسفيل بولاية ألاباما) التي تقوم بتصنيع نبائط مكروية كهروميكانيكية وحتى يتمكن من بناء تجاويف ماكلي من مادة السليكون، يأمل كلارك أن يستخدم الجمع بين تقنيتين تقليديتين، ألا وهما التنميش بالطباعة الحجرية والترسيب وهما التقنيتان المستخدمتان في صناعة الدارات المتكاملة.

وإن كلارك واثق من أنه يستطيع إنتاج التراكيب اللازمة، لكنه في نفس الوقت يدرك تماماً مستوى التحديات التي يواجهها والتي أولها تلك التي تتعلق بالحجم. فحسب ما أفاد به كلارك تقع المواصفات التي يطالب بها ماكلي عند أقصى حدود وصلت إليها حالياً تقانة التصنيع. وفي هذا السياق يقول كلارك: "نود أن نصنعها صغيرة كي نجعل القوى الناتجة منها كبيرة، لكننا لا نستطيع صنعها بحجم بالغ الصغر وبالقدر الذي لا تتوفر لدينا عنده إمكانية التصنيع".

وسوف يجري ربط الغطاء بناض مجهري، الأمر الذي يؤدي عند تحرك الغطاء، إما إلى تمدد أو إلى انضغاط النابض ومن ثم نزوعه للعودة إلى وضعه الأصلي. ومن خلال إجراء موازنة دقيقة لضغط خلاء التجويف والمرونة النابض وإعطاء الغطاء النبضة الأولية المناسبة تماماً، يأمل ماكلي من استنباط هرّاز دقيق tiny oscillator مُسيّر بقوى كازيمير.

وعلى أية حال يعد ما سبق ذكره السيناريو المثالي لما هدف إليه ماكلي، لكنه من السهل جعل الأشياء تبدو بشكل جيد عند وضعها على الورق.

وحول هذا يقول ماكلي: "من الناحية النظرية، يمكن لأنواع الأشياء جميعها أن تهتز، ولكن هل يحصل هذا أيضاً في العالم الواقعي؟ حسن! هذا بالذات ما يجب علينا استقصاؤه".

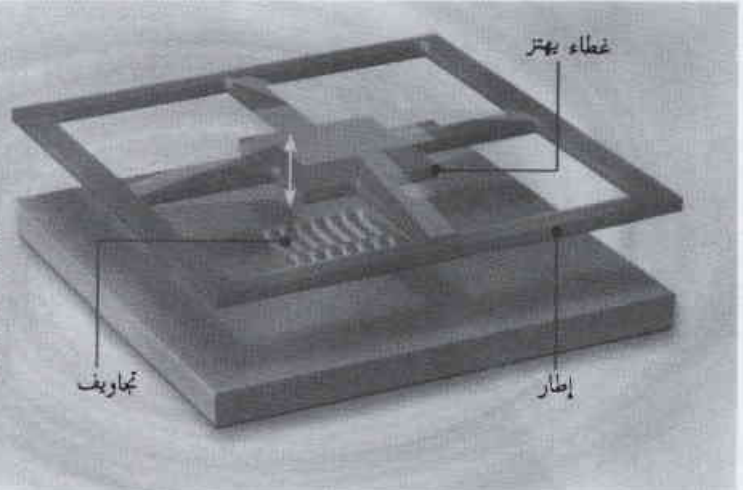
وينوي ماكلي أن يجابه المشكلة على عدة مراحل، وحيث أنه لم يسبق مطلقاً أن جرى قياس قوى كازيمير التناظرية فإن واجبه الأول يملئ عليه أن يستطلع فيما إذا كان بإمكانه إجراء مثل هذا القياس. بعد ذلك سيعتمد إلى قياس القوى ذات الاتجاهين الداخلة والخارج عند سطوح التجاويف بأشكال مختلفة وذلك كي يرى فيما إذا كانت متفقة مع

مجهرية مُسَيِّرة بالخلاء. وربما يغدو ممكناً استنباط آلة تحوي تجاوير تولد ضغوط خلاء مختلفة ومن ثم العمل على استثمار هذا الاختلاف بنفس الأسلوب الذي تستثمر فيه الآلة الحرارية اختلافات في درجة الحرارة. وفي هذا السياق يقول ماكلي: "ما نتطلع إليه الآن هو إيجاد أشياء بسيطة جداً لكنها ستستخدم في نهاية المطاف كمكونات لمنظومات أكثر تعقيداً، ولا بد بطريقة ما العبت بهذه الأشياء لنرى ما يمكنها فعله."

كيف يُثَمِّن ماكلي فرص نجاحه؟ كإجابة على هذا السؤال يعلق ماكلي فيقول: "لو شعرت أن فرصة النجاح لعمل كهذا ستكون صفراً، ما أقدمت على تبديد وقتي للقيام به، وأنا مقتنع بأنني سأجد في النهاية بعض الأشياء المثيرة، أما بشأن ماهية هذه الأشياء والمنفعة المتوخاة منها فلا أزال جاهلاً بهما.

وللسيد مارك ميليز M. Millis، الذي يرأس برنامج وكالة NASA لاختراق فيزياء الدفع NASA's Breakthrough Propulsion Physics programme، نظرة فلسفية تجاه ما يتعلق باحتمالات النجاح. ولا شك بأنه سيهتز طرباً إن استطاع ماكلي تسليمه مفاتيح قيادة الدفع البينجمي. وبصدد مشروع الدفع بكامله يقول ميليز: "سوف تكون دهشتي عظيمة جداً إن لم نستطع التوصل إلى نوع ما من الاختراقات". وفي حال استطاع ماكلي الإمساك بسمكته فسوف يحظى بشيء ينافس ظاهرة فارادي من حيث الأهمية. وكما قال فارادي في إحدى المرات: "لا شيء أعظم روعة من التوصل إلى حقيقة واقعة تتماشى مع قوانين الطبيعة". ■

إذا نجحت الفكرة..
فإن الهزاز سيستمد
قدرة تحريكه من طاقة
نقطة الصفر داخل
الفضاء الخالي.



وتنحصر الخطة الحالية لماكلي وكلارك في صنع صفيقة تضم مئات من تجاوير لا غطاء لها فوق ركازة، ومن ثم إيجاد غطاء مفرد يلائم تغطية الصفيقة بكاملها. وسوف يُعلّق هذا الغطاء على نوابض مثبتة فوق الصفيقة التي سيجري تحريكها في مراحل منمنمة باتجاه الغطاء. وفي بداية الأمر سيبقى الغطاء ساكناً، ولكن عندما تصبح التجاوير على مقربة كافية منه فإن الفرق في ضغط الخلاء سيجعله يتحرك وربما ينتهي الأمر به لأن يهتز. ومن خلال النظر عبر مجهر إلى سطح الغطاء سيغدو ممكناً قياس انزياحه بدقة بالغة.

ولا يتوقع كل من ماكلي أو كلارك الحصول على نتائج سريعة ولو أنهما يأملان أن يتمكنوا من بناء ثلاثة أجيال من النبايط. ولا يزال ماكلي يحلم بإيجاد أنماط مختلفة من "ماكينات كازيمير" التي قد يغدو تنفيذها أمراً ممكناً فيما إذا تكللت تجاربه بالنجاح، ويتبادر إلى ذهنه - على سبيل المثال - استنباط رافعات، وبكرات، ومكابس



ورقات البحث

البرهان على مساهمة عيين متميزين في الذروة H4 لطيف المصادر العميقة في InP المشع بالإلكترونات*

بسام المصري، رامي درويش
قسم الفيزياء - هيئة الطاقة الذرية السورية - ص.ب. 6091 - دمشق - سورية
محمد قعق، فوزي عوض
قسم الفيزياء - جامعة دمشق

ملخص

استخدمت المطيافية الانتقالية للمصادر العميقة (DLTS) لدراسة العيب العميق ذي الذروة H4 وهو العيب الرئيسي الذي ينتج لدى تشعيع InP بالإلكترونات. وقد درست ميزات هذه الذروة في InP المشوب بـ Zn بدلالة عرض النبضة (t_p) قبل الإحماء وبعده. وتبين نتائجنا وجود مصيدتين traps على الأقل تساهمان في H4، إحداها مصيدة سريعة (سميناها H4_F) والثانية مصيدة بطيئة (سميناها H4_L). وقد تم البرهان على ذلك من خلال عدة نتائج تتعلق بطاقة التشييط وبالمقطع العرضي للأسر ويعرض الذروة عند منتصف ارتفاعها (FWHM) وكذلك بانزياح درجة حرارة الذروة. وقد بينا أن كلتا المصيدتين هما عيان في الشبكة البلورية الفرعية للفسفور يتجان من التشعيع.

الكلمات المفتاحية: المطيافية الانتقالية للمصادر العميقة DLTS، عيب بلوري، المقطع العرضي للأسر، طاقة التشييط، إحماء.

مقدمة

كُرس العديد من البحوث لدراسة العيوب البلورية الناجمة عن تشعيع InP نظراً للأهمية المتزايدة لهذه المادة لاستخدامها في مجالات النبايط الإلكترونية والإلكترونية الضوئية وفي الخلايا الشمسية المقاومة للتخريب الإشعاعي [2,1]. إن العيوب التي تكشفها تقانة DLTS في عينات InP من النوع p المشعة في درجة الحرارة العادية هي مصادر الثقوب التي يرمز إليها بـ H4 و H5. وقد احتدّ النقاش لسنوات طويلة حول ماهية هذين العيين [4,3]. وبينت قياسات معدل إحداث العيوب اللامتاحي أن H4 ينشأ في الشبكة الفرعية P [5] بينما ينشأ H5 في الشبكة الفرعية In [6]. كما بينت دراسات الإحماء، الحرارة المحضنة وتلك المعززة باتحاد الثقوب والإلكترونات، أن هذه العيوب ليست عيوباً بسيطة وإنما هي عيوب مركبة تنشأ عن ارتباط العيوب الأولية بالشوائب. ويؤيد هذا التأويل سلوك زوالها المعقد [8,7]. فقد وجد أن حركية الزوال للعيب H4 في المادة المشوبة بـ Zn لا أسية [10, 9, 5, 3] بينما هي أسية في المادة المشوبة بـ Cd [11]. كما وجد أن العيوب الفارغة (من الثقوب) تزول بسرعة أكبر من زوال العيوب المملوءة [4]. وفي حين تزول معظم العيوب (أكثر من 90% منها) المكونة للذروة H4 لدى الإحماء الحراري، يبقى جزء منها لا يستهان به (نحو 25%) بعد الإحماء المعزز بحقق حوامل الشحنات [12].

وقد ذكر بعض الباحثين [13] حدوث تحول H4→H'4 نتيجة للإحماء الحراري أو لحقق الشحنات الأقلية، فالعيب H4 يزول نتيجة تحوله

إلى مصيدة ثقوب أخرى (H'4) تؤدي إلى ظهور ذروة في طيف DLTS عند درجة حرارة الذروة H4 نفسها، لكن طاقة تشييط العيب الجديد أعلى والمقطع العرضي للأسر أصغر بكثير ولذلك لا يمكن كشفه باستخدام تجهيزات DLTS العادية، وإنما يحتاج الأمر إلى معدات الإلكترونية خاصة تؤمن نبضات عريضة جداً (4s) لملء المصادر.

تهدف هذه الورقة إلى تقديم البرهان التجريبي على وجود مصيدتين متميزتين على الأقل تساهمان في الذروة H4 من طيف DLTS وإلى تعيين مميزاتهما. إن الطريقة المتبعة عادة لفصل ذرتين متراكبتين في طيف DLTS تعودان إلى مصيدتين تختلفان في مقطعيهما العرضيين للأسر هي استخدام نبضات قصيرة الأمد (t_p) لملء المصادر السريعة فقط، ذلك أن الجزء n_T الذي تملؤه النبضة يعطى (في المادة من النوع p) بالعلاقة:

$$n_T = N_T [1 - \exp(-C_p t_p)] \quad (1)$$

حيث N_T هو تركيز المصادر الكلي و C_p هو معدل أسر الثقوب الحرة. إن تغير وسعية ثنائي شوتكي Schottky المطبق عليه انحناء عكسي بنتيجة تطبيق نبضة في الاتجاه الأمامي (حتى الانحناء صفر) عرضها t_p يعطى بالعلاقة:

$$\Delta C(t_p) = \Delta C_{\max} [1 - \exp(-C_p t_p)] \quad (2)$$

حيث ΔC_{\max} هو تغير الوسعية الأعظمي الناجم عن ملء كل المصادر N_T . ويتعلق C_p بدرجة حرارة الذروة T_m وفق العلاقة:

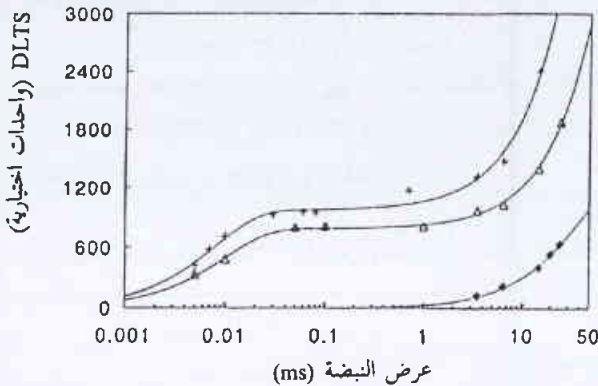
$$C_p = \sigma v p = \sigma_{\infty} v p \exp(-E_B/kT_m) \quad (3)$$

H4 مسجلة، المقادير التالية: ارتفاعها S وعرضها عند منتصف الارتفاع ΔT ودرجة حرارة نهايتها العظمى T_m .

النتائج

يبين الشكل 1 ارتفاع الذروة H4، بدلالة عرض النبضة t_p على سلم لوغاريتمي وذلك قبل الإحماء الحراري عند الدرجة 110°C وبعده مع تطبيق انحياز عكسي على العينة مقداره 2.5V (المصادر فارغة). تتفق هذه النتائج اتفاقاً جيداً مع المنحنيات المرسومة وفق العلاقة التالية، التي هي مجموع علاقتي ملء (2) بعد إعطاء المقادير S_{m1} و S_{m2} و C_{p1} و C_{p2} القيم المناسبة:

$$S(t_p) = S_{m1}[1 - \exp(-C_{p1}t_p)] + S_{m2}[1 - \exp(-C_{p2}t_p)] \quad (4)$$



الشكل 1- تغير ارتفاع الذروة بدلالة عرض نبضة الماء (سلم لوغاريتمي) قبل الإحماء (+) وبعد الإحماء عند الدرجة 110°C مع انحياز عكسي 2.5 V لمدة 10 دقائق (Δ). ولمدة 60 دقيقة (○).

وهذا ما يشير إشارة قوية إلى أن S هو مجموع إشارتين S_1 و S_2 ناتجتين من عيينين مختلفين: أحدهما سريع ($H4_F$) يعطي إشارة تشبع عند $t_p = 0.05$ ms تقريباً والآخر بطيء ($H4_S$) يعطي إشارة تبدأ عند $t_p = 0.5$ ms تقريباً ولا تبلغ الإشباع حتى وإن جعل $t_p > 50$ ms. ويمكن أن نرى من الشكل 1 كذلك أن الإحماء الحراري يؤدي إلى نقصان إشارة H4 عند كل قيم t_p . ويؤدي الإحماء لمدة 100 دقيقة تقريباً إلى أن تصبح الإشارة غير قابلة للكشف عملياً في مجال t_p الصغيرة ($t_p \leq 0.5$ ms) بينما يبقى نحو 20% من الإشارة الابتدائية في مجال قيم t_p الكبيرة ($t_p \geq 10$ ms). ولا تتغير الإشارة المتبقية حتى بعد الإحماء لعدة ساعات في درجة حرارة أعلى (حتى 150°C).

وبغية تعيين المميزات الرئيسية لهذين العيينين سوف نعرض نتائجنا المستخلصة من سلسلة أطيف DLTS التي سجلناها لصفين من العينات المشعّة: عينات تعرضت لإحماء كامل وعينات لم تتعرض لأيّ إحماء. ونقصد بالإحماء الكامل زوال العيب السريع زوالاً كاملاً.

أ) العينات التي تعرضت لإحماء كامل

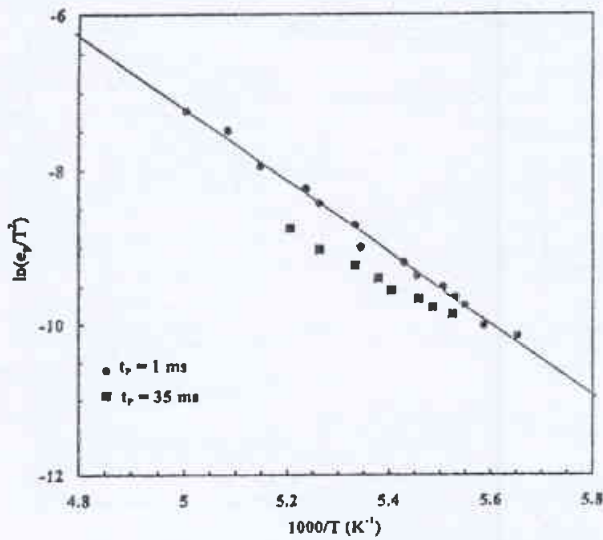
نجد لهذه العينات، حين تُطبق عليها نبضات ملء عريضة نسبياً ($t_p \geq 1$ ms)، ذروة H4 لا يستهان بها حتى بعد أن تكون قد تعرضت لإحماء لمدة عدة ساعات عند الدرجة 150°C . يزداد ارتفاع الذروة بازدياد t_p وفقاً لعلاقة الماء (2) (الشكل 2a). لقد عيّنا المقطع العرضي

حيث σ هو المقطع العرضي لأسر الثقوب و v السرعة الحرارية الوسطية للثقوب و p تركيز الثقوب الحرة و E_B طاقة حاجز الأسر و k ثابت بولتزمان.. وبما أن T_m تتزايد مع تزايد تواتر النبضات f فيمكن أن نغماً الجزء n_T الذي نشاء بواسطة تطبيق النبضات المناسبة التي عرضها t_p وتواترها f . ولكي تتمكن من كشف المصادر البطيئة فلا بد من زيادة الجداء $C_p t_p$ الذي يعين الجزء من المصادر الذي تملؤه النبضة. وبما أن C_p متناسب تقريباً مع f فينبغي إذن زيادة كل من t_p و f . إلا أن هناك حداً لهذه الزيادة في الطريقة التي تستخدم محلل lock-in المضاعف، وهو $t_p f < 1/4$.

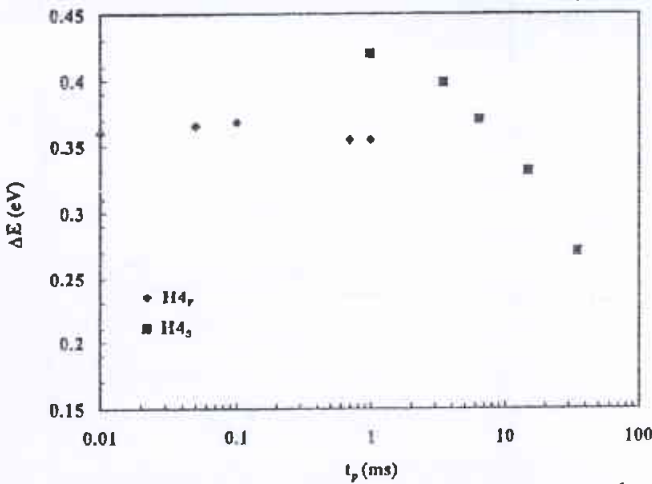
سوف نورد في المقطع التالي التفصيلات التجريبية، وفي المقطع III نورد النتائج المتعلقة ب H4. أما المقطعان IV و V فمكرسان لمناقشة النتائج وللخاتمة.

التفصيلات التجريبية

إن العينات المستخدمة في هذا البحث ماثلة للعينات التي كانت موضوع دراسة سابقة [6]. وهي مجموعة متماثلة من نثايات شوتكي المصنوعة من InP المشوب ب Zn بطريقة التنضيد من الطور السائل (LPE) على ركائز من InP من النوع p^+ المشوب ب Zn وقد جهزت التماسات الأومية على الجانب p^+ بواسطة الترسيب بتبخير Au-Zn، أما حواجز شوتكي فقد صنعت بتبخير Au-Ti على الجانب المنضد. وكان تركيز الثقوب، الذي عين من قياس الوسعية بدلالة الفولطية عند درجة الحرارة العادية، نحو $1.2 \times 10^{17} \text{ cm}^{-3}$. وقد أُجري تشبع العينات عند درجة الحرارة العادية باستخدام مسرع إلكترونات من النوع فاندوغراف في مجال طاقة الإلكترونات بين 0.3 و 1.6 MeV. واختيرت الجرعات الإلكترونية بطريقة تجعل تركيز الثقوب الحرة بعد التشبع لا تختلف عن تركيزها قبله بأكثر من 10%. ولكي يُضمن عدم ارتفاع درجة حرارة العينة أثناء التشبع أكثر من 10°C لم تزد كثافة تيار الإلكترونات عن $0.5 \mu\text{Acm}^{-2}$. سجلنا منحنيات C-V وأطيف DLTS بعد التشبع وبعد كل إحماء متساوي درجة الحرارة مع تطبيق انحياز عكسي مقداره 2.5 V أو بدونه. وقد اخترنا أن يكون معدل رفع درجة حرارة العينة أثناء تسجيل أطيف DLTS منخفضاً لا يتجاوز 3 درجات في الدقيقة وصممنا حاملاً خاصاً للعينة ذا سعة حرارية كبيرة لضمان التجانس الحراري بين العينة والمزدوجة الكهرحرارية. وقد وجدنا أن هذا الترتيب أساسي لكشف الانزياحات الصغيرة في درجة حرارة ذروة الطيف DLTS كما اخترنا سعة نبضة الماء ΔV صغيرة تساوي 1V فقط لنضمن البقاء في الجزء الخطي من المنحني الممثل لتغيرات ارتفاع الذروة S بدلالة ΔV وذلك من أجل قيمة t_p وهذا ما يقلل من أثر الحقل الكهربائي الداخلي [14]. سجلنا أطيف DLTS باستخدام مقياس الوسعية Boonton والمحلل lock-in المضاعف PAR-5204 لسلسلة من قيم عرض نبضة الماء t_p تتراوح قيمها بين 5×10^{-6} s و 5×10^{-2} s باستخدام سلسلة من قيم تواتر النبضة f في المجال من 1 وحتى $0.1/t_p$ Hz. وقسنا لكل ذروة



الشكل 3- بصمة H4, (في العينات المعرضة للإحماء) مسجلة عند $t_p = 1$ ms وعند $t_p = 35$ ms.



الشكل 4- طاقة تنشيط H4_p و H4_o بدلالة t_p .

3ΔT₁ للذروة H4. إن عرض ذروة DLTS عند منتصف ارتفاعها (FWHM) يمكن أن يحسب من اشتقاق العلاقة (6) بالنسبة إلى T [16]. وبين الشكل 6 أن قيم ΔT₁ المقاسة عند $t_p = 35$ ms تتعلق بشكل جيد مع المنحني النظري المرسوم من أجل ΔE = 0.4 eV بينما تكون القيم المقاسة عند $t_p = 1$ ms أعلى قليلاً من المنحني. وهذا ما سنناقشه كذلك في المقطع التالي.

ب) العينات التي لم تتعرض لأي إحماء

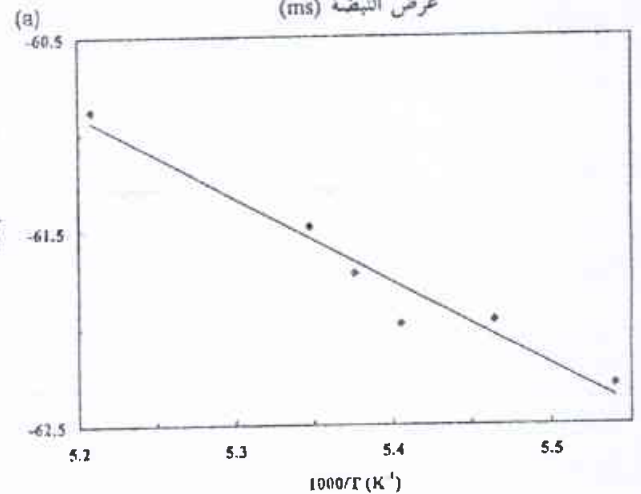
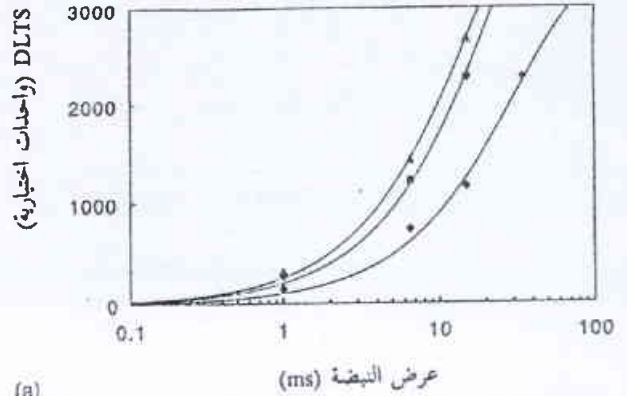
نستطيع بعد أن عينا C_{p1} للعب البطيء، أن نجعل الحد الأول في العلاقة (4) صغيراً بقدر ما نشاء إذا اخترنا قيمتي t_p و f اختياراً مناسباً. ذلك أننا يمكن أن نضع الشرط اللازم لملء العيب السريع لوحده كما يلي: $C_{p1}t_p < 0.01$. في هذه الحالة لا يملأ من العيب البطيء سوى أقل من 1%. وقد حسبنا المقطع العرضي للأسر لهذا العيب السريع σ_2 ، فوجدنا:

$$\sigma_2(T) = 1.9 \times 10^{-18} \exp(-0.05 \text{ eV}/kT) \text{ cm}^2 \quad (7)$$

وهو أعظم بخمس مراتب كبير من σ_1 عند الدرجة 150 K.

لأسر الثقوب σ_1 عند درجات حرارة مختلفة باستخدام محلل lock-in المضاعف [15] وقد وجدنا (الشكل 2a) أنه يستحيل من الناحية العملية ملء كل المصاد لتحديد N_T ، لكننا حصلنا على قيمة الإشباع ΔC_{max} بواسطة الموازنة الحاسوبية. وبين الشكل 2b الرسم البياني لتغيرات $\ln \sigma_1(T)$ بدلالة $1/T$ الذي استخلصنا منه العبارة التالية للمقطع العرضي σ_1 :

$$\sigma_1(T) = 8 \times 10^{-19} \exp(-0.19 \text{ eV}/kT) \text{ cm}^{-2} \quad (5)$$

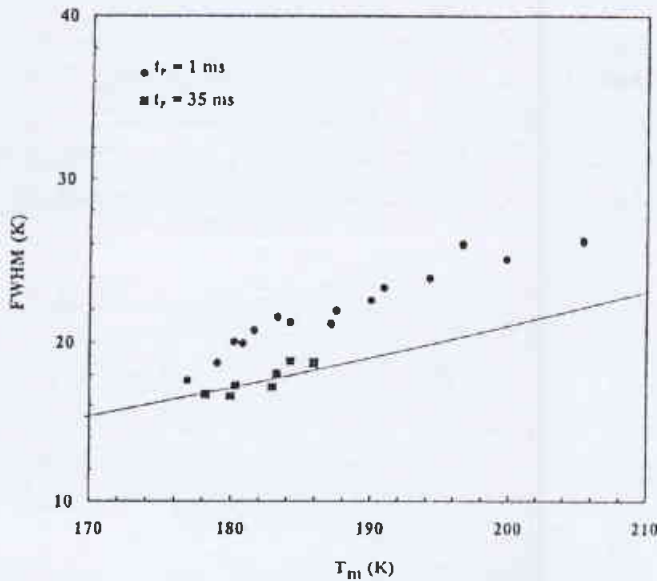


الشكل 2- (a) تغير ارتفاع الذروة H4 بدلالة عرض نبضة الماء (سلم لوغاريتمي) في العينات المعرضة للإحماء من أجل تواتر 1.40Hz (○) 3.33Hz (◻) 5.55Hz (Δ). تتفق النتائج التجريبية اتفاقاً جيداً مع المنحنيات المثلة لعلاقة الماء (2)، $\sigma_1(T)$ بدلالة $1/T$.

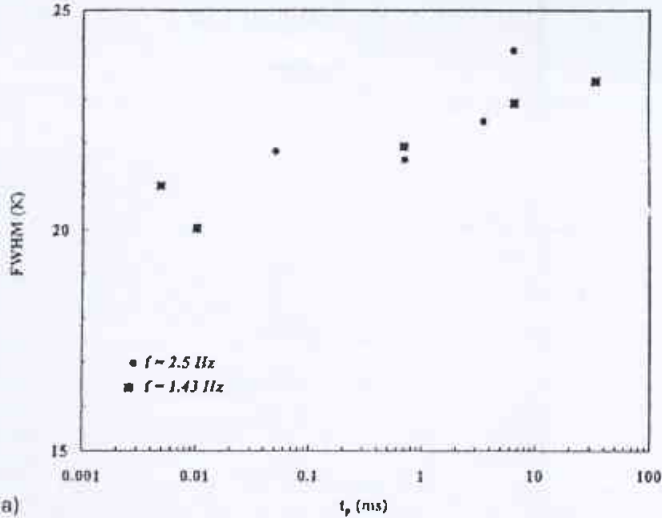
أما الخط البياني، المسمى بصمة (أو توقيع) العيب، فهو مبين في الشكل 3 الذي يعطي $\ln(e_p/T^2)$ بدلالة $1/T$ وفق العلاقة:

$$e_p = \gamma \sigma T_m^2 \exp(-\Delta E/kT_m) \quad (6)$$

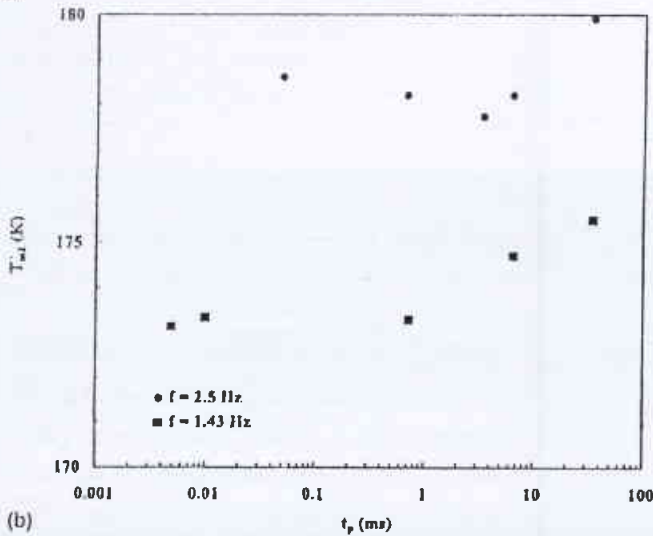
حيث e_p هو معدل إصدار الثقوب و γ ثابتة تتعلق بالكتلة الفعالة لحوامل الشحنات وبمعامل الانطباق degeneracy factor. وقد وجدنا أن طاقة التنشيط الظاهرية ΔE_1 المعينة من البصمة تتناقص من 0.42 إلى 0.3eV حين تزداد t_p من 1 إلى 50 ms كما هو مبين في الشكل 4 وهذا ما سنناقشه في المقطع التالي. وبين الشكلان 5a و 5b أن زيادة t_p تؤدي إلى زيادة في درجة حرارة النهاية العظمى T_{m1} وإلى تناقص في العرض



الشكل 6- العرض FWHM للذرة H4 بدلالة درجة الحرارة المسجلة عند $t_p = 1\text{ms}$ و $t_p = 35\text{ms}$ والمنحني النظري لتغير ΔT بدلالة T_m من أجل $\Delta E = 0.40\text{ eV}$.

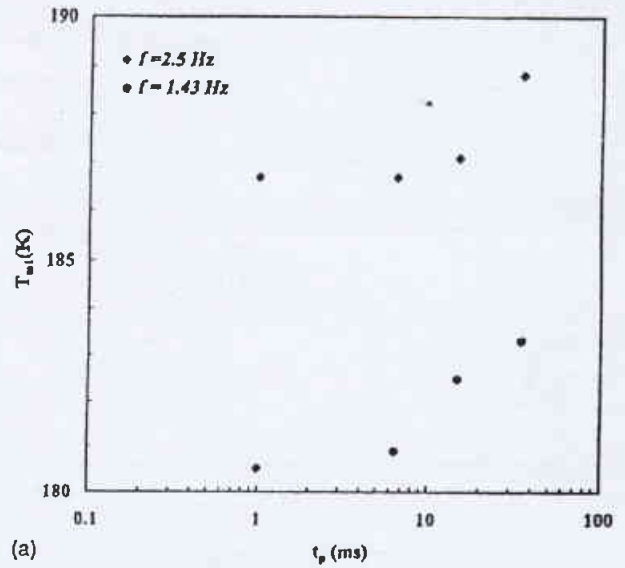


(a)

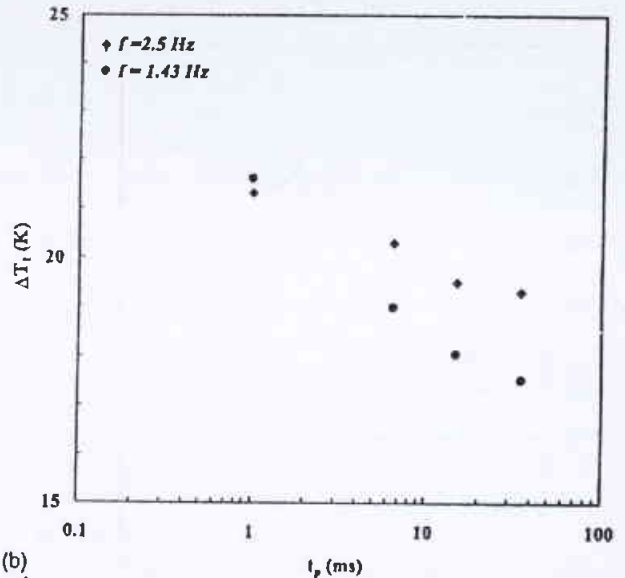


(b)

الشكل 7- العرض FWHM للذرة H4 (a)، ودرجة حرارتها (b) بدلالة t_p من أجل قيمتين مختلفتين للتواتر في العينات غير المعرضة للإحما.



(a)



(b)

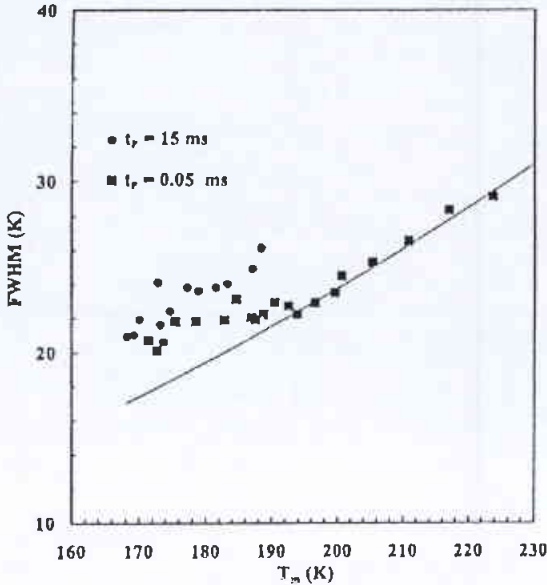
الشكل 8- درجة حرارة الذرة H4 وعرضها FWHM (b) بدلالة t_p من أجل قيمتين مختلفتين للتواتر في العينات المعرضة للإحما.

لقد وجدنا أن طاقة التنشيط الظاهرية ΔE_2 المعينة من بصمة العيب تساوي $0.36 \pm 0.01\text{ eV}$ كما وجدنا أنها لا تتغير تغيراً ملحوظاً مع تغير t_p (الشكل 4).

يظهر الشكلان 7a و 7b ازدياد عرض الذرة الكلي عند منتصف ارتفاعها بازدياد t_p ابتداءً من قيمة t_p المساوية تقريباً 1ms وهي القيمة المقابلة لبدء مساهمة H4 كما أن درجة حرارة الذرة T_m تبدأ بالازدياد عند قيمة t_p المذكورة نفسها. وقد قارنا في الشكل 8 قيم ΔT_2 المقاسة مع المنحني النظري المرسوم من أجل $\Delta E = 0.35\text{ eV}$ فوجدنا اتفاقاً جيداً جداً من أجل $t_p = 0.05\text{ ms}$ في مجال درجات الحرارة العالية، أما في مجال درجات الحرارة المنخفضة، ومن أجل $t_p = 15\text{ ms}$ فقد كان عرض الذرة أكبر بشكل واضح وسناقش ذلك في المقطع التالي.

الحقل في ديوداتنا فوجدناها تقارب $1.5 \times 10^7 \text{V/m}$ وهذا يخفض قيمة طاقة التنشيط المستخدمة من جزء البصمة الواقع في مجال درجات الحرارة المنخفضة تخفيضاً إضافياً.

اعتبرت الذروة H4 في كثير من الدراسات السابقة كما لو أنها تعود إلى نوع واحد فقط من العيوب، وفي ضوء نتائجنا الحالية التي بينا فيها



الشكل 8- العرض FWHM للذروة H4 بدلالة درجة حرارتها المسجلة عند $t_p = 0.05 \text{ms}$ و $t_p = 35 \text{ms}$ والمنحني النظري لتغير ΔT بدلالة T_m من أجل $\Delta E = 0.35 \text{eV}$.

بجلاء أن نوعين على الأقل من العيوب يساهمان في هذه الذروة لا بد من إعادة النظر في هذه الدراسات. وبصورة خاصة قيس في العمل [6] معدل إحداث H4 كتابع لطاقة إلكترونات التشعيع وذلك من أجل اتجاهي تشعيع متعاكسين هما [111]P و [111]In. وخلصت الدراسة إلى أن العيب المؤدي إلى الذروة H4 ينشأ في شبكة الفسفور الفرعية. لقد جرى قياس ارتفاع الذروة في المرجع [6] بعد التشعيع (أي قبل أي إحماء) باستخدام نبضات ملاء عرضها 5ms وهذا يعني أن الذروة المقاسة تقابل $H_4 + H_4F$. ويبين الشكل 9a النتائج السابقة نفسها إنما بعد طرح H_4 . أما نتائج القياسات التي أجريت على الذروة المثبتة المسجلة بعد الإحماء (لمدة ساعة عند الدرجة 150°C)، وهي التي تقابل H_4 ، فترى في الشكل 9b. وقد صححنا في هذا الشكل قيم معدل الإحداث η بحيث تأخذ بالحسبان أن النبضة التي عرضها 5ms لا تملأ سوى نحو 20% من هذه العيوب. ونستطيع أن نستنتج من الجزء المتعلق بالطاقات المنخفضة من هذين الشكلين، حيث نرى أن $\eta[111]P > \eta[111]In$ ، أن كلاً من H_4F و H_4 ينشأ في الشبكة الفرعية P. غير أن السمة الهامة لهذين الشكلين هي أنه حين تزداد طاقة الإلكترونات يميل كل من معدلي الإحداث $\eta[111]P$ و $\eta[111]In$ لازدياداً طفيفاً بالنسبة للعيوب H_4F ، في حين أنه بالنسبة للعيوب H_4 يميل كلا المعدلين إلى الانخفاض خلافاً لسلوك الإشباع الذي يتنبأ به نموذج ماكنلي - فيشباخ [18] للتصادم

لقد تمكنا من فصل الذروة H4 إلى مركبتين بسبب الاختلاف الكبير بين مقطعيهما العرضيين للأمر وبين معدلي الزوال لهما. وقد أتاح لنا هذا أن نعيّن المميزات الرئيسة لهذين العيين. ويمكن تفسير السلوك اللاأسي لزوال H4 في العينات المشوبة بـ Zn [8,5] إذا أخذنا بعين الاعتبار أن الذروة H4 المقاسة مؤلفة من مركبتين إحداهما تزول عند درجة الحرارة T بمعدل زوال K في حين أن معدل زوال المركبة الأخرى عند درجة الحرارة هذه صغير إلى حد كبير:

$$S = S_1 + S_2 \exp[-K(T)t] \quad (8)$$

حيث تمثل S_1 المركبة المستقرة الناجمة عن العيب البطيء بينما تمثل S_2 المركبة الناجمة عن العيب السريع و t مدة الإحماء. وتشير حقيقة أن الزوال اللاأسي يلاحظ في العينات المشوبة بـ Zn وليس في تلك المشوبة بـ Cd إلى أن العيب البطيء، المستقر، ينسب إلى مركب مؤلف من الشائبة Zn و عيب. ولا بد من إجراء اختبارات أخرى على InP المشوب بـ Cd للتأكد من عدم تشكل العيب البطيء فيه.

لم تكشف لنا ساعات الذروة H4 المقاسة قبل المعالجة بالحرارة (التي تزيل H_4F) وبعدها أية زيادة في H_4 نتيجة لتحويل $H_4F \rightarrow H_4$ محتمل. وهذا يدل على أن كلا العيين ينشآن أثناء التشعيع. أما ازدياد كل من العرض FWHM و T_m مع ازدياد $t_p > 1 \text{ms}$ الذي لاحظناه في العينات غير المعرضة لأي إحماء (الأشكال 8,7b,7a) فيمكن تفسيره بسهولة إذا أخذنا في الحسبان وجود مركبتي H4 السريعة والبطيئة.

أما ازدياد FWHM الملاحظ في مجال درجات الحرارة المنخفضة من الشكل 8 فمن المحتمل أن يكون ناجماً عن تأثير الحقل الكهربائي الداخلي على معدل الإصدار، هذا التأثير الذي تكون أهميته أكبر عند درجات الحرارة المنخفضة [17] وقد يكون تناقص FWHM مع ازدياد t_p الذي لاحظناه في العينات المعرضة للإحماء (الشكل 5b) ناتجاً عن وجود مصيدة مشبعة ذات درجة حرارة T_m أدنى بقليل وذات تركيز منخفض. إن زيادة t_p تزيد من مساهمة H_4 حتى يصبح هو المهيمن في النهاية في حين تبقى مساهمة العيب المشبع ثابتة. وهذا ما يؤكد الازدياد الحاصل في T_m مع ازدياد t_p كما هو ظاهر في الشكل 5a. ويظهر كذلك في الشكل 6 أن قيم العرض FWHM المقاسة عند $t_p = 1 \text{ms}$ في العينات المعرضة للإحماء هي أكبر من تلك المقاسة عند $t_p = 35 \text{ms}$.

إن تناقص طاقة التنشيط الظاهرية ΔE_1 في العينات المعرضة للإحماء مع ازدياد t_p (الشكل 4) عائد إلى حقيقة أنه عندما يزداد t_p تزداد T_m كذلك (انظر الشكل 5a). وهذا يفسر انزياح النقاط التجريبية من أجل $t_p = 35 \text{ms}$ نحو قيم T_m الأعلى مقارنة بتلك المقاسة من أجل $t_p = 1 \text{ms}$ كما هو واضح من الشكل 3. إلا أنه لا يمكن إجراء القياسات عندما تكون قيمة t_p كبيرة إلا عند التواترات المنخفضة فقط أي عند قيم T_m المنخفضة وفي مجال ضيق نسبياً من $1/T$ ، ولذلك لا تكون قيمة التنشيط المستنتجة دقيقة. لقد لاحظنا (الشكل 3) نقصاناً بسيطاً في ميل البصمة عند طرفها من ناحية درجات الحرارة المنخفضة. وهذا عائد على الأرجح إلى تأثير الحقل الكهربائي الداخلي الذي تزداد أهميته عند قيم T_m المنخفضة في الديودات عالية درجة الإشابة. وقد حسبنا قيمة هذا

(3) ينشأ كل من H_{4F} و H_{4s} في الشبكة الفرعية P (الشكلان 9a و 9b).
 (4) بينما تؤدي التصادمات الثانوية إلى زيادة طفيفة في معدل إحداثيات H_{4F} عند طاقات إلكترونات التشعيع العالية، يلاحظ العكس بالنسبة إلى H_{4s} .

(5) إن معدل زوال H_{4F} أعلى بكثير من مثيله ل H_{4s} ويؤول H_{4F} وفق حركية من المرتبة الأولى. ويعتمد معدل زواله اعتماداً كلياً على شحنته كما يمكن إزالته بواسطة حقن الحوامل الأقلية.

(6) إن المقطع العرضي لأسر الثقوب (عند الدرجة $150^\circ K$) وكذلك طاقة حاجز الأسر هما أصغر كثيراً للعيوب H_{4s} منها للعيوب H_{4F} .

يمكننا تحديد هوية العيوب H_{4F} بصورة تتفق مع الحقائق 1-5 بأحد شكلين: إما أن تكون فجوة الفسفور V_p أو يكون زوج فرنكل V_p-P_i المؤلف من فجوة وحشوة. وهذا يتفق مع ما اقترحه عدد من الباحثين [8,7,2]. أما H_{4s} فيمكن أن نحدد هويته مبدئياً على أنه V_p-Zn . وفي الحقيقة فإن التناقض الملاحظ في معدل الإحداثيات مع ازدياد طاقة الإلكترونات يعني انخفاض احتمال تشكيل V_p مجاورة لذرة Zn لتشكيل فجوات مضاعفة (V_p-P_p) أو مركبات أخرى نتيجة للتصادمات الثانوية بين ذرة P المزاحة وذرة P في الجوار الثاني أو حتى ذرة In في الجوار الأول. وينتج هذا بسبب ازدياد كل من زاوية الارتداد الوسطية والطاقة المنتقلة إلى الذرة المزاحة مع ازدياد طاقة الإلكترونات [21].

من الواضح أنه لا بد من إجراء المزيد من الدراسات النظرية لأخذ المميزات النوعية التي وجدناها للعيوب H_{4F} و H_{4s} بالحسبان. أما من وجهة النظر التجريبية فسيكون من المفيد تبيان ما إذا كان معدل إحداثيات H_{4s} يزداد بازدياد تركيز Zn.

الخاتمة

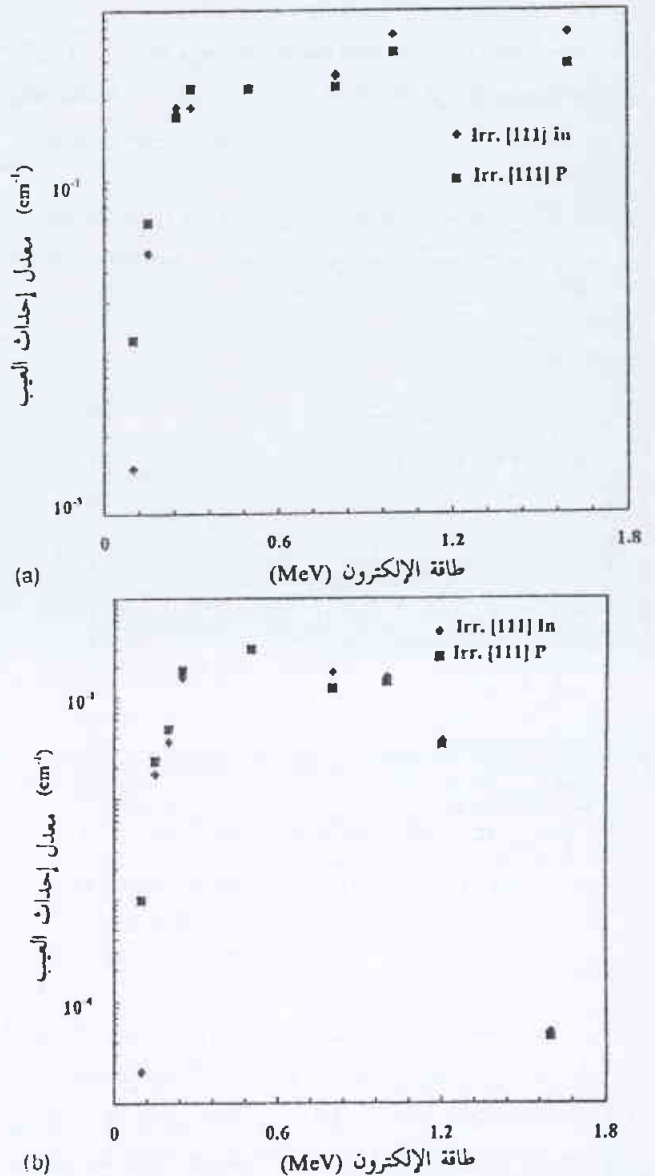
اقترحنا نموذجاً بسيطاً مفاده وجود مصيدتي ثقوب متميزتين تحدثان أثناء التشعيع وتساهمان في الذروة H4 لطيف DLTS: واحدة سريعة (H_{4F}) ذات مقطع عرضي كبير لأسر الثقوب وطاقة تنشيط منخفضة ($\Delta E_2 = 0.36$ eV) وتزول عند الدرجة $110^\circ C$ ، والأخرى بطيئة (H_{4s}) ذات مقطع عرضي للأسر أصغر كثيراً وذات طاقة تنشيط أعلى ($\Delta E_1 = 0.42$ eV) وهي مستقرة لا تزول حتى عند درجات حرارة أكثر ارتفاعاً. ومن المحتمل وجود عيب ثالث ذي تركيز منخفض يساهم في الذروة نفسها. يفسر هذا النموذج كافة النتائج التجريبية ويفسر على وجه خاص السلوك اللاأسي لزوال H4 في العينات المشوبة ب Zn كما يفسر انزياح درجة حرارة الذروة لدى الإحماء وتغير عرضها بتغير عرض نبضة الملاء t_p .

وعلاوة على ذلك فقدمكننا تحليل النتائج المتعلقة بمعدلات الإحداثيات اللامتناحية من أن نبين أن كلا العيين (H_{4F} و H_{4s}) ينتميان إلى شبكة الفسفور الفرعية.

REFERENCES

[1] M.Yamaguchi, C. Uemura, A. Yamamoto, and A Shibukawa, Jpn. J. Appl. Phys., Part I 23, 30 (1984).

المراجع



الشكل 9- معدل إحداثيات العيب H_{4F} (a) والعيوب H_{4s} (b) بدلالة طاقة إلكترونات التشعيع في الاتجاهين $[111]P$ و $[111]In$.

الأولي إلكترون - ذرة. ويدل هذا السلوك على دور محتمل للتصادمات الثانوية ذرة - ذرة في إحداث هذه العيوب [20,19,6,5]. إلا أن أية محاولة لتحديد هوية العيين المسؤولين عن H_{4F} و H_{4s} لا بد أن تأخذ بعين الاعتبار الحقائق التالية:

(1) يوجد H_{4F} في المادة المشوبة ب Cd أو ب Zn بينما لا يوجد H_{4s} إلا في المادة المشوبة ب Zn.

(2) ينشأ كل من H_{4F} و H_{4s} أثناء التشعيع بالإلكترونات في درجة الحرارة العادية (انظر الشكل 1) ولم تتمكن من إيجاد مؤشر على تحول أحدهما إلى الآخر أثناء الإحماء.

[2] M. Yamaguchi and K. Ando, J. Appl. Phys. 63, 5555 (1988).

- [3] A. Sibille, J. Suski, and M. Gilleron, *J. Appl. Phys.* 60, 595 (1982).
- [4] J. Suski, A. Sibille, and J. C. Bourgoin, *Solid state Commun.* 49, 875 (1984).
- [5] A. Sibille, J. Suski, and G. LeRoux, *Phys. Rev. B* 30, 1119 (1984).
- [6] B. Massarani and J. C. Bourgoin, *Phys. Rev. B* 34, 2470 (1986).
- [7] K. Ando, M. Yamaguchi, and C. Uemura, *Phys. Rev. B* 34, 3041 (1986).
- [8] A. Sibille, *Phys. Rev. B* 35, 3929 (1987).
- [9] A. sibille, *Solid State Commun.* 46, 673 (1983).
- [10] K. Ando, M. Yamaguchi, H Yamamoto, and C. Uemura, in Title, edited by Editor(s), Full Journal Title (Publisher, City, 1985), p. 770.
- [11] T. Bretagnon, G. Bastide, and M. Rouzeyre, *Phys. Rev. B* 40, 3749 (1984).
- [12] S.R. Messenger, R. J. Walters, and G. P. Summers, *J. Appl. Phys.* 71, 4201 (1992).
- [13] T. Bretagnon, G. Bastide, and M. Rouzeyre, *Phys. Rev. B* 41, 1028 (1990).
- [14] D. Pons, P. M. Mooney, and J. C. Bourgoin, *J. Appl. Phys.* 51, 2038 (1980).
- [15] E. Simoen, P. Clauws, M. Lamon, and J. Vennik, *Semicond. Sci. Technol.* 1, 53 (1989).
- [16] D. Pons, These 3ème cycle, Université Paris 7, 1979.
- [17] G. Vincent, A.Chantre, and D. Bois, *J. Appl. Phys.* 50, 5484 (1979).
- [18] W. A. McKinley, Jr. and H. Feshbach, *Phys. Rev.* 74, 1759 (1948).
- [19] D. Pons and J. C. Bourgoin, *Phys. Rev. Lett.* 47, 1293 (1981).
- [20] D. Pons, *J. Appl. Phys.* 55, 2839 (1984).
- [21] F. Seitz and J. S. Koehler, In *Solid State Physics*, edited by H. Ehrenreich, F. Seitz, and Turnbull (Academic, New York, 1956), Vol.2. ■

تحديد عمر الجيل للترونات اللحظية للمفاعل منسر بقياس تابع الانتقال التروني*

علي حنون - إبراهيم عميس
قسم الفيزياء - هيئة الطاقة الذرية السورية - ص.ب 6091 - دمشق - سورية

ملخص

تم في هذا العمل تحديد عمر الجيل للترونات اللحظية λ والحصة الكلية للترونات المتأخرة β في مفاعل البحث السوري منسر. لتحديد كلتا القيمتين قيس تابع الانتقال للدائرة المفتوحة باعتماد طريقة التغير القفزي للتفاعلية. لقد تم إحداث التغير القفزي على التفاعلية انطلاقاً من الحالة المستقرة للمفاعل عند استطاعة عمل متدنية وذلك بسحب عتبة من الكادميوم كانت قد أدخلت مسبقاً إلى أحد مواضع التشعيع الداخلية قبل إقلاع المفاعل بواسطة نظام إرسال العينات الهوائي. بقياس التغير الزمني للتفاعلية والتدفق التروني النسبي، والاستعانة بتقريب القفزة اللحظية للتدفق التروني تم حساب الحصة الكلية للترونات المتأخرة حيث وجد أنها تساوي $0.00017 + 0.00783$. بحساب تابع الانتقال وتحديد توابع التوفيق الموافقة (fitting function) تم تحديد عمر الجيل للترونات الضوئية حيث وجد أنه يكافئ $1.57 + 74.6 \mu s$. لقد وجد أن كلتا القيمتين تتفقان جيداً مع القيم النظرية الواردة في تقرير الأمان.

الكلمات المفتاحية: عمر الجيل للترونات اللحظية، الحصة الفعالة للترونات المتأخرة، تابع الانتقال التروني، مفاعل البحث منسر، التروونات الضوئية، التغير القفزي للتفاعلية.

التجربة لإحداث تغير قفزي في التفاعلية عن طريق إرسال عينة من الكادميوم متوضعة ضمن كبسولة من البولي أثيلين - تستخدم عادة في أغراض التحليل بالتنشيط التروني - إلى أحد مواضع التشعيع الداخلية.

الخلفية النظرية

باعتماد تقريب التحريك النقطي يمكن صياغة المعادلات التفاضلية التي تصف السلوك الزمني للتدفق التروني ومولدات التروونات المتأخرة والضوئية (بسبب البريليوم العاكس) بالشكل:

$$\frac{dn}{dt} = \frac{\rho - \beta}{\Lambda} n + \sum_{i=1}^6 \lambda_i C_i^d + \sum_{j=1}^9 \lambda_j C_j^p \quad (1)$$

$$\frac{dC_i^d}{dt} = \frac{\gamma^d \beta_i^d}{\Lambda} n - \lambda_i C_i^d \quad i = 1 \dots 6 \quad (2)$$

$$\frac{dC_j^p}{dt} = \frac{\gamma^p \beta_j^p}{\Lambda} n - \lambda_j C_j^p \quad j = 1 \dots 9 \quad (3)$$

حيث n الكثافة الترونية، p التفاعلية، β الحصة الكلية للترونات المتأخرة والضوئية و λ عمر الجيل للترونات اللحظية. C_i^d , C_j^p التراكيز الذرية، β_i^d , β_j^p الحصص النسبية و λ_i , λ_j ثوابت التفكك للترونات الضوئية والمتأخرة على التوالي. γ^d , γ^p المعاملات الفعالة للترونات الضوئية والمتأخرة بقيم نظرية تبلغ 1.23 و 0.246 (MNSR, 1992).

مدخل

يعرف عمر الجيل للترونات اللحظية، أو ما يسمى بزمن التوالد، على أنه الزمن الوسطي الذي يحتاجه جيل من التروونات لتوليد جيل جديد من التروونات اللحظية بواسطة عملية الانشطار. تعتبر هذه الثابتة الفيزيائية المعامل الأهم في دراسة ديناميكية المفاعل [1,2] ونظراً لصغرهما وطبيعية العلاقة التي تربطها بثوابت المفاعل الأخرى فإن قياسها بشكل مباشر يمثل عملية صعبة، لذلك يُصار عادة إلى قياس النسبة β/λ اعتماداً على تقنية تابع الانتقال. لقد تم في هذا العمل قياس تابع انتقال الدائرة المفتوحة للمفاعل منسر الذي ينتمي إلى مرتبة مفاعلات البحث ذات التدفق التروني المنخفض من نوع الحوض في بركة (tank-in-pool reactor) بطاقة حرارية منخفضة تبلغ 30 kW. يستخدم اليورانيوم ذو الإغناء العالي كوقود والماء الخفيف كمهدئ ومبرّد. ومعدن البريليوم كعاكس يحيط بقلب المفاعل. يتم التخلص من الطاقة الحرارية المتولدة في القلب عن طريق التبريد بالحمل الطبيعي. يمتلك المفاعل عنصر تحكم واحد متوضع في مركز القلب، يستخدم للتحكم بالاستطاعة، وتعديل التفاعلية وإطفاء المفاعل عند الضرورة. يأخذ التدفق التروني الحراري قيمته العظمى في موضع التشعيع الداخلي ضمن عاكس البريليوم حيث تبلغ $1 \times 10^{12} \text{ n cm}^{-2}\text{s}^{-1}$. يستخدم المفاعل لأغراض التحليل بالتنشيط التروني وإنتاج بعض النظائر قصيرة العمر إضافة لتدريب الكوادر في مجال التقنية النووية.

يهدف هذا العمل إلى إظهار المنهجية التجريبية المستخدمة في قياس حصة التروونات المتأخرة وعمر الجيل للترونات اللحظية. لقد تم تحقيق

* نشرت ورقة البحث هذه في مجلة (Nuclear Engineering and Design, (1999)

كافة المفعولات الترابطية والاقصصار على تأثير النيوترونات المتأخرة فقط. في مقام العلاقة السابقة يمكن إهمال الثابتة λ نظراً لصغرهما بالمقارنة مع القيمة β/Λ .

طرائق إجراء التجربة

أجريت ثلاث تجارب عند سويات الاستطاعة البدئية النسبية 0.2%، 2.0% و 20% بالنسبة للاستطاعة الاسمية باستخدام عينة من الكاديوم بتفاعلية سالبة تبلغ 1.07 mk.

في كل من هذه التجارب تم إرسال عينة الكاديوم إلى أحد مواضع التشعيع الداخلية ضمن عاكس البريليوم باستخدام نظام إرسال العينات الهوائي (pneumatic rabbit system) في الحالة الباردة للمفاعل (المفاعل مطفأ). ثم جرى بعدها إقلاع المفاعل في الطور الآلي وتحويله بعد ذلك إلى الطور اليدوي (دائرة مفتوحة) بمجرد وصول المفاعل واستقراره عند سوية الاستطاعة المختارة. بعد ذلك بدئ بتسجيل الاستطاعة ثم سحبت عينة الكاديوم من المفاعل مع متابعة تسجيل المعطيات لبضع دقائق لاحقة. لقد سجلت قيم الاستطاعة بتواتر عالٍ بلغ 125 Hz. وتم تجميع الإشارات المتقطعة من حجرة الانشطار وتسجيلها بواسطة المحول التماثلي الرقمي ADVANTECH PCL-816 المعد للقياسات الانتقالية في المفاعل. ثم جرى بعدها معالجة القيم المسجلة بواسطة البرنامج NOISETRA المعد تحت نظام GENIE.

حساب قيمة λ و β

لتبيان الفارق الزمني بين إصدار نواجح الانشطار للنيوترونات المتأخرة وإصدار البريليوم العاكس للنيوترونات الضوئية المتأخرة، تقارن أعمار النصف لنواجح الانشطار وبواعث النيوترونات الضوئية الأقصر عمراً (الجدول 1). تؤثر هاتان الفئتان بشكل أسرع من البواعث الأخرى على الحصة الكلية للنيوترونات المتأخرة والضوئية بسبب أعمار نصفها القصيرة. إذا أخذنا على سبيل المثال مولدي النيوترونات المتأخرة الأقصر عمراً (ذات ثوابت التفكك الأكبر) التي تظهر حصة نسبية من مجموع النيوترونات المتأخرة

لتبسيط الحل تم جمع النيوترونات المتأخرة والضوئية المتأخرة إلى مجموعة واحدة [3, 4] بقيم وسطية:

$$C = \sum_{i=1}^6 C_i^d + \sum_{j=1}^9 C_j^p \quad (4)$$

$$\beta = \gamma^d \sum_{i=1}^6 \beta_i^d + \gamma^p \sum_{j=1}^9 \beta_j^p \quad (5)$$

$$\lambda = \frac{\gamma^d \sum_{i=1}^6 \beta_i^d}{\sum_{i=1}^6 \frac{\beta_i^d}{\lambda_i}} + \frac{\gamma^p \sum_{j=1}^9 \beta_j^p}{\sum_{j=1}^9 \frac{\beta_j^p}{\lambda_j}} \quad (6)$$

بحيث أن المعادلات (1)، (2)، (3) تأخذ الشكل:

$$\frac{dn}{dt} = \frac{\rho - \beta}{\Lambda} n + \lambda C \quad (7)$$

$$\frac{dC}{dt} = \frac{\beta}{\Lambda} n - \lambda C \quad (8)$$

بافتراض أن التفاعلية هي المتغير الوحيد [1] وباستخدام نظرية الانزياحات الصغيرة حول القيم البدئية (n_0, c_0, ρ_0) بالشكل:

$$\delta n = n(t) - n_0, \quad \delta \rho = \rho(t) - \rho_0, \quad \delta c = c(t) - c_0$$

يمكننا باستبدال هذه الانزياحات في المعادلتين (7) و (8) ونقل الحل إلى المستوى اللاابلاسي الحصول على الشكل الآتي لتابع انتقال الدارة المفتوحة:

$$G(p) = \frac{\delta n(p)}{\delta \rho} = \frac{n_0(p + \lambda)}{\Lambda p(p + \lambda + \beta/\Lambda)} \quad (9)$$

يسمى هذا التابع أحياناً بتابع الاستطاعة الصفرية [3,4,5] لأن صلاحيته تقتصر على الاستطاعة المنخفضة للمفاعل حيث يمكن إهمال

الجدول 1- ثوابت النيوترونات المتأخرة لليورانيوم-235 والمتأخرة للبريليوم [1,6,7].

النيوترونات المتأخرة		النيوترونات الضوئية	
حصة المجموعة $\beta_i^d \times 10^{-3}$	ثابتة التفكك λ_i [sec ⁻¹]	حصة المجموعة $\beta_j^p \times 10^{-6}$	ثابتة التفكك λ_j [sec ⁻¹]
0.246	0.0127	20.7	2.265×10^{-2}
1.363	0.0317	36.6	8.886×10^{-3}
1.203	0.115	18.5	3.610×10^{-3}
2.605	0.311	36.8	7.453×10^{-4}
0.819	1.4	3.66	2.674×10^{-4}
0.167	3.87	32.0	6.191×10^{-5}
$\Sigma \beta_i^d = 6.4 \times 10^{-3}$		2.6	1.591×10^{-5}
		0.38	2.478×10^{-6}
		0.57	6.098×10^{-7}
		$\Sigma \beta_j^p = 1.5175 \times 10^{-4}$	

حساب قيمة λ

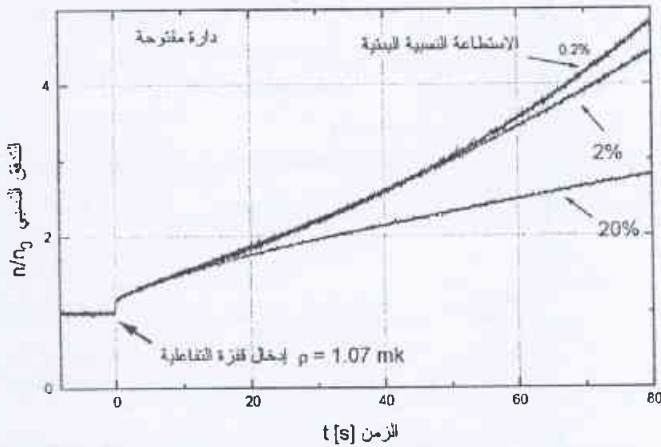
حساب قيمة ثابتة التفكك الوسطية لمولدات النيوترونات المتأخرة تقوم بحل المعادلتين التفاضليتين (7)، (8) لأجل التغير القفزي على التفاعلية فنحصل على العلاقة [9,10]:

$$\frac{n(t)}{n_0} = \frac{\beta}{\beta - \rho} \exp\left(\frac{\rho\lambda}{\beta - \rho} t\right) - \frac{\rho}{\beta - \rho} \exp\left(\frac{\rho - \beta}{\Lambda} t\right) \quad (12)$$

يمثل الحد الثاني في هذه العلاقة مفعول النيوترونات اللحظية الذي يتلاشى بشكل شبه تام بعد انقضاء القفزة اللحظية ($t > 10^{-1}$ s) وبالتالي يمكن كتابة علاقة توزع التدفق بالشكل:

$$\frac{n(t)}{n_0} \cong \frac{\beta}{\beta - \rho} \exp\left(\frac{\lambda\rho}{\beta - \rho} t\right) \quad (13)$$

نفترض الآن أن الزمن الوسطي اللازم لتشكيل نسبة التوازن الجديدة بين النيوترونات اللحظية والمتأخرة يقع بحدود 10 ثانية (وهذه قيمة واقعية بالنسبة للعمر الوسطي لمولدات النيوترونات المتأخرة كما سنرى لاحقاً). يمكننا الآن بعد تحليل المعطيات التجريبية (regression analysis) (الشكل 1) تحديد توابع التوفيق الموافقة عند الاستطاعة 0.2% و 2% و 20% ضمن المجال الزمني الذي يسمح بإهمال مفعول الترابطات كما أسلفنا.



الشكل 1- التوزيع النسبي للتدفق النيوتروني نتيجة تغير قفزي على التفاعلية لأجل سوياست استطاعة بدئية مختلفة.

$$\text{Fit}_{0.2\%} = 1.1626 \exp(0.01604t) \quad t \geq 10 \text{ s} \quad (14)$$

$$\text{Fit}_{2\%} = 1.1737 \exp(0.01647t) \quad 10 \leq t \leq 50 \text{ s} \quad (15)$$

بمقارنة هذه التوابع مع العلاقة (12) يمكننا حساب القيمة الوسطية لثابتة التفكك λ .

حساب تابع الانتقال النيوتروني

لقراءة ومعالجة قيم التدفق بتواتر قدره 125 Hz ($\Delta t = 8 \times 10^{-3}$ s) تم تطوير البرنامج LAPT.FOR بلغة الفورتران الذي يقوم بمعالجة القيم المقاسة وحساب تابع الانتقال.

تبلغ حوالي 15%، نجد أن عمر النصف لكليهما يبلغ 0.675 s. للمقارنة نجد أن مولدي النيوترونات الضوئية الأقصر عمراً بحصة نسبية تبلغ 13% من الحصة الكلية للنيوترونات الضوئية تظهر عمر نصف يبلغ 30 s. وبالتالي فإن تأثير النيوترونات الضوئية أكثر تأخراً بكثير من النيوترونات المتأخرة الصادرة عن نواتج الانشطار.

لحساب الحصة الكلية للنيوترونات المتأخرة والضيوية المتأخرة نراقب السلوك الزمني للتدفق بعد التغير القفزي للتفاعلية مباشرة وذلك لأجل فترة زمنية قصيرة ($t_p = 0.1$ s). هذه الفترة الزمنية لا تمثل سوى 14% من مجموع عمري النصف لتأثير الانشطار الأقصر عمراً وحوالي 0.3% من عمر النصف لباعث النيوترونات الضوئية الأقصر عمراً. برغم ذلك فإن هذه الفترة القصيرة كبيرة بالنسبة لعمر توالد النيوترونات اللحظية ($\sim 10^{-4}$ s) بما يكفي لتوالد 100 إلى 1000 جيل جديد منها. بناءً عليه فإن تركيز نواتج الانشطار لم يتغير خلال هذه الفترة إلا بشكل طفيف عن قيمته البدئية بحيث أن معدل إصدار النيوترونات المتأخرة ما زال تقريباً عند نفس السوية الأولية قبل تغير التفاعلية. لذلك فإن السوية التي ارتفع إليها التدفق خلال هذا الزمن نتجت من معدل التوالد الجديد للنيوترونات اللحظية مضافاً إليه توالد النيوترونات المتأخرة عند الوضعية القديمة التي لم تتغير بعد [8] إن استقرار توالد النيوترونات اللحظية لأجل الوضع الجديد الناتج من التغير القفزي للتفاعلية يحدث بشكل سريع جداً بحيث ينمو التدفق قفزياً (prompt jump). بالاعتماد على الاستنتاجات السابقة يمكن حساب توزع التدفق ضمن هذا المجال الزمني على اعتبار عدم تغير تركيز نواتج الانشطار خلال ذلك عن القيمة البدئية ($C(t) = C_0$). بتعويض هذه القيمة في العلاقتين (7) و (8) نحصل على معادلة تفاضلية خطية غير متجانسة من الدرجة الأولى تقبل الحل الآتي:

$$\frac{n(t)}{n_0} = \exp\left(\frac{t}{T_p}\right) + \frac{\beta}{\beta - \rho} \left[1 - \exp\left(\frac{t}{T_p}\right) \right], \quad (10)$$

$$T_p = \frac{\Lambda}{\rho - \beta}$$

بما أن التجربة تحقق الحرجية المتأخرة ($\rho < \beta$) فإن قيمة الدور T_p سالبة وتقع بحدود 1×10^{-2} s. أي أنه خلال الفاصل الزمني 0.1 s سيتلاشى الحد الأسّي في المعادلة السابقة بشكل كامل تقريباً. بإهمال هذا الحد في المعادلة السابقة وصياغة المعادلة من جديد نحصل على الصيغة التقريبية للحصة الكلية للنيوترونات المتأخرة كتابع للتدفق النسبي والتفاعلية:

$$\beta = \frac{\rho}{1 - \frac{n_0}{n(t + dt)}} \quad (11)$$

حيث n_0 تمثل التدفق النيوتروني قبل تغير التفاعلية ($t = 0$) و $n(t + dt)$ القيمة الجديدة التي قفز إليها التدفق بعيد قفزة التفاعلية. تعطي هذه العلاقة تقريباً جيداً لحساب الحصة الكلية للنيوترونات المتأخرة وذلك بقياس سوية التدفق النيوتروني قبل وبعد التغير القفزي لقيمة التفاعلية المعروفة سلفاً.

التحليلية التقريبية لتابع الانتقال المعطاة بالعلاقة (9) تم إعطاء توابع التوفيق المقابلة ومنه تم حساب النسبة Λ/β .

النتائج والمناقشة

يظهر الجدول 2 حصة الترونات المتأخرة وثابتة التفكك الوسطى بينما يظهر الجدول 3 القيم الوسطى للنسبة Λ/β ولزمن التوالد Λ المحسوبة لأجل سويات الاستطاعة الثلاث.

الجدول 2- حساب قيمة β و λ تجريبياً لإجراء تغير قفزي على التفاعلية بقيمة 1.07 mk عند استطاعات مختلفة.

الاستطاعة النسبية (p/p ₀) [%]	التدفق التروني النسبي (n/n ₀) بعد 10 ⁻¹ sec	الحصة الكلية للترونات المتأخرة β	ثابتة التفكك الوسطية لنواتج الانشطار λ [sec ⁻¹]
0.2	1.16267±0.042	0.00806	0.0986
2	1.17370±0.025	0.00776	0.0948
20	1.16590±0.020	0.00766	-
$\sigma \pm$ القيمة الوسطية		0.00783 ± 0.00017	0.0967 ± 0.0018

الجدول 3- القيم المقيمة ل Λ/β و Λ عند سويات الاستطاعة المختلفة.

الاستطاعة النسبية (p/p ₀) [%]	Λ/β [s]	عمر الجيل للترونات Λ [10 ⁻⁵ s]
0.2	0.00929	7.487
2	0.00984	7.636
20	0.00947	7.254
$\sigma \pm$ القيمة الوسطية		7.459 ± 0.157

يمكن أن تكون موثوقة القيم المحسوبة لأجل سوية الاستطاعة 20% أقل منها بالنسبة للسويتين الآخرين بسبب الارتفاع البسيط في درجة حرارة المبرد عند هذه السوية وتأثيرها العكسي على التفاعلية بحيث أن الافتراضات التي ذكرت سابقاً بخصوص الدارة المفتوحة وانعدام المفعولات الترابطية ليست دقيقة تماماً لأجل هذه الحالة.

تُظهر القيم الوسطى ل Λ و β التي حُصل عليها تجريبياً بنتيجة هذه الدراسة توافقاً جيداً مع القيم النظرية الواردة في تقرير الأمان [7] والتي تم حسابها بواسطة الكود EXTERMINATOR-2. تعطي نتائج حساب الكود القيم 8.12×10^{-5} s، 8.08×10^{-3} ل Λ و β على التوالي.

تبلغ القيمة الوسطى المحسوبة ل β بناءً على القيم التجريبية المعطاة في الجدول 2 7.83×10^{-3} وبذلك يكون الفرق النسبي بين القيمة التجريبية والنظرية 3%. بمقارنة القيمة الناتجة للحصة الكلية للترونات المتأخرة للمفاعل منسر مع القيم المعطاة في المراجع لأجل الانشطارات الحرارية في اليورانيوم 235- والتي تقع بحدود 6.4×10^{-3} إلى 7×10^{-3} [4] نجد أن القيمة الناتجة أعلى بحوالي 11-18%. إن هذا الفرق يعود إلى دور الترونات الضوئية الصادرة عن البريليوم العاكس المحيط بالمفاعل وبذلك يكون مفعول الترونات الضوئية قد أثبت تجريبياً.

تبلغ القيمة الوسطى المحسوبة ل Λ بناءً على القيم التجريبية المعطاة في الجدول 3 7.46×10^{-5} s وبالتالي يكون الفرق النسبي مع القيمة المحسوبة بالكود الواردة في تقرير الأمان حوالي 9%.

لتحديد مجال التارجحات القياسية المرافقة لقيم التدفق المقيسة في الحالة المستقرة قبل بدء تغير التفاعلية، تحدد القيمة الوسطى للتدفق n لأجل فترة قياس طويلة نسبياً (عدد كاف من القيم $M=3500$ بما يقارب نصف دقيقة قياس):

$$\bar{n} = \frac{1}{M} \sum_{j=1}^M n_j \quad (16)$$

• حساب الانحراف المعياري σ لهذه القيم:

$$\sigma^2 = \frac{1}{M} \sum_{j=1}^M (n_j - \bar{n})^2 \quad (17)$$

• تحديد عتبة عليا لاهتزازات القيم المقيسة بالشكل:

$$\chi = \bar{n} + 6\sigma \quad (18)$$

تم اختيار المعامل 6 بشكل توفيقي بناءً على القيم العظمى لاهتزازات القياس الملاحظة وبما يضمن وقوع كافة القيم المقيسة في الحالة المستقرة تحت القيمة χ بشكل مؤكد.

• تحدد الآن نقطة بداية تغير التفاعلية (t_0) عند موضع التدفق ($n(t_0)$) الذي يحقق ولأول مرة الشرط:

$$n(t_0) = n_i > \chi \quad (19)$$

اعتماداً على ما تقدم فقد تم عددياً بمساعدة البرنامج LAPT حساب الانتقالات اللابلاسية لقيم الدخل والخروج بالشكل:

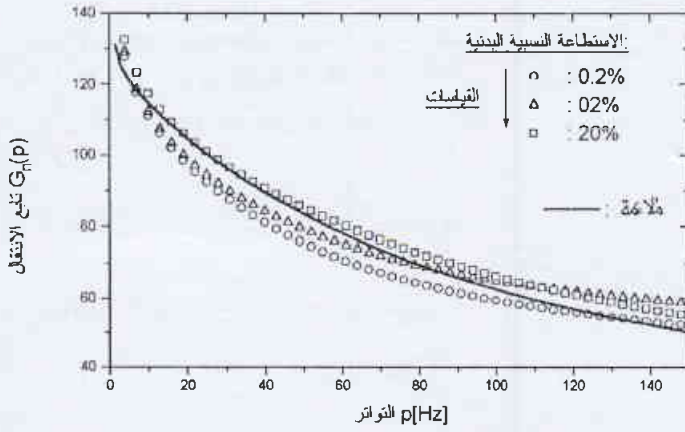
$$L(\rho(t)) = \int_0^\infty \rho(t) e^{-pt} dt \cong \Delta t \rho_{cd} \sum_{i=i_0}^N \exp[-p\Delta t(i-i_0)] \quad (20)$$

$$L(\delta n) = \int_0^\infty \delta n(t) e^{-pt} dt \cong L(\Delta n) = \Delta t \sum_{i=i_0}^N \Delta n_i \exp[-p\Delta t(i-i_0)] \quad (21)$$

حيث $(i-i_0) = t_i - t_0$ المجال الزمني بعد تغير التفاعلية، N العدد الكلي لنقاط القياس، Δn_i تغير التدفق التروني بالنسبة للسوية البدئية n_0 و p التواتر الذي يتغير ضمن المجال 10^{-2} -150 Hz⁻¹. أما تابع الانتقال فتم صياغته بالشكل:

$$G_n(p) = \frac{L(\Delta n)}{n_0 L(\rho)} \quad (22)$$

في النهاية حسبت قيم تابع الانتقال لسويات الاستطاعة الثلاث. بتحليل النتائج العددية والاستعانة بقيم β و λ التي حددت سابقاً وبالصيغة



الشكل 2- مقارنة تابع الانتفال المقيس عند سويات استطاعة مختلفة مع تابع الملاءمة المشتق اعتماداً على النموذج النقطي لأجل مجموعة واحدة من الترنونات المتأخرة.

الثابتين الترنونيين s $7.46 \pm 0.157 \cdot 10^{-5}$ ، 0.00783 ± 0.00017 على التوالي. هذه القيم المقيسة تتفق بشكل جيد مع القيم المحسوبة نظرياً في تقرير الأمان. إضافة لذلك فقد درس مبدئياً مفعول الترنونات الضوئية وأظهر تجريبياً الأثر الخاص لهذه الترنونات على سلوك المفاعل منسـر.

REFERENCES

المراجع

- [1] J. Lewins, Nuclear Reactor Kinetics and Control, Pergamon Press, Oxford(1978).
- [2] D.L. Hetrick, Dynamics of Nuclear Reactors, Chicago Press Ltd. (1971).
- [3] D. Sturm, "Reactor Laboratory Experiments", ANL-6410 (1961).
- [4] M. Ash, "Nuclear Kinetics", McGraw-Hill Inc. (1979).
- [5] M. Schultz, Control of Nuclear Reactors and Power Plants", McGraw-Hill Inc. (1961).

بتعويض قيم الثوابت الترنونية الناتجة في العلاقة (9) نحصل على الشكل النهائي لتابع انتقال الدارة المفتوحة للمفاعل منسـر:

$$G_n(p) = \frac{p + 0.0967}{7.46 \times 10^{-5} p (p + 104.9)} \quad (23)$$

تمثل هذه العلاقة التابع التوفيق العام لتابع الانتقال المحسوب بناءً على نتائج التجارب الثلاث.

بمقارنة هذا التابع مع القيم التجريبية لسويات الطاقة المختلفة (الشكل 2) نجد توافقاً جيداً، مما يبرر صحة الافتراضات النظرية والتقريبات الحاسوبية التي اعتمدت في هذا البحث.

خاتمة

تظهر تقنية تابع الانتقال بأنها طريقة دقيقة في تحديد عمر الجيل للترنونات اللحظية وذلك بشكل خاص عند سويات استطاعة منخفضة. لقد تم اعتماداً على هذه الطريقة قياس عمر الجيل للترنونات اللحظية والحصة الكلية للترنونات المتأخرة بما فيها الضوئية حيث بلغت قيمة كلتا

- [6] G. R. Keepin et al., Delayed Neutrons from Fissionable Isotopes of Uranium, Plutonium, and Thorium", Phys. Rev., 107, 1044 (1957).
- [7] The Syrian MNSR Safety Report, internal report(1992).
- [8] K. Almenas, R. Lee, Nuclear Engineering, an Introduction, Springer, Berlin (1992).
- [9] D. Smidt, Reaktortechnik 2", Braun, Karlsruhe (1971) (in German).
- [10] K. Wirtz, Reaktortheorie II", O. Berenz, Karlsruhe (1966) (in German). ■

دراسة استكمومترية لمعقد فسفوفانادومولبيدات واستخدامه لتحديد تأثير عملية استخلاص اليورانيوم بـ DEHPA/TOPO على تركيز حمض الفسفور بطريقة المطيافية الضوئية*

رفعت المرعي، رولانا بوظو

قسم الكيمياء - هيئة الطاقة الذرية السورية - ص.ب 6091 - دمشق - سورية

ملخص

تم استخدام طريقة طيفية ضوئية بسيطة المبدأ من أجل تعيين تركيز الفسفور في حمض الفسفور التجاري السوري وذلك أثناء عملية استخلاص اليورانيوم بطريقة DEHPA/TOPO. قيسَت شدة الامتصاص لمعقد فسفوفانادومولبيدات الأصفر اللون عند طول موجة 320 nm. درس طيفاً عند pH 1 الشكل التحليلي الأكثر استقراراً للمعقد المتشكل (P: V: Mo). بيّنت الدراسة أن النسبة المولية لـ (P:V:Mo) كانت (1:1: 25) وهي النسبة التي تعطي إشارة تحليلية واحدة وبعيدة عن مجال الضجيج. لقد وُجِدَ في هذه الدراسة أن مزيج الاستخلاص (DEHPA/TOPO) يستخلص 9% من P_2O_5 إلى الطور العضوي أثناء عملية استخلاص اليورانيوم من حمض الفسفور التجاري، وقد تم تأكيد ذلك باستخدام عنصر الفسفور المشع ^{32}P كعنصر أثر. إن دقة، ووثوقية، وحدّ الكشف لهذه الطريقة هي 1.5% و $0.0551 \mu\text{g P ml}^{-1}$ ، و $0.06 \mu\text{g P ml}^{-1}$ على التوالي. قورنت نتائج هذه الطريقة مع الطريقة الوزنية العيارية والتي تعتمد على تشكيل معقد كينولي، إضافة إلى أن هذه الطريقة تقتصد في الوقت وفي المواد الكيميائية.

الكلمات المفتاحية: حمض فسفور تجاري، معقد فسفوفانادومولبيدات، عنصر الفسفور المشع ^{32}P ، مطيافية ضوئية، استكموميترية.

مقدمة

حمض الفسفور التجاري قبل وبعد عملية استخلاص اليورانيوم بواسطة المستخلص (DEHPA/TOPO).

توجد معلومات متناقضة حول النسبة المولية لـ P: V: Mo في المعقد فسفوفانادومولبيدات المستخدم كمعقد لوني لتحديد الفسفور بطرائق المطيافية الضوئية [5]. فقد تمت دراسة النسب المولية P: V: Mo للمعقد المذكور، ووجد أن النسبة الأكثر وضوحاً هي 1: 1: 25. أُجريت عملية مسح لطيف معقد فسفوفانادومولبيدات بين طولي موجة 190-500 nm، وتبيّن أن λ_{max} هي 320 nm.

المواد والطرائق

المواد الكيميائية

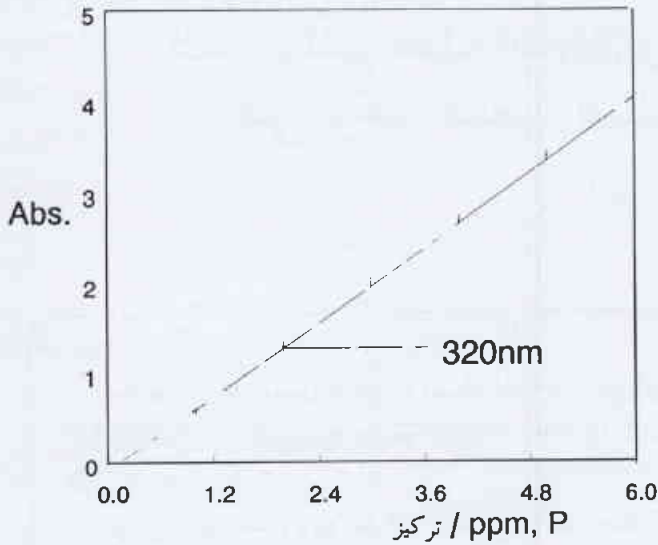
الكاشف A: حضر محلول 70% HClO_4 (0.3 M) بماء ثنائي التقطير.

الكاشف B: أخذ 0.229gr من فنادات الأمونيوم (NH_4VO_3) وحلّ في 125 ml من الماء المقطّر الساخن، بعد التبريد أضيف 4 ml من HClO_4 ، أكمل الحجم إلى واحد لتر بالماء المقطّر.

تعتبر عملية تحديد عنصر الفسفور في حمض الفسفور عملية حيوية لأنها تدرس تأثير تغير تركيز الفسفور أثناء عمليات تنقية الفسفور التجاري. لأسباب بيئية يجب استخلاص اليورانيوم من حمض الفسفور التجاري. يعتبر مزيج الاستخلاص (DEHPA/TOPO) (Di-2-ethyle hexylphosphoric acid/Tri-n-octyl phosphoric oxide) من أكثر المذيبات شيوعاً لاسترداد اليورانيوم من حمض الفسفور التجاري.

يتم عادةً تحديد الفسفور في حمض الفسفور بالطريقة الوزنية [1]، وأيضاً بالكروماتوغرافيا [2]، ومطيافية الامتصاص الذري [3]، وتقنيات أخرى مُستخدمة. إن الطريقة الطيفية لمعقد فسفوفانادومولبيدات الأصفر معتمدة سابقاً [4] ولكن لم يتم تطبيقها على عينات حمض فسفور تجاري.

بما أننا نحتاج أثناء عمليات تنقية الحمض إلى قيم دقيقة وسريعة الإنجاز، وخاصةً عند عملية استخلاص اليورانيوم من حمض الفسفور، يُقدّم هذا العمل طريقة طيفية ضوئية سريعة لتحديد تركيز الفسفور في

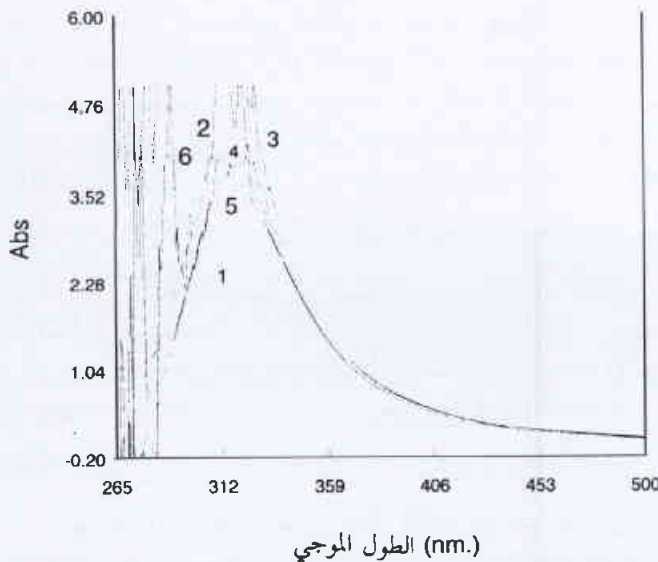


الشكل 2- منحنى المعايرة للطريقة المقترحة.

هو واضح في الشكل 4. كما وجد أن هناك استهلاكاً كبيراً للمواد الكيميائية المستخدمة في عملية التعقيد بالمقارنة مع الكميات اللازمة من أجل تشكيل المعقدات الستوكيومترية المذكورة في هذه الطرائق. ولتحديد استوكيومترية العناصر التالية: فسفات، فانادات، موليبدات من أجل تفاعل تحليلي لتشكيل المعقدات الملونة، أعدت دراسة أولية وذلك عن طريق تحضير سلسلة من النسب المولية لـ (P: V: Mo)

(1:1:8, 1:1:14, 1:1:16, 1:1:20, 1:1:25, 1:1:30, 1:0.5:25, 1:2:25, 1:2.5:25) عند وسط pH 1

استخدم هذا الإجراء لدراسة تفاعلات استوكيومترية بين موليبدات الفاناديوم وأيون الفسفور، ثم أجريت عملية مسح طيفي للمعقدات المشكلة بين طولي موجة 270-500 nm (الشكل 3a, 3b). نجد بمقارنة



الشكل 3a- أطراف معقد P:V:Mo من أجل نسب مولية من الموليبدات بينما النسب المولية للفسفات والفانادات ثابتة.

[P:V:Mo # 1-(1:1:8), 2-(1:1:14), 3-(1:1:16), 4-(1:1:20), 5-(1:1:25), 6-(1:1:30)]

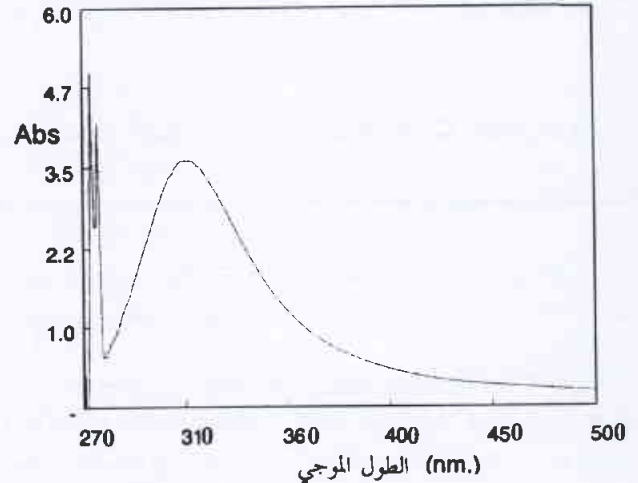
الكاشف C: أخذ 8.577gr من موليبدات الأمونيوم $[(NH_4)_6Mo_7O_{24} \cdot 4H_2O]$ ومُخِلَّ بـ 150 ml ماء مقطر ساخن وأكمل الحجم إلى واحد لتر بالماء المقطر.

الإجراء

قبل إجراء عملية القياس. نأخذ حجوماً متساوية من الكواشف قبل إجراء عملية القياس. نأخذ حجوماً متساوية من الكواشف (5 ml) A, B, C, ونضعها في بالون عياري سعة 50 ml. ونضيف كمية معلومة من عينة حمض فسفور تجاري (لاحتوي على أكثر من 300µg P) وغير معالجة إلى البالون ويتم الحجم إلى 50 ml بواسطة ماء ثنائي التقطير. بعد تعديل الوسط إلى pH 1. يُخَصَّ المزيج ويترك لمدة 10 دقائق لتشكيل معقد فسفوفانادوموليبدات. ثم يتم قياس شدة الامتصاص للمعقد الأصفر المتشكل عند طول موجة 320 nm. كذلك تم تحضير كل من الشاهد والمحاليل العياريّة كما حُضِرَت العيّنة.

المسح الطيفي

تم مسح شدة الامتصاص لمعقد فسفوفانادوموليبدات بين طولي موجة 190-500 nm، وبين المسح بأن λ_{max} عند طول موجة 320 nm (الشكل 1).



الشكل 1- مسح طيفي للطريقة اللونية.

منحنى المعايرة

حصل على منحنى المعايرة (الشكل 2) من تراكيز معلومة من محلول فسفور عياري محضّر مثل العيّنة.

دراسة استوكيومترية لمعقد فسفوفانادوموليبدات المتشكل

تم تشكيل نسب مولية متعددة (P: V: Mo) لمعقدات فسفوفانادوموليبدات وذلك بمزج كميات من الفسفات و الفانادات والموليبدات في الوسط الحمضي حسب الطرائق في [6] وجد بأن الإشارة التحليلية لـ (P: V: Mo) للمعقد المدروس (حسب [7]) قريبة من مجال الضجيج، ولم نحصل على شكل طيفي واضح حسب طريقة [7] كما

تركيزين مختلفين من حمض فسفور نقي GR، وكرر الاختبار تسع مرات من أجل وثوقية القياس. عين حد الكشف اعتماداً على ثلاثة أمثال الانحراف المعياري للقيم المقاسة لمحلل العينة الحاوية على سبعة أمثال أدنى تركيز قابل للكشف (حسب [8]).

النتائج والمناقشة

على الرغم من أن العينات المدروسة هي عينات حمضية يتوجب المحافظة على حموضة الوسط عند pH 1 كما هو موضح بالجدول 1.

الجدول 1- تأثير pH الوسط على تحديد الفسفور.

المأخوذ	1.91 µg p g ⁻¹	3.80 µg p g ⁻¹
PII غير مضبوطة	1.80	3.50
الخطأ المعياري	5.20	7.80
PII مضبوط	1.88	3.86
الخطأ المعياري	1.57	1.58

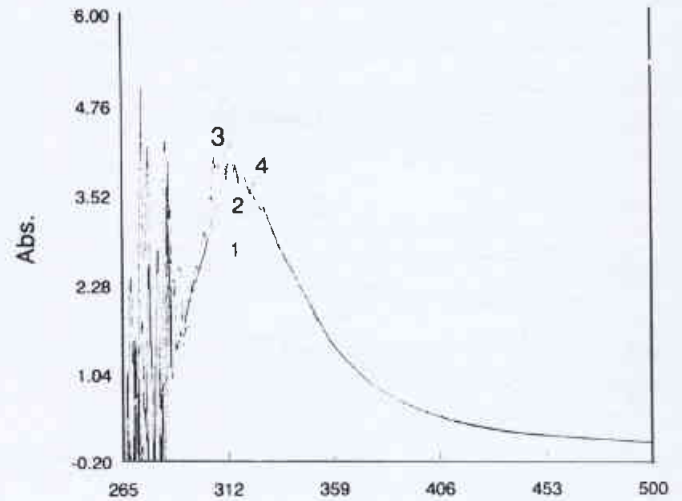
وجد أن المعقد المتشكل يبقى ثابتاً زمنياً لفترة لا تقل عن 72 ساعة (الجدول 2). وجد أن الكاشف A يمكن أن يحضّر بـ HClO₄ ويعطي نتائج أفضل من تحضيره بـ HCl أو HNO₃. أنجزت التجربة بدرجات حرارة مختلفة °C (35,27,25,20) وبيّنت النتائج أن تغيير درجة الحرارة لا يؤثر على المعقد. كذلك دُرِس تأثير بعض الأيونات (F,U,Fe,Si) الموجودة في حمض الفسفور التجاري السوري، ولكن كما هو معلوم إن نسبة هذه العناصر إلى الحمض قليلة فليس لها أي تأثير على تحديد الفسفور في حمض الفسفور.

الجدول 2- تأثير الزمن على ثباتية المعقد المتشكل.

زمن القياس	30 دقيقة	ساعتين	75 ساعة
الشاهد	0.486	0.493	0.500
Si ₁ (µg/g)	0.415	0.408	0.398
Si ₂ (µg/g)	1.750	1.730	1.680

تأثير محلل الاستخلاص على تركيز الفسفور

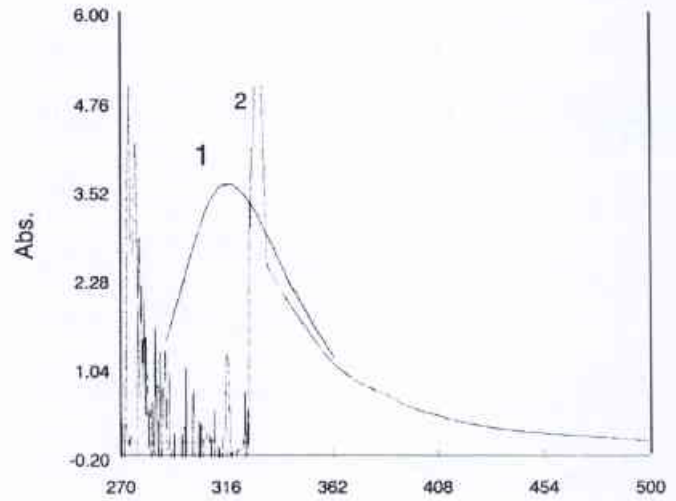
إن أكثر المستخلصات العضوية المستخدمة لاستخلاص اليورانيوم من حمض الفسفور التجاري هو المزيج DEHPA/TOPO. ولقد تم تحديد تركيز الفسفور في حمض الفسفور التجاري قبل وبعد عملية استخلاص اليورانيوم. يوضح الجدول 3 أن مزيج الاستخلاص DEHPA/TOPO ينقل حوالي 9% من P₂O₅ من الحمض إلى الطور العضوي أثناء عملية استخلاص اليورانيوم. واختيّر ذلك أيضاً باستخدام النظير المشع ³²P



الشكل 3b- أطيايف معقد P:V:Mo من أجل عدة نسب مولية من الفانادات ينما النسب المولية للفسفات والموليدات ثابتة.

[P:V:Mo # 1-(1:0.5:25),2-(1:1:25),3-(1:2:25),4-(1:2.5:25)]

الأطيايف مع بعضها أن النسبة المولية 1:1:25 هي النسبة الحرجة التي تعطي إشارة تحليلية نقيّة بعيدة عن منطقة التشويش.



الشكل 4- طيفا معقد فسفوفانادوموليدات في الطريقة المقترحة.

الطريقة المقترحة.
- الطريقة الموصى بها [7].

التقييم الإحصائي

استُخدمت العينة المرجعية BCR-32 (صخور فسفاتية) وحمض فسفور GR Merck، حيث النسبة النظرية لـ P₂O₅ فيه 61.58% وحُدّدت عملياً بطريقة المعايرة الكيمونية وكانت 61.49%، لتحضير عشر عينات بتراكيز مختلفة لتحديد صحّة الطريقة. وباختيار آخر تم استخدام

الجدول 3- تحديد نسبة الـ P_2O_5 في طبخات مختلفة من حمض فسفور تجاري سوري قبل وبعد استخلاص اليورانيوم بواسطة DEHPA/TOPO.

قبل الاسترداد	بعد الاسترداد
$P_2O_5\%$	$P_2O_5\%$
29.18	26.88
28.51	26.23
34.77	31.86
27.48	25.37
26.03	23.97

• إن كل قيمة هي عبارة عن متوسط أربعة قياسات.

الجدول 4- صحة، وثوقية، وحد الكشف لهذه الطريقة.

وثوقية		حد الكشف	دقة		
$\mu\text{g P. ml}^{-1}$	$\mu\text{g P. ml}^{-1}$	$\mu\text{g P. ml}^{-1}$	المأخوذ $\mu\text{g P. ml}^{-1}$	المقاس $(\mu\text{g P. ml}^{-1})^a$	الخطأ %
0.9915	5.413	1.727	0.550	0.558	+1.45
1.016	5.278	1.734	1.65	1.63	-1.21
1.006	5.401	1.785	3.85	3.81	-1.04
0.9915	5.394	1.742	5.50	5.53	+0.55
0.9915	5.302	1.757	7.15	7.23	+1.12
0.9965	5.342	1.734	0.687	0.697	+1.46
1.004	5.292	1.762	1.374	1.400	+1.89
1.006	5.311	1.767	3.435	3.480	+1.31
0.989	5.276	1.772	6.18	6.220	+0.65
^a $\bar{X} = 0.9991$	$\bar{X} = 5.3343$	$\bar{X} = 1.753$	8.244	8.152	-1.12
^b SD=0.0093	SD=0.0550	SD=0.0200			
^c CV=0.931	CV=1.031	^d DL=0.060			

a متوسط القياسات.

b الانحراف المعياري.

c معامل التغير.

d حدود الكشف.

مقارنة بين الطريقة اللونية والطريقة الوزنية المعيارية

تدل القيم المقيسة المعطاة في الجدول 5 على تراكيز الفسفور باستخدام الطريقة اللونية والطريقة الوزنية المعيارية باستخدام المعقد

وذلك بإضافة كمية معلومة منه إلى 10 ml من حمض الفسفور، أضيف 5 ml من DEHPA/TOPO (حيث أخذ 17 gr من DEHPA (0.5 M) و 4.5 gr من TOPO في 100 ml من الكيروسين) وخصّ المحتوى لمدة 5-10 دقائق ثم ترك المحتوى حتى فصل الطورين عن بعضهما.

الجدول 5- تحديد تركيز الفسفور في حمض الفسفور (التجاري والنقي) بالطريقة اللونية وبالمقارنة مع الطريقة الوزنية المعيارية.

الطريقة الوزنية % P ₂ O ₅	الطريقة اللونية % P ₂ O ₅	P ₂ O ₅
60.10	60.82	عينة حمض G.R
24.11	23.64	عينة حمض تجاري

• كل قيمة هي متوسط سبعة قياسات.

الكينوليني [1] [(C₉H₇N)₃H₃PO₄.12MoO₃]. إن قيمة اختبار t هي 1.85، في حين أن القيمة الحرجة ل t هي 2.36 من أجل سبع درجات حرية. وهذا يشير إلى أن الطريقتين متوافقتان بشكل كبير.

النتيجة

وجد من خلال هذه النتيجة بأن استكمومترية التفاعل هي (1:1:25) من أجل (P:V:Mo) والتي تعطي لمعدد فسفوفانادومولبيدات إشارة تحليلية واضحة.

وجد من خلال عملية استخلاص اليورانيوم من حمض فسفور تجاري أن 9% من P₂O₅ ينتقل إلى الطور العضوي. ولقد حدد ذلك إشعاعياً باستخدام حمض موسوم ب ³²P وتحدد أيضاً بالطريقة اللونية.

وجد أن هناك توافقاً بين الطريقة اللونية التي اتبعت والطريقة الوزنية الكينولينية المعيارية، ولكن بالطريقة اللونية نختصر الوقت واستهلاك المواد الكيميائية.

REFERENCES

- [1] Bs 4258, part7, 1978, Mohan, et al, 1989, and Xiaoqing & Songxian, 1991.
[2] Sheridan, 1987.
[3] Miloset al, 1987 and Peter et al, 1987.
[4] Jackson, 1985; Griffith & Grayson, 1970; Pakalns, 1970; Hesse, 1971; Olsen & Sommers, 1982; and Rao, 1984.

المراجع

- [5] Snell & Snell, 1951; Dee Snell 1978; and Hamiti et al, 1985.
[6] Jackson, 1958, Hahn & Schmitt, 1969, Hesse, 1971, and Olsen & Sommers, 1982.
[7] Hesse, 1971; Olsen & Sommers, 1982.
[8] Miller & Miller, 1993.■

الصحة وحد الكشف والثوقية

قيس الخطأ المتوي للفسفور بهذه الطريقة ووجد بأنه أقل من 1.5% مما يشير إلى الدقة العالية للقياسات. إن قيم الانحراف المعياري هي (0.0093-0.055 µg P g⁻¹) لقياسات متكررة لمجالين مختلفين من التراكيز لعينات من حمض فسفور نقي (GR) بينت وثوقية عالية للطريقة (الجدول 4). تحدد حد الكشف لقياسات متكررة لعينة تحتوي على سبعة أضعاف لأقل تركيز قابل للكشف والقيمة هي 0.06µg P ml⁻¹ (الجدول 4).

تأثير أشعة غاما على قابلية تخزين ثمار التفاح*

محلوظ البشر

قسم الزراعة - هيئة الطاقة الذرية السورية - ص.ب 6091 - دمشق - سورية

ملخص

تهدف هذه الدراسة إلى اختبار قابلية تخزين ثمار صنفين رئيسيين من أصناف التفاح المزروعة في سوريا هما الفولدن ديليشيس والستاركنج إضافة إلى اختبار تأثير أشعة غاما على إطالة فترة التخزين لثمار هذين الصنفين. نُفذت تجارب الدراسة خلال موسمي 1995 و 1996 حيث عُرضت الثمار للجرعات 0.0 و 0.5 و 1.0 و 1.5 كيلوغرام من أشعة غاما وتم تخزين الثمار المعالجة وغير المعالجة بالأشعة بغرف مُبرّدة تراوحت درجة حرارتها بين 1 و 2 درجة مئوية وبرطوبة نسبية تراوحت بين 80% و 90%. قُدّرت خلال مراحل التخزين المختلفة معدلات فقد الوزن والتلف الفطري والفيزيولوجي كما تم قياس صلابة الثمار وتلونها وقيم pH العصير بعد التشعيع مباشرة. يبيّن نتائج هذه التجارب أن استخدام أشعة غاما تأثيراً على ثمار كلا الصنفين، تمثل هذا التأثير في زيادة معدل فقد الوزن في المراحل التخزينية الأولى (45 يوماً) خلال تجارب الموسم الأول، علماً بأن هذا التأثير لم يلاحظ خلال تجارب الموسم الثاني. واختلف تأثير أشعة غاما على معدلات فقد الوزن عند ثمار التفاح المخزنة لمدة 180 يوماً باختلاف موسم الإنتاج والصنف المستخدم، وكان لاستخدام الأشعة تأثير في زيادة معدلات التلف الناتجة من إصابة الثمار بالفطريات. وقد أدى استخدام المعالجات الإشعاعية إلى الحد من نمو العفن الأسود *Aspergillus niger* ومن انتشار بقع ثمار الفولدن، كما أدى استخدام المعالجات الإشعاعية إلى زيادة طراوة الثمار وتغيير لونها من الأخضر إلى الأصفر وخفض قيمة الـ pH في عصيرها وذلك بعد التشعيع مباشرة.

الكلمات المفتاحية: تفاح، تلون، أمراض فطرية، المعالجة بأشعة غاما، قابلية التخزين، الفقد التخزيني، القوام.

مقدمة

التغليف [6] أو المعاملات الكيميائية [7] أو الحرارية [8] أو بتغطيس الثمار في محلول يحتوي على الكالسيوم [9].

تهدف تجارب هذه الدراسة إلى اختبار تأثير أشعة غاما على قابلية تخزين ثمار صنفين من أصناف التفاح هما الفولدن والستاركنج المزروعين في سورية على نطاق واسع وخصوصاً في المنطقة الجنوبية.

المواد وطريقة العمل

استُخدم في تجارب هذا البحث صنفا التفاح الفولدن ديليشيس والستاركنج حيث كان مصدر الثمار حقول مركز أبحاث ظهر الجبل وحقل خاص في منطقة القنوت (في محافظة السويداء).

تم إجراء التجربة خلال موسم إنتاج متتاليين حيث استعمل في تجارب موسمي 1995 و 1996 ثمار من حقول مركز أبحاث ظهر الجبل في حين دخلت الثمار المنتجة من حقل منطقة القنوت في التجارب المنفذة خلال موسم 1996 فقط.

تم حنّج الثمار في بداية الأسبوع الثاني من شهر تشرين الأول من حقول مركز أبحاث ظهر الجبل وفي الأسبوع الأخير من شهر أيلول من حقل منطقة القنوت. حيث تم انتقاء 220 ثمرة متجانسة تتراوح أقطارها

دُرست إمكانية تحسين قابلية تخزين ثمار التفاح باستخدام أشعة غاما ومحاولة الاستفادة من دور الأشعة في خفض التلف الفيزيولوجي والفطري الذي يمكن أن يتعرض له الثمار المخزنة. وقد أشارت نتائج هذه الدراسات إلى وجود آراء متناقضة حول إمكانية استخدام هذه التقنية في هذا المجال تحديداً، حيث يبيّن بعض هذه الدراسات وجود تأثير إيجابي للتشعيع أدى إلى إطالة العمر التخزيني لثمار التفاح وذلك عند معاملتها بالأشعة قبل وصولها إلى مرحلة التنفس الكلماكتيري preclimacteric [1]. في حين ذكرت بعض المصادر أن عملية تشعيع الثمار غير مجدية اقتصادياً [2]. وقد سجل انخفاض في ظهور بعض الأمراض على الثمار المخزنة وذلك عند استخدام جرعات مرتفعة نسبياً من أشعة غاما [3, 4]، ومع ذلك فإن استخدام هذا المستوى المرتفع من جرعات أشعة غاما تأثيراً سلبياً على قوام الثمار وعلى صفاتها النوعية.

ويمكن تحسين أثر أشعة غاما على ثمار التفاح وتجاوز الآثار السلبية الناتجة من استخدام الجرعات المرتفعة نسبياً من الأشعة باستخدام معاملات مركبة قوامها التشعيع مع تخزين الثمار في جو هوائي مراقب [5] أو

* نشرت ورقة البحث هذه في مجلة (1999) *Plant Foods For Human Nutrition*.

الجدول 1- تأثير أشعة غاما على فقد الوزن % في ثمار تفاح الغولدن.

موسم الانتاج موقع الانتاج	1995			1996			قوت		
	ظهر الجبل			ظهر الجبل			45	90	180
مدة التخزين/ يوم	45	90	180	45	90	180	45	90	180
الشاهد	1.3 a	2.7 a	5.1 a	1.78 a	2.90 a	3.78 a	1.20 a	1.88	3.75 b
0.5 kGy	1.8 c	3.1 b	5.7 a	1.93 a	2.63 a	4.18 ab	1.28 a	1.9	3.60 b
1.0 kGy	1.6 b	2.9 ab	5.5 a	1.85 a	2.88 a	4.52 b	1.28 a	1.9	3.20 a
1.5 kGy	1.6 b	2.6 a	5.4 a	2.03 a	3.05 a	4.33 ab	1.20 a	1.88	3.58 ab

لا توجد فروق معنوية بين الأرقام التي تحمل حرفاً متماثلة ضمن العمود الواحد.

وفي المراحل المتقدمة من التخزين بعد 180 يوماً، كان فقد الوزن في الثمار المشعة والمنتجة من موقع ظهر الجبل خلال موسم 1995 و 1996 أعلى نسبياً إذا ما قورن مع عينات الشاهد.

وكانت الزيادة في فقد الوزن معنوية في المعاملات 0.5 و 1.0 كيلوغرام فقط وذلك بعد 90 يوماً من التخزين في موسم 1995 وبعد 180 يوماً من التخزين عند الثمار المنتجة في موسم 1996. وخلافاً لذلك فقد أبدت الثمار المخزنة لفترة تقدر بـ 180 يوماً والمنتجة أصلاً في موقع القنوت منحى آخر، حيث أدى استخدام التشعيع إلى تناقص فقد الوزن، وكان هذا التناقص ذا دلالة معنوية في العينات المشعة بجرعة إشعاعية قدرها 1.0 كيلوغرام إذا ما قورن مع عينات الشاهد.

تدل الأرقام المثبتة في الجدول 2 على وجود تأثير لأشعة غاما على معدلات فقد الوزن عند ثمار صنف الستاركنج، ففي موسم 1995 ارتفع فقد الوزن في الثمار المشعة والمخزنة لمدة 45 يوماً وكان هذا الارتفاع معنوياً إذا ما قورن مع عينات الشاهد. في حين انخفض فقد الوزن عند الثمار المنتجة في موسم 1996 وكان هذا الانخفاض معنوياً عند استخدام الجرعة 1.5 كيلوغرام وعند تخزين هذه الثمار لفترة تتجاوز الـ 180 يوماً.

الجدول 2- تأثير أشعة غاما على فقد الوزن % في ثمار تفاح الستاركنج.

موسم الانتاج مدة التخزين/ يوم	1995			1996		
	45	90	180	45	90	180
الشاهد	1.0 a	1.8 a	3.5 ab	1.00 ab	1.63 a	2.63 b
0.5 kGy	1.1 a	1.9 a	3.6 a	1.15 b	1.65 a	2.55 ab
1.0 kGy	1.1 b	1.8 a	3.4 b	1.08 ab	1.63 a	2.38 ab
1.5 kGy	1.1 b	1.8 a	3.4 b	0.93 a	1.48 a	2.35 a

لا توجد فروق معنوية بين الأرقام التي تحمل حرفاً متماثلة ضمن العمود الواحد.

يمكن أن يُفهم المعدل المرتفع في فقد الوزن خلال المرحلة الأولى من التخزين (45 يوماً) للتأثير التحريضي للأشعة على العمليات الاستقلابية والمتثلة بشدة التنفس والنشاط الأنزيمي. ويمكن أن يُفهم الانخفاض في فقد الوزن عند ثمار أصناف الغولدن والستاركنج المنتجة في منطقة القنوت إلى الانخفاض المفاجئ في معدل تنفس هذه الثمار عند نهاية فترة التخزين (180 يوماً).

بين 60 و 70 مم وقُسمت إلى أربعة مكبرات (55 ثمرة في كل مكبر) ثم عرّضت الثمار للجرعات (0.0 و 0.5 و 1.0 و 1.5 كيلوغرام) من أشعة غاما الصادرة عن النظير المشع كوبالت 60 بمعدل جرعة يقدر بـ 719 غرام / الساعة.

بعد تنفيذ المعاملات الإشعاعية مباشرة تم اختيار خمس ثمار عشوائياً من كل مكبر (20 ثمرة من كل معاملة) لتقدير الصلابة باستخدام جهاز Instron strip chart recorder نموذج 1011، وتم قياس قيم الحموضة في العصير باستخدام مقياس للـ pH المصنّع في شركة Hanna نموذج HI 8521، أما شدة تلون الثمار فقد تم قياسها باستخدام جهاز الـ Chroma meter نموذج CR-300.

تم تخزين الثمار بعد التشعيع بدرجة حرارة تراوحت بين 1 و 2 درجة مئوية ورطوبة نسبية تراوحت بين 80% و 90%.

تم تقدير فقد الوزن بعد 45 و 90 و 180 يوماً، أما التلف الفيزيولوجي والفطري فقد تم تقديره وتدوينه بعد 45 و 90 و 180 و 210 و 250 يوماً من التخزين، حيث استخدمت 200 ثمرة لكل معاملة في أربع معاملات (50 ثمرة لكل مكبر)، وضمن كل معاملة أخذ وزن الثمار بشكل إفرادي لتقدير فقد الوزن ولتقدير نسبة التلف حيث اعتبرت الثمرة تالفة عند تجاوز قطر المساحة المتضررة على قشرة الثمرة الـ 1 سم [10]. قُدّر التلف الناتج عن الإصابة الفطرية وقياسها عن طريق المراقبة بالعين المجردة، وتم تمييز الأنواع الفطرية المسببة للتلف عن طريق لون الميسليوم والأبواغ المشكلة في المراحل المتقدمة من النمو الفطري، فاللون الأزرق دل على نمو فطر البنيسليوم Penicillium في حين دل اللون الرمادي على نمو فطر البوتريتس Botrytis.

تم إجراء التجربة وفق مخطط عشوائي كامل بأربع معاملات وأربعة مكبرات وتم تحليل النتائج إحصائياً وتحليل التباين (ANOVA) باستخدام برنامج (Statview 4) الذي يعمل على نظام حواسيب الماكنتوش حيث قورنت متوسطات المعاملات باعتماد LSD عند حدود ثقة قدرها 95%.

النتائج والمناقشة

تأثير أشعة غاما على فقد الوزن

تظهر الأرقام المدونة في الجدول 1 تأثير أشعة غاما على معدلات فقد الوزن لدى صنف الغولدن دبليشيس، حيث تبين هذه النتائج عدم وجود فروق معنوية في فقد الوزن بين المعاملات المختلفة عند الثمار المنتجة في موسم 1996 في كلا الموقعين والمخزنة لمدة 45 يوماً. أما عند الثمار المنتجة في موسم 1995 فكان لاستخدام الجرعات الثلاث من أشعة غاما تأثير معنوي في زيادة فقد الوزن مقارنة مع الشاهد، وكانت الجرعة 0.5 كيلو غرام الأبرز تأثيراً في هذا المجال.

أما بعد 90 يوماً من التخزين، فقد أدى استخدام الجرعة 0.5 كيلوغرام من أشعة غاما إلى زيادة في فقد الوزن عند الثمار المنتجة من موقع ظهر الجبل في موسم 1995، في حين كان لاستخدام الجرعة 1.5 كيلوغرام نفس الأثر عند الثمار المنتجة في موسم 1996 ومن نفس الموقع.

الشقوق والجروح الصناعية الناتجة عن تداول الثمار خلال عمليات القطف والتوضيب.

تتفق نتائج هذه الدراسة مع النتائج التي توصل إليها [15] والتي تشير إلى أن استخدام الجرعات 2 و 5 كيلوغرام قد سرّع من ظهور التلف الفطري الناتج عن إصابة الثمار بالنوع *P.expansum*، في حين أدى استخدام الجرعة 5 كيلوغرام إلى تقليل احتمالات تسرب الأبواغ الفطرية عبر قشرة ثمار الغولدن.

وذكرت بعض الدراسات ومنها نتائج [3, 16] أن معالجة الثمار بجرعة إشعاعية قدرها 2 كيلوغرام قد أدى إلى تثبيط النمو الفطري. في حين لم يظهر لاستخدام الجرعات الأدنى أي تأثير في هذا المجال. ويفترض للوصول إلى هذا الأثر الإيجابي باستخدام الجرعة 2 كيلوغرام استخدام ثمار سليمة وخالية من الإصابات والأضرار عند جنبها حيث أن ثماراً كهذه يمكن أن تتحمل المستوى المرتفع من الجرعات الإشعاعية. فقد وُجد [15] أن استخدام الجرعتين 1 و 2 كيلوغرام يمكن أن يسرع ظهور التلف الناتج من إصابة الثمار بالفطر *P.expansum*. وبالمقابل فإن استخدام الجرعة 5 كيلوغرام يمكن أن يحدّ من تسرب وتغلغل *Mycobacterium* الفطور عبر قشرة ثمار الغولدن.

يمكن أن يُعزى ارتفاع نسب التلف الفطري في الثمار المشعّة إلى التأثير السلبي للأشعة على قشرة هذه الثمار حيث تصبح الثمار المعالجة بالأشعة أكثر حساسية وأقل مقاومة لدخول الأبواغ الفطرية الباقية على قيد الحياة بعد التشعيع أو الهيفا الناتجة من هذه الأبواغ. ويتفق هذا التفسير مع ما ذكر في دراسات سابقة لـ البشير [7] والتي أشارت إلى انخفاض في سماكة القشرة عند تفاح الجوناثان من 100.2 ميكرون إلى 67.9 ميكرون عند تعريض هذه الثمار لجرعة قدرها 1 كيلوغرام من أشعة غاما.

في حين أشار [18] إلى حدوث تحلل في الأغشية خلال عمليات التشعيع، حيث بدأت هذه الأغشية بالتلف بعد تعرضها لجرعة إشعاعية قدرها 0.1 كيلوغرام وذلك بعد 38 ساعة.

وتتفق هذه التفسيرات مع النتائج التي حصل عليها [11] الذين أشاروا إلى وجود أثر تشعيطي تمثل في زيادة استهلاك الأكسجين وارتفاع في معدلات التنفس عند ثمار أصناف الماكنتوش والكورتلاندي والروم بيوتي وذلك عند تعريضها للجرعات 0.0 و 0.1 و 0.5 كيلوغرام من أشعة غاما.

وذكر شاشين وأوغاتا [12] أن معدل تنفس ثمار التفاح قد ازداد خلال اليومين التاليين لعملية التشعيع، ثم تناقص بعد ذلك واستمر هذا التناقص ليصل إلى المستوى الذي كان عليه قبل عملية التشعيع.

وأظهرت نتائج كل من البشير وساس [13] ارتفاعاً في شدة التنفس عند ثمار صنف الجوناثان بعد التشعيع مباشرة، إلا أن هذا الارتفاع زال خلال التخزين وانخفض إلى مستوى يقل عن مستوى الشاهد وذلك في نهاية فترة التخزين.

وتشير نتائج هذه الدراسة إلى وجود تداخل في التأثير بين التشعيع وموقع الإنتاج، وبين التشعيع وموسم الإنتاج، والذي يجب أخذه بالاعتبار عند إجراء المزيد من التجارب والبحوث في هذا المجال. ويمكن لهذا التداخل أن يفسر النتائج المتناقضة التي ذكرت في المراجع العلمية.

تأثير أشعة غاما على التلف الفطري

يبين الجدول 3 تأثير أشعة غاما على نسب التلف الفطري في ثمار صنف التفاح عند تخزينها لفترات زمنية تراوحت بين 180 و 250 يوماً. وكانت هذه الزيادة الناتجة من التشعيع في نسب التلف الفطري عند ثمار كلا الصنفين معنوية وأكثر وضوحاً عند استخدام جرعات منخفضة من أشعة غاما (0.5 كيلوغرام) مقارنة مع استخدام الجرعات المرتفعة. لقد تمثلت مظاهر التلف في ثمار كلا الصنفين بانتشار الأعفان وأهمها العفن الأزرق الذي يسببه النوع *Penicillium expansum* والعفن الرمادي الذي يسببه النوع *Botrytis cinerea* حيث يبدأ ظهور الإصابة بهذه الأعفان بعد دخول الأبواغ عبر الثغرات والفجوات الطبيعية في قشرة الثمرة أو عبر

الجدول 3- تأثير أشعة غاما على التلف الفطري والإصابة بالعفن الأسود عند ثمار التفاح (%).

نوع المرض الفيزيولوجي	التلف الفطري						العفن الاسود					
	ستاركنج						غولدن					
	1995		1996		1995		1996					
المنصف												
موسم الانتاج												
مدة التخزين/ يوم	180	210	250	180	210	250	180	210	250	180	210	250
الشاهد	1.5 a	5.5 a	5.5 a	1.5 b	17.5 b	27.5 b	0 a	2 a	4.25 a	75.0 c	92.5 c	100 b
0.5 kGy	14.5 c	21.0 b	31.5 b	0.5 b	1.5 a	3.0 a	5 b	7 a	13.5 b	7.5 a	22.5 ab	36.3 a
1.0 kGy	2.0 b	6.0 a	12.75 a	2.5 b	37.5 c	38.8 c	2 b	3.5 a	4.0 a	5.5 a	13.8 a	42.5 a
1.5 kGy	6.5 b	8.0 a	16.5 a	0 a	3.8 a	9.0 a	2 b	2 a	3.75 a	18.8 b	30.0 b	58.8 a

لا توجد فروق معنوية بين الأرقام التي تحمل حروفاً متماثلة ضمن العمود الواحد.

مراحل التخزين المختلفة، وكان هذا الخفض معنوياً وتناسب طرداً مع الجرعة الإشعاعية المستخدمة.

وتتفق نتائج تجارب هذا البحث مع نتائج كل من [4] و [17] التي بينت أن استخدام الجرعات 1.0 و 1.5 و 2.0 كيلوغراي قد أعاق ظهور تبقع الجوناثان.

يعود ظهور التبقع إلى تغيرات ناتجة عن زوال في لون خلايا البشرة، ويتمثل ظهور التبقعات بتغير لون صبغة الأنثوسيانين وتحولها من اللون الأحمر إلى الأزرق.

ويمكن أن يعزى انخفاض ظهور التبقع في ثمار التفاح المعامل بأشعة غاما إلى ارتفاع مستوى الحموض في الثمار المشععة، علماً أن هناك علاقة عكسية بين محتوى الثمار من الأحماض من جهة وإصابتها بالتبقع من جهة أخرى، حيث قدرت الـ pH في الأنسجة السليمة بـ $pH = 3.8$ ، في حين قدرت قيم الـ pH في الأنسجة المصابة بـ 4.7 [14].

ويمكن أن يعزى هذا التأثير لأشعة غاما في دورها المنظم لعمليات الاستقلاب و الأكسدة في الثمار المخزنة، ويدعم هذا الاقتراح نتائج [20، 12] التي بينت أن لأشعة غاما تأثيراً واضحاً على نشاط أنزيم الـ (MDH) malate dehydrogenase في ثمار التفاح.

وهناك تفسير مماثل اقترح من قبل [11] الذي درس جرعات إشعاعية تراوحت بين 0.5 و 1.0 كيلوغراي على ثلاثة أصناف من التفاح (الماكتوش، الكورتلاند، الروم بيوتي).

تأثير أشعة غاما على صلابة الثمار

لقد كان لجميع الجرعات الإشعاعية المستخدمة دور في خفض صلابة ثمار كلا الصنفين بعد التشميع مباشرة وكان هذا الانخفاض معنوياً وأكثر وضوحاً عند استخدام الجرعات المرتفعة (الجدول 5). تتفق هذه النتائج مع تلك التي توصل إليها [11] و [22] والتي أشارت إلى اختلاف مستوى الجرعة التي تسبب الطراوة من صنف لآخر. ومع ذلك فإن الجرعات التي تزيد عن 0.1 كيلوغراي تسبب طراوة للعديد من أصناف ثمار التفاح وذلك بعد التشميع مباشرة.

وربما يعود انخفاض صلابة الثمار المعاملة بالأشعة إلى انخفاض محتوى هذه الثمار من المركبات البكتينية والبكتين غير القابل للذوبان في الجدول 5- تأثير أشعة غاما على صلابة ثمار التفاح (نيوتن /سم).

الموقع	ظهر الجبل		الفتوات
	ستاركنج	غولدن	
الصنف المعاملة			
الشاهد	93.2 c	97.5 d	71.7 c
0.5 kGy	84.2 b	78.7 c	66.1 b
1.0 kGy	84.0 b	69.1 b	63.3 ab
1.5 kGy	75.8 a	61.7 a	59.5 a

لا توجد فروق معنوية بين الأرقام التي تحمل حروفاً متماثلة ضمن العمود الواحد.

تأثير أشعة غاما على العفن الأسود

تبين النتائج المثبتة في الجدول 3 أن لجميع الجرعات الإشعاعية المستخدمة تأثيراً في إعاقة انتشار العفن الأسود على السطح الخارجي للثمار المعالجة، وكان هذا التأثير للأشعة في إعاقة انتشار العفن معنوياً وأكثر وضوحاً عند استخدام الجرعات المنخفضة (0.5 و 1.0 كيلوغراي) وذلك مقارنة مع استخدام الجرعة المرتفعة (1.5 كيلوغراي).

يعتبر النوع A.Niger المسبب للعفن الأسود فطراً رمية ينمو على القشرة الخارجية للثمرة عند تكاثف الرطوبة الجوية عليها خلال التخزين ضمن شروط مبردة، ويكون تطوره ونموه بطيئاً ضمن هذه الشروط ولا يصل إلى مستوى ملحوظ في النمو إلا في نهاية فترة التخزين [14].

يمكن تفسير دور الأشعة في إعاقة نمو وتكاثر هذا الفطر من خلال تأثيرها المباشر على الأبواغ الموجودة على قشرة الثمار أو من خلال التغيرات والتبدلات التي تحدثها على مركبات ومكونات القشرة والتي تجعلها وسطاً غير ملائم لنمو هذا الفطر. لقد كانت نتائج هذه الدراسة متوافقة مع النتائج التي حصل عليها [7]. والذي أوضح أن ثمار التفاح الحاملة لهذا الفطر يمكن أن تخزن لمدة تتراوح بين 5 و 7 أيام في درجة حرارة $20^{\circ}C$ بعد تشميعها بجرعات قدرها 1.5 و 2 كيلوغراي وذلك من دون ظهور أية أضرار مرئية على الثمار. ويتفق هذا التفسير مع نتائج البشير [17] التي بينت ازدياد سماكة القشرة والطبقة الشمعية (الكوتيكول Cutical) عند الثمار المعرضة للأشعة خلال فترة التخزين، حيث كانت سماكة الطبقة الشمعية 2.83 ميكرون في ثمار الشاهد، في حين كانت 3.15 ميكرون عند الثمار المعاملة بجرعة إشعاعية قدرها 1.5 كيلوغراي. كما لوحظ أن الإصابة بالعفن الأسود قد ظهرت في ثمار صنف الغولدن ولم تظهر في ثمار الستاركنج. ويمكن أن يعزى ذلك إلى الاختلافات في سماكة القشرة بين الصنفين وهو ما يتفق مع ما ذكره [19] في دراسته التي فحص فيها الخصائص المختلفة للقشرة في صنفين من أصناف التفاح هما الغولدن الذي كانت سماكة قشرته 52.9 ميكرون والستاركنج الذي كانت سماكة قشرته بحدود 54.5 ميكرون.

تأثير أشعة غاما على تبقع قشرة ثمار الغولدن (Lenticel spots)

لقد كانت نسبة إصابة الثمار بالتبقع 49% عند تخزينها لمدة 180 يوماً في تجارب الموسم الأول وعند تخزينها لمدة 250 يوماً في تجارب الموسم الثاني. وبين الجدول 4 أن جميع الجرعات الإشعاعية المستخدمة قد أدت إلى خفض معدل ظهور الإصابة بتبقع القشرة وذلك خلال الجدول 4- تأثير أشعة غاما على تبقع قشرة ثمار تفاح الغولدن (%).

موسم الانتاج	1995			1996		
	180	210	250	180	210	250
مدة التخزين / يوم						
الشاهد	48.5 a	67.5 c	97.5 b	8.5 b	41.3 b	48.8 b
0.5 kGy	10.5 b	15.5 a	64.0 ab	0.0 a	1.3 a	2.0 a
1.0 kGy	13.0 b	27.0 a	55.0 a	0.0 a	0.0 a	0.0 a
1.5 kGy	5.0 b	19.0 a	32.5 a	0.0 a	0.0 a	0.0 a

لا توجد فروق معنوية بين الأرقام التي تحمل حروفاً متماثلة ضمن العمود الواحد.

و 2 كيلوغرام، في حين لم يسجل اختلاف في نسبة حمض Quinic بعد تنفيذ عملية التشميع، كما أورد [29] أيضاً زيادة في تراكم حمض السكسينيك عند ثمار التفاح المعالجة بالأشعة.

تأثير أشعة غاما على تبدلات اللون عند ثمار التفاح

لقد كان لجميع الجرعات الإشعاعية المستخدمة تأثير واضح في زيادة شدة اللون الأصفر وانخفاض شدة اللون الأخضر عند الثمار المشعة لكلا الصنفين (الجدول 7). وكان لجميع الجرعات الإشعاعية المستخدمة تأثير معنوي في زيادة شدة اللون الأصفر عند ثمار صنف الغولدن ديليشيس، في حين اقتصر هذا التأثير على استخدام الجرعة 1.0 كيلوغرام من الأشعة عند ثمار الستاركنج. وبشكل عام يمكن التأكيد على وجود تناسب طردي بين زيادة شدة اللون الأصفر والجرعة الإشعاعية المستخدمة عند الصنفين.

الجدول 7- تأثير أشعة غاما على تبدلات اللون عند ثمار التفاح (%).

اللون الجرعة / الصنف	اللون الأصفر		اللون الأخضر	
	غولدن	ستاركنج	غولدن	ستاركنج
الشاهد	100 a	100 a	100 b	100 a
0.5 kGy	107 b	114 ab	86 a	97 a
1.0 kGy	109 b	128 b	91 ab	78 a
1.5 kGy	109 b	120 ab	91 ab	74 a

لا توجد فروق معنوية بين الأرقام التي تحمل حروفاً متماثلة ضمن العمود الواحد.

لقد اختزل اللون الأخضر عند ثمار التفاح المشعة من كلا الصنفين مقارنة مع الثمار الشاهد، وكان هذا الاختزال في اللون الأخضر معنوياً (على مستوى ثقة 5%) عند ثمار الغولدن التي عُرضت لجرعة قدرها 0.5 كيلوغرام وظاهرياً عند بقية الجرعات الإشعاعية المستخدمة.

تعود زيادة شدة اللون الأصفر إلى زيادة تشكل الكاروتينات Carotenes، في حين أن انخفاض اللون الأخضر يعود إلى تفكك الكلوروفيل Chlorophyll. وتشير هذه التبدلات في اللون إلى دور الأشعة في تسريع نضج ثمار التفاح، وهو ما يتفق مع نتائج دراسات أخرى أجريت على أنواع متعددة من الفاكهة كالدراق [30] والفریز [31] والتي بينت أن للتشميع دوراً واضحاً في تحويل لون هذه الثمار من الأخضر إلى الأصفر أو الأحمر على التوالي.

REFERENCES

- [1] Mikaelson K. and Roer, L. (1960) Radiation experiments with potatoes and other plant products in Norway, in Rep. 16, Danish Atomic Energy Commission, Riso. 65.
- [2] Smock R. M. and Sparrow A. H. (1957) A study of the effect of gamma radiation on apples, Proc. Am. Soc. Hortic. Sci. 70: 76.

الماء. (البروتوبكتين Protopectin) وتحولها إلى أشكال بكتينية قابلة للذوبان في الماء. ويتفق هذا التعليل مع نتائج [24] التي بينت تساوي الجرعة المسببة لطراوة الثمار مع الجرعة اللازمة لتحلل مركبات السليلوز والبكتين، ومع نتائج م. البشير [17] التي بينت ارتفاع نشاط الأنزيمات المحللة للبكتين مثل أنزيم pectin methyl esterase (PME) في ثمار الجروناتان وذلك بعد معاملة بالجرعات 0.5 و 1 و 1.5 كيلوغرام مباشرة.

تأثير أشعة غاما على قيم الـ pH في عصير ثمار التفاح

تبين النتائج المثبتة في الجدول 6 أن جميع الجرعات الإشعاعية المستخدمة قد أدت إلى خفض معنوي في قيم الـ pH في عصير ثمار كلا الصنفين وذلك بعد التشميع مباشرة.

الجدول 6- تأثير أشعة غاما على قيم الـ pH عند عصير ثمار التفاح.

الجرعة / الصنف	غولدن	ستاركنج
الشاهد	3.48c	3.88c
0.5 kGy	3.35c	3.71b
1.0 kGy	3.23a	3.42a
1.5 kGy	3.21a	3.48a

لا توجد فروق معنوية بين الأرقام التي تحمل حروفاً متماثلة ضمن العمود الواحد.

وبذلك تتوافق نتائج هذه الدراسة مع نتائج تجارب [25] الذين أشاروا إلى حدوث انخفاض في قيم الـ pH عند الثمار المعاملة بالأشعة وذلك عند تخزينها لمدة شهر بعد تشميعها.

وأشار كل من [26, 27] والبشير [17] إلى أن التشميع يؤدي إلى إسراع تلف حمض التفاح Malic acid خلال فترة التخزين وذلك كنتيجة لزيادة شدة التنفس ونشاط بعض الأنزيمات الاستقلابية.

يمكن تفسير الانخفاض في قيم الـ pH العصير بزيادة كمية بعض الأحماض العضوية كحمض الليمون Citric وحمض السكسينيك succinic وحمض الكونيك quinic في الثمار. ولتأكيد هذا التفسير يجب تنفيذ المزيد من التجارب العميقة في المستقبل، علماً بأن هذا التفسير يتفق مع نتائج تجارب [28] التي أشارت إلى زيادة في كمية حمض الليمون عند ثمار التفاح المعاملة بجرعات إشعاعية قدرها 1

- [3] Beraha L; Ramsey G. B; Smith M. A; Wright W. R. and Heiligman F. (1961) Gamma radiation in the control of decay in strawberries, grapes and apples, Food Technol. 15: 49
- [4] Terui M. and Harada Y (1969). Gamma irradiation for control of diseases in stored apples. Hirosaki Daigaku Nogakubu Gokujustu Hokoku, 15:21.

- [5] Okamoto T; Harata J. and Osanai J. (1972) Radioinduced changes in respiration, organoleptic properties, weight, flesh firmness and surface color of apple fruits during controlled atmosphere storage, Hirosaki Daigaku Nogakubu Gakujutsu Hokoku, 18:1.
- [6] Park N. P; Choi E. H; Lee O. H. and Kim Y. M. (1971) Studies on the storage of apples. I. Effects of single or combined treatments of gamma radiation and Technology. 2(1): 81-87.
- [7] Roy M. K. and Mukewar P. M. (1973) Combined gamma irradiation and chemical treatment in the control of *Aspergillus niger* van Tighem and *Fusarium coeruleum* (Lib). sacc, in Radiation preservation of Food, IAEA, Vienna 193.
- [8] Langerak D. (1982) Combined heat and irradiation treatments to control mould contamination in fruit and vegetables; technical and preliminary res. no. 93; IAEA research contract no. 2491/R1/RF, research institute italy, Wageningen.
- [9] Kovacs E; Keresztes A. and Kovacs J. (1988) The effects of gamma irradiation and calcium treatment on the ultrastructure of apples and pears. Food Microstructure 7(1): 1-14.
- [10] Sass P. (1982) Variety, production place and storage system affecting apple storability (Az alma tarolhatóság meghatározó törvényszeregek a fajta, termőhely és tarolási módszerek összefüggései alapján) Akadémiai Doktore Ertekezés BP.
- [11] Massey L. M. Jr; Parsons G. F. and Smock R. M. (1964) Radiation Processing of foods; some effects of gamma radiation on the keeping qualities of apples, J. Agric. Food Chem. 12:268.
- [12] Chachin K. and Ogata K. (1976) Alteration of respiration chain in some fruits and vegetables irradiated by gamma radiation. Food Irradiation. 11(1/2): 13-15.
- [13] Al-Bachir M. and Sass P. (1969) Effect of ionizing radiation on the respiration intensity of pear and apple during storage. Acta Agronomica Hungarica. V. 38(1-2): 49-57.
- [14] Sass P. (1993) Fruit storage, Mezogazdasági Kiadó, Budapest.
- [15] Matthe F. N. and Marais P. G. (1963) Preservation of food by means of gamma rays. Food Irradiation. 4(1):10.
- [16] Beraha L; Ramsey G. B; Smith M. A. and Wrihgt W. R. (1959) Gamma radiation for possible control of post-harvest diseases of apples, strawberries, grapes and peaches. Phytopathology, 47,4.
- [17] Al-Bachir M. (1986) Az ionizáló sugárzás hatására a gyümölcs-felek és a csemegeszőlő tarolhatóságára. Keresztesi egyetem, kandidátusi értekezés. Budapest.
- [18] Xin Zhi Jiao. (1989) The effects of gamma-rays ultrastructure and ethylene biosynthesis in apple pulp cells, Plant Physiology Supplement v. 89(4):194.
- [19] Babos k; Sass P. and Mohachy P. (1984) Relationship between the peel structure and storability of apples. Acta Agr. Sci. Hung. 33(1-2): 41-50.
- [20] Bogdan J-ne; Al-Bachir M; Gasztonyi K. and Sass p. (1987a) Ionizáló Sugárzás hatása, a tarolt kórté és alma enzimaktivitására Lippay Tud. Ulesszak, Budapest II. Kot: 18-22.
- [21] Bogdan J-ne; Al-Bachir M. and Sass P. (1987b) Tarolt gyümölcsök enzimaktivitás- változása. Lippay Tud. Ulesszak, Budapest. II. Kot:136-142.
- [22] Boyle F. P; Kertesz Z. I; Glegg R. E. and Connor M. A. (1957) Effect of ionizing radiation on plant tissues, II softening of different varieties of apples and carrots by gamma rays, J. Food Res, 22:89.
- [23] Clark I. D. (1968) Effects of ionizing radiation on the storage properties of fruits, in preservation of fruit and vegetables by radiation, IAEA. Vienna, 65.
- [24] Kertesz Z. I; Glegg R. E; Boyle F. P; Parsons G. F. and Massey L. M. Jr. (1964) Effect of ionizing radiation on plant tissues III. softening and changes in pectins and cellulose of apples, carrots and beets, J. Food Sci. 29:40.
- [25] Kovalszkaja L. L; Zaharova N. V; Vidoro feeve E; Siskina N. Sz. and Petras I. P. (1973) Vlijanie ionizirujuščih izlučenij na funkcionalnue rasztojsztva v tkanjah jalblok. Dokladu naucsno. Tehnicsezskij Konferenci; po iszszledovaniju ioniziruscsih izuucsenij v narodnon hozjajsztve. 3. K.I.r.P.3-21
- [26] Saito Z. and Igarashi Y. (1971) Effects of gamma irradiation on changes in acidity, vitamin C, and nonprotein nitrogen of apples, Hirosaki Daigaku Nogakubu Gakujutsu Hokoku 16(1):1.
- [27] Saito Z. and Igarashi Y. (1972) Effects of gamma irradiation on changes in acidity, vitamin C, and nonprotein nitrogen of apples stored in a controlled

- atomsphere, Hirosaki Daigaku Nogakubu Gakujustu Hokoku. 20:13.
- [28] Fernandez S. J. G. and Clark I. D. (1962) Effects of ionizing radiation on the acid metabolism of apples (Cox orange pippin), J. Sci, Food Agric. 13:23.
- [29] Hulme A. C. (1962) Effects of ionizing radiation on the acid metabolism of apples (Cox orange pippin).- data cited in Fernandez, S. J. G, and Clark I, D. (1962). J. Sci. Food Agric; 13:23.
- [30] Williams J, Bramlage H, Melvin C (1965) Gamma radiation of fruits to extend market life, Market Quality Research Division, Agricultural Research Service.
- [31] Farkas J, Kalman B, Kiss I, Stenger V, Vas K. and Zacharier Gy (1981) Sugartechnologiai elelmiszeripari felhesznelasa, orszegos Musza; Fejlesztési Bizottsag, 8-8104-T. Budapest.
- [32] Internationao Consultative Group on Food Irradiation (ICGFI) (1994) Irradiation as a quarantine treatment of fresh fruits and vegetables. Vienna ICGFI Document No. 17.■

الاختيار الأمثل لتشكيل مسبار غاما - غاما الطيفية البثرية يستخدم مصادر إشعاعية منخفضة جداً لتحديد درجة الرصاص والزنك*

جمال أصلهاني

قسم الجيولوجيا - هيئة الطاقة الذرية السورية - ص.ب 6091 - دمشق - سورية

ملخص

برهنا في هذا البحث على ملاءمة مسبار غاما - غاما الطيفية المتبعثرة الراجعة المستخدمة في القياسات الجيوفيزيائية البثرية في توقع الرصاص والزنك المعدني المكافئ (ZME) (Zinc Metal Equivalent). استخدمنا مسباراً مركزاً ومصادر ذات شدات إشعاعية منخفضة جداً من مرتبة 1.8 ميغا بكريل (MBq). اختبرنا مسبار القياسات البثرية باستخدام الباريوم ^{133}Ba والسيزيوم ^{137}Cs ، وكان الكاشف عبارة عن بلورة يوديد الصوديوم المشعة بالتاليوم أبعادها 37 mm x 75 mm (قطر). درسنا خمسة تشكيلات ما بين المنبع المشع والكاشف وطبقناها من أجل دراسة ثمانية عشر نموذجاً جيوفيزيائياً، ثلاثة عشر منها كان قطر البثر فيها 130 mm، والخمسة الباقية كان قطر البثر فيها 160 mm. طبقنا تقانة تحليل التراجع regression analysis على المعطيات الجيوفيزيائية المخبرية من أجل كل تشكيل مدروس، وذلك بهدف الحصول على معادلة المعايرة التي تسمح استنتاجها بالتبؤ الكمي عن محتوى الرصاص والزنك المعدني المكافئ (ZME). وجدنا أن التشكيل الأمثل في حالة استخدام مصدر الباريوم هو 52 mm بين المنبع المشع والكاشف. يعطي هذا التشكيل أفضل النتائج من حيث تحديد محتوى Pb و ZME، فقد كانت الانحرافات المعيارية (r.m.s) من أجل كل من Pb و ZME من مرتبة 0.33% و 2.3% على التوالي. كما وجدنا أن التشكيل الأمثل في حالة استخدام مصدر السيزيوم هو 64 mm بين المنبع والكاشف، فهذا التشكيل يعطي أفضل النتائج إذ كانت الانحرافات المعيارية من أجل Pb و ZME من مرتبة 0.36% و 2.2% على التوالي.

الكلمات المفتاحية: قياسات بثرية، طريقة غاما-غاما، قياسات طيفية، مسبار بثرية.

في مجال القياسات البثرية ويكون الخطر المرافق لهذه القياسات بحدوده الدنيا.

تم تطبيق تقانة غاما - غاما الطيفية المتبعثرة الراجعة، والتي تستخدم مصدراً إشعاعياً ذا فعالية منخفضة، في مجال مناجم الفحم والحديد [1,2,3,4]، بالإضافة إلى تطبيق هذه التقانة في حقل المناجم المعدنية [5].

يهدف هذا العمل البحثي إلى البرهنة على إمكانية استخدام مسبار غاما - غاما الطيفية المتبعثرة الراجعة، باستخدام مصدر الباريوم المشع ذي الشدة الإشعاعية المنخفضة جداً، من أجل التحديد الكمي لكل من الرصاص والزنك، كما يهدف أيضاً إلى مقارنة الحساسية والدقة التي يتم الحصول عليها باستخدام هذا المصدر مع الحساسية والدقة التي يتم الحصول عليها باستخدام مصدر السيزيوم المشع ذي الشدة الإشعاعية المنخفضة جداً. فقد تم الاعتقاد أن مصدر الباريوم ^{133}Ba ذا الفعالية المنخفضة يمكنه أن يقدم حساسية أفضل من تلك التي نحصل عليها باستخدام السيزيوم ^{137}Cs من أجل تقدير المحتوى الكمي لكل من Pb و ZME [5]، ومن أجل ذلك، تمت دراسة وتحليل خصائص تشكيلات مختلفة بين المصدر المشع والكاشف بهدف الحصول على أفضل تشكيل جيوفيزيائي بثرية. تعد عملية الحصول على تشكيل لتباعد أمثل بين المصدر

مقدمة

هناك حاجة ملحة ومستمرة في مجال الاستكشاف المعدني والصناعات المنجمية، لتطوير تقانات تتصف بكونها سريعة جداً وذات دقة عالية لتحديد خصائص التوضعات المعدنية وتقدير المحتوى المعدني فيها. وبسبب هذه الحاجة أصبحت القياسات الجيوفيزيائية البثرية جزءاً متكاملًا في فعاليات الاستكشاف الحديث والتطوير المنجمي. ومن بين مختلف تقانات القياسات الجيوفيزيائية البثرية تبرز التقانات النووية التي تملك القدرة على تقديم توصيف وتقدير كمي، وتعد تقانة غاما - غاما واحدة من عائلة القياسات الجيوفيزيائية البثرية النووية.

تستخدم مسبار غاما - غاما مصادر إشعاعية ذات فعالية عالية جداً من مرتبة 2000 - 6000 ميغا بكريل (MBq). تنطوي هذه السويات العالية من النشاط الإشعاعي على صعوبات ومخاطر جمة تتعلق بسلامة وأمان الأشخاص العاملين بهذا المجال من جهة، وأثر ذلك على المستوى البيئي من جهة أخرى، وأكثر من ذلك فهذه المسبار ليست طيفية وهي تستخدم بشكل أساسي لتحديد جسم الخام المعدني فقط.

تؤمن التجهيزات البثرية النووية، التي تستخدم مصادر ذات شدات إشعاعية أقل من 3.7 MBq إعطاء توصيف كمي لسلامة البيئة والعاملين

* نشرت ورقة البحث هذه في مجلة (Applied Radiation and Isotopes, (1999).

والكاشف أساسية وضرورية من أجل تمدن خاص، وذلك بهدف الحصول على أفضل النتائج.

مواصفات مسبار القياس

هذا المسبار مصنوع من الألمنيوم بسماكة 3 مم وقطره الخارجي 60 مم، محتمل عليه كاشف NaI(Tl) أبعاده 75 mm × 37 mm لكشف إشعاعات غاما. تمت دراسة هذا المسبار المركز باستخدام مصدرين مشعين هما الباريوم 133 و السيزيوم 137 ذي الشدات الإشعاعية من مرتبة 1.8 MBq.

العمل المخبري

مصدر الباريوم ¹³³Ba

تم عزل الكاشف عن مصدر إشعاعات غاما بواسطة 30 مم من الرصاص، كما تم وضع مصفاة من الكاديوم والنحاس بين العازل الرصاصي والكاشف وذلك لامتصاص أي أشعة X غير مرغوب بها. وعلى اعتبار أن أشعة غاما الناتجة من مصدر الباريوم المشع لا يمكنها اختراق العازل الرصاصي، فقد تمت إضافة مصدر إشعاعي آخر بجسم المسبار وهو السيزيوم 137 ذي الفعالية 0.37 MBq، ليؤمن إحداث نبضة (Peak) عند 662 keV، الهدف منها ضمان الحصول على كامل طيف غاما المتبعثرة الراجعة. تم تسجيل أطيف غاما المتبعثرة الراجعة المدروسة في هذا البحث في حالة السكون (في حين تنفذ هذه القياسات البثرية عادة في وضعية الحركة وبسرعة تحرك المسبار من 2-3 م/دقيقة)، وتم تخزين معطيات هذه الأطيف مباشرة على القرص الصلب في حواسيب I.B.M الشخصية وذلك تمهيداً لتحليلها وتفسيرها فيما بعد.

أجريت قياسات غاما - غاما المتبعثرة الراجعة في المخبر بهدف تحديد التشكيل الجيوفيزيائي البصري الأمثل، الذي يتمتع بأفضل حساسية من أجل تحديد تركيز كل من الرصاص والزنك. كانت التشكيلات بين المصدر المشع وأسفل الكاشف 40، 52، 64، 76، 88، مم.

أجريت القياسات باستخدام مصدر مشع من الباريوم ذي الشدة الإشعاعية 1.8 ميغا بكرل في ثمانية عشر نموذجاً جيوفيزيائياً، ثلاثة عشر منها قطر البئر فيها 130 مم (النماذج: 3، 4، 5، 6، 10، 11، 12، 13، 14، 15، 16، 17، 18) بينما النماذج الخمسة الأخرى قطر البئر فيها 160 مم (النماذج: 1، 2، 7، 8، 9): يتألف كل نموذج من 200 لتر من الخام المعدني المطحون للرصاص والزنك ويكون مسبار القياس المستخدم متركز في النموذج المدروس.

مبدأ التحديد الكمي للرصاص

يتم تحديد المحتوى الكمي للرصاص من أشعة X عند الطاقة 80 keV، فهذه النبضة (Peak) الناتجة من وجود هذا المعدن مميزة في طيف شعاع غاما المتبعثر الراجع. إن إشعاعات غاما التي تملك طاقة أعلى من 80 keV يمكنها أن تهيج أشعة X من الرصاص منتجةً بذلك نبضة عند 80 keV. تُستخدم هذه النبضة لتحديد تركيز الرصاص، حيث أن عدد أشعة X المسجلة في هذه النبضة ترتبط مباشرة بتركيز الرصاص الموجود في خام الرصاص - زنك. ومع ذلك لا يمكن أن تكون العلاقة بين تركيز الرصاص ومساحة النبضة خطية تماماً، وهذا عائد إلى تشوه حزمة أشعة غاما بواسطة كامل الخام المعدني، ويجب أن تؤخذ هذه التغيرات بالحسبان أثناء معالجة وتفسير المعطيات.

تحديد الزنك المعدني المكافئ (ZME)

تعد وحدات الزنك المعدني المكافئ (ZME) قياساً مفيداً، إذ يزودنا باستجابة مسبار القياس غاما - غاما للتركيب الكلي للخام. إن أهمية إدخال هذا المتحول في هذا النوع من البحوث مرتبطة بحقيقة أن تقانة غاما - غاما ليست ملائمة لتمييز الزنك عن بقية العناصر الثقيلة الأخرى مثل Fe، Pb، Mn المترافقة مع خامات الرصاص والزنك.

يمكن تعريف ZME استناداً إلى المعادلة التالية:

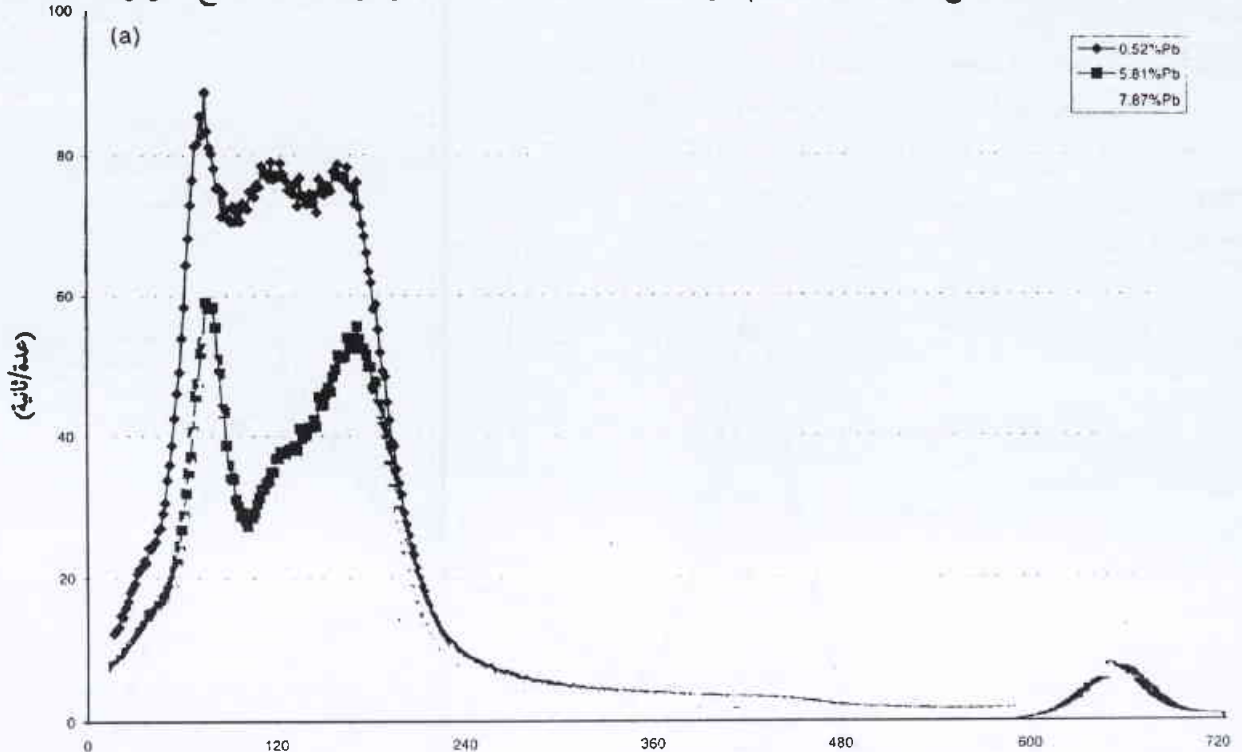
$$ZME = Zn\% + Pb\% \times Ef(Pb/Zn) \quad (1)$$

الجدول 1- التركيب الكيميائي لـ 18 نموذجاً جيوفيزيائياً مدروساً.

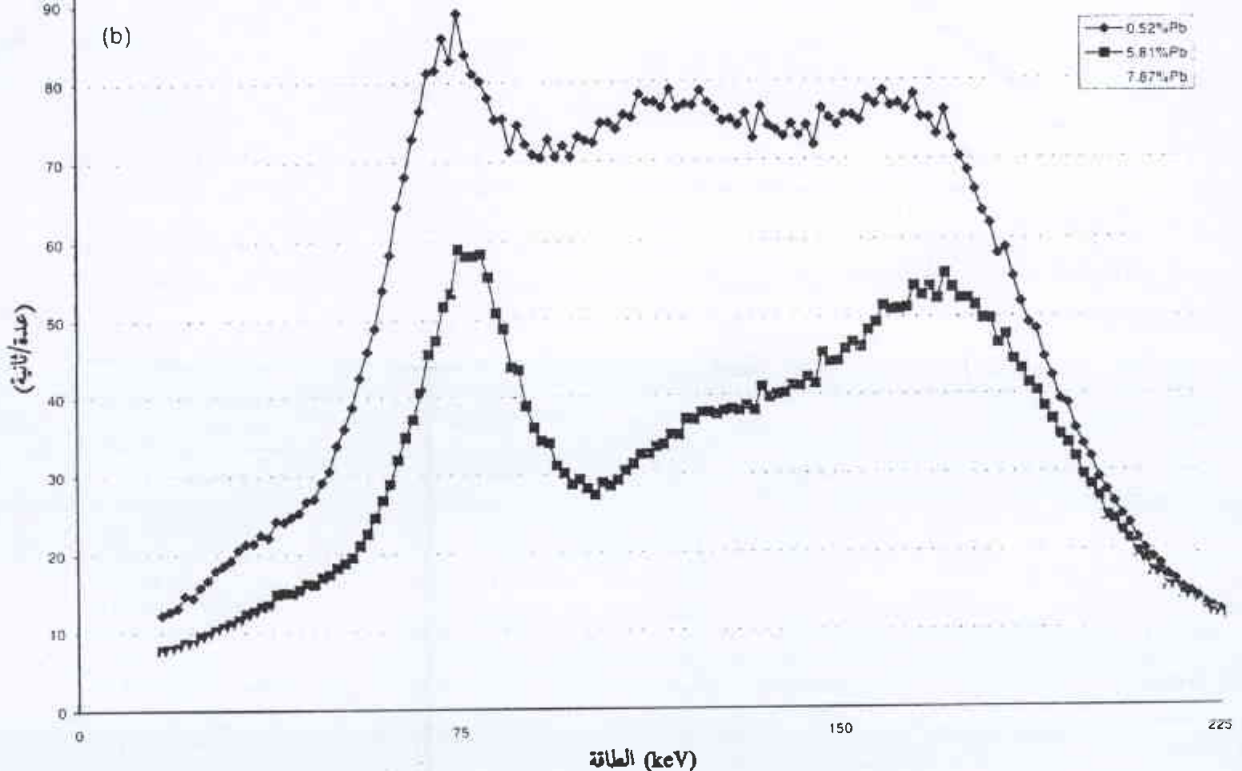
	قطر النموذج (mm)	Pb%	Zn%	Cu%	Fe%
1	160	1.82	7.63	-	7.53
2	160	1.49	18	-	6.65
3	130	4.27	4.71	0.051	13.24
4	130	3.83	4.32	0.043	13.22
5	130	5.81	5.86	0.065	13.34
6	130	0.52	0.52	0.033	5.49
7	160	0.445	3.13	-	8
8	160	1.9	19.1	-	6.01
9	160	2.62	11.5	-	6.07
10	130	7.1	19.08	0.081	15.50
11	130	5.02	6.03	0.066	13.41
12	130	5.4	6.52	0.08	12.01
13	130	5.06	6.42	0.063	12.67
14	130	5.74	12.48	0.09	12.26
15	130	7.87	9.4	0.080	16.23
16	130	0.65	0.87	0.02	5.51
17	130	7.77	9.47	0.073	15.4
18	130	6.66	9.2	0.07	15.86

0.37MBq. يتضح من الشكل 1b وهو عبارة عن صورة تفصيلية للطيف المعروض في الشكل 1a مأخوذ في نطاق الطاقات المنخفضة، أن تمايز الشدة الطاقية فيه يكون واضحاً بين النماذج الجيوفيزيائية الثلاثة المدروسة.

النماذج الجيوفيزيائية (5، 6، 15) والتي تختلف عن بعضها بكمية الرصاص (5.8%، 0.52%، 7.87%)، كما يُظهر الشكل ذاته النبضة عند المجال 662 keV والصادرة عن المنبع الثانوي من السيزيوم ذي الشدة



الشكل 1a- أطياف غاما - غاما المتبعثرة الراجعة باستخدام مصدر الباريوم ¹³³Ba. من أجل كميات مختلفة من الرصاص (5.81، 0.52، 7.87%).



الشكل 1b- أطياف تفصيلية للشكل 1a في المجالات الطاقية المنخفضة.

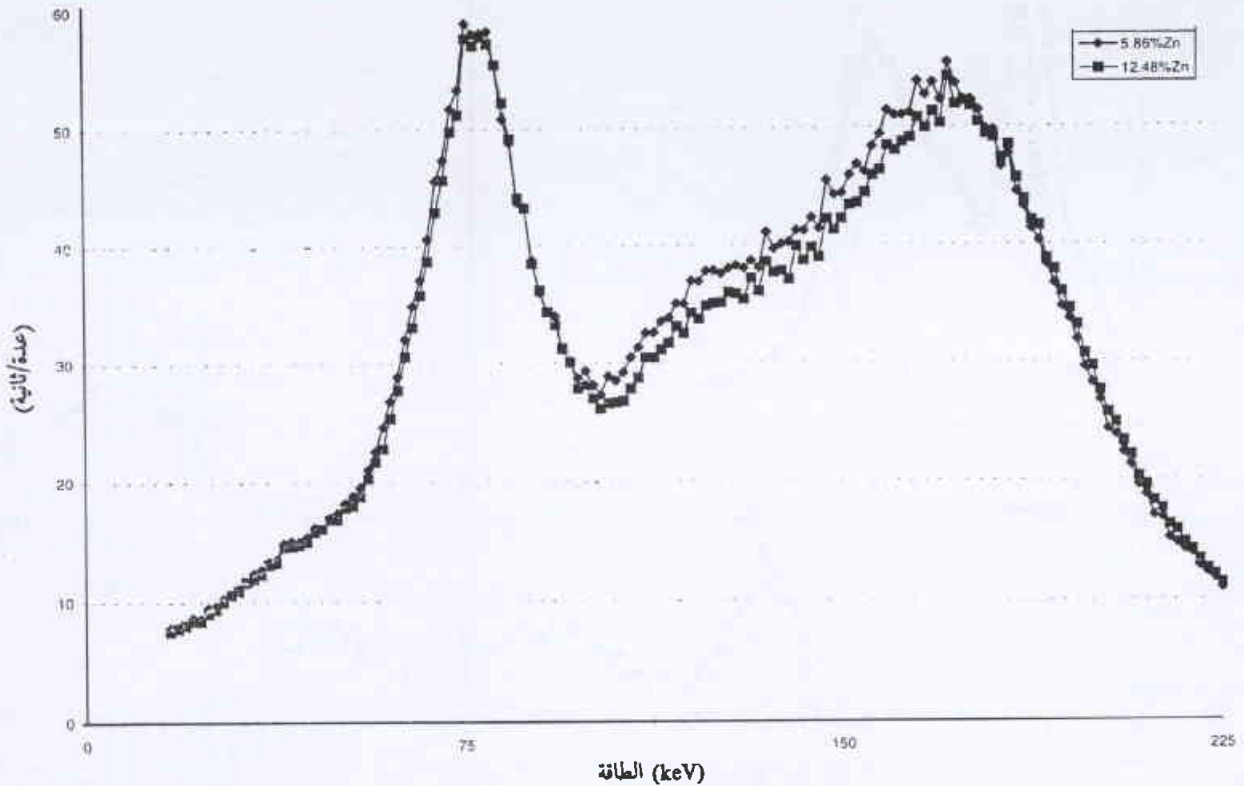
ومن السهل أن نلاحظ الاختلاف بالشدة الإشعاعية في هذين النموذجين والذي يُعزى للتباين في كمية الزنك.

طبّقنا طريقة التراجع لتحليل وتفسير المعطيات التي تم الحصول عليها من خلال دراسة ثلاثة عشر نموذجاً جيوفيزيائياً قطر البئر فيها 130 م، وذلك من أجل كل تشكيل من التشكيلات المدروسة (40، 52، 64، 76، 88 م) ونتائج هذا التحليل موضحة في الجدول 2.

تُظهر هذه النتائج القيم العالية لمعامل الارتباط ($R_c > 0.95$) بين قيم الرصاص المحللة كيميائياً وبين مختلف النسب الطيفية وثابت Pz/Pz هي النسبة بين العدات الإشعاعية المقیسة في مجالين طاقيين عالي ومنخفض،

ترتبط شدة غاما المتبعثرة الراجعة بعاملين أساسيين هما كثافة الوسط وتركيبه الكيميائي، إذ يؤثر التركيب الكيميائي للوسط بدوره على مجال الطاقات المنخفضة، بينما يحمل لنا مجال الطاقات المرتفعة معلومات عن كثافة الوسط المحيط بالبئر [6].

يمثل الشكل 2 الطيف المسجل في مجال الطاقة المنخفضة الذي تم الحصول عليه من خلال دراسة نموذجين جيوفيزيائيين هما النموذج 5 و14، اللذان يختلفان عن بعضهما فقط في كمية الزنك (5.86% و 12.48% على التوالي)، بينما تكون كمية الرصاص فيهما تقريباً متساوية (5.8%)،



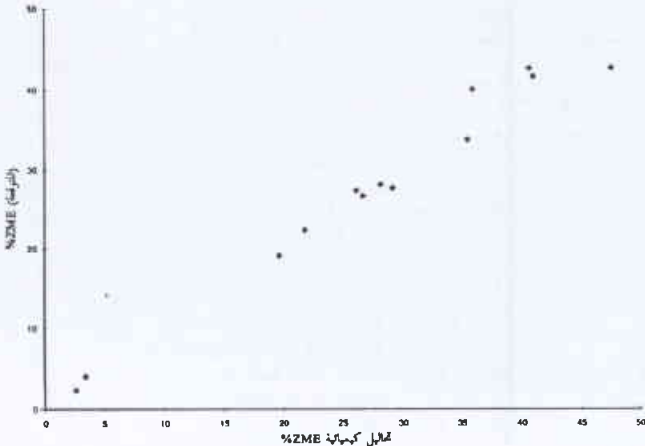
الشكل 2- أطراف تم الحصول عليها في المجالات الطاقة المنخفضة باستخدام نموذجين جيوفيزيائيين لهما نفس كمية الرصاص (5.8%) تقريباً ولكن كمية الزنك مختلفة (5.86، 12.48 %).

الجدول 2- نتائج تحليل التراجع المطبق من أجل خمسة تشكيلات مدروسة في حالة استخدام مصدر الباريوم المشع ^{133}Ba .

S- D	%Pb			التحويلات	%ZME			التحويلات
	rms	R_c	σ		rms	R_c	σ	
40 mm	0.41	0.96	2.3	Roi3 (51-100.5) keV Rat1 (51-100.5),(97.5-105) keV	2.88	0.949	13.47	Roi6 (135-180) keV Rat2 (225-300)/(75-105) keV
52 mm	0.33	0.97	2.3	Roi2 (52.5-108) keV Rat2 (51-100.6)(105-135) keV	2.3	0.961	13.47	Roi3 (150-180) keV Rat3 (225-300)/(45-120) keV
64 mm	0.39	0.96	2.3	Roi2 (52.6-108) keV Rat2 (51-100.5)/(105-135) keV	2.6	0.94	13.47	Roi6 (135-180) keV Rat1 (135-210)/(60-105) keV
76 mm	0.34	0.98	2.3	Roi2 (52.5-1108) keV Rat2 (51-100.5)(105-135) keV	2.72	0.93	13.47	Roi6 (135-180) keV Rat1 (135-210)/(60-105) keV
88 mm	0.34	0.98	2.3	Roi2 (52.5-108) keV Rat2 (51-100.5) (105-135) keV	2.78	0.94	13.47	Roi7 (180-232.5) keV Rat8 (135-180)/(51-100.5) keV

حيث Roi3: هي العدات الإشعاعية المقيسة في المجال الطاقتي (150-180 keV).

حيث Rat3: هي النسبة بين العدات الإشعاعية المقيسة في المجالين الطاقين (255 - 300 keV) و (45 - 120 keV).

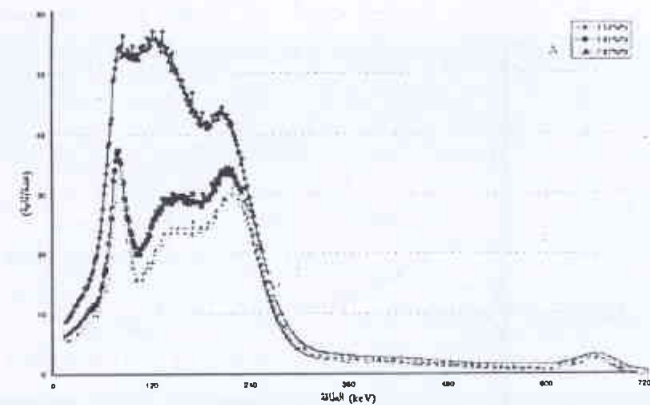


الشكل 4- مقارنة بين نتائج التحليل الكيميائي لـ ZME% ونتائج التنبؤ باستخدام مسبار غاما - غاما ومصدر مشع من الباريوم ¹³³Ba.

إن r.m.s بين نتائج التحليل الكيميائي ونتائج التنبؤ باستخدام تقانة غاما - غاما هو 2.3% لـ ZME، والانحراف المعياري من أجل التجمع هو 13.4% لـ ZME. إن كلا المتحولين المستخدمين في المعادلة 3 لهما معنى فيزيائي، فالنسبة Rat3 تعد كنسبة Pz وهي ترتبط بالتركيب الكيميائي لـ Zn وبالتالي لـ ZME، بينما ترتبط Roi3 على الأغلب بكثافة المادة.

مصدر السيزيوم ¹³⁷Cs

تم اختبار التشكيلات الخمسة لمسبار غاما - غاما التي أتينا على ذكرها باستخدام مصدر أولي مشع هو ¹³⁷Cs ذي الطاقة الإشعاعية 1.8MBq. يظهر الشكل 5 طيف تم الحصول عليه باستخدام ثلاثة نماذج



الشكل 5- أطياغ غاما - غاما المنبعثة الراجعة باستخدام مصدر مشع من السيزيوم ¹³⁷Cs من أجل كميات مختلفة من الرصاص (7.87, 0.52, 5.81)%.

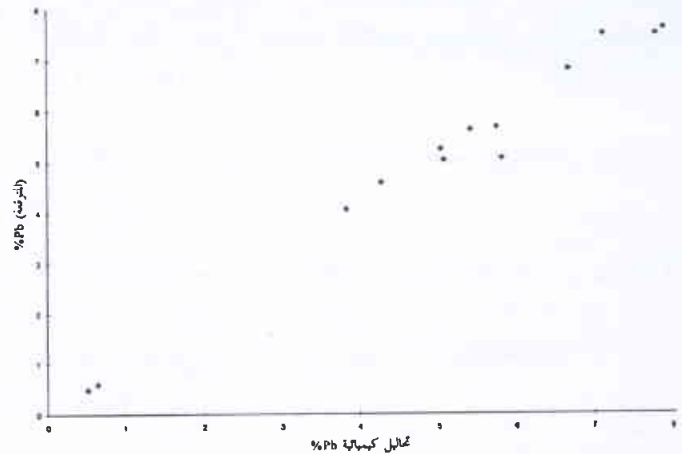
تتراوح قيمة r.m.s (الانحراف المعياري) بين نتائج القياسات الكيميائية والنتائج المحصول عليها من خلال تطبيق تقانة غاما - غاما الطيفية من 0.33% إلى 0.4% للرصاص. كما يعطي تطبيق التحليل التراجعي قيماً عالية لمعامل الارتباط ($R_c > 0.92$) بين قيم ZME المحسوبة كيميائياً وبين مختلف النسب الطيفية وثابت Pz، إذ تتراوح r.m.s بين القيم المحللة كيميائياً ونتائج التنبؤ بتقانة غاما - غاما من 2.3% إلى 2.88% لـ ZME. ومن الواضح أيضاً من الجدول 2 أن المسبار ذا التشكيل 52 مم بين المنبع والكاشف، يعد الأفضل لتقدير محتوى الرصاص و ZME كميّاً، فقد حصلنا من أجل هذا المسبار على أصغر قيمة لـ r.m.s وأعلى قيمة لمعامل الارتباط R_c .

يشير الشكل 3 إلى منحنى المعايرة بين نتائج التحليل الكيميائي للرصاص ونتائج التنبؤ عن الرصاص باستخدام مصدر الباريوم المشع ¹³³Ba من أجل مسبار غاما - غاما ذي التشكيل 52 مم. وبموجب التحليل التراجعي حصلنا على المعادلة التالية:

$$Pb\% = -7.15 - 0.024Roi2 + 13.377Rat2 \quad (2)$$

حيث Roi2: هي العدات الإشعاعية المقيسة في المجال الطاقتي من (52.5-108 keV).

Rat2: هي النسبة بين العدات الإشعاعية المقيسة في المجالين الطاقين (51-100.5 keV) و (105 - 135 keV).



الشكل 3- مقارنة بين نتائج التحليل الكيميائي لـ Pb ونتائج التنبؤ باستخدام مسبار غاما - غاما ومصدر مشع من الباريوم ¹³³Ba.

ومن أجل هذا المسبار ذي التشكيل 52 مم فإن r.m.s بين التنبؤ باستخدام غاما - غاما ونتائج التحليل الكيميائي هي 0.33% للرصاص، والانحراف المعياري من أجل التجمع هو 2.3% للرصاص.

يشير الشكل 4 إلى منحنى المعايرة بين نتائج التحليل الكيميائي لـ ZME ونتائج التنبؤ باستخدام مصدر الباريوم المشع ¹³³Ba من أجل مسبار غاما - غاما ذي التشكيل 52 مم. نحصل بتطبيق التراجع الخطي على المعادلة الناظمة التالية:

$$ZME\% = -182.28 + 0.041Roi3 + 1827.3Rat3 \quad (3)$$

المعياري للتجمع هو 2.33%. يشير الشكل 7 إلى منحني المعايرة بين نتائج التحليل الكيميائي لـ ZME ونتائج التنبؤ باستخدام مصدر السيزيوم المشع ومسبار القياس ذي التشكيل 64 مم. إن معادلة المعايرة للتنبؤ عن ZME لها الشكل التالي:

جيوفيزيائية (النموذج 5، 6، 15). إن القمة المميزة عند المجال 662 keV واضحة على هذا الشكل وهي تُستخدم من أجل استقرار الطيف. طبقنا تحليل التراجع لتفسير المعطيات التي قسناها في ثلاثة عشر نموذجاً جيوفيزيائياً كان قطر البئر فيها 130 مم. يظهر الجدول 3 نتائج هذه المعالجة للتشكيلات الخمسة المدروسة. تشير علاقات التراجع من أجل كل

الجدول 3- نتائج تحليل التراجع المطبق من أجل خمسة تشكيلات مدروسة في حالة استخدام مصدر السيزيوم المشع ^{137}Cs .

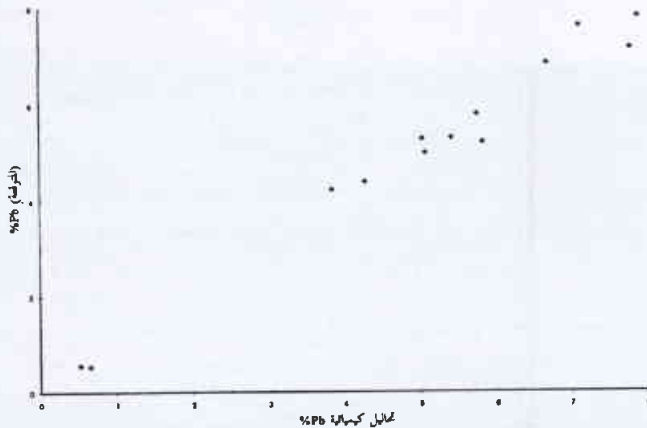
S-D التباعد	%Pb			التحويلات	%ZME			التحويلات
	rms	R_c	σ		rms	R_c	σ	
40 mm	0.29	0.987	2.33	Roi2 (52.5-108) keV Rat2 (51-100.5)/(105-135) keV	2.48	0.95	13.46	Roi14 (75-105) keV Rat7 (190.5-210)/(105-142.5) keV
52 mm	0.35	0.98	2.33	Roi2 (52.5-108) keV Rat2 (51-100.5)/(105-135) keV	2.73	0.9	13.46	Roi1 (30-52.5) keV Rat8 (135-180)/(51-100.5) keV
64 mm	0.36	0.971	2.33	Roi2 (52.5-108) keV Rat2 (51-100.5)/(105-135) keV	2.2	0.95	13.46	Roi7 (180-232.5) keV Rat5 (165-262.5)/(45-105) keV
76 mm	0.306	0.988	2.33	Roi2 (52.5-108) keV Rat2 (51-100.5)/(105-135) keV	2.83	0.94	13.46	Roi6 (135-180) keV Rat8 (135-180)/(51-100.5) keV
88 mm	0.377	0.98	2.33	Roi2 (52.5-108) keV Rat2 (51-100.5)/(105-135) keV	2.79	0.89	13.46	Roi11 (37.5-60) keV Rat8 (135-180)/(51-100.5) keV

$$\text{ZME}\% = -0.21 \text{ Roi7} - 78.26 \text{ Rat5} + 414.17 \quad (5)$$

حيث Roi7: هي العدات الإشعاعية المقيسة في المجال الطاقي (180 - 232.5 keV).

Rat5: هي النسبة بين العدات الإشعاعية المقيسة في المجالين الطاقيين (65 - 262.5 keV) و (45 - 105 keV).

إن قيمة r.m.s بين نتائج التحليل الكيميائي ونتائج التنبؤ هي 2.2% لـ ZME والانحراف المعياري للتجمع هو 13.465%. إن كلا المتحولين المستخدمين في المعادلة 5 لهما نفس المعنى الفيزيائي المستخدم في المعادلة 3.



الشكل 6- مقارنة بين نتائج التحليل الكيميائي لـ Pb ونتائج التنبؤ باستخدام مسبار غاما - غاما ومصدر مشع من السيزيوم ^{137}Cs .

تشكيل مدروس إلى قيم عالية لمعامل الارتباط ($R_c > 0.92$) بين قيم الرصاص المحللة وبين مختلف النسب الطاقية المبينة على المجالات الطاقية وثابت الـ Pz.

تتراوح قيم r.m.s بين قيم التحليل الكيميائي وقيم التنبؤ بتقانة غاما-غاما من 0.29% إلى 0.37% بالنسبة للرصاص، كما تشير علاقات التراجع إلى قيم عالية لمعامل الارتباط ($R_c > 0.89$) بين قيم ZME التحليلية وبين مختلف التحويلات الطاقية المستخدمة في معادلات المعايرة. تتراوح قيم r.m.s بين القيم المحللة لـ ZME وقيم التنبؤ بغاما - غاما من 2.20% إلى 2.83% لـ ZME. ويتضح من الجدول 3 أن المسبار ذا التشكيل 64 مم هو الأفضل للتنبؤ عن كل من Pb و ZME باستخدام مصدر السيزيوم المشع.

يشير الشكل 6 إلى منحني المعايرة بين نتائج التحليل الكيميائي للرصاص ونتائج التنبؤ عن هذا المحتوى باستخدام مسبار غاما - غاما ذي التشكيل 64 مم، وبموجب التراجع الخطي نحصل على المعادلة الناظمة التالية:

$$\text{Pb}\% = -0.0459 \text{ Roi2} + 13.35 \text{ Rat2} - 2.94 \quad (4)$$

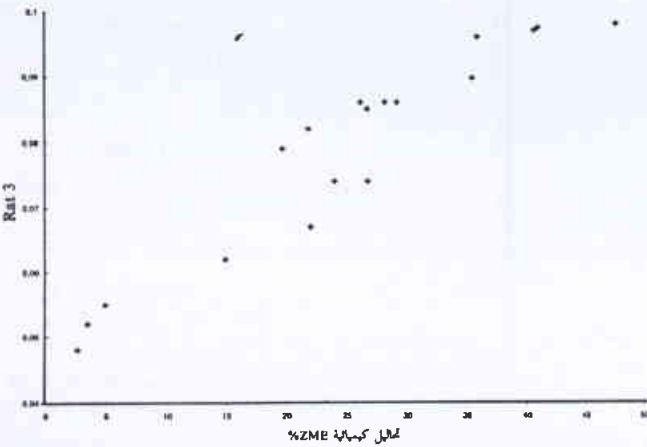
حيث Roi2: هي العدات الإشعاعية المقيسة في المجال الطاقي (52.5 - 108 keV)

Rat2: هي النسبة بين العدات الإشعاعية المقيسة في المجالين الطاقيين (51-100.5 keV) و (105-135 keV).

إن قيمة r.m.s بين قيم التنبؤ التي تم الحصول عليها بغاما - غاما ونتائج التحليل الكيميائي هي 0.36% من أجل الرصاص، والانحراف

استخدام الباريوم المشع، ومع ذلك فقد قمنا بتطبيق تحليل التراجع لدراسة وتحليل ثمانية عشر نموذجاً منها ثلاثة عشر تمت بقطر 130 مم وخمسة تمت بقطر 160 مم وذلك بعد أن طبقنا عامل تصحيح بأخذ بعين الاعتبار قطر البئر. قمنا بهذا الإجراء لزيادة عدد النقاط التي تدخل في عملية إنشاء معادلة المعايرة ووجدنا أن إنشاء هذه المعادلة باستخدام ثمانية عشر نقطة، بالاعتماد على متحولين يزيد من قيمة الـ r.m.s، بالمقابل فقد حصلنا على تحسین في قيمة r.m.s عندما اعتمدنا على متحول واحد فقط، وفي هذه الحالة انخفضت قيمة r.m.s من 4.5 إلى 4.1 من أجل ZME.

يظهر الشكل 8 منحني المعايرة لثماني عشر نقطة مدروسة بالنسبة للمتحوّل Rat3. إن Rat3 محددة سابقاً بالمعادلة 3.



الشكل 8- منحني معايرة بين ZME% و Rat3 يرتكز على معطيات ثمانية عشر نموذجاً جيوفيزيائياً (5+13).

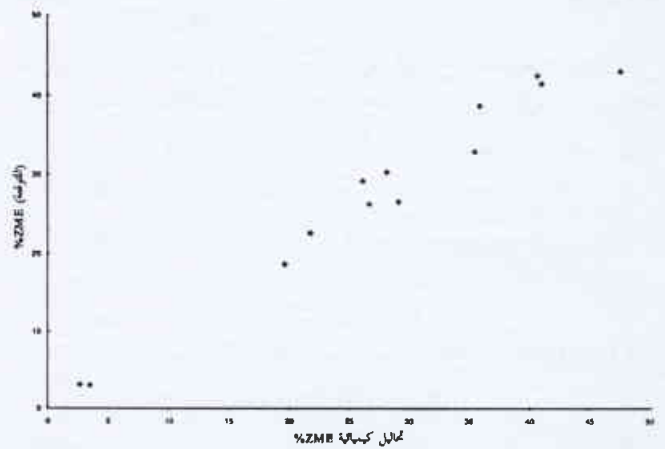
النتائج والمناقشة

تسمح المقارنة بين نتائج غاما - غاما المتبعثرة الراجعة في حالتها استخدام السيزيوم والباريوم باستنتاج النقاط التالية:

1 - من الملاحظ أن تغيير التشكيل بين المصدر المشع والكاشف من 40 مم إلى 88 مم ليس له تأثير كبير على الأطياف المستنتجة، ومع ذلك فقد وجدنا أن التشكيل 52 مم بين المصدر والكاشف، في حال استخدام الباريوم المشع كمصدر، هو الأفضل، بينما يعد التشكيل 62 مم الأفضل في حالة استخدام السيزيوم كمصدر مشع وذلك بسبب حصولنا على ترابط عالي من جهة، وحصولنا على r.m.s في الحدود المقبولة من أجل التنبؤ عن ZME و Pb من جهة أخرى.

2 - إن المتحولات الطاقية المستخدمة في معادلات التراجع من أجل كل من ^{137}Cs و ^{133}Ba لها معنى فيزيائي ذو دلالة إحصائية.

3 - من أجل الحصول على معادلة المعايرة لكل من ZME و Pb علينا اختيار ثابت أو ثوابت النموذج الذي يعطي أقل r.m.s ممكنة، وهذا واحد من الشروط التي نتبناها من أجل إنشاء هذه المعادلات. فعلى سبيل المثال في المعادلة 4 فإن أفضل r.m.s حصلنا عليه من أجل نموذج يدخل فيه متحولان هما Roi2 و Rat2 المعروفان سابقاً.



الشكل 7- مقارنة بين نتائج التحليل الكيميائي لـ ZME ونتائج التنبؤ باستخدام مسبار غاما - غاما ومصدر مشع من السيزيوم ^{137}Cs .

تأثير قطر البئر على فعالية وأداء مسبار غاما-غاما ذي الشدات الإشعاعية المنخفضة

من المعروف أن تقانة غاما - غاما البثرية تتأثر بتغيرات قطر البئر، وهو أحد مصادر الخطأ عندما تطبق تلك التقانة، وهذا الخطأ يكبر عندما نتعامل مع مسابر ذات تشكيلات قصيرة بين المنبع والكاشف. لقد تمويّننا مسبار غاما - غاما موضوع البحث الحالي ودرسنا تأثير تغيرات قطر البئر على النموذج الجيوفيزيائي رقم [2]، وذلك بأن استخدمنا قطرين مختلفين هما 130 مم و 160 مم.

يظهر الجدول 4 تأثير قطر البئر على المجالات الطاقية التي تهتمنا في التفسير ونسب تلك المجالات المستخدمة في معادلات المعايرة من أجل كل مسبار من المسابر المدروسة، وتمت هذه الدراسة من أجل كل من المصدرين السيزيوم ^{137}Cs والباريوم ^{133}Ba . يتضح من الجدول 4 أن النسب بين المجالات الطاقية تكون أقل حساسية لتغيرات قطر البئر، وهذا يعني أنه ينصح باستخدام هذه النسب في معادلات المعايرة بهدف تحديد ZME و Pb كميًا.

لم يسمح لنا العدد غير الكافي من النماذج التي تمت دراستها بوجود قطر بئر 160 مم (النماذج 1، 2، 7، 8، 9) بتطبيق تحليل التراجع في حالة

الجدول 4- تأثير قطر البئر في حالة استخدام كل من الباريوم والسيزيوم.

S-D التباعد	المصدر Ba (قطر) 160/130		المصدر Cs (قطر) 160/130	
	Pb	ZME	Pb	ZME
40 mm	Roi3 = 0.69 Rat1 = 0.91	Roi6 = 0.92 Rat2 = 1.07	Roi2 = 0.8 Rat2 = 0.98	Roi14 = 0.81 Rat7 = 1.19
52 mm	Roi2 = 0.94 Rat2 = 1.01	Roi3 = 0.94 Rat3 = 0.98	Roi2 = 0.88 Rat2 = 0.99	Roi1 = 0.90 Rat8 = 1.03
64 mm	Roi2 = 1.42 Rat2 = 0.98	Roi6 = 1.7 Rat1 = 0.97	Roi2 = 0.85 Rat2 = 0.97	Roi7 = 0.98 Rat5 = 1.02
76 mm	Roi2 = 1.02 Rat2 = 1.01	Roi6 = 1.07 Rat1 = 0.92	Roi2 = 0.88 Rat2 = 0.98	Roi6 = 0.92 Rat8 = 1.06
88 mm	Roi2 = 1.03 Rat2 = 1.01	Roi7 = 0.71 Rat8 = 1.06	Roi2 = 1.40 Rat2 = 0.978	Roi11 = 1.43 Rat8 = 1.04

- المسبار 52 مم وباستخدام كل من المصدرين الباريوم والسييزيوم، لوجدنا أن تلك الحساسية أفضل بقليل في حالة استخدام مصدر الباريوم.
- 6 - لا يختلف تأثير قطر البئر على الأطياف المسجلة باستخدام مسبار الإشعاعات الضعيفة سواء استخدمنا الباريوم أم السيزيوم.
- 7 - إذا أخذنا بالحسبان كل من r.m.s و Rc، والحساسية التي حصلنا عليها باستخدام كل من الباريوم والسييزيوم، ومن أجل التشكيلات الخمسة المدروسة لمسبار القياس، لوجدنا أن فعالية أداء هذا المسبار باستخدام المصدرين المشعنين هي ذاتها إلى حد ما، ولا توجد فروق تذكر تنجم عن استخدام الباريوم أو السيزيوم.

الخلاصة

برهنا من خلال هذا العمل على إمكانية تقانة غاما - غاما المتبعثرة الرجعة في القياسات البئرية وباستخدام مصدر إشعاعي ضعيف الشدة (1.8 MBq) من أجل التحديد الكمي لكل من Pb و ZME، كما تشير النتائج التجريبية إلى أن التشكيل البئر الأفضل هو المسبار ذو التشكيل 52 مم عندما نستخدم الباريوم كمصدر إشعاعي، وأن التشكيل البئر الأفضل هو المسبار ذو التشكيل 64 مم عندما نستخدم السيزيوم كمصدر إشعاعي.

عندما نستخدم السيزيوم كمصدر إشعاعي لا نحتاج إلى استخدام مصدر آخر يمكننا من الحصول على القمة عند 662 KeV، والتي تُستخدَم لاستقرار الأطياف أثناء تنفيذ القياسات البئرية، إذ نستخدم المصدر ذاته كمصدر أولي للإشعاعات ولاستقرار الأطياف، إضافة إلى ذلك فإن مصدر السيزيوم المستخدم يتصف بعمر نصف أكبر، كما أن إشعاعات غاما الصادرة عنه تتميز بعمق اختراق أكبر. بالمقابل يتطلب استخدام الباريوم المشع كمصدر إشعاعي وضع مصدر مشع إضافي من السيزيوم، وذلك للحصول على استقرار للأطياف.

يبدو أن هذه التقانة البئرية واعدة لتحديد الأجسام الفلزية في توضعات الرصاص والزنك، وهذا عائد إلى حساسيتها العالية تجاه تغيرات تراكيز العناصر ذات العدد الذري الكبير، ومن بينها Pb و Zn. كما يمكن لهذه التقانة أن تُستخدم بنجاح كبير لتحديد محتوى الزنك كميًا عندما تكون بقية العناصر الثقيلة من Fe و Mn و Cu المرافقة للزنك ثابتة أو يمكن تحديدها بتطبيق تقانات أخرى.

REFERENCES

- [1] Charbucinski j., (1993) The 'ZERO PROBE' -Low radioactivity borehole logging tool. In Transactions of the 1993 Nuclear Science Symposium, San Francisco, USA, Vol. 2, p.855.
- [2] Borsaru M. and Ceravolo C. (1994) A low activity spectrometric gamma - gamma borehole logging tool for the coal industry. Nucl. Geophys. 8,343-350.
- [3] Borsaru M., Ceravolo C. and Tchen T. (1995) The application of the low activity borehole logging tool to the iron mining industry. Nucl. Geophys. 9,55-62.
- [4] Charbucinski J., Ceravolo C. and Tchen T. (1996) Ultra - low activity spectrometric probe for the coal mining

ويجب الإشارة أيضاً إلى أن تفسير هذه المعطيات أُجري من أجل ثلاثة عشر نموذجاً جيوفيزيائياً لها نفس قطر البئر (130 mm)، بالمقابل عندما فسرنا نتائج ثمانية عشر نموذجاً جيوفيزيائياً مجتمعة (13+5)، لها أقطار مختلفة (130، 160 مم)، وجدنا أن Rat3 فقط هي التي تعطي أفضل النتائج للنموذج وبموجبها نحصل على أخفض قيمة ل r.m.s كما وضحنا في النص.

4 - إن المتحولات المستخدمة في معادلات المعايرة من أجل التنبؤ عن الرصاص (Roi2, Rat2) هي نفسها من أجل الباريوم ¹³³Ba و السيزيوم ¹³⁷Cs.

5 - اخبرنا حساسية مسبار القياس (S) في كلتا الحالتين من المصادر المشعة، السيزيوم والباريوم، وقارنا النتائج في الحالتين. تعطي هذه الحساسية (S) بالعلاقة:

$$S = \frac{Y_2 \cdot Y_1}{\bar{Y}} / \frac{X_2 \cdot X_1}{\bar{X}}$$

حيث Y₂, Y₁: قيم التنبؤ من أجل نقطتين 1 و 2.

\bar{Y} : وسطي التنبؤ من أجل 13 نقطة.

X₂ و X₁: قيم التحاليل الكيميائية من أجل نقطتين 1 و 2.

\bar{X} : وسطي التحليل الكيميائي من أجل 13 نقطة.

يشير الجدول 5 إلى هذه النتائج التي نلاحظ من خلالها اختلافاً طفيفاً في الحساسية بين المصدرين، ومع ذلك إذا قارنا تلك الحساسية في حالة

الجدول 5- حساسية مسبار القياس في حالة استخدام كل من الباريوم والسييزيوم.

التباعد S-D	المصدر Ba (حساسية)		المصدر Cs (حساسية)	
	Pb	ZME	Pb	ZME
40 mm	0.764	0.954	0.917	1.07
52 mm	0.876	1.057	0.837	1.04
64 mm	0.861	1.069	0.881	0.924
76 mm	0.872	1.062	0.944	1.1
88 mm	0.84	1.05	0.77	1.09

industry. Journal of Radiochemical and Nuclear Chemistry, Articles, Vol. 206, No 2,311-319.

- [5] Charbucinski J., Borsaru M., and Gladwin M., (1997) Ultra - Low radiation intensity spectrometric probe for ore body delineation and grade controle of Pb, ZN ore. Fourth Decennial international conference Ore Mineral exploration, september 14-18, 1997, Toronto, Canada.
- [6] Borsaru M., Charbucinski J., Eisler P.L. and Youl S. F. (1985) Determination of ash content in coal by borehole logging in dry boreholes using gamma - gamma methods. Geoprospection 23,503-518.■

الثقافة العلمية

قياسات على الكاشف الغازي GEM بمرحلتين*

جمال الدين عتاف

قسم الخدمات العلمية - هيئة الطاقة الذرية السورية - ص.ب 6091 - دمشق - سورية

ملخص

تم في هذا العمل إجراء قياسات على كاشف الإشعاع النووي المملوء بالغاز الحديث العهد والذي يدعى GEM، وذلك بهدف الحصول على أكبر قدر ممكن من التفاصيل عن آلية عمله وخاصة فيما يتعلق بتأثير الجهود العالية المطبقة على أقطاب هذا الكاشف. يتكون الكاشف المستخدم في هذه التجربة من مرحلتين تضخيم ذاتي وتمت القياسات باستخدام أشعة X من المنبع Fe^{55} .

الكلمات المفتاحية: كاشف GEM، كاشف غازي، تضخيم الشحنات.

مقدمة

كمون ناجم عن تطبيق فولتية عالية (HV). يُطبَّق بشكل مشابه بين الوجهين الناقلين للشريحة (طبقة النحاس) فرق كمون عالٍ مناسب، وبذلك نحصل على ثلاث مناطق عمل وهي:

- **منطقة الانجراف drift:** تكون في مواجهة الإشعاع ويشكل الكاتود غالباً النافذة وفيها يتم التأين الأولي للغاز معطياً إلكترونات وأيونات. نتيجة وجود حقل الانجراف الكهربائي تتجه الأيونات نحو الكاتود والإلكترونات باتجاه شريحة GEM.

- **منطقة التأين الانهياي avalanche:** وتقع بين ثقب الصفحية، ويسود، نتيجة الأبعاد الصغيرة، في هذه المنطقة حقل كهربائي عالٍ جداً من مرتبة 40 kV/cm يساعد على إجراء عملية التأين الانهياي التي هي أساس التضخيم الذاتي في الكواشف الغازية.

- **منطقة الانتقال transfer:** وفيها تتجه الإلكترونات الناتجة من عمليات التأين الانهياي إلى الأنود محرصة عليه إشارة الكاشف النهائية.

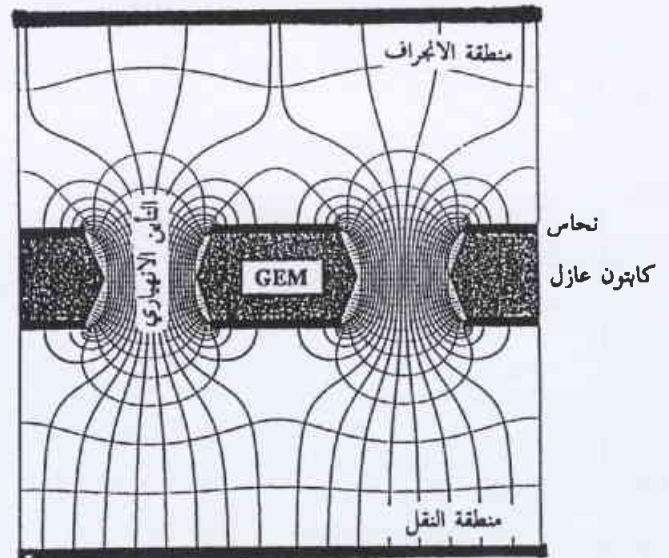
بملاحظة كثافة خطوط الحقول الكهربائية في المناطق السابقة نرى أنها كثيفة جداً بين الثقوب وأقل بكثير في مناطق الانجراف والانتقال. من هنا نرى أن الربح الأعظم للكاشف يتعلق بأبعاد الثقوب وبالفولتيات الخارجية المطبقة وطبعاً بنوعية الغاز. إن الميزة الرئيسة لهذا الكاشف هو إعطاء إشارة سريعة تتكون عملياً من مركبة الإلكترونات فقط التي تتجه في النهاية نحو الأنود وبالتالي إمكانية العمل في الأوساط ذات التدفق العالي دون أن يؤثر ذلك على الربح الكلي.

المواد والطرائق والقياسات

يهدف هذا العمل إلى إجراء القياسات اللازمة على كاشف ذي مرحلتين تضخيم تتكونان من صفحتي GEM، وذلك لمعرفة تأثير الفولتيات العالية المختلفة المطبقة على الكاشف وبالتالي معرفة أفضل شروط العمل لهذه التركيبة: حيث تبين من التجارب الأولى أن العمل بمرحلة واحدة (أي استخدام صفحية واحدة) لا يعطي ربحاً كافياً، لذلك تم اقتراح أن يُشكل الكاشف من أكثر من مرحلة، سواء كانت هذه

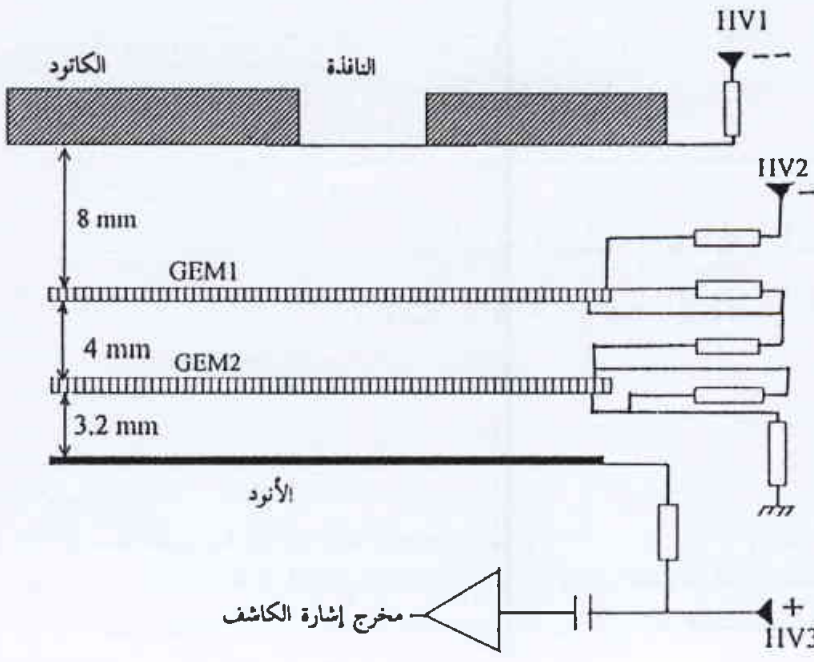
قُدِّم هذا النوع من الكواشف لأول مرة عام 1997 من قبل سولي [1,2] وهو كان أحد التطورات التي أساسها الكاشف MSGC [3] وكلا النوعين تم تطويرهما من أجل تطبيقات كواشف موضع الإشعاع localization detectors. تتكون صفحية Gas Electrons GEM Multiplication عموماً، وكما بين الشكل 1، من ركيزة من مادة عازلة متوضعة على جانبها طبقة من مادة معدنية ناقلة، والكل مثقب كيميائياً بثقوب شبه مربعة. وتقدّر سماكة الطبقات وأبعاد الثقوب بالمكرومتر.

يوضح الشكل 1 أيضاً مبدأ عمل هذا الكاشف حيث توضع شريحة من GEM بين قطبين معدنيين يشكلان الكاتود والأنود يوجد بينهما فرق الكاتود



الشكل 1- مبدأ عمل كاشف GEM.

* تقرير مختصر عن تجربة استطلاعية مخبرية أجريت في قسم الخدمات العلمية - هيئة الطاقة الذرية السورية.



الشكل 2 - أجزاء الكاشف المستخدم في هذا العمل.

المراحل عبارة عن عدة صفائح GEM أو صفيحة واحدة مع كواشف أخرى مثل MWPC أو MSGC.

تتكون صفيحة GEM المستخدمة في هذا العمل، من ركيزة من مادة الكابتون kapton العازل بسماكة 25 μm ، وتوضع على جانبيها طبقة من النحاس وبسماكة 18 μm . بالنسبة للثقوب فهي دائرية ذات قطر 50 μm وبتباعد مساوٍ لـ 100 μm بين مركزي كل ثقبين. تم صنع هذه الصفائح في مركز الأبحاث الأوربية CERN. يتكون الكاشف من صفيحتين GEM₁ وGEM₂ مع أقطاب مساعدة أخرى كما يوضح الشكل 2 أي من مرحلتي تضخيم ذاتي.

يتكون الغاز الموجود داخل الكاشف من مزيج من الغازين Ar85% + C₂H₆ 15% تحت الضغط الجوي، أما الإشعاع المكشوف فهو إشعاع X للمنبع ⁵⁵Fe والذي يعطي طاقة رئيسية قدرها 5.8 keV والذي يدخل عبر نافذة من مادة Mylar الناقلة والملصقة بإحكام مع حاضن الكاشف.

بالنسبة لقطب التجميع أو الأنود كان عبارة عن شرائح من النحاس مُرشبة على ركيزة من الفيبر العازل. وُصِلت أقطاب الكاشف كما هو موضح في الشكل مع ثلاث فولتيات عالية HV₁ - HV₂ - HV₃ وهي الفولتيات المولدة بشكل رئيسي للحقول الكهربائية في مناطق الانجراف والتأين الانهياري والانتقال على التوالي: فالفولتية السالبة HV₁ وصلت مع الكاتود، أما HV₂ وهي أقل سلبية فقد وصلت مع الصفيحتين عن طريق مجزء كموّن بواسطة مقاومات كهربائية، أما الأنود فوصل مع الفولتية الموجبة وهي HV₃. تم تثبيت الفولتية HV₁ لأنها لا تؤثر كثيراً على قيمة الربح الكلي في الكاشف عند القيمة HV₁ = -3000 V وجرّت دراسة تأثير تغير الفولتيتين HV₂ وHV₃.

أولى القياسات كان هدفها دراسة تأثير الفولتيات العالية على الربح الكلي للكاشف. لذلك تم وصل HV₃ إلى الصفر (الأرضي)، وتمت دراسة تغير مطال إشارة الخرج كتابع للفولتية HV₂. حيث تبين أن أكبر مطال إشارة حصلنا عليه يساوي 50 mV الموافق لربح كلي قدره 7.5 x 10³. كذلك تمت معرفة الفولتيات الموافقة لبدء ظهور الإشارات وظهور الانهيارات breakdowns وهي توافق على الترتيب قيم لـ HV₂ : 1750 V و -2050 V. لمعرفة تأثير الفولتية HV₃ دُرِس تطوّر إشارة الكاشف أيضاً كتابع لـ HV₂ ولكن من أجل قيم لـ HV₃ هي: +500 V، +1000 V، +1500 V. حيث حصلنا على تضخيم أكبر وصل إلى 4.5 x 10⁴. لاحظنا أيضاً أنه في هذه الحالة تمت عملية إزاحة لقيم HV₂ الموافقة لبدء الإشارة والانهياري نحو قيم أخفض. كذلك تمت دراسة تغير مطال الإشارة كتابع لفولتية الأنود HV₃ حيث أمكن البرهان على دور هذا الجهد في تسريع الإلكترونات نحو الأنود.

في المجموعة الثانية من القياسات جرى تسجيل إشارة الكاشف من أجل دراسة تأثير الفولتيات العالية على شكل الإشارة، لقد تبين أنه قبل بداية ظهور التأين الانهياري فإن الإشارة تتكون من مركبات الإلكترونات

الآتية من منطقة الانجراف وهي بطيئة ولا تتأثر كثيراً بالفولتية HV₃. كذلك تبين أن زمن صعود الإشارة ثابت ويساوي حوالي 100 ns ولا يتعلق بتغير قيمة شدة الحقل في منطقة الانتقال الذي تمت دراسته بين القيمتين: 6.18 kV/cm و 2.475 kV/cm حيث يبدو أنه في هذا المجال من شدة الحقل وفي المزيج من الغاز المستخدم فإن سرعة الإلكترونات ثابتة كما تبينه المنحنيات المرجعية الخاصة بذلك.

أما القياس الأخير فكان هدفه قياس طيف الطاقة وهذا ضروري لمعرفة صحة عمل أي كاشف حتى لو لم يستخدم لهذا الغرض بالذات. إن أفضل طيف حصلنا عليه كان ضمن الشروط التالية:

$$HV_1 = -3000 \text{ V}, HV_2 = -1120 \text{ V}, HV_3 = +1000 \text{ V}$$

أما مقدرة فصل الطاقة فكانت 0.368.

بعد هذه الاختبارات وبعد معرفة أفضل البارامترات لعمل الكاشف، فقد أصبح استخدامه جاهزاً في تطبيقات كشف موضع الإشعاع وهو الهدف الأساسي منه بعد وضع الدارات الإلكترونية المناسبة لهذا الغرض.

المناقشة

تؤكد النتائج على الميزات الجيدة والمرجوة من هذا الكاشف وهي إعطاء إشارات سريعة، كما تبين تأثير وضع مرحلتي تكبير ذاتي للحصول على إشارة مناسبة ذات مطال كافٍ لأخذ معلومات منها. كذلك بينت هذه القياسات تفاصيل عن آلية عمل هذا الكاشف وعمل كافة الأجزاء التي تدخل في آلية تأين الإشعاع وتشكل إشارة الكشف.

في النهاية حصلنا على قيم الفولتيات العالية المطبقة على هذا الكاشف التي تعطي أفضل شروط عمل مع عامل تضخيم ذاتي وصل إلى 4.5 x 10⁴ ومطال أعظمي للإشارة عند خرج المضخم الأولي يساوي 300 mV.

REFERENCES

المراجع

[1] F. Sauli, GEM: A new concept for electron amplification in gas detectors, Nucl.Instr. and Meth. A386 (1997).

[2] F.Sauli, A. Sharma, Micro-Pattern gaseous detectors, CERN-EP/99-69, 10 May 1999.

[3] A. Oed, , Nucl.Instr. and Meth A263 (1990).

دراسة استقرارية الماء الثقيل زمنياً باستخدام مطيافية الأشعة تحت الحمراء*

موسى الإبراهيم - هالة الصواف

قسم الكيمياء - هيئة الطاقة الذرية السورية - ص.ب 6091 - دمشق - سورية

ملخص

أجريت مجموعة من التجارب العملية التمهيدية لمجال تركيز الماء الثقيل في الماء العادي من 99.677% حتى 99.743% (وزن/وزن) المقترح للدراسة عند العدد الموجي 3400 cm^{-1} بهدف وضع الشروط المثلى لسماكة كل من خليتي الشاهد والعينة. تم الحصول بنتيجة التجارب العملية عند الزمن ($t_0 = 0$) على خط مستقيم دالاً على تغير الكثافة الضوئية (O.D) بتغير تركيز الماء الثقيل في الماء العادي عند العدد الموجي 3400 cm^{-1} . توضح النتائج العملية للعينات المدروسة، أنه يحصل ازدياد في الكثافة الضوئية مع الزمن للزمرة O-H عند العدد الموجي 3400 cm^{-1} ، مما يبرهن أن مجال تركيز الماء الثقيل المستخدم في هذه الدراسة يمتص بشدة بخار الماء الموجود في الهواء، وتتناسب امتصاصية الماء الثقيل لبخار الماء طردياً مع زمن تعرض العينة للهواء.

الكلمات المفتاحية: ماء ثقيل، مطيافية الأشعة تحت الحمراء، كثافة ضوئية.

مقدمة

ثابت)، وبناء على هذا المنحني يمكن مراقبة تركيز الماء الثقيل المستخدم في التطبيق العملي. وبعد ذلك تؤخذ العينات المحضرة ضمن مجال تركيز الماء الثقيل في الماء العادي المقترح للدراسة وتعرض للهواء المحيط خلال فترات زمنية مختلفة للحصول على طيوفها وتحديد قيم الكثافة الضوئية، ومن ثم رسم الكثافة الضوئية مع الزمن للماء العادي المتص من قبل الماء الثقيل.

نتائج ومناقشة

لقد استخدمت مطيافية الأشعة تحت الحمراء لتحديد الرطوبة التي يمكن أن تمتص من قبل الماء الثقيل، وذلك بكشف الرابطة O-H الموجودة بتركيز قليل عند العدد الموجي 3400 cm^{-1} ، لكون العمل يتم بتركيز عالية من الماء الثقيل. وعند تحديد المنحني العياري لتغير الكثافة الضوئية بتغير تركيز الماء الثقيل في الماء العادي عند العدد الموجي 3400 cm^{-1} وفي الزمن $t_0 = 0$ أي دون تعرض عينات الماء الثقيل المحضرة في الماء العادي للهواء وجد أن العلاقة ما بين الكثافة الضوئية وتركيز الماء الثقيل هي علاقة خطية وتخضع لمعادلة مستقيم حيث تزداد الكثافة الضوئية بتناقص تركيز الماء الثقيل.

فموجب دراستنا هذه نستطيع أن نعتبر التوازن التالي:

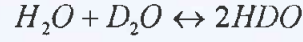
يتمتع الماء الثقيل بخصائص هامة في مجال المفاعلات النووية تميزه عن غيره من المواد وهي قدرته على تهدئة النيوترونات الناتجة من الانشطارات النووية من جهة، واستخدامه كمبرد أولي في المفاعل من جهة أخرى. كما أنه يؤدي دوراً أساسياً في كثير من التطبيقات الهامة الأخرى ليس فقط في الصناعة النووية، وإنما في مجالات مختلفة كاليحوت التطبيقية والأساسية لعلوم الفيزياء والكيمياء، وعمليات الوبس البيولوجية، والتفاعلات الكيميائية، ودراسات المقارنة لخواص الهيدروجين والديتيريوم ومركباتهما. ولذلك فإن دراسة الماء الثقيل من حيث تأثيره بالرطوبة التي يمكن أن يمتصها بسرعة من الهواء المحيط تعتبر أمراً هاماً وضرورياً لمختلف التطبيقات التي تستخدم الماء الثقيل كمادة أساسية. وتأتي دراستنا هذه باستخدام مطيافية الأشعة تحت الحمراء لتحقيق هذا الغرض حيث تتركز بشكل أساسي على التحديد الكمي للماء الثقيل في الماء العادي ضمن مجال محدد من التراكيز عند عدد موجي ثابت وفي الزمن $t_0 = 0$ وهو الزمن الذي لم تتعرض فيه العينات المدروسة للهواء، بهدف تحديد النفوذية % ثم تطبيق قانون بير - لامبرت لتحديد المنحني العياري (الكثافة الضوئية بدلالة تركيز الماء الثقيل في الماء العادي عند عدد موجي

* تقرير مختصر عن دراسة علمية مخبرية أنجزت في قسم الكيمياء - هيئة الطاقة الذرية السورية.

التطبيق العملي. وبناء عليه يمكن تحديد ومراقبة تركيز أي عينة من الماء الثقيل.

وعند دراسة تغير الكثافة الضوئية مع الزمن للزمرة O-H عند العدد الموجي 3400 cm^{-1} بتعريض كل عينة من عينات الماء الثقيل المحضرة ضمن مجال التركيز المذكور % (99.677 - 99.743) إلى الهواء وبأزمنة مختلفة يتبين لنا أن الكثافة الضوئية لكل عينة تزداد بازدياد زمن تعرض العينات للهواء وهذا يعني أنه عند تعريض عينات الماء الثقيل للهواء يحدث امتصاص شديد للماء العادي H_2O يتناسب مع زمن تعرض العينة للهواء، ويتم كشف هذا الامتصاص بمطيافية الأشعة تحت الحمراء من خلال مراقبة القمة العائدة للرابطة O-H عند العدد الموجي 3400 cm^{-1} لكل عينة مع الزمن، فكانت شدة هذه القمة تزداد بازدياد زمن تعريض عينات الماء الثقيل للهواء أي تزداد الكثافة الضوئية.

بناء على ذلك نستنتج أن الماء الثقيل وهو ماص شديد للرطوبة الموجودة في الهواء لذلك يجب الحرص والانتباه عند التعامل معه وخاصة أثناء استخدامه في المجال العملي، وبالتالي يمكن وضع نتائج هذه الدراسة في التطبيق العملي لمراقبة تركيز الماء الثقيل والتغيرات التي يمكن أن تطرأ عليه وتؤدي إلى تدني أدائه. ■



$$K = \frac{(\text{HDO})^2}{(\text{H}_2\text{O})(\text{D}_2\text{O})} = 3.8 \quad \text{عند } 25^\circ\text{C}$$

وبما أن المحاليل المدروسة تحوي على H_2O بتركيز منخفض جداً لذلك يمكن أن نهمل تركيز H_2O وبالتالي يكون سائداً في المحلول تركيز كل من HDO و D_2O ونتيجة لذلك يستخدم من أجل التحليل الكمي في دراستنا هذه تواتر امتطاط الرابطة O-H العائدة لـ HDO ، ويتم قياس هذه الرابطة عند العدد الموجي 3400 cm^{-1} .

واستناداً إلى النتائج الحاصلة لتغير الكثافة الضوئية في الزمن $t_0=0$ بتغير تركيز الماء الثقيل في الماء العادي عند العدد الموجي 3400 cm^{-1} يتبين لنا أن قانون بير - لامبرت يكون محققاً من أجل مجال التركيز المستخدم في هذه الدراسة وأنه يمر بشكل شبه كامل من كافة النقاط المدروسة، كما يتبين لنا من حساب قيمة معامل الارتداد الخطي لهذه المستقيم والتي هي $r = -0.9998$ الدقة في الحصول على هذا المستقيم باستخدام مطيافية الأشعة تحت الحمراء وأنه يمكن وضع نتائج هذا المستقيم الحاصل في

الظاهرة الشجرية المضاعفة في الكواشف البلاستيكية مسارات الشظايا النووية*

عماد حضير

قسم الفيزياء - هيئة الطاقة الذرية السورية - ص. ب 6091 - دمشق - سورية

إبراهيم عثمان

قسم تكنولوجيا الإشعاع - هيئة الطاقة الذرية السورية - ص. ب 6091 - دمشق - سورية

ملخص

تم البحث في النظريات التي يمكن الإستعانة بها لتفسير الظاهرة الشجرية المضاعفة والتي اكتشفت أثناء أمثلة شروط كشف شظايا انشطار ^{235}U بترونات حرارية بواسطة الكواشف البلاستيكية النمّشة كهكيميائياً كالتوفاك والليكسان $\text{C}_{16}\text{H}_{14}\text{O}_3$. انطلاقاً من اعتبارات طاقة ومعدل تواتر هذه المشاهدات التجريبية، أعطينا تفسيرين نظريين محتملين لظاهرة تشكل الظاهرة الشجرية المضاعفة في الكواشف البلاستيكية: الأول هو الانشطار الثلاثي لـ ^{235}U وإصدار جسيمات α أو ^8Be والثاني هو إصدار α التلقائي من ^{235}U . ودعونا هذه التفسيرات بحسابات المدى لهذه الجسيمات في الليكسان. إضافة إلى ذلك، هناك ثلاث آليات أقل احتمالاً من التفسيرين السابقين وهي ارتداد ذرات وسط الكاشف نتيجة صدمها بشظايا الانشطار أو انعكاس شظايا الانشطار عن ركيزة عينة اليورانيوم المصنوعة من فولاذ لا يصدأ (الستانلس ستيل) أو أفعال ميكانيكية في الكواشف إما من المصدر أو أثناء الشحن والاستثمار.

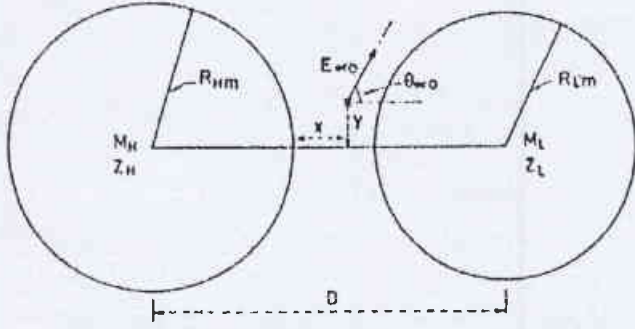
الكلمات المفتاحية: الكواشف البلاستيكية، الانشطار الثلاثي، حسابات المدى.

مقدمة

LiF ملامسة لصفحة من اليورانيوم وذلك إثر تشعيعها بالترونات الحرارية وإجراء معالجة كيميائية مناسبة. وتشابه تقانة الكشف هذه الطرائق التي كانت متبعة سابقاً كاستخدام الحجر الضبابية 1911 والحجرة الفقاعية 1952 والحجرة الشرارية 1957 وتقانات تسجيل المسارات المطورة في نفس

اكتشفت المسجلات الصلبة لمسارات الجسيمات النووية Solid State Nuclear Track Detectors - SSNTD عام 1958 من قبل يونغ A. D. Young عندما لاحظ تشكل مسارات على بلورة

* تقرير مختصر عن بحث علمي أنجز في قسم تكنولوجيا الإشعاع - هيئة الطاقة الذرية السورية.



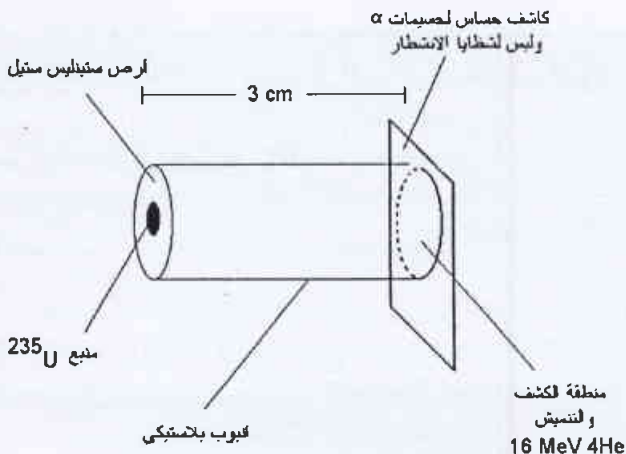
76 ± 8 انشطاراتاً. ونشير إلى أن التأين النوعي الكبير لـ ^8Be والمقدر بـ 1.02 MeV/mm يزيد بحوالي عشر مرات عن التأين الناجم عن ^4He الصادر عن منبع ^{235}U .

حسابات لدى الجسيمات المرافقة للانشطارات الثلاثي لـ ^{235}U باستخدام الكود DEDXT.

جسيمات مشحونة مرافقة للانشطارات الثلاثي لـ ^{235}U	في الهواء (mm)	في الليكسان (mm)
$17 \text{ MeV } ^8\text{Be}$	13	0.05
$16 \text{ MeV } ^4\text{He}$	60	0.25

إلا أن القياسات التجريبية [3] غير المدعومة بأحصاءات مناسبة بينت أن أطوال المسارات المستعرضة المسجلة في الليكسان بعد التنميش تتراوح بين 0.002 mm و 0.007 mm فقط كما لم ترصد الزوايا التي تصنعها هذه المسارات المستعرضة مع اتجاه مسار شظايا الانشطارات. وهذه القيم أصغر بحوالي عشرة مرات من القيم المقدرة نظرياً بالنسبة لـ $17 \text{ MeV } ^8\text{Be}$ وبحوالي خمسين مرة بالنسبة لـ $16 \text{ MeV } ^4\text{He}$. كما أن مدى ^4He الصادر عن منبع ^{235}U في الليكسان والمقدر بحوالي 0.015 mm ينسجم مع بعض الشيء مع القياسات التجريبية في ضوء الإحصاءات المتاحة الأمر الذي يُرجح فرضية جسيمات α .

أما لإختبار نظرية جسيمات α المصدرة تلقائياً من ^{235}U أو المصدرة خلال الانشطارات الثلاثي فقد تم اقتراح التجربة المبينة في الرسم التوضيحي



اكتشفت ظاهرة الإنشطارات الثلاثي عام 1947 [4] عندما لوحظ ترافق 3% من انشطارات ^{235}U بإصدار جسيمات مشحونة قصيرة المدى تم التعرف عليها بأنها جسيمات α وتصدر بطاقة قدرت بـ 1 MeV ولا يتجاوز مداها في الهواء 1 cm . ويعتقد أن آلية إصدار α في الإنشطارات الثلاثي مرتبطة بإحدى الشظيتين التي غالباً ما تكون ماثرة إلى درجة عالية جداً وتقع كتلتها في منطقة عدم إستقرار α مما يساعد في إصدار جسيم α خلال 10^{-2} s من لحظة حدوث الإنشطارات كما يبين الرسم التوضيحي.

وتم تقدير المدى الأكثر احتمالاً لكلا الجسيمين قصير وطويل المدى كما هو مبين في الجدول. وتتوافق هذه الحسابات مع التقديرات التجريبية لـ [5] وهي 8 mm في الهواء بالنسبة لـ ^8Be وفي واحد لكل

مع وجوب اختيار كاشف صلب غير حساس لشظايا انشطار ^{235}U .

REFERENSES

- [1] R. L. Fleischer, P. B. Price and R. M. Walker, Univ. of California press, (1975) " Nuclear tracks in Solids: Principles and applications"
- [2] R. K. Bull, Nucl. Tracks, Vol. 4, 1980 "The use of solid state track detectors in teaching - I and II"

المراجع

- حيث يلزم تعديل طول الانبوبة البلاستيكية تبعاً لجسيم α المراد تسجيله من الاصدار التلقائي ل ^{235}U (1 cm) أو من الانشطار الثلاثي ل ^{235}U (3 cm)
- [3] I. Othman et al., Nuc. Tracks Radit. Meas., 20 (1992) 4 "The electrochemical etching of fission fragments in tuffak polycarbonate"
- [4] J. M. Cassels et al., Proc. Roy. Soc. (London), A 191 (1947) 428 "Attempts to detect the emission of secondary charged particles in the fission of ^{233}U by slow n"
- [5] K. W. Allen and J. T. Dewan, Phys. Rev., Vol. 82, No. 4, (1951), 527 "The emission of short-range charged particles in the slow fission of Uranium".■

تشخيص ومتابعة أورام البروستات: دراسة كيميائية حيوية وومضائية*

محمد عادل باكير

قسم الطب الإشعاعي - هيئة الطاقة الذرية السورية - ص. ب 6091 - دمشق - سورية

سعد جودة الكيال - علي وائل عيسى

مركز الطب النووي - دمشق

سامي مراد

ملخص

تهدف هذه الدراسة إلى: (1) تقويم الفوائد السريرية للمستضد النوعي البروستاتي (PSA) والنسبة المثوية للجزء الحر لهذا المستضد في التشخيص التفريقي لحالات فرط التصنع السليم وحالات سرطان البروستات. (2) وكذلك تقويم استعمال ال PSA في التنبؤ بالانتقالات العظمية التي تبدو على ومضان العظام المجرى باستعمال النظائر المشعة لدى مرضى سرطان البروستات. تمت معايرة الواسمة الورمية الكلية PSA والجزء الحر لهذه الواسمة لدى عدد من المتطوعين بلغ 35 متطوعاً سليماً و 42 مريضاً مصاباً بحالات من فرط التصنع السليم. وتمت كذلك معايرة ال PSA الكلية وإجراء ومضان العظام بالنظائر المشعة لدى 53 مريضاً مصاباً بسرطان البروستات. وأجريت معايرة الجزء الحر للواسمة الورمية PSA في حالات سرطان البروستات التي لم تبد فيها نتائج معايرة الواسمة الورمية الكلية ارتفاعاً كبيراً.

الكلمات المفتاحية: المستضد النوعي البروستاتي، سرطان البروستات، فرط التصنع السليم في البروستات.

وكانت النسبة المثوية للجزء الحر لدى المرضى المصابين بفرط التصنع السليم مشابهة لنسب المتطوعين حيث تراوحت ما بين 10 - 49% وبوسطي $22.1 \pm 9.9\%$. أما حالات الأورام الخبيثة للبروستات فأبدت ارتفاعات كبيرة في قيم ال PSA تراوحت ما بين 0.9 - 338 نانو غرام / مل وبوسطي 63.9 ± 69.7 نانو غرام / مل وأبدت نسبة الجزء الحر إلى الجزء الكلي لل PSA قيماً منخفضة بالمقارنة مع حالات فرط التصنع السليم حيث تراوحت ما بين 3.3 - 16.7% نانو غرام / مل وبوسطي $10.9 \pm 4.2\%$.

تراوحت قيم ال PSA في مصل الدم لدى المتطوعين الأصحاء ما بين 0.6 - 5.7 نانو غرام / مل وبوسطي قدره 1.8 ± 1.22 نانو غرام / مل. وتراوحت قيم الجزء الحر لل PSA ما بين 0.28 - 0.9 نانو غرام / مل وبوسطي قدره 0.51 ± 0.18 وبلغت النسبة المثوية لل PSA لدى هذه المجموعة قيماً تراوحت ما بين 13 - 33% وبوسطي قدره $23.6 \pm 5.3\%$. وأبدت قيم ال PSA لدى المرضى المصابين بحالات فرط التصنع السليم زيادة معتدلة تراوحت فيها قيم ال PSA ما بين 0.9 - 11 نانو غرام / مل وبوسطي قدره 5.49 ± 2.31 نانو غرام / مل وتراوحت قيم الجزء الحر لل PSA ما بين 0.05 - 5.46 وبوسطي قدره 1.2 ± 0.96 نانو غرام / مل.

* تقرير مختصر عن بحث علمي أجري في قسم الطب الإشعاعي - هيئة الطاقة الذرية السورية.

أيضاً إلى أن النسبة المثوية للجزء الحر لهذه الواسمة تكون منخفضة لدى مرضى سرطان البروستات بالمقارنة مع مرضى قرط التصنع السليم في البروستات مما يقدم وسيلة مخبرية بسيطة وغير راضية في تمييز الأورام الخبيثة عن الأورام السليمة للبروستات. وتدل النتائج كذلك على أن تركيز الواسمة PSA في المصل يعتبر مشعراً هاماً وموثوقاً في التنبؤ بالموجودات الوضائية للعظام، كذلك فإن إجراء ومضان العظام لتحديد مرحلة سرطان البروستات لا يبدو أمراً ضرورياً لدى المرضى غير العرضيين وغير المعالجين سابقاً والذين يكون لديهم تركيز الـ PSA في المصل أقل أو مساوياً لـ 15 نانو غرام / مل، حيث أنه لا يقدم أية معلومات إضافية عما يقدم تركيز الـ PSA. ■

لم تُظهر حالات سرطان البروستات التي بلغ فيها تركيز الـ PSA حتى 15 نانو غرام / مل أية موجودات إيجابية على ومضان العظام تدل على وجود انتقالات ورمية. وبدت بعض التبدلات الوضائية في حالة واحدة كان فيها تركيز الـ PSA حتى 19 نانو غرام / مل في حين أبدت جميع حالات سرطان البروستات التي بلغ فيها تركيز الـ PSA أعلى من 50 نانو غرام / مل تبدلات ومضائية إيجابية تدل على وجود انتقالات من سرطان البروستات إلى الجهاز العظمي.

تشير نتائج هذه الدراسة إلى أن الواسمة الورمية PSA ذات فائدة كبيرة في تشخيص سرطان البروستات. كما تشير نتائج هذه الدراسة

دراسة انتشار غاز الرادون عبر ثخانات مختلفة من الإسمنت المستخدم في دفن النفايات المشعة*

رياض شويكاني - صلاح الدين تكريتي - أحمد فارس علي - محمد حشري - مصطفى خيطو
قسم الوقاية والأمان - هيئة الطاقة الذرية السورية - ص. ب 6091 - دمشق - سورية

ملخص

تمت دراسة انبثاق غاز الرادون المتحرر من منابع الراديوم الصناعية حيث مزج كلور الراديوم مع الإسمنت البورتلاندي للحصول على منابع صناعية مختلفة التراكيز وأحيطت هذه المنابع بطبقات أسمنتية ذات سماكات مختلفة بهدف معرفة الآلية التي يسلكها انتشار غاز الرادون عبر الإسمنت.

وقد بيّنت النتائج أن هناك عدم تطابق بين انبثاق غاز الرادون المتحرر من منابع الراديوم الصناعية و المتحرر عند إحاطة هذه المنابع بطبقات إسمنتية ذات سماكات مختلفة. وقد أجريت بعض التجارب الداعمة لهذا الموضوع حيث أخذ أحد منابع الراديوم الصناعية وأحيط بطبقة من البولي إيثيلين، ف لوحظ أن هذه المادة لعبت دوراً مهماً في الحد من انبثاق غاز الرادون المتحرر من منابع الراديوم الصناعية.

الكلمات المفتاحية: منابع الراديوم، الرادون، الإسمنت، دفن النفايات المشعة.

المقدمة

تمت دراسة انبثاق غاز الرادون المتحرر من منابع راديوم صناعية حيث مزج كلور الراديوم مع الإسمنت البورتلاندي وحضرت المنابع الصناعية على شكل أسطوانات بأبعاد 2.6 x 2.6 سم (قطر X ارتفاع) بتراكيز مختلفة من نظير الراديوم 226- و (1200، 2400 و 3600 بكريل). أحيطت هذه المنابع بطبقات أسمنتية ذات سماكات مختلفة بهدف معرفة الآلية التي يسلكها انتشار غاز الرادون عبر الإسمنت.

النتائج

أظهرت النتائج أن كمية الرادون المنبثقة عن المنابع الثلاثة متناسبة تماماً مع تركيز الراديوم ضمن العينات، وهذا سلوك متوقع تماماً ولكن من غير المتوقع ما لوحظ بأن كمية الرادون المنبثقة من المنابع دون وجود أي حاجز إسمنتي حولها أصغر بكثير منه بوجود هذه الحواجز وأن هذا الارتفاع في التركيز لا يتوقف مطلقاً على سماكة الحاجز الإسمنتي.

وكانت هذه النتيجة مفاجأة كبيرة مما جعلنا نشك في كل خطوة من خطوات عملنا و لذلك قمنا بالأعمال التالية:

تمت دراسة انبثاق غاز الرادون المتحرر من منابع راديوم صناعية حيث مزج كلور الراديوم مع الإسمنت البورتلاندي وحضرت المنابع الصناعية على شكل أسطوانات بأبعاد 2.6 x 2.6 سم (قطر X ارتفاع) بتراكيز مختلفة من نظير الراديوم 226- و (1200، 2400 و 3600 بكريل). أحيطت هذه المنابع بطبقات أسمنتية ذات سماكات مختلفة بهدف معرفة الآلية التي يسلكها انتشار غاز الرادون عبر الإسمنت.

وضعت هذه المنابع في حواضن زجاجية محكمة الإغلاق سعته 7000 ml مزودة بفتحتي دخول وخروج وذلك من أجل الحصول على دارة مغلقة لسحب غاز الرادون من هذه الحواضن. استخدمت الطريقة الفعالة لقياس تغير تركيز الرادون داخل الحواضن مع الزمن.

* تقرير مختصر عن دراسة علمية مخبرية أجرت في قسم الوقاية والأمان - هيئة الطاقة الذرية السورية.

الرادون خارج العينة. ومن الممكن في بعض الأحيان أن يحدث تنافس بين ذرات الرادون و الجزيئات حول العيوب الموجودة في الإسمنت مما يعيق حركة ذرات الرادون باتجاه الخارج ويؤدي ذلك إلى إغلاق العيب بالكامل نتيجة تفكك بعض ذرات الرادون إلى نواتج تفككه الصلبة. أما بعد صب الغلاف الإسمنتي حول المنبع فإن جزيئات الماء تعمل على الانتشار ضمن المنبع الجاف وهذا يؤدي إلى دخول الماء والأملاح إلى المسامات والفجوات المجهرية الموجودة في المنبع المتشكلة أثناء تصلب المنبع وهذا يعطي الفرصة لجزيئات الغاز بالانطلاق من المنبع بقوه مخترقة الطبقة الإسمنتية الرطبة لتصل إلى السطح محدثة ممر لخروج الغاز من المنبع عبر الحاجز الإسمنتي الجديد، مما يؤدي إلى زيادة انبثاق غاز الرادون من المنبع الأصلي و بالتالي من المنبع والغلاف الإسمنتي مقارنة بالمنبع قبل الإحاطة. وقد جاءت تجربة تغليف المنبع بطبقة من البولي إيثيلين لإثباتاً لصحة هذه الفكرة حيث أن طبقة البولي إيثيلين لم تعمل فقط على حجز غاز الرادون المنطلق من المنبع بل منعت أيضاً تفاعل الإسمنت الجديد بالمنبع مما أدى إلى انخفاض تركيز الرادون بعد الإحاطة بالإسمنت.

الخلاصة

أظهرت التجارب في هذه الدراسة أن النفايات المشعة السائلة الحاوية على نظير الراديوم - 226 يمكن تصليتها بالإسمنت ومن ثم إحاطتها بطبقة إسمنتية بعد عزلها بطبقة من البولي إيثيلين للحد أولاً من انبثاق الرادون ومنع تفاعل الإسمنت لمنبع الراديوم السائل مع الإسمنت العازل ثانياً. أما بالنسبة لمنابع الراديوم المغلفة وهي عادة على شكل إبر فيجب دراستها دراسة مشابهة للتأكد فيما إذا كان يجب تغليفها بشكل أولي بطبقة من البولي إيثيلين ومن ثم تغليفها بطبقة من الإسمنت من أجل تقليل إطلاق غاز الرادون منها. ■

- 1- أعيدت التجارب للمرة الثانية والثالثة، كانت النتائج متطابقة تقريباً.
- 2- صُبَّت عَيِّنَات إسمنتية ماثلة تماماً للمنايع المشعة وذلك لقياس انبثاق الرادون من الإسمنت لوحده فأظهرت النتائج أن الإسمنت المستخدم لا يشارك في رفع قياسات الرادون.
- 3- تم التأكد من أن مرحلة صب الحاجز الإسمنتي حول المنبع (أي صب 1سم حول المنبع ثم 1سم آخر ومن ثم 2سم من الإسمنت) لا تؤثر على نتائج القياس.
- 4- نزع يدوياً الحاجز الإسمنتي ذو السماكة 4سم من حول المنبع ذي التركيز 1200 بكريل وقيس مجدداً انبثاق غاز الرادون من المنبع ومن الحاجز كل على حدة، و ذلك للتأكد فيما إذا كان عنصر الراديوم يهاجر من المنبع إلى الكتلة الإسمنتية. أظهرت النتائج أن تركيز غاز الرادون الناتج عن المنبع قد زاد بمقدار الضعف تقريباً، وهذا يدل على حصول تفاعل ما بين المنبع والحاجز الإسمنتي كما وأن تركيز الرادون الناتج من الإسمنت الذي كان يحيط بالمنبع منخفض وهذا ما يؤكد عدم هجرة الراديوم من المنبع إليه.

- 5- غُلِّف نفس المنبع الناتج عن الخطوة السابقة بطبقة من البولي إيثيلين وقيس انبثاق غاز الرادون منه مع الزمن ثم غُلِّف هذا المنبع المغلف بطبقة البولي إيثيلين بطبقة من الإسمنت سماكتها 4سم وقيس انبثاق غاز الرادون مع الزمن. أظهرت النتائج أن حاجز البولي إيثيلين قد خَفَضَ غاز الرادون مقارنة مع المنبع نفسه و خَفَضَ أيضاً انبثاق الرادون عند الإحاطة بالإسمنت إلى النصف تقريباً.

المناقشة

إن كمية غاز الرادون المتحررة من المنايع تتناسب بشكل مباشر مع مسامية المنبع والعيوب الموجودة فيه والتي من خلالها يتم انبثاق غاز

تحديد المؤشرات التناسلية وتحليلها في ذكور العواس في القطعان المحسنة*

معزز زرقاوي - محمد راتب المصري

قسم الزراعة - هيئة الطاقة الذرية السورية - ص. ب 6091 - دمشق - سورية

سليمان سلهب

قسم الإنتاج الحيواني - كلية الزراعة - جامعة دمشق

محمد فاضل وردة

المركز العربي لدراسات المناطق الجافة والأراضي القاحلة - دمشق

رياض قاسم

مركز الكرم لتربية الأغنام وتحسين المراعي - السلمية

ملخص

أُجريت ثلاث تجارب على ذكور العواس لتحديد وتحليل بعض المؤشرات التناسلية. كان الهدف من التجربة الأولى دراسة معدل نمو أبعاد الخصى وحجمها خلال مرحلة نموها، وتأثير بعض العوامل. أظهرت النتائج أن أعلى زيادة لأبعاد الخصى كان عند عمر 7 - 10

* تقرير مختصر عن بحث علمي أُجْرِي في قسم الزراعة - هيئة الطاقة الذرية السورية.

أشهر ومتوسط وزن قدره 34.6 كغ كما وأظهرت عن وجود علاقة ارتباط كبيرة ($r = 0.68 - 0.97$) ومعنوية بين أبعاد الخصى، وقد تزايدت بصورة خطية وكان ارتباطها مع وزن جسم الحملان أعلى من عمرها.

بيّنت نتائج التجربة الثانية أن مستوى هرمون التستستيرون في دم حملان العواس النامية يزداد مع تقدم العمر، وأن الذروة الأولى ظهرت عندما أصبح عمر الحملان 9 أشهر. وأظهرت نتائج التحليل التبايني وجود تأثير معنوي لكل من عمر الحملان ونوع القطيع على تركيز هرمون التستستيرون. واستنتج أن موعد الوصول إلى البلوغ الجنسي بناءً على تركيز هرمون التستستيرون في دم حملان العواس النامية كان عند عمر 9 أشهر.

أجريت التجربة الثالثة لدراسة مواصفات السائل المنوي وتقويمه وتحديد بعض العوامل المؤثرة عليها. أظهرت النتائج وجود تأثير معنوي لكل من عمر الأم عند الولادة، ولعمر الحملان ولوزنها وحجم الخصى، على كل من حجم القذفة، وحيوية النطاف وتركيزها. ووجدت علاقة ارتباط إيجابية ومعنوية بين صفات السائل المنوي المختلفة (ما عدا قراءة الموشور)، وكانت أعلى قيم ارتباط إيجابية ومعنوية بين عمر الحملان وهذه المواصفات مع حجم القذفة وحيوية النطاف وتركيزها، على التوالي.

الكلمات المفتاحية: مؤشرات تناسلية، ذكور العواس، خط الإنتاج، نوع الولادة، تستستيرون، مواصفات السائل المنوي.

مقدمة

بناءً على تطور أبعاد الخصى، يبدأ عندما يكون وزن هذه الحملان نحو 34.6 كغ وعمر 7 أشهر.

بيّنت نتائج التجربة الثانية أن مستوى هرمون التستستيرون بالدم يزداد مع تقدم العمر، وأن مستوى هذا الهرمون كان في حملان قطيع الحليب أعلى منه في حملان قطيع اللحم، وفي دم الولادات الفردية أعلى منه في الولادات التوأم. حدثت الذروة الأولى عندما أصبح عمر الحملان 9 أشهر والذروة الثانية عند عمر 15 شهراً. يستنتج بأن تقدير مستوى هرمون التستستيرون يمكن أن يعدّ أحد المؤشرات التناسلية التي يمكن الاعتماد عليها في تقدير موعد البلوغ الجنسي.

أشارت نتائج التجربة الثالثة أن حجم القذفة المنوية يزداد مع تقدم عمر الحملان، وأن حيوية النطاف كانت متشابهة تقريباً طوال أشهر السنة. كان لوزن الأب عند التلقيح علاقة ارتباط إيجابية ومعنوية فقط على حجم القذفة، في حين كان لوزن الأم عند الولادة علاقة ارتباط كبيرة ولكن سلبية مع كل من حجم القذفة وحيوية النطاف وتركيزها في شريحة العد، وكثافتها وفقاً لموشور تقدير الكثافة. وبصورة مشابهة كان لوزن الحملان عند جمع السائل المنوي علاقة ارتباط كبيرة وسلبية مع هذه الصفات. ■

تعدُّ الثروة الحيوانية من الثروات القومية الهامة في الوطن العربي، وتعدُّ أغنام العواس من أهم عروق الأغنام في منطقة الشرق الأوسط، وأكثرها انتشاراً. قام المركز العربي بالتعاون مع كلية الزراعة في جامعة دمشق، ومع هيئة الطاقة الذرية في سورية بإجراء سلسلة من التجارب ضمن مشروع متكامل لتحديد المؤشرات التناسلية وتحليلها ومعرفة مدى إمكانية الاعتماد على هذه المؤشرات في انتخاب ذكور التلقيح وأمّهات المستقبل.

نتائج ومناقشة

أظهرت نتائج التجربة الأولى وجود تزايد تدريجي بطيء في نمو الخصى عند عمر 3 إلى 6 أشهر، وتزايد حاد وسريع عند عمر 7 إلى 10 أشهر. كما أشارت نتائج التحليل التبايني إلى وجود تأثيرات معنوية لكل من وزن الأب عند التلقيح ووزن الأم عند الولادة والتفاعل بينهما ووزن الحملان عند كل قياس وأعمارها على حجم الخصى وأبعادها. إن أعلى نمو لأبعاد الخصى بدأ عندما كان وزن الحملان 34.6 كغ وبعمر 7 أشهر، واستمرت في الارتفاع حتى وزن 42.2 كغ وعمر 10 أشهر. يستنتج من نتائج هذه التجربة أن وصول حملان العواس إلى مرحلة البلوغ الجنسي،



كتب حديث مختارة

1- نظرية الحقل الكمومي:

من المؤثرات إلى تكاملات المسار

QUANTUM FIELD THEORY:
FROM OPERATORS TO PATH
INTEGRALS*

تأليف: ك. هوانغ

عرض وتحليل: م. يسكين**

ظهرت في السنوات القليلة الماضية عدة كتب تفسر المفاهيم الأساسية لنظرية الحقل الكمومي ومخططات فاينمان Feynman. وتتضمن هذه المجموعة كتاباً عن لويس رايدر L. Ryder و جورج شيرمان G. Serman و ستيفن فاينبرغ S. Weinberg و دانييل شرويدر D. Schroeder ولكاتب هذا العرض والتحليل نفسه. ومع ذلك، لم تفقد نظرية الحقل الكمومي حتى الآن شهرتها كمجال للدراسة صعب للغاية، ولهذا فأني كتاب تدريسي جديد يجب الترحيب به. كيرسون هوانغ K. Huang هو مؤلف أحد أفضل الكتب الجامعية في الميكانيك الإحصائي Statistical Mechanics Wiley, 1987, 2nd ed. ولهذا فمن الملفت للنظر أن نرى كتاباً جديداً لهوانغ مصمماً لكشف الغطاء أو لتوضيح بعض المظاهر الأكثر غموضاً في هذا الموضوع. يعرض كتاب نظرية الحقل الكمومي لهوانغ "من المؤثرات إلى تكاملات المسار" شكلية نظرية الحقل الكمومي بسرعة، مؤكداً فقط على النقاط الأساسية ومعطياً أقل كمية من التطبيق العملي. وهذا ما مكن المؤلف من تخصيص نصف حجم الكتاب في مناقشة إعادة الاستنظام وتطبيقاته الفيزيائية.

النصف الأول من الكتاب، إذا أبقينا عليه، عبارة عن مقدمة قيمة لطرائق مخططات فاينمان. لقد عولجت بعض الموضوعات وبخاصة الحد اللانسيوي لمعادلة ديراك Dirac بشكل جديد وجميل. وفي أغلب الأحوال، يأخذ هوانغ الطريق المعيارى ويغطي الأرضية بأسلوب رياضي محكم. إن الطريق الواضح والمجز الذي يرتب فيه هوانغ الموضوع له قيمة حقيقية. وبرغم ذلك، تحتاج بعض المواضيع إلى تغطية أكثر. ومثال على ذلك، هنالك فصل كامل عن توابع غرين Green مبني على اشتقاق معادلة بيته - سالبيتير Bethe - Salpeter بدون أن يبقى مجال بعدئذ لأي تطبيق للحالات المرتبطة في منظومة حقيقية.

يعرض هوانغ في النصف الثاني من الكتاب نظرية استعادة الاستنظام وزمرة إعادة الاستنظام. ويقدم طريقة كينيث ويلسون K. Wilson في مكاملة درجات الحرية في الشكلية التابعة التكاملية لنظرية الحقل

* by K. Huang, Wiley, New York 1998

** م. يسكين: جامعة ستانفورد - ستانفورد - كاليفورنيا - الولايات المتحدة الأمريكية.

- العرض والتحليل: عن مجلة Physics Today, November 1999. ترجمة هيئة التحرير - هيئة الطاقة الذرية السورية.

*** By P. Filippi, D. Habault, J. Pierre Lefebvre, and A. Bergassoli, Academic, San Diego, Calif. 1999

**** ف. سبازو: جامعة بنسلفانيا - جامعة بارك.

- العرض والتحليل: عن مجلة Physics Today, November 1999. ترجمة هيئة التحرير - هيئة الطاقة الذرية السورية.

الكمومي لتوليد تدفق في فضاء اللاغرانجيانيات Langrangians الممكنة. ويفسر بشكل منهجي كيف تصف هذه الطريقة المنحى الذي يتغير فيه المحتوى الفيزيائي لنظرية الحقل الكمومي كتابع لسلم الاندفاع، ولماذا تظهر اللاغرانجيانيات القابلة لإعادة الاستنظام عند نقاط ثابتة لهذا التدفق. ولسوء الحظ، لا تتضمن المناقشة أي احتسابات لمخطط فاينمان، التي يجب أن تظهر بوضوح كيف تعمل الطريقة.

وحتى في حالة التحريك الكهربائي الكمومي، التي من أجلها جرى في النصف الأول من الكتاب احتساب ثابت الاقتران المعتمد على الاندفاع، لم يلتفت هوانغ لتحويل هذه المعلومة إلى اللغة الجديدة التي أنشأها وطورها. وبالمشابهة. فإن المؤلف يذكر التوسع (e) للأشياء المرجحة ولكنه يفشل في تقديم أية احتسابات في هذا النطاق. وهكذا تُركت مناقشة إعادة الاستنظام كلية على المستوى الشكلي.

يتضمن الكتاب أيضاً مناقشة حول المبادئ الأساسية للتناظر المتقطع التلقائي. يعرض أحد الفصول في الكتاب بشكل واضح جداً نظرية كوسترليتز - ثولس Kosterlitz - Thouless المتعلقة بانتقالات الطور في النموذج XY ذي البعدين. على كل حال، لم تعد تطبيقات هذه النظرية ما هو معروف في منتصف السبعينيات، كما لم تناقش الصورة العامة لانتقالات الطور ذات البعدين الناتجة بواسطة اللاتغير الممثل. وكذلك فإن مراجع فيزياء الجسيمات الأولية أكثر قديماً.

علاوة على ذلك، فإن كتاب هوانغ لم يبلغ الهدف الذي يريده، أي أن يكون كتاباً أساسياً يوضح معنى إعادة الاستنظام. ولكنه يعطي توضيحات بناءً لكثير من مظاهر نظرية الحقل الكمومي، وبهذا يجب اعتباره عملاً مرجعياً مفيداً للطلاب. ■

2- الصوتيات:

الفيزياء الأساسية، النظرية والطرائق

ACOUSTICS: BASIC PHYSICS,
THEORY, AND METHODS
***تأليف: ب. فيلبي - د. هابولت - ج. ب. لوفيفر - إ. برغاسولي
عرض وتحليل: ف. سبازو****

هنالك في الولايات المتحدة، منذ سنوات، ثلاثة كتب مدرسية ميسرة وشائعة على المستوى الجامعي في تعليم الصوتيات. ووجد في الوقت الحالي منافس جديد لها.

تناقش الصوتيات وحيدة المخططات البيانية تأثيرات الطلاءات الممانعة على التحلل المشروط بشكل كيميائي فقط.

من عادة التعليم الجامعي في فرنسا افتراض سوية عالية من التعقيدات الرياضية، وهذا الأسلوب يدفع إلى مقسومات عديدة. فالتقنيات التي تقدم فيما يتصل بذلك تتضمن معادلات تكاملية حدية، كمونات طبقية، نظرية هندسية للانعراج، تقريباً مكافئاً، طريقة الطور المستقر، طريقة الهبوطات الأعمق، تقريب WKB، مقاربات فاينر - هوبف وطريقة غالركين Galerkin. عرض الموضوعات واضح إلى حد كبير وسهل المثال. يمكن أن يبدو الفصل الأول الخاص بالأسس الفيزيائية للصوتيات مثيراً للهمم بالنسبة للقارئ العادي بسبب الدقة الرياضية البالغة. وأما أولئك المطلعون بشكل جيد من قبل على الصوتيات، فمن المحتمل أنهم يودون الانتقال مباشرة إلى الفصول الأخيرة: الانحجاسات، الانعراج ومعادلات التكامل الحدية، اهتزازات الصوت الخارجية، تمددات التحليل والتقريبات، الأمواج الموجهة، انتقال وإشعاع الصوت بالصفائح الرقيقة. وهناك فصل إضافي يتضمن مسائل في الفروض المنزلية تخص الفصول الأولى السابقة. ويختتم الكتاب بفصل في الرموز والتعاريف الرياضية. وأما الفهرس فيوجد بشكل موجز و محكم في صفحة ورعب الصفحة.

يتضمن الكتاب قليلاً من العوائق تستحق الإشارة إليها. هنالك بعض الأخطاء المطبعية (أهمها كما ورد في المعادلتين 1.5 و 2.7). جرت محاولة لإجراء إحالات بين الفصول ولكن الترميزات كانت غالباً مختلفة: فنجد مثلاً في الفصل الأول استعمال "σ" للدلالة على تنسور الإجهاد بينما نجد في الفصل الثاني ترمز إلى حد المنطقة. كثير من المفاهيم جرى تكرارها مثل نموذج ديلاني - بازلي الذي يعبر عن الممانعة النوعية للوسط السامي. ويأمل الكاتب في المستقبل تدارك وحذف مثل هذه الإزعاجات إذ يقدم هذا الكتاب مسحاً شاملاً ومتقدماً في علم الصوتيات.

عموماً فالكتاب مقبول، ويوصي كاتب العرض والتحليل أي شخص مهتم في الصوتيات باقتنائه، كما يرى الكاتب أن يُعتبر الكتاب مرجعاً لهذه المادة وليس ككتاب يدرّس في أي صف من الصفوف. ■

الكتب الثلاثة هي: الأول بعنوان أسس الصوتيات لمؤلفه لورنس كينسلر L. Kinsler و أوستن فري A. Frey و ألان كوبنز A. Coppens و جيمس ساندرز J. Sanders (دار النشر ويلي Wiley، الطبعة الثالثة، 1982)، والكتاب الثاني بعنوان الصوتيات : مقدمة لمبادئها الأساسية وتطبيقاتها لمؤلفه ألان بيرس A. Pierce (الجمعية الصوتية في أمريكا 1989)، والكتاب الثالث بعنوان الصوتيات النظرية لمؤلفه فيليب مورس P. Morse و كارل يونو إنغارد K.U. Ingard (برنستون 1968). وفي كل كتاب مميزات ومواطن ضعف. وكان الكاتب عند تدريسه فصلين لمقررين متابعين من الصوتيات لطلاب جامعة ولاية بنسلفانيا يستخلص محاضراته عادةً من الكتب الثلاثة.

الكتاب الجديد لمؤلفه بول فيلبي و دومينيك هابولت و جين بير لفبفر وإيمي برغاسولي مساهمة هامة. فكتابهم ليس تفرغ مادة قديمة من الكتب الشائعة المذكورة سابقاً في قالب جديد. فكثير من مادته مُختارة من مصادر أخرى والعديد من الأساليب الحديثة مستقاة من عمل المؤلفين أنفسهم : الكتاب مستمد من مقرّر في الصوتيات مدته ستة أشهر لطلاب جامعة إكس - مارسيليا في فرنسا قام المؤلفون بتدريسه. (قامت جمعية الصوتيات الفرنسية بطباعة المحاضرات باللغة الفرنسية عام 1994، وترجمت لاحقاً إلى الإنكليزية بإلحاح من فيليب دوك P. Doak في جامعة ساوثامبتون في المملكة المتحدة).

وبخلاف كثير من الكتب في الصوتيات، لا يحاول الكتاب الجديد أن يكون شاملاً بتغطية جميع الفروع التحية لهذا الحقل من المعرفة، بل، بدلاً عن ذلك، ركّز الكتاب على تعليم وسائل التحليل الأساسية اللازمة للتحليل المتقدم. فمثلاً لا يغطي الكتاب الإشعاع المنطلق من المكبس الدائري المحروف ولكنه يغطي المكبس عند نهاية واحدة من القناة وعند جدار القناة. وكذلك لا يغطي الكتاب الكرة المهترزة عرضانياً ولكنه يغطي الصفحة الرقيقة المحملة مائماً لامتناهياً. إن فصول الكتاب التي تبحث في الانحجاسات والقنوات ذات الجدران الماصة متقنة جداً ومقروءة، وبالمقابل



on ejaculate volume, and progressive motility and concentration of sperm. A positive and significant correlation between semen characteristics (except for spermiodensimeter) was found. The highest positive and significant correlation between lambs age and semen characteristics was found with the spermatozoa ejaculate volume, progressive motility and sperm concentration, respectively.

Key Words

reproductive parameter, Awassi rams, production line, birth type, testosterone, semen characteristics.

★ A short report on scientific research achieved in the Department of Agriculture, Atomic Energy Commission of Syria.



(1cm, 2cm and 4cm). The exhalation of radon from these sources (before and after being surrounded) was studied using an active method for understanding the mechanism of radon diffusion through cement.

The results showed that radon exhalation from the sources itself is less than its exhalation from the same sources after being surrounded by cement, and this exhalation did not change with the thickness changes of the surrounded cement.

This was a surprise, therefore, many experiments were performed in order to find out the reasons behind this unexpected phenomena. One of which was surrounding the sources with a thin layer of polyethylene before surrounding it with cement. It was found that this additional layer reduced the exhalation of radon from the sources themselves, and in addition, stopped any reactions between the source and the surrounded cement during the solidification of the additional cement layers. These reactions are thought to be the reason behind the increase of radon exhalation from the sources with the surrounded cement.

Key Words

radium sources, radon, ciment, nuclear waste disposal.

★ A short report on laboratory scientific study achieved in the Department of Protection, Atomic Energy Commission of Syria.

IDENTIFICATION AND CHARACTERIZATION OF REPRODUCTIVE PARAMETERS IN AWASSI RAMS IN IMPROVED FLOCKS★

M. ZARKAWI, M. R. AI-MASRI

Department of Agriculture, Atomic Energy Commission of Syria, P.O. Box 6091, Damascus, Syria

S.SALHAB

Department of Animal Production, Faculty of Agriculture, University of Damascus

M. F. WARDEH

Department of Studies of Animal Wealth, The Arab Center for the Studies of Arid Zones and Dry Lands, Damascus

R. Kassem

Al-Kraim Center for Sheep Breeding and Range Improvement, Salamieh, Hama

ABSTRACT

Three experiments were conducted on Awassi rams to identify and characterize some reproductive parameters. The aim of the first experiment was to study the growth rate of testicular parameters, their relation to the development of body growth, and to study the effect of some factors. The highest increase in all testicular parameters was recorded at age 7 to 10 months and at an average live body weight of 34.6 kg. Measurements of testes were significantly and highly correlated to each other ($r = 0.68-0.97$). They increased linearly and correlated with body weight more than with age.

The results of the second experiment showed that testosterone level in the blood of the growing Awassi ram lambs increased with the age, and the level in the lambs of the milk line was higher than those of the meat line, and in the single than in twin births line. The first peak occurred at 9 months of age. There was a significant effect of the age of lambs and the production line on testosterone level. It was concluded that the attainment of puberty in the Awassi ram lambs based on the level of testosterone in the blood was at age of 9 months.

The third experiment was conducted to evaluate the semen and affecting factors on semen characteristics in Awassi ram lambs. The results showed a significant effect of the same age at lambing age and weight of lambs, and testes' size

Key Words

Plastic detectors, ternary fission, range calculation

★ A short report on scientific research achieved in the Department of Technology of irradiation, Atomic Energy Commission of Syria.

DIAGNOSIS AND FOLLOW-UP OF PROSTATE CANCER: "BIOCHEMICAL AND SCINTIGRAPHIC STUDY"★

M. ADEL BAKIR

Department of Radiation Medicine, Atomic Energy Commission of Syria, P.O. BOX 6091, Damascus, Syria

S. J. AL-KAIAL, A. W. ISSA

Nuclear medicine Center, Damascus

S. MURAD

Faculty of medicine University of Damascus

ABSTRACT

The aims of this study were: (1) to assess the clinical usefulness of total prostate-specific antigen (PSA) determination and the free-to-total PSA (FPSA) ratio in improving differential diagnosis of benign prostate hyperplasia (BPH) and prostate carcinoma (PC), (2) to evaluate the use of total PSA measurements in predicting radionuclide bone scintigraphy findings in patients with PC. Serum total PSA and free PSA concentrations were determined in 35 healthy volunteers and in 42 patients with BPH. Total PSA and bone scintigraphy were performed for 53 patients with PC. Also, FPSA was measured in PC cases where total PSA level in serum is not markedly elevated.

The results of this study suggest that serum PSA is a useful marker for detecting prostate cancer. Our data also showed that the ratio of FPSA/PSA in serum is lower in patients with PC than in patients with BPH. This ratio could be used in improving differential diagnosis of BPH and PC; it also, appears from this study that the serum PSA concentration is an important and reliable indicator of bone scan findings.

Key Words

Prostate specific Antigen, Prostate cancer, benign Prostate hyperplasia.

★ A short report on scientific research achieved in the Radiation Medicine, Atomic Energy Commission of Syria.

DIFFUSION OF RADON THROUGH DIFFERENT THICKNESS OF CEMENT WHICH IS USED FOR DISPOSAL OF NUCLEAR WASTE★

R. SHWEIKANI, S. TAKRITI, A. F. ALI, M. HUSHARI, M. KHEITOU

Department of Protection, Atomic Energy Commission of Syria, P. o. Box 6091, Damascus, Syria

ABSTRACT

Radium man - made sources were produced by mixing Portland cement with different concentration of radium chloride (1200Bq, 2400Bq and 3600Bq). These sources then surrounded with different thickness of Portland cement

Key Words

GEM detector, gas detector, charge amplification.

* A short report on exploratory field experiment achieved in the Scientific Services, Atomic Energy Commission of Syria.

STABILITY STUDY OF HEAVY WATER BY TIME USING INFRA-RED SPECTROSCOPY*

M. ALIBRAHIM, H. AL-SAWAF

Department of Chemistry, Atomic Energy Commission of Syria P. O. Box 6091, Damascus, Syria

ABSTRACT

Several preliminary experiments were carried out on the range of heavy water concentration in normal water from 99.677% to 99.743% (weight/weight) suggested for the study at the wave number 3400 cm^{-1} in order to set the optimum conditions of both reference and sample cells.

As a result of practical experiments at the time ($t_0 = 0$) we obtained a straight line showing the variation of optical density (O.D) along with the change of heavy water concentration in normal water at the wave number 3400 cm^{-1} .

The practical results of studied samples illustrate that the optical density of the group O-H increases by the time at the wave number 3400 cm^{-1} , which shows that the range of heavy water concentration used in this study absorbs highly the water vapor in the air, and the heavy water absorbance of water vapor increases in proportion to the time of sample exposure to the air.

Key Words

heavy water, IR spectrophotometry, optical density

* A short report on laboratory scientific study achieved in the Department of Chemistry, Atomic Energy Commission of Syria.

DOUBLE TREEING PHENOMENON OF FISSION FRAGMENT TRACKS IN PLASTIC DETECTORS*

I. KHUDEIR

Department of Physics, Atomic Energy Commission of Syria, P.O. BOX 6091, Damascus, Syria

I. OTHMAN

Department of Technology of irradiation, Atomic Energy Commission of Syria, P.O. BOX 6091, Damascus, Syria

ABSTRACT

We have presented several possible theories that explain the formation of double tree observed while detecting ^{235}U fission fragments in plastic detectors. We have given two likley explanations: First, ^{235}U ternary fission and the emission of long range alpha or ^8Be particles. The second is the spontaneous emission of 4.4 MeV alpha particles from ^{235}U . We have backed our assumption with appropriate range calculations in Lexan. Three less likley causes of the double tree phenomenon are: the recoil of the detector atoms as a result of the collision with fission fragments, the fission fragments themselves being reflected off the stainless-steel sample holder, and some mechanical and physical defects in the detectors at the production or utilization stage. We have made some suggestions related to experimental design that might prove these theories.

OPTIMISATION OF SPECTROMETRIC GAMMA - GAMMA PROBE CONFIGURATION USING VERY LOW RADIOACTIVITY SOURCES FOR LEAD AND ZINC GRADE DETERMINATION IN BOREHOLE LOGGING*

J. ASFAHANI

Department of Geology, Atomic Energy Commission of Syria, P. O. Box 6091, Damascus, Syria

ABSTRACT

The suitability of spectrometric backscattered gamma - gamma well logging measurements to predict lead and zinc metal equivalent content is demonstrated. A centralised tool employing a gamma - ray source of very low radioactivity (1.8 MBq) is used. The logging tool is tested using ^{133}Ba and ^{137}Cs sources with a 37 mm (diameter) \times 75 mm NaI (TI) scintillation detector. Five source - to - detector configurations were analysed for 18 geophysical models, 13 of which had a borehole diameter of 130 mm and the other 5 had a borehole diameter of 160 mm. Regression analysis on the laboratory logging data for each configuration in order to establish the calibration equation for a lead (Pb) and zinc metal equivalent (ZME) prediction is carried out. The optimum configuration for the logging probe using a ^{133}Ba source was determined to be 52 mm source - to - detector spacing. This configuration gives the best results for both Pb and ZME grade. The r.m.s deviations for Pb and ZME were 0.33 and 2.3%, respectively. The optimum configuration for the logging probe using a ^{137}Cs source was determined to be 64 mm source - to - detector spacing. This configuration gives the best results for both Pb and ZME grade. The r.m.s deviations for Pb and ZME were 0.36 and 2.2%, respectively.

Key Words

borehole logging, gamma - gamma method, Spectrometric measurements, probe logging.

* This paper appeared in *Applied Radiation and Isotopes*, 1999.

REPORTS

MEASUREMENTS ON THE TWO STAGES GEM DETECTOR*

J. ASSAF

Department of Scientific Services, Atomic Energy Commission of Syria, P.O. BOX 6091, Damascus, Syria

ABSTRACT

This report describes experimental observations realized with a novel gas filled detector: Gas Electron Multiplier GEM. The reported measurements are essentially focused on the influence of different bias high voltages on the detector function. The detector was built from two stages of amplification using three high voltage bias. Each amplification stage consists of GEM mesh structured from isolate foil sandwiched between two conductive layers , etched to form regular matrix of open channels.

The most stable Stoichiometric (P:V:Mo) analytical complex in the formed phosphovanadomolybdate compound was studied by spectrophotometric method at pH 1. This study showed that the molar ratios (1:1:25) of (P:V:Mo) were the critical ratio which gives very pure analytical signal far from the noise region. The present study found that the extractant mixture (DEHPA/TOPO) extracts 9% of P₂O₅ to the organic phase during the recovery process of uranium from commercial phosphoric acid. This was also confirmed using radioactive tracer (³²P).

Accuracy, precision, and detection limit of the present method are 1.5%, 0.0551 µg P ml⁻¹, and 0.06 µg P ml⁻¹ respectively. The results correlate significantly with the results of the standardized quenolene gravimetric method, and the present method saves time and chemicals.

Key Words

commerical phosphoric acid, phosphovanadomolybdate complex, radioactive phosphorus ³²P, spectrophotometry, stoichiometry.

* This Paper appeared in *Afinidad*, No.483, Vol.6, Sep. 1999.

EFFECT OF GAMMA IRRADIATION ON STORABILITY OF APPLES (MALUS DOMESTICA L.)^{*}

M. AL-BACHIR

Department of Radiation Agriculture, Atomic Energy Commission of Syria P.O.Box:6091, Damascus, Syria

ABSTRACT

The aim of this study was to investigate the effect of gamma irradiation on storability of the two main apple varieties, Golden Delicious and Starking, in Syria. The experiments were performed in 1995 and 1996. Fruits were irradiated with 0, 0.5, 1.0 and 1.5 kGy. Irradiated and unirradiated fruits were stored at 1 to 2 °C and 80 to 90% RH. Weight loss and spoilage due to physiological disorders and fungal diseases were evaluated throughout the different storage periods. Firmness, coloration and pH values were estimated immediately after irradiation. The results showed that, in both varieties, gamma irradiation increased the weight loss after 45 days of storage in apples gathered in 1995 but not in the 1996 season. After 180 days of storage, gamma irradiation had different effects on weight loss depending on the growing year and variety, and increased fungal spoilage. Application of gamma irradiation prevented the growth of *Aspergillus niger* and the formation of skin scald in 'Golden Delicious' fruits. Immediately after treatment, gamma irradiation increased the softening of fruits, changed their color from green to yellow and decreased the pH value of the juice.

Key Words

apples, coloration, fungal diseases, gamma irradiation, storability, storage losses, texture.

* This Paper appeared in *Plant Foods for Human Nutrition*, 1999.

duration (t_p) before and after annealing. Our results show that at least two traps contribute to the H4 peak: one is a fast trap (labeled H4_f) and the other is a slow trap (labeled H4_s). This is shown through several results concerning the activation energy, the capture cross section, the full width at half-maximum, and the peak temperature shift. It is shown that both traps are irradiation defects created in the P sublattice.

Key Words

deep - level transient spectroscopy (DLTS), crystal defect, capture cross section, activation energy, annealing.

★ This paper appeared in *The American Physical*. Vol. 58, No. 20, 15 November 1998.

DETERMINATION OF NEUTRON GENERATION TIME IN MINIATURE NEUTRON SOURCE REACTOR BY MEASUREMENT OF THE NEUTRONICS TRANSFER FUNCTION★

A. HAINOUN, I. KHAMIS

Department of Physics, Atomic Energy Commission of Syria, P. O. Box 6091, Damascus, Syria

ABSTRACT

The prompt neutron generation time Λ and the total effective fraction of delayed neutrons (including the effect of photoneutrons) β have been experimentally determined for the Miniature Neutron Source Reactor of Syria. The neutron generation time was found by taking measurements of the reactor open-loop transfer function using newly devised reactivity-step-ejection method by the reactor pneumatic rabbit system. Small reactivity perturbations i.e. step changes of reactivity starting from steady state, were introduced into the reactor during operation at low power level i.e. zero-power. Relative neutron flux and reactivity versus time were obtained. Using transfer function analysis as well as least square fitting techniques and measuring the delayed neutrons fraction, the neutron generation time was determined to be 74.6 ± 1.57 micro-seconds.

Using the prompt jump approximation of neutron flux, the total effective fraction of delayed neutrons was measured and found to be 0.00783 ± 0.00017 . Measured values of Λ and β were to be very consistent with calculated ones reported in the Safety Analysis Report.

Key Words

prompt neutron generation time, effective fraction of delayed neutrons, neutronics transfer function, MNSR, photo neutrons, step-change of reactivity.

★ This paper appeared in *Nuclear Engineering and Design*, 1999.

STOICHIOMETRIC STUDY OF PHOSPHOVANADOMOLYBDATE COMPLEX AND ITS USE TO DETERMINE EFFECT OF URANIUM EXTRACTION BY DEHPA/TOPO ON THE CONCENTRATION OF PHOSPHORIC ACID USING SPECTROPHOTOMETRIC METHOD★

R. AL-MEREY, R. BOUZO

Department of Chemistry, Atomic Energy Commission of Syria, P. O. Box 6091, Damascus, Syria

ABSTRACT

A simple spectrophotometric method was used for the determination of phosphorus concentration in Syria commercial phosphoric acid during Uranium recovery process using DEHPA/TOPO. The absorbance of yellow phosphovanadomolybdate complex was measured at 320nm wavelength.

BEWARE! ALLERGENS*

B. Perks

an assistant editor at Molecular Medicine Today

ABSTRACT

From the runny nose, itchy eyes and sneezing of hay fever to potentially fatal asthma and food allergies, millions of people suffer when their immune systems overreact to benign chemicals and particles.

What does this tell us about the body's defences, and is it possible to prevent allergies from developing?

Key Words

allergy, immune response, antigen, allergen, asthma, hay fever, atopy, anaphylaxis, urticaria, eczema.

*This article appeared in *New Scientist*, 22 January 2000. It has been translated into Arabic by Editorial Board, Atomic Energy Commission of Syria.

SILICON GERMANIUM MAKES ITS MARK*

D. PAUL

in the Cavendish Laboratory, University of Cambridge Madingley Road, Cambridge CB3 0HE, UK

ABSTRACT

By replacing a fraction of the silicon atoms with germanium, it is possible to design a wide range of electronic devices that are faster than silicon and almost as cheap to manufacture

Key Words

silicon germanium, electronic devices, transistors, optical detectors, quantum devices, SiGe system, strain, applications.

*This article appeared in *Physics World*, February, 2000. It has been translated into Arabic by Editorial Board, Atomic Energy Commission of Syria.

PAPERS

EVIDENCE FOR TWO DISTINCT DEFECTS CONTRIBUTING TO THE H4 DEEP-LEVEL TRANSIENT SPECTROSCOPY PEAK IN ELECTRON-IRRADIATED InP*

R. DARWICH, B. MASSARANI

Department of Physics, Atomic Energy Commission of Syria, P. O. Box 6091, Damascus, Syria

M. KAAKA, F. AWAD

Department of Physics, Damascus University

ABSTRACT

Deep-level transient spectroscopy (DLTS) has been used to study the dominant deep-level H4 produced in InP by electron irradiation. The characteristics of the H4 peak in Zn-doped InP has been studied as a function of pulse

ABSTRACTS OF THE SUBJECTS PUBLISHED IN THIS ISSUE

ARTICLES

**NEUTRON ACTIVATION ANALYSIS CHALLENGES:
PROBLEMS AND APPLICATIONS IN BIOMEDICAL
AND OTHER AREAS***

N. M. SPYROU

Department of Physics, University of Surrey, Guildford, Surrey, GU2 5XH, UK

ABSTRACT

Developments in neutron activation analysis in its various modes for trace element determination are described with reference to reactor and other neutron sources, competing methods, tomography and detection systems. A selected number of areas of application are highlighted which provide challenges into the next millennium and to which a useful and in some cases a unique contribution can be made. The role that neutron activation analysis can play in decommissioning, landmine detection, boron neutron capture therapy, Alzheimer's disease, diabetes mellitus, the complex mechanisms of initiation and termination of feeding and obesity as well as in scar formation and the requirements for artificial skin are presented.

Key Words

neutron activation analysis (NAA), trace elements, decommissioning, landmines clearance, boron neutron capture, neutron induced gamma-ray emission tomography, positron emission tomography (PET), alzheimer disease, diabetes mellitus, satiety and obesity, hypertrophic scars.

*This article appeared in *Journal of Radioanalytical and Nuclear Chemistry*, Vol. 239, No 1, 1999. It has been translated into Arabic by Editorial Board, Atomic Energy Commission of Syria.

PHOTONS PENETRATE WALL*
LIGHT CROSSES HOLES THAT ARE SMALLER THAN ITS WAVELENGTH

T. EBBESEN

Professor at Louis-Pasteur University of Strasbourg

ABSTRACT

Ten years ago, the fact of seeing through golden film pierced only of holes with diameter smaller than visible light wavelength, seemed to be incredible among most of physicists. Yet, this phenomenon is quite real, and theoretical foundations become progressively clear. Devices based on this principle have very various uses that we start just having an idea about.

Key Words

photons, holes, light wavelength, peak of transmission, surface plasmons resonance.

*This article appeared in *La Recherche*, No.329, March 2000. It has been translated into Arabic by Translation, Composition & Publication Office, Atomic Energy Commission of Syria.

- OPTIMISATION OF SPECTROMETRIC GAMMA-GAMMA. J. ASFAHANI 87
 PROBE CONFIGURATION USING VERY LOW
 RADIOACTIVITY SOURCES FOR LEAD AND ZINC GRADE
 DETERMINATION IN BOREHOLE LOGGING

REPORTS

(Unpublished works of the Syrian A. E. C. Staff)

- MEASUREMENTS ON THE TWO STAGES GEM DETECTOR J. ASSAF 96
- STABILITY STUDY OF HEAVY WATER BY TIME USING M. ALIBRAHIM, 98
 INFRA - RED SPECTROSCOPY H. AL-SAWAF
- DOUBLE TREEING PHENOMENON OF FISSION I. KHUDEIR, 99
 FRAGMENT TRACKS IN PLASTIC DETECTORS I. OTHMAN
- DIAGNOSIS AND FOLLOW-UP OF PROSTATE CANCER: M. ADEL BAKIR et al. 101
 "BIOCHEMICAL AND SCINTIGRAPHIC STUDY"
- DIFFUSION OF RADON THROUGH DIFFERENT R. SHWEIKANI, 102
 THICKNESS OF CEMENT WHICH IS USED S. TAKRITI, A. F. ALI,
 FOR DISPOSAL OF NUCLEAR WASTE M. HUSHARI, M. KHEITOU
- IDENTIFICATION AND CHARACTERISATION M. ZARKAWI et al. 103
 OF REPRODUCTIVE PEPRODUCTIVE PARAMETERS IN
 AWASSI RAMS IN IMPROVED FLOCKS

SELECTED NEW BOOKS

(Review and analysis)

- QUANTUM FIELD THEORY: BY: K. HUANG. 106
 FROM OPERATORS TO PATH INTEGRALS BY: M. E. PESKIN
- ACOUSTICS: BY: P. FILIPPI et al. 106
 BASIC PHYSICS, THEORY, AND METHODS BY: F. W. SPARROW

ABSTRACTS OF THE SUBJECTS PUBLISHED IN THIS ISSUE IN ENGLISH. 115

CONTENTS

ARTICLES

- NEUTRON ACTIVATION ANALYSIS CHALLENGES: N. M. SPYROU 7
PROBLEMS AND APPLICATIONS IN BIOMEDICAL
AND OTHER AREAS
 - PHOTONS PENETRATE WALL T. EBBESEN 21
 - BEWARE! ALLERGENS B. PERKS 25
 - SILICON GERMANIUM MAKES ITS MARK D. PAUL 31
-

NEWS

- 1- AMPLIFIER MEANS GAINS FOR ATOM OPTICS *PHYSICS WORLD* 41
 - 2- NOVEL CRYSTALS FROM PRESSURED METALS *PHYSICS WORLD* 42
 - 3- THE BLOOD *LA RECHERCHE* 44
 - 4- FOOD CONTAMINATION BY PCBs AND DIOXINS *NATURE* 47
 - 5- GIVING A BOOST TO ATOMS *NATURE* 49
 - 6- ON THE EDGE OF THE SOLAR SYSTEM *SCIENCE* 51
 - 7- ELECTROCHEMICALLY GROWN PHOTONIC CRYSTALS *NATURE* 53
 - 8- NEW TOOLS FOR ISOTOPIC ANALYSIS *SCIENCE* 55
 - 9- ENERGY UNLIMITED *NEW SCIENTIST* 57
-

PAPERS

(Published worldwide by the Syrian A. E. C. Staff)

- EVIDENCE FOR TWO DISTINCT DEFECTS CONTRIBUTING. . . . R. DARWICH et al. 63
TO THE H4 DEEP-LEVEL TRANSIENT SPECTROSCOPY
PEAK IN ELECTRON-IRRADIATED InP
- DETERMINATION OF NEUTRON GENERATION TIME IN. . . . A. HAINOUN, I. KHAMIS ... 70
MINIATURE NEUTRON SOURCE REACTOR BY MEASUREMENT
OF THE NEUTRONICS TRANSFER FUNCTION
- STOICHIOMETRIC STUDY OF PHOSPHOVANADOMOLYBDATE. .R. AL-MEREY,, 75
COMPLEX AND ITS USE TO DETERMINE EFFECT OF R. BOUZO
URANIUM EXTRACTION BY DEHPA/TOPO ON THE
CONCENTRATION OF PHOSPHORIC ACID USING
SPECTROPHOTOMETRIC METHOD
- EFFECT OF GAMMA IRRADIATION ON STORABILITY OF M. AL-BACHIR 80
APPLES (MALUS DOMESTICA L.)

Notice: Scientific matters and different inquiries; subscriptions, address changes, advertisements and single copy orders, should be addressed to the journal's address:

Damascus, P.O. Box 6091 Phone 6111926/7, Fax 6112289, Cable; TAKA.

Subscription rates, including first class postage charges:

a) Individuals	\$ 30 for one year
b) Establishments	\$ 60 for one year
c) For one issue	\$ 6

It is preferable to transfer the requested amount to:

The Commercial Bank of Syria N-13 P.O. Box 16005 Damascus-Syria account N-3012|2

Cheques may also be sent directly to the journal's address.

The views expressed in any signed article in this journal do not necessarily represent those of the AEC of Syria, and the commission accepts no responsibility for them.



AALAM AL-ZARRA

JOURNAL OF THE ATOMIC ENERGY COMMISSION OF SYRIA

A journal published in Arabic six times a year, by the Atomic Energy Commission of Syria. It aims to disseminate knowledge of nuclear and atomic sciences and of the different applications of atomic energy.

N° 70

15th Year

NOVEMBER/DECEMBER 2000

Managing Editor

Dr. Ibrahim Othman

Director General of A. E. C. S.

Editorial Board

Dr. Tawfik Kassam (*Editor In-Chief*)

Dr. Mohammed Ka'aka ***Dr. Fouad Al-Ijel***

Dr. Ahmad Haj Said ***Dr. M. Fouad Al-Rabbat***

Layout and Printing Supervision

Roula Al-Khatib